

**INSTITUTUL POLITEHNIC "TRAIAN VILIA" TIMIȘOARA  
FACULTATEA DE CONSTRUCȚII**

**ING. IRHASIU V. AUREL**

**CONTRIBUȚII CU PRIVIRE LA CALCULUL ELEMENTELOR  
DIN BETON ARMAT, CU SECȚIUNE DUBLĂ T, SUZUSE  
LA COMBINAȚIUNE EXCENTRICĂ CEBLIGĂ -- STABILIRE LI-  
MITE DE REZISTENȚĂ ȘI DE DEFORMAȚIE**

**Teză de doctorat**

**CONDUCĂTOR ȘTIINȚIFIC :**

**Prof. emerit ing. CONSTANTIN AVRAM  
Membru corespondent al ACADEMIEI RSR**

BIBLIOTECA CENTRALĂ  
UNIVERSITATEA "POLITEHNICĂ"  
TIMIȘOARA

INSTITUTUL POLITEHNIC TIMIȘOARA	
BIBLIOTECA CENTRALĂ	
Volumul Nr.	305
Dulap	Li. 9

**- Timișoara 1964 -**

CAP. I. INTRODUCERE . . . . .	4
CAP. II. PRIVIRE CRITICA ASUPRA STADIULUI ACTUAL, AL CALCULULUI ELEMENTELOR DIN BETON ARMAT, SOLICITATE LA COMPRESIUNE EXCENTRICA OBLICA. . . . .	7
2.1. Considerații generale . . . . .	7
2.2. Determinarea efortului unitar, în armătura întin- să sau mai puțin comprimată $A_g$ . . . . .	11
2.3. Metode de calcul utilizate de diferite norme. . . . .	20
2.3.1. Norme românești. Proiectul de standard 10107/0-84 . . . . .	20
2.3.2. Norme românești. STAS-ul 10107/0-76. . . . .	23
2.3.3. Recomandările CEB-FIP. . . . .	25
2.3.4. Normele engleze CP110-70 . . . . .	28
2.3.5. Noile recomandări CAER-SNIP-21-75. . . . .	30
2.3.6. Alte metode simpliste. . . . .	33
2.3.7. Privire critică asupra metodelor de calcul analizate. . . . .	34
CAP. III. CONTRIBUTII CU PRIVIRE LA CALCULUL LA STAREA LIMITA DE REZISTENȚA A STILPILOR DIN BETON ARMAT, DE SECȚIUNE DUBLU-T, SOLICITATE LA COMPRESIUNE EXCENTRICA OBLICA, PRIN APLICAREA FORMULEI LUI NIKITIN. . . . .	36
3.1. Aspecte generale și principii de calcul . . . . .	36
3.2. Verificarea la starea limită de rezistență a ele- mentelor din beton armat, solicitate la compre- siune excentrică oblică, prin aplicarea formulei lui Nikitin, la secțiuni dublu T. . . . .	39
3.2.1. Cazul compresiunii excentrice cu mare ex- centricitate . . . . .	39
3.2.1.1. Calculul după axa $x$ . . . . .	39
3.2.1.2. Calculul după axa $y$ . . . . .	43
3.2.2. Cazul compresiunii excentrice cu mică ex- centricitate . . . . .	47
3.2.2.1. Calculul după axa $x$ . . . . .	47
3.2.2.2. Calculul după axa $y$ . . . . .	52
3.2.3. Verificarea secțiunilor dublu T, utilizând abace de calcul. . . . .	56
3.2.3.1. Abace pentru determinarea forței axiale capabile $N_x$ , (din planul $x$ ). . . . .	56

3.2.3.2.	Abace pentru determinarea forței axiale capabile $N_y$ , (din planul $y$ ).	
3.2.3.3.	Determinarea forței axiale capabile $N_c$ .....	58
3.2.3.4.	Verificarea secțiunii .....	58
<b>CAP. IV.</b>	<b>CONTRIBUTII CU PRIVIRE LA CALCULUL LA STAREA LIMITA DE REZISTENȚA, A ELEMENTELOR DIN BETON ARMAT, SOLICITATE LA COMPRESIUNE EXCENTRICA OBLICA, UTILIZIND METODA AXEI NEUTRE INCLINATE.</b> .....	60
4.1.	Calculul secțiunii dreptunghiulare. ....	60
4.1.1.	Cazul compresiunii excentrice oblice cu mare excentricitate .....	
4.1.2.	Cazul compresiunii excentrice oblice cu mică excentricitate .....	62
4.2.	Aplicarea metodei axei neutre înclinate la secțiuni dublu T, .....	67
<b>CAP. V.</b>	<b>CONTRIBUTII CU PRIVIRE LA CALCULUL LA STAREA LIMITA DE REZISTENȚA, A ELEMENTELOR DIN BETON ARMAT, DE SECȚIUNE DUBLU T, SOLICITATE LA COMPRESIUNE EXCENTRICA OBLICA, UTILIZIND CURBELE DE INTERACȚIUNE DINTRE <math>N-M_x-M_y</math>.</b> .....	76
5.1.	Aspecte generale. ....	76
5.2.	Proiectarea și verificarea stîlpilor cu secțiune dublu T. Abace de calcul. ....	80
5.2.1.	Abace de calcul în planul $x$ . ....	81
5.2.2.	Abace de calcul în planul $y$ . ....	91
5.3.	Analiza coeficientului $\beta$ , în funcție de variația factorului de compresiune $n$ .....	103
<b>CAP. VI.</b>	<b>PROGRAMUL EXPERIMENTAL</b> .....	106
6.1.	Scopul programului experimental .....	106
6.2.	Verificarea, pe cale experimentală, a relației lui Nikitin. Studiul experimental al stării de deformăție .....	107
6.2.1.	Proiectarea și executarea elementelor experimentale. ....	107
6.2.1.1.	Materiale .....	110
6.2.1.2.	Efectuarea încercărilor .....	110
6.2.1.3.	Măsurători întreprinse .....	110
6.2.2.	Rezultatele încercărilor .....	115
6.2.2.1.	Capacitatea portantă. ....	115
6.2.2.2.	Starea de deformăție. ....	120

6.2.3.	Compararea rezultatelor încercărilor experimentale cu studiul teoretic . . .	120
6.2.3.1.	Capacitatea portantă . . .	120
6.2.3.2.	Starea de deformație . . .	127
6.3.	Stabilirea, pe cale experimentală, a legii de variație a momentului încovoietor oblic, sub forță axială constantă. Analiza experimentală a exponentului $\beta$ și a deformației, celei mai comprimate fibre de beton . . . . .	128
6.3.1.	Proiectarea și executarea elementelor . . . . .	128
6.3.2.	Rezultatele încercărilor . . . . .	130
6.4.	Studiu comparativ, între relația lui Nikitin și relația propusă în Proiectul standard 10107/0-84. . . . .	133
<b>CAP.VII.</b>	<b>STAREA LIMITA DE DEFORMATIE . . . . .</b>	<b>137</b>
7.1.	Aspecte generale . . . . .	137
7.2.	Rigiditatea stîlpilor din beton armat, cu secțiune dublu T, solicitați excentric oblic . . . . .	139
7.2.1.	Rigiditatea în planul x . . . . .	139
7.2.2.	Rigiditatea în planul y . . . . .	145
<b>CAP.VIII.</b>	<b>CONCLUZII SI MOD DE VALORIFICARE A REZULTATELOR</b>	<b>153</b>
-	<b>BIBLIOGRAFIE . . . . .</b>	<b>162</b>

CAP. I. INTRODUCERE

In etapa actuală, caracterizată din punct de vedere economic printr-o accentuată criză de energie în toate domeniile, se cere din partea inginerilor constructori (cercetători, proiectanți, executanți), - realizatori ai lucrărilor de investiții - ca aceste lucrări să fie cât mai ieftine, deci cât mai economice, și cât mai durabile.

O construcție, din punctul de vedere al calculului, este cu atât mai economică, cu cât se utilizează mai mult rezerva sa de rezistență, cu asigurarea însă a condițiilor de rezistență și de exploatare normală a ei.

In contextul acestor idei, lucrarea de față își propune, de a-și aduce contribuția, la îmbunătățirea calculului stâlpilor din beton armat, cu secțiunea dublu T, solicitată excentric oblic.

Această formă a secțiunii transversale pentru stâlpi este economică, utilizându-se rațional materialul.

Forma este indicată cu precădere în cazul stâlpilor prefabricați, utilizați mai ales în cazul halelor industriale parter.

Exploatarea la maximum a rezervei de rezistență a secțiunii, într-o etapă precizată, se bazează pe cunoștințele avute în etapa respectivă, referitoare la materialele folosite (betonul și oțelul); la încărcările care solicită secțiunea, la metodele de calcul utilizate etc.

Referitor la etapa actuală, se precizează o evaluare teoretic probabilistă, practic semiprobabilistă, atât a încărcărilor ce acționează secțiunea, cât și a capacității portante a secțiunii. Această evaluare a făcut posibilă acceptarea unei noi filosofii a conceptului de siguranță, în care parametrii de bază sînt considerați mărimi aleatoare.

Dacă informațiile privind evaluarea încărcărilor și a capacității portante se pot încadra în domeniul general, despre metoda de calcul utilizată, ca sursă de exploatare a rezervei de rezistență a secțiunii, se poate vorbi la particular.

Astfel, la ora actuală, prin normele în vigoare [93], [94], se permite calculul la compresiune excentrică oblică, fie cu relația lui Nikitin, care este metoda practică utilizată de proiectanți, fie pe o cale mai mult teoretică, în care axa neutră se determină prin încercări, cu condiția existenței colinia-

rității între punctele de aplicație a forței, a rezultantei eforturilor din zona comprimată a secțiunii și a rezultantei eforturilor de întindere din armătura  $A_a$ .

Întocnit relația lui Nikitin nu este fundamentată suficient din punct de vedere științific, iar metoda a doua nu este utilizată de proiectanți, în Proiectul de standard 10107/0-84, se propune o nouă metodă care se bazează pe curbele de interacțiune dintre solicitări.

În acest context, lucrarea și-a propus, ca pe baza studiilor teoretice și experimentale, să contribuie la îmbunătățirea normelor de calcul, să pună la îndemâna proiectanților formule, tabele sau abace de calcul, al stîlpilor de secțiune dublu T, comprimați excentric oblic.

În cazul normelor în vigoare, lucrarea rezolvă solicitarea analizată, fie pe baza relației lui Nikitin, caz în care se dau relațiile necesare calculului forțelor capabile ale secțiunii ( $N_x$ ,  $N_y$  și  $N_c$ ), fie utilizînd metoda axei neutre înclinate, care deși mai greoaie pentru proiectanți, prinde mai rațional fenomenul solicitării compresiunii excentrice oblice.

În cazul Proiectului de standard 10107/0-84, lucrarea rezolvă analitic și sub formă de abace de calcul, curbele de interacțiune  $N-M_x$  și  $N-M_y$ . Cu ajutorul abacelor, proiectanții pot ușor determina momentele capabile, după cele două direcții, pentru o secțiune aleasă din beton armat.

Lucrarea mai analizează, teoretic și experimental și starea limită de deformare a secțiunii studiate. Pentru calculul săgeților, după cele două direcții, lucrarea dă relațiile de calcul pentru modulul de rigiditate, în cazul compresiunii excentrice drepte. Săgeata oblică se obține scoțînd radicalul din suma patratelor săgeților după cele două direcții.

Studiile teoretice au fost însoțite de un bogat program experimental, în cadrul căruia au fost încercați la compresiune excentrică oblică un număr de 32 de stîlpi.

Studiile teoretice și experimentale întreprinse, care au făcut obiectul a trei contracte de cercetare, desfășurate pe o perioadă de cinci ani, s-au valorificat prin elaborarea unor prescripții de proiectare, contribuind astfel la perfecționarea metodelor de calcul.

Prin perfecționarea metodelor de calcul, se vor realiza construcții, în condiții cât mai economice, cu durabilitate sporită, prinzându-se în calcula cât mai rațional fenomenul.

CAP. II. PRIVIRE CRITICĂ ASUPRA STADIULUI ACTUAL,  
AL CALCULULUI ELEMENTELOR DIN BETON ARMAT,  
SOLICITATE LA COMPRESIUNE EXCENTRICĂ OBLICĂ

2.1. Considerații generale

În practica curentă de proiectare, dimensionarea la solicitarea de compresiune excentrică, reprezintă o pondere însemnată din totalul de muncă al proiectanților constructori, această solicitare fiindu-se ca frecvență de apariție, imediat după solicitarea de încoviere, care are cea mai mare frecvență de apariție.

În conformitate cu normele românești, [94], singurele elemente prevăzute a fi calculate la compresiune centrică și care se calculează efectiv la această solicitare, sînt stîlpii fretați, dar numai atît timp cît nu intervine flambajul ( $l_f/i \leq 35$ ). În caz contrar, cînd se ia în considerare influența flexibilității în calcul, stîlpii se calculează fără a ține seama de influența fretei.

STAS-ul S107/0-76 indică că : "Elementele de beton armat, prevăzute a fi solicitate la compresiune centrică se vor calcula ca elemente solicitate excentric, avînd o excentricitate egală cu cea mai mare din valorile : 1/30 din înălțimea secțiunii sau 2 cm", această excentricitate minimă putînd acționa atît într-un sens, cît și în celălalt.

În cadrul compresiunii excentrice, după modul de lucru, la starea limită de rezistență, a armăturii întinse sau mai puțin comprimată, (opusă forței excentrice),  $A_a$  - se disting două scheme de calcul și anume :

A. Cazul I de rupere

Se consideră cazul I de rupere, atunci cînd armătura  $A_a$  intră în curgere prin întindere, la starea limită de rezistență.

Ipoteze de calcul :

- eforturile unitare în betonul din zona comprimată au mărimea  $R_c$  ;
- eforturile unitare în betonul din zona întinsă, nu se iau în considerare în calcul ;
- eforturile unitare în armăturile  $A_a$  și  $A'_a$  (armătura apăsată forței excentrice), au valoarea  $R_a$ .

Încadrarea în acest caz se face prin aprecierea axei neutre:

$$\beta < \beta_{lim.}$$

(II.1)



în care  $\xi$  este înălțimea relativă a zonei comprimate de beton, iar  $\xi_{lim}$  este înălțimea maximă a acesteia, pentru care  $\sigma_a = R_a$ . Valoarea lui  $\xi_{lim}$  este în funcție de marca de beton și este cuprinsă între 0,5 și 0,6.

B. Cazul II de rupere

Se consideră cazul II de rupere, atunci când armătura  $A_a$ , nu intră în curgere prin întindere, la starea limită de rezistență.

Ipozeze de calcul :

- eforturile unitare în betonul din zona comprimată au valoarea  $R_c$  ;
- eforturile unitare în betonul din zona întinsă nu se iau în considerare în calcul ;
- eforturile unitare în armătura  $A_a'$  sînt egale cu  $R_a$  ;
- eforturile unitare în armătura  $A_a$ , variază pe domeniul  $-R_a - +R_a$  și se pot calcula, fie cu metoda exactă, care utilizează condiția de compatibilitate a deformațiilor specifice, deduse din diagramele caracteristice de calcul ale betonului și armăturii, fie cu metoda simplificată propusă de E.A. Cistiatiiov :

$$\sigma_a = K R_a \tag{II.2}$$

în care :

$$K = \left[ \frac{2(1 - \xi)}{1 - \xi_{lim}} - 1 \right] \tag{II.3}$$

Incadrarea în cazul II de rupere se face prin condiția

$$-\xi > \xi_{lim} \tag{II.4}$$

Conform STAS-ului 10107/0-76, se consideră pentru compresiune excentrică, două cazuri :

- a) compresiune excentrică cu mare excentricitate dacă  $\xi \leq \xi_{lim}$  (sau cazul I de rupere) ;
- b) compresiune excentrică cu mică excentricitate dacă  $\xi > \xi_{lim}$  (sau cazul II de rupere).

Pentru elementele comprimate excentric zvelte, trebuie să se ia în considerare în calcul, influența flexibilității, asupra comportării lor, la starea limită ultimă.

Pentru elementele robuste, la care  $l_f/i \leq 35$ , ( $l_f$  este lungimea de flambaj și  $i$  raza de girație, corespunzătoare planului de încovoiere considerat), influența flexibilității poate să nu fie luată în considerare în calcul [94] ; această condiție corespunde la  $l_f/h \leq 10$ , (respectiv  $l_f/b \leq 10$ , după caz), pentru secțiunea dreptun-

-ghiulară, respectiv  $l_f/D \leq 8,7$  pentru secțiunea circulară. În acest caz, determinarea solicitărilor de calcul,  $M$  și  $N$ , se face după teoria de ordinul I, (pe structura nedeformată); această situație corespunde cazului 1 din fig.II.1.

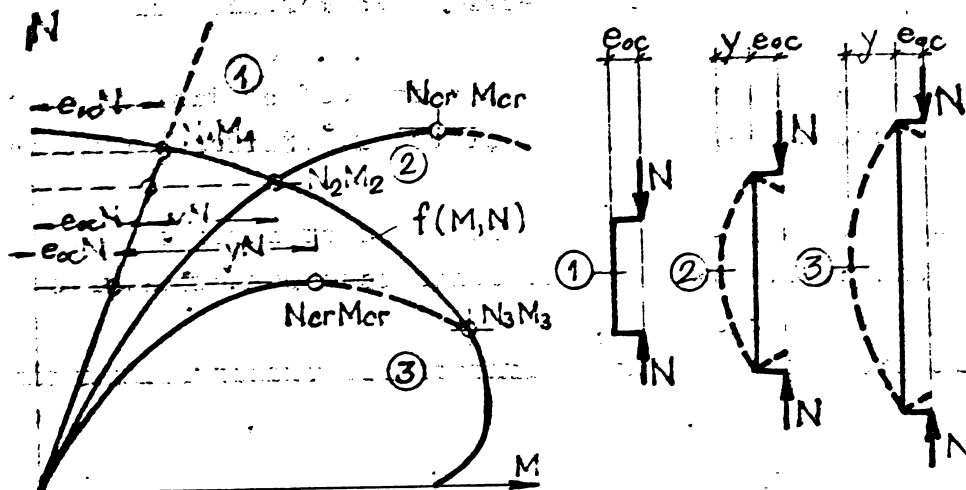


Fig.II.1. Starea limită de rezistență și stabilitatea formei

Așa cum se arată în lucrarea [7], studiile teoretice și experimentale mai recente, efectuate în URSS, SUA, RFG etc., referitoare la comportarea stâlpilor zvelți, din beton armat, solicitați la compresiune excentrică, au ajuns la concluzia că, în domeniul coeficienților de zvelțe obișnuiți pentru construcțiile civile și industriale ( $\lambda = l_f/h \leq 100$ , respectiv  $l_f/h \leq 30$  și  $l_f/D \leq 26$ ), ruperea se produce prin epuizarea capacității portante la starea limită de rezistență, fără ca să intervină în prealabil fenomenul de pierdere a stabilității formei (cazul 2 din fig.II.1), pentru care capacitățile portante  $N_2$  și  $M_2$  sînt mai mici decît valorile critice  $N_{cr}$  și  $M_{cr}$ . În urmare, calculul unor asemenea stâlpi ( $35 < \lambda \leq 100$ ), se face la starea limită de rezistență, luînd în considerare, reducerea capacității portante a secțiunii, datorită efectelor de ordinul II ( $M_2/N_2 = e_{oc} + \eta$ ).

Lucrarea [7], dezvoltă procedeele de calcul, pentru determinarea momentelor încovoietoare  $M_2$ , la starea limită de rezistență, pe baza unui calcul static de ordinul II (efectuat în raport cu poziția deformată a structurii), atît în ipoteza mai simplă a unui modul de rigiditate  $EI$  constant, cît și în ipoteza mai complexă, dar mai aproape de comportarea reală a structurii, a unui modul de rigiditate  $EI$  variabil.

STAS-ul 10107/0-76, permite și utilizarea unei metode simplificate, bazată pe luarea în considerare (în calculul de ordinul I) a unui coeficient  $\eta$ , de multiplicare a excentricității de calcul  $e_{oc}$ , a forței normale  $N$ , coeficient stabilit în mod aproximativ, în funcție de sarcina critică,  $N_{cr}$ ; rezultă că  $\eta e_{oc} = e_{oc} + y$ . Același standard, recomandă însă ca această metodă simplificată să se utilizeze numai pînă la valoarea lui  $\eta = 1,2$ .

Pentru coeficienți de zveltețe  $\lambda$  mai mari de 100, starea limită ultimă poate fi atinsă prin pierderea stabilității formei (flambaj); această situație corespunde cazului 3 din fig.II.1, care necesită determinarea încărcării critice de pierdere a stabilității, în raport cu care să se asigure o dimensionare corespunzătoare a stîlpilor structurii.

STAS-ul 10107/0-76 cere ca dimensiunile minime ale secțiunilor stîlpilor zvelți, să fie astfel adoptate, încît să fie respectată condiția  $\lambda = l_f/i \leq 140$  ( $l_f/h \leq 40$ , respectiv  $l_f/D \leq 34$ ) pentru betonul greu, respectiv  $\lambda \leq 70$  ( $l_f/h \leq 20$ , respectiv  $l_f/D \leq 17,3$ ) pentru betonul ușor.

Rezultă că pentru betonul greu poate să apară și cazul 3 din fig.II.1.

STAS-ul 10107/0-76, recomandă însă, să nu se adopte nici pentru betonul greu, valori  $\lambda > 85$ , decît în cazuri bine justificate, pe considerente constructive ori funcționale, sau la elemente prefabricate, la care asemenea soluții conduc la rezolvări eficiente.

Referitor la coeficientul  $\eta$ , valoarea acestuia în calculul exact este  $\eta = \frac{M_{II}}{M}$ .

În calculul simplificat, determinarea coeficientului  $\eta$  se face în conformitate cu [94], cu relația:

$$\eta = \frac{1}{1 - \frac{N}{N_{cr}}} \quad (II.5)$$

în care  $N_{cr}$  se stabilește cu relația:

$$N_{cr} = \frac{6,4 E_0}{l_f^2} \left[ \frac{I_y}{K_{13}} \left( \frac{0,11}{0,1 + \bar{e}_0} + 0,1 \right) + n K_a I_a \right] \quad (II.6)$$

în care:

$$K_{13} = 1 + \frac{M_{1d}}{M}; \quad \bar{e}_0 = \frac{e_{oc}}{h} \geq 0,6 - 0,01 \frac{l_f}{h} - 0,0008 R_0 \quad (II.7.a, b)$$

-  $M_{1d}$  și  $M$  sînt momentele încovoietoare provocate de acțiunea încărcărilor de lungă durată, respectiv totale, ambele determi-

nate față de axa ce trece prin centrul de greutate al armăturii  $A_s$  :

-  $I_a$  și  $I_b$  sînt momentele de inerție ale armăturilor, respectiv al betonului, față de axa centrului de greutate al secțiunii de beton ;

-  $l_f$  - lungimea de flambaj ;  $n = \frac{E_a}{E_b}$  ;

-  $K_{at} = 0,8$  pentru beton greu și  $0,7$  pentru beton ușor ;

-  $R_c$  se introduce în  $\text{kgf/cm}^2$ .

STAS-ul 10107/0-76 permite și utilizarea unei relații simplificată de forma :

$$N_{cr} = \frac{1,5 E_b I_b}{l_f^2} \frac{1 + \sqrt{p}}{K_{ld}} \quad (II.8)$$

în care  $p = 100 \frac{A_{s, total}}{A_b}$  ;  $p$  se estimează inițial.

Dacă valoarea lui  $\eta$  rezultă negativă sau foarte mare (orientativ mai mare de  $2,0 - 2,5$ ) se vor mări dimensiunile secțiunii de beton.

Pentru cadrele cu noduri fixe, coeficientul  $\eta$  se introduce în calcul cu valoarea calculată pentru secțiunile ce se găsesc în treimea mijlocie a lungimii elementului ; în treimile dinspre reazeme, valoarea lui  $\eta$  rezultă dintr-o interpolare liniară între  $\eta = 1$  la reazeme și valoarea calculată.

## 2.2. Determinarea efortului unitar, în armătura întinsă, sau mai puțin comprimată, $A_s$

a) Metoda exactă, utilizează condiția de compatibilitate a deformațiilor specifice, avînd la bază ipoteza secțiunilor plane,

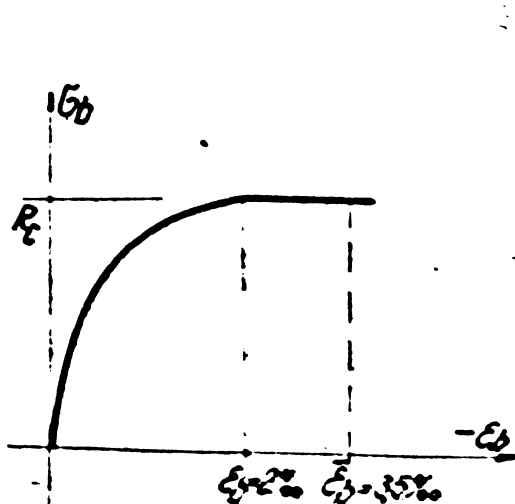


Fig. II.2. Diagrama caracteristică de calcul pentru beton.

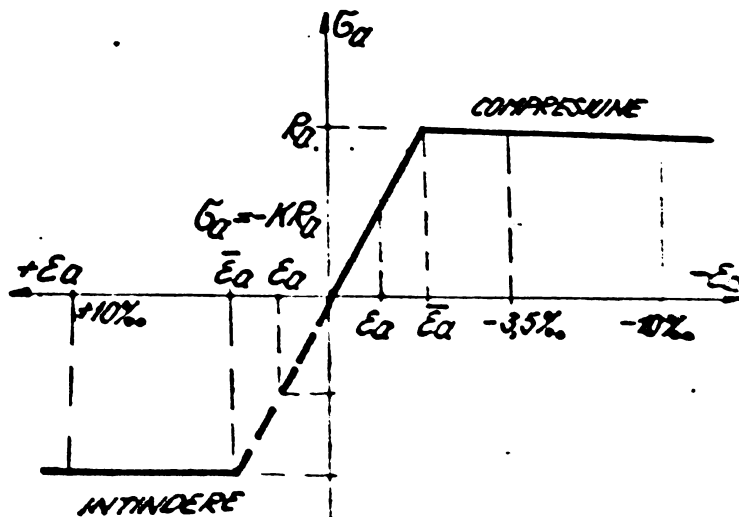


Fig. II.3. Diagrama caracteristică de calcul pentru oțel.

precum și utilizarea diagramelor caracteristice de calcul ( $\sigma$ - $\epsilon$ ), de mai jos : ale betonului și oțelului.

Metoda exactă este utilizată de recomandările CEB-FIP, de noile norme DIN, de normele noastre, etc.

Pentru beton se admite, (așa cum se vede din fig.II.2), diagrama parabolică, cu vârful la 2 ‰ pentru compresiune centrică, prelungită cu un palier până la 3,5 ‰, pentru compresiune excentrică și încovoiere.

Pentru oțel se admite, (așa cum rezultă din fig.II.3), diagramă liniară, cu palier pentru rezistența de calcul.

Normele românești, prin proiectul de standard 10107/0-84 "Construcții civile și industriale. Calculul și alcătuirea elementelor din beton, beton armat și beton precomprimat", stabilesc distribuția eforturilor unitare, în calculul la starea limită de rezistență în secțiuni normale, pe baza următoarelor ipoteze :

- secțiunile plane, rămân plane și după deformarea elementului (ipoteza secțiunilor plane) ;
- se neglijează rezistența la întindere a betonului ;
- curbele caracteristice  $\sigma$ - $\epsilon$ , ale betonului și armăturii au alina de mai jos :

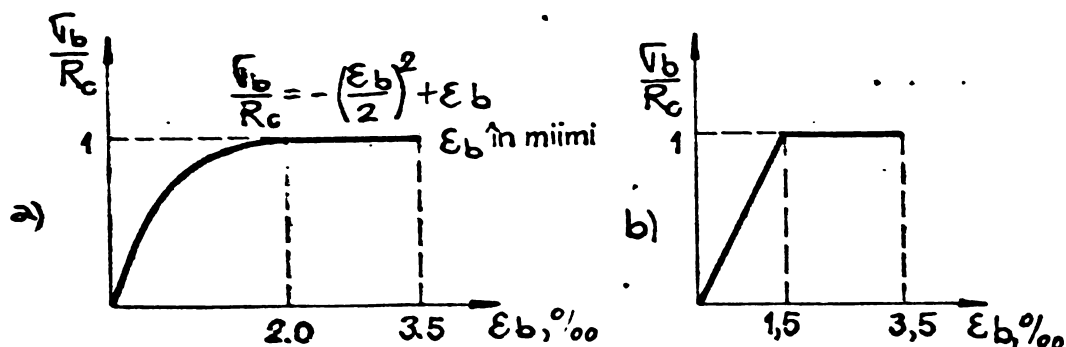


Fig.II.4. Curbe caracteristice pentru beton.

- deformația specifică  $\epsilon_{b,lim}$  a betonului, la compresiune se ia 3,5 ‰ pentru cazul în care  $x \leq h$ , (axa neutră se află în interiorul secțiunii) și de 2 ‰, în cazul convențional al compresiunii centrice ; între cele două limite, valoarea  $\epsilon_{b,lim}$  se obține prin interpolare liniară (vezi fig.II.6) ;

- alungirea specifică  $\epsilon_{a,lim}$  a armăturii, se ia de 5 ‰ în cazul verificărilor la grupări de încărcări care includ acțiunea seismică și de 1,5 ‰ în celelalte cazuri.

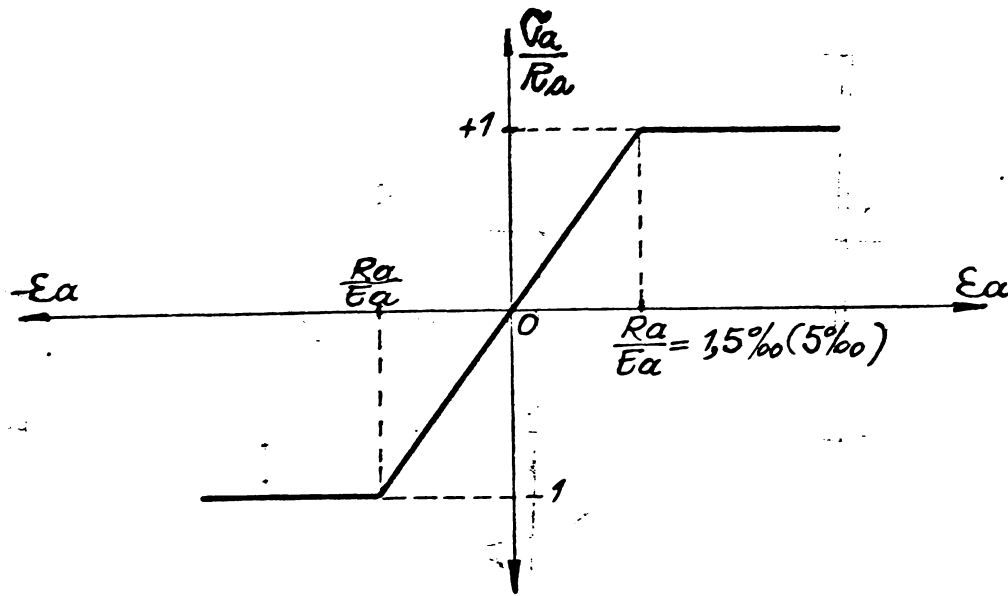


Fig.II.5. Curba caracteristică de calcul a oțelului.

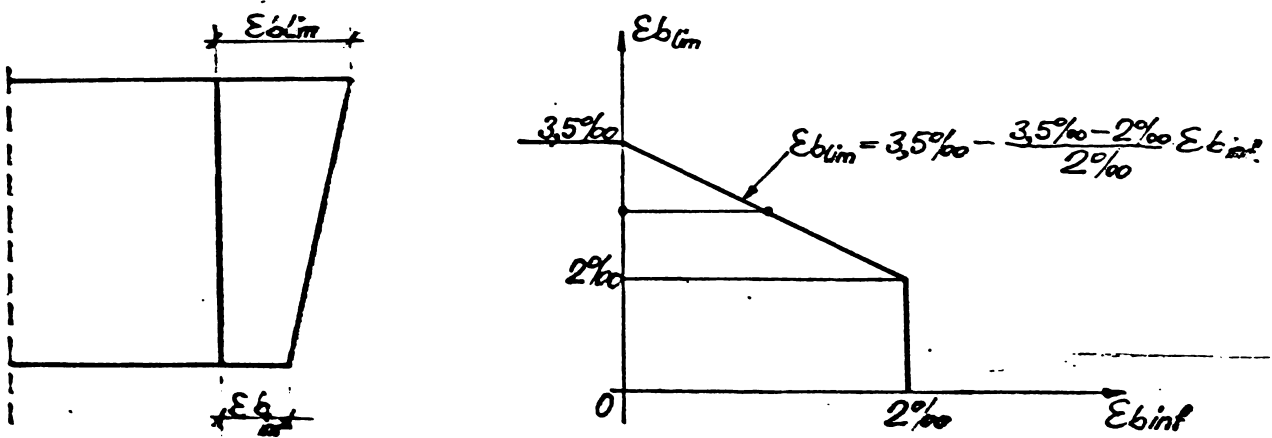


Fig.II.6.

Pe baza ipotezelor admise de normele românești, prin proiectul de standard 10107/0-84, diagrama deformațiilor secțiunilor, pentru diferite domenii de solicitare, este schematizată în fig.II.7.

Cum rezultă din fig.II.7, există 5 (cinci) domenii care acoperă întreaga gamă de solicitări, de la compresiune centrică, până la încovoiere.



Referitor la problema studiată, și anume determinarea efortului în armătura întinsă, sau mai puțin comprimată,  $A_a$ , putem arăta că acest lucru este interesant doar pentru domeniile 4 și 4a. În domeniul 4, deformările specifice ale oțelului sînt încă de întindere și sînt cuprinse între  $\bar{\epsilon}_a = R_a/E_a$  și zero, iar efortul unitar în armătură este de întindere, însă sub  $R_a$  ( $\sigma_a < R_a$ ;  $\sigma_a = KR_a$  în care  $0 \leq K \leq 1$ ). Această situație, caracterizează elementele solicitate la compresiune excentrică cu mică excentricitate, cînd axa neutră este în secțiune sau la limita secțiunii utile.

Domeniul 4a, este caracterizat prin faptul că în oțel încep să apară mici eforturi de compresiune, deci  $\epsilon_a < -\bar{\epsilon}_a = R_a/E_a$ , iar  $\sigma_a < -R_a$ . Această situație este caracteristică compresiunii excentrice cu mică excentricitate, cînd axa neutră iese din secțiune, întreaga secțiune de beton fiind comprimată.

Față de ipotezele acceptate mai sus, variația efortului unitar în armătura  $A_a$ , se determină exact, astfel: (fig.II.8):

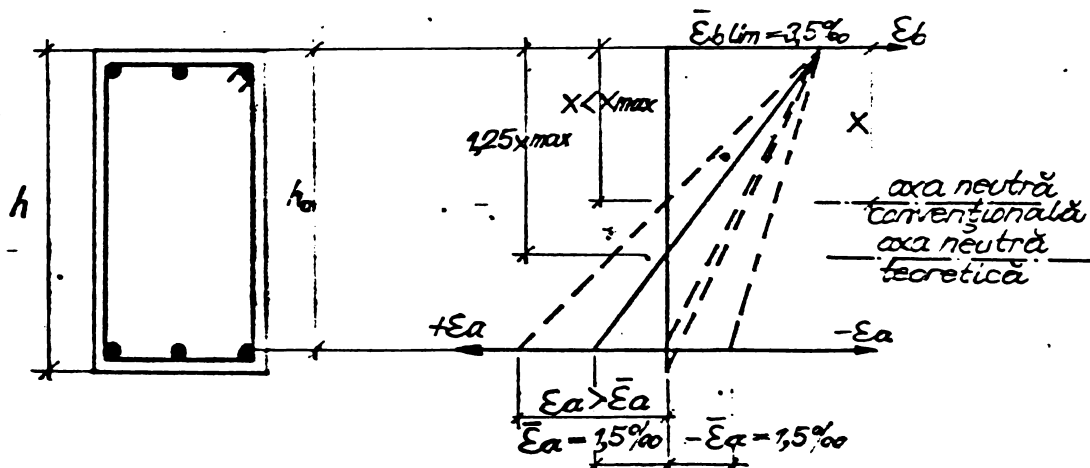


Fig.II.8.

$$1,25 x_{\max} = \epsilon_{b \text{ lim}} \cdot \frac{h_p - x_{\max} \cdot 1,25}{\bar{\epsilon}_a} \quad (\text{II.9})$$

Introducînd notația  $\xi = x/h_0$ , relația II.9 devine

$$1,25 \xi_{\text{lim}} = \frac{3,5}{1,5} (1 - \xi_{\text{lim}} \cdot 1,25) \quad (\text{II.9.a})$$

din care rezultă:

$$\xi_{\text{lim}} = 0,56 \approx 0,55$$

Dacă  $x > h$  (axa neutră iese din secțiune), normele românești



prevăd o interpolare ca în fig.II.6 între  $\epsilon_{b\lim} = 2\%$  și  $\epsilon_{b\lim} = 3,5\%$ .

Normele românești admit pentru  $\xi_{lim}$  valorile din tabelul II.1.

Tabelul II.1.

Tipul de beton	Marca de oțel	Clasa de beton	
		$\leq Bc 35$	$> Bc 35$
$\xi_{lim}$			
Beton obișnuit	OB 37	0,60	0,55
	OC 60	0,55	0,50
Beton cu agregate ușoare	OB 37	0,55	0,50
	OC 60	0,50	-

Cît timp  $x < x_{max}$  se observă din fig.II.8 că  $\epsilon_a > \bar{\epsilon}_a$ , ceea ce înseamnă că în armătura  $A_a$  efortul este  $R_a$  (compresiune excentrică cu mare excentricitate,  $\xi \leq \xi_{lim}$ ).

Dacă însă,  $x_{max} < x < h_0$ , rezultă din fig.II.8 că  $0 < \epsilon_a < \bar{\epsilon}_a$ , ceea ce înseamnă că efortul în armătura  $A_a$ , este  $0 < \sigma_a < R_a$ , sau că  $\sigma_a = KR_a$ , unde  $0 \leq K \leq 1$ .

Dacă  $x > h_0$  în armătura  $A_a$  apar eforturi de compresiune, care cresc de la zero la  $-R_a$ .

Deci :  $-\sigma_a = KR_a$ , în care  $0 \geq K \geq -1$ .

b) Metoda sumativă, care explicitiază în mod aproximativ aportul armăturii de la marginea întinsă, sau mai puțin comprimată,  $A_a$ , a secțiunii.

Propunerea lui E.A. Cistiakov, [94] [46] [98] constă în liniarizarea valorii efortului unitar, din armătura de la marginea întinsă, sau mai puțin comprimată,  $\sigma_a = KR_a$ , în funcție de înălțimea zonei comprimate  $x$ , (fig.II.9 și II.10), după expresia :

$$K = 2\left(\frac{h_0 - x}{h_0 - \bar{x}_{lim}}\right) - 1 \quad (II.10)$$

Dacă împărțim relația (II.10) cu  $h_0$  obținem :

$$K = \frac{2\left(1 - \frac{x}{h_0}\right)}{2 - \frac{\bar{x}_{lim}}{h_0}} - 1 \quad (II.3) \quad \text{și are valori cuprinse}$$

între -1 și +1.

Această aproximație, propusă de Cistiakov, este adoptată de STAS 10107/0-76, care prevede determinarea eforturilor unitare, în ar-

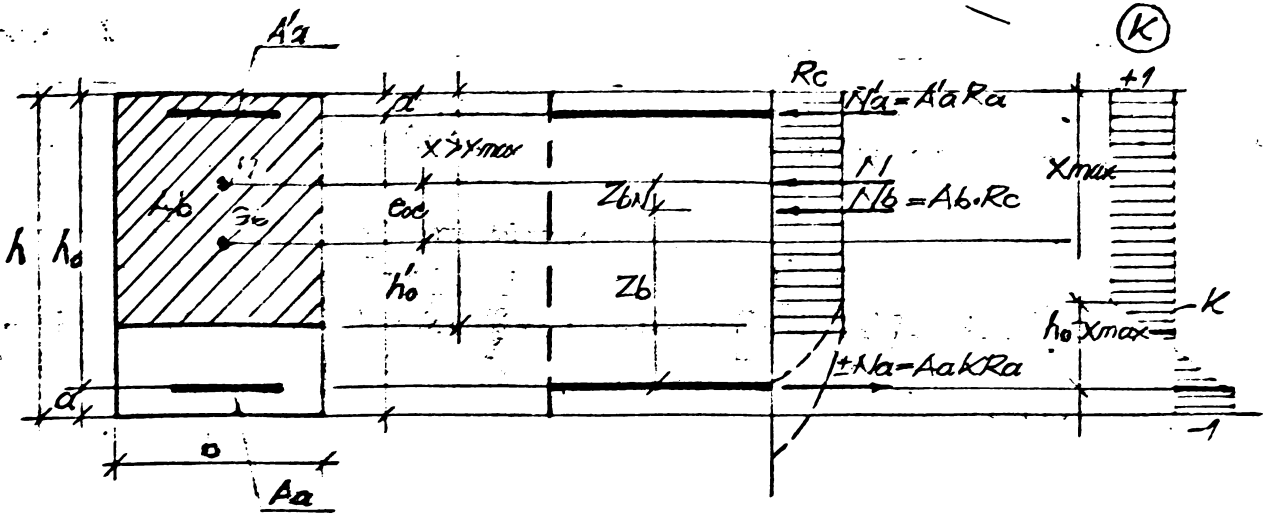


Fig.II.9. Starea de eforturi pe înălțimea secțiunii transversale.

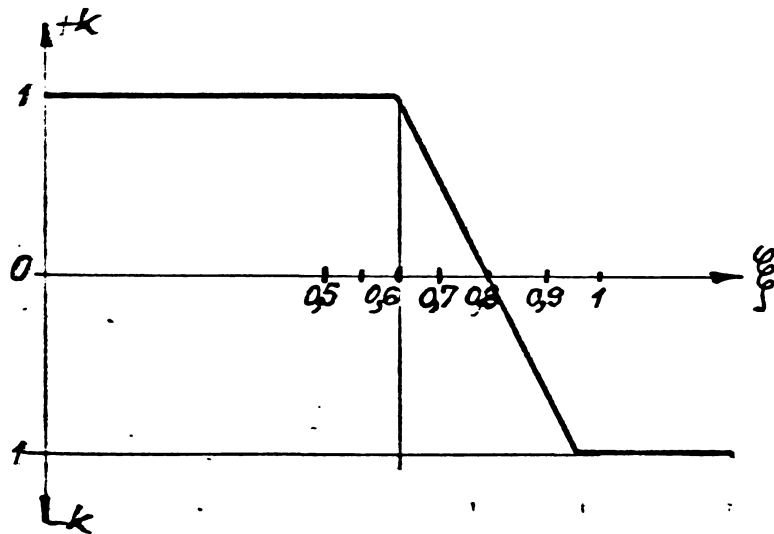


Fig.II.10. Variația coeficientului K după propunerea lui E.A.Cistiakov.

mătura  $A_a$ , (armătura mai depărtată de forța N), cu relația :

$$G_a = R_a \left[ \frac{2(1 - \xi)}{(1 - \xi_{lim})} - 1 \right] \quad (II.11)$$

488083  
303 G

O ipoteză generală, admisă de normele românești, se referă la efortul unitar  $\sigma'_a$ , în armătura  $A'_a$ , mai comprimată. Ipoteza stipulează că dacă  $x \geq 1,5a'$ , efortul unitar  $\sigma'_a$  se ia în calcul cu valoarea  $-R_a$ . În caz contrar, ( $x < 1,5a'$ ), se admite un calcul simplificat, cu considerarea rezultantei tuturor compresiunilor, la nivelul centrului de greutate al armăturilor  $A'_a$ .

Referitor la cazul  $x \leq 1,5a'$ , unii autori [83] propun și pentru  $\sigma'_a$ , tot o funcție liniară de  $\xi$  pe domeniul  $[0; \frac{2a'}{h_0}]$  conform figurii (II.11).

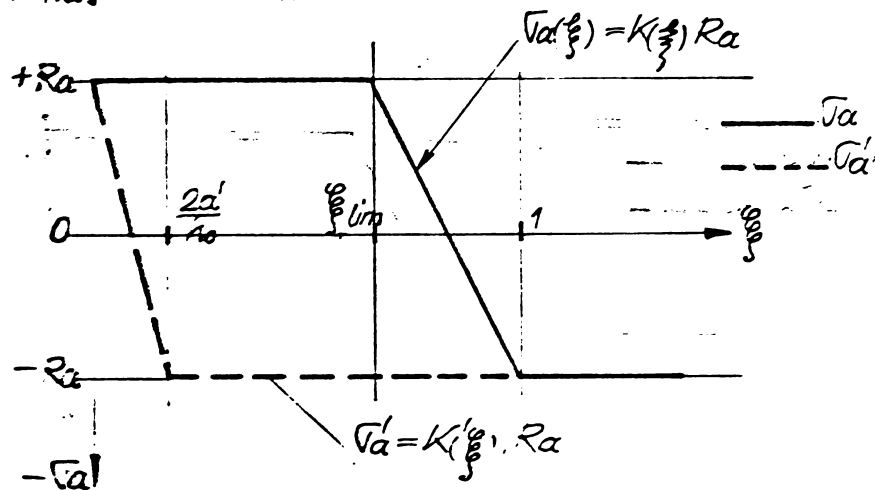


Fig.II.11. Variația eforturilor unitare  $\sigma_a$  și  $\sigma'_a$ .

Pentru eforturile unitare în armături avem câte o relație de tipul :

$$\sigma'_a(\xi) = A'\xi + B' \text{ pentru } \xi \in [0; 2(1 - c)] \quad (\text{II.12})$$

$$\sigma_a(\xi) = A\xi + B \text{ pentru } \xi \in [\xi_{lim}; 1] \quad (\text{II.13})$$

în care 
$$c = \frac{h_0 - a'}{h_0} \quad (\text{II.14})$$

Constantele  $A'$  și  $B'$ , respectiv  $A$  și  $B$ , se determină din condițiile de la capetele intervalelor, astfel :

$$\begin{aligned} x = 2a' &\leftrightarrow \xi = 2(1 - c) \rightarrow \sigma'_a = R_a \\ x = a' &\leftrightarrow \xi = 1 - c \rightarrow \sigma'_a = 0 \end{aligned} \quad (\text{II.15})$$

$$\begin{aligned} x = \xi_{lim} h_0 &\leftrightarrow \xi = \xi_{lim} \rightarrow \sigma_a = R_a \\ x = h_0 &\leftrightarrow \xi = 1 \rightarrow \sigma_a = -R_a \end{aligned} \quad (\text{II.16})$$

Din condițiile (II.15) și (II.16) și ecuațiile (II.12) și (II.13), rezultă :

$$\sigma'_a(\xi) = \left( \frac{\xi}{1-c} - 1 \right) R_a \quad (II.17)$$

$$\sigma_a(\xi) = \frac{2R_a}{\xi_{lim} - 1} \xi - \frac{\xi_{lim} + 1}{\xi_{lim} - 1} R_a \quad (II.18)$$

Astfel că în fig.II.12, putem reprezenta acum atât variația lui K, cât și variația lui K' în funcție de  $\xi$ , iar în fig.II.13, variația lui Z și Z' pe înălțimea secțiunii transversale.

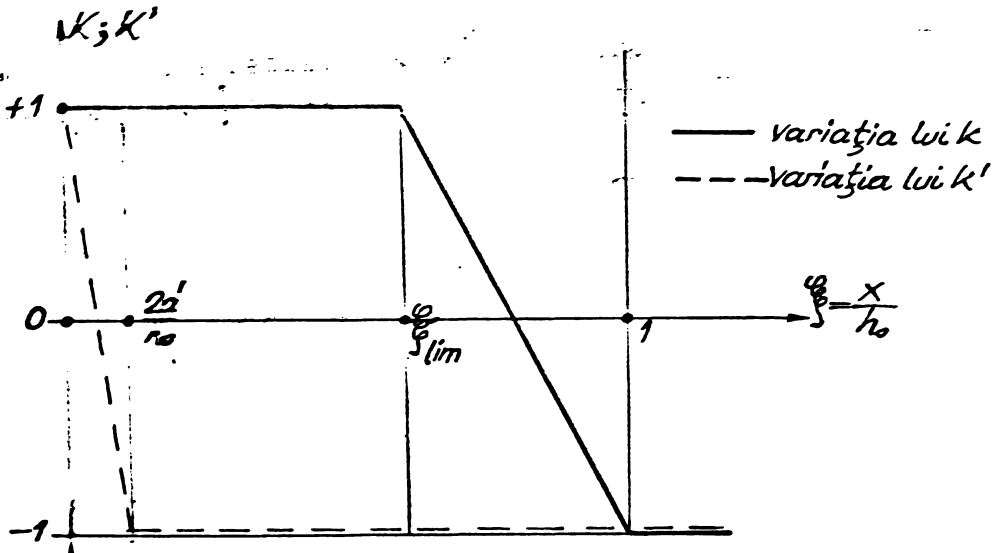


Fig.II.12. Variația coeficienților K și K'.

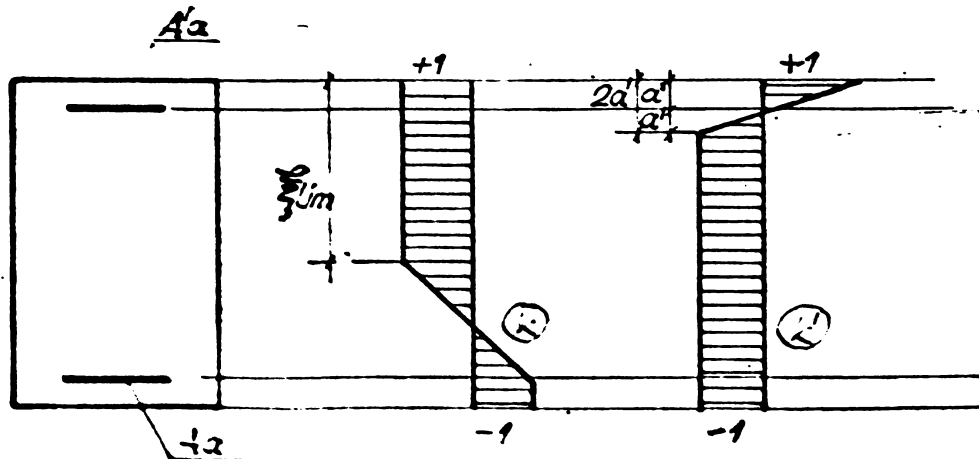


Fig.II.13. Variația coeficienților K și K' pe înălțimea secțiunii transversale.

2.3. Procedee de calcul utilizate de diferite norme

2.3.1. Norme românești

Proiectul de standard 10107/0-84.

În conformitate cu proiectul de standard 10107/0-84 "Construcții civile și industriale. Calculul și alcătuirea elementelor în beton, beton armat și beton precomprinat", stabilirea distribuției eforturilor unitare, în calculul la starea limită de rezistență în secțiuni normale, se face pe baza ipotezelor :

- secțiunile plane, rămân plane și după deformarea elementului (ipoteza secțiunilor plane) ;
- se neglijează rezistența la întindere a betonului ;
- curbele  $\sigma - \epsilon$ , ale betonului și armăturii au alura de mai jos :

os :

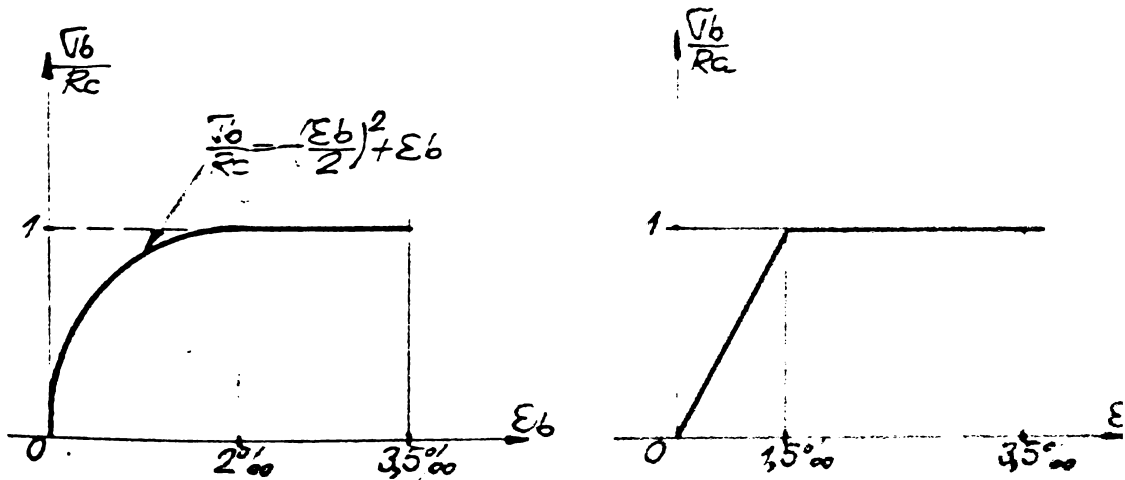


Fig. II.14. Curbe caracteristice pentru beton.

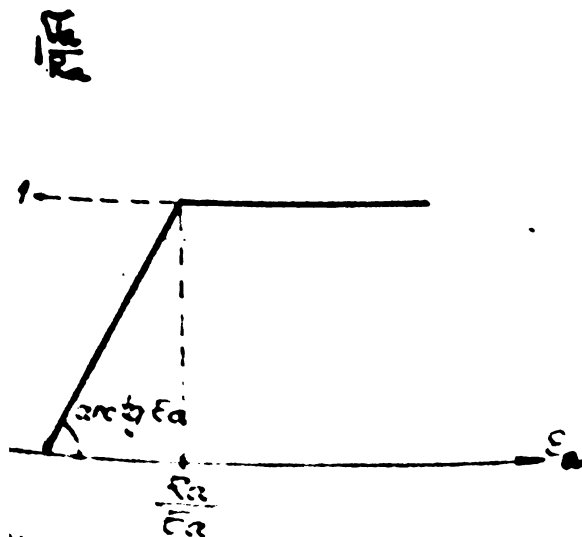


Fig. II.15. Curba caracteristică a oțelului.

- deformația specifică a betonului la compresiune se ia 3,5 ‰ pentru cazul în care  $x \leq h$  (axa neutră se află în interiorul secțiunii) și de 2 ‰ în cazul convențional al compresiunii centrice ; între cele două limite, valoarea  $\epsilon_{b,lim}$  se obține prin interpolare liniară :

- alungirea specifică a armăturii, se ia de 5 ‰ în cazul verificărilor la grupuri

de încărcări care includ acțiunea seismică și de 1,5 ‰ în celelalte cazuri.

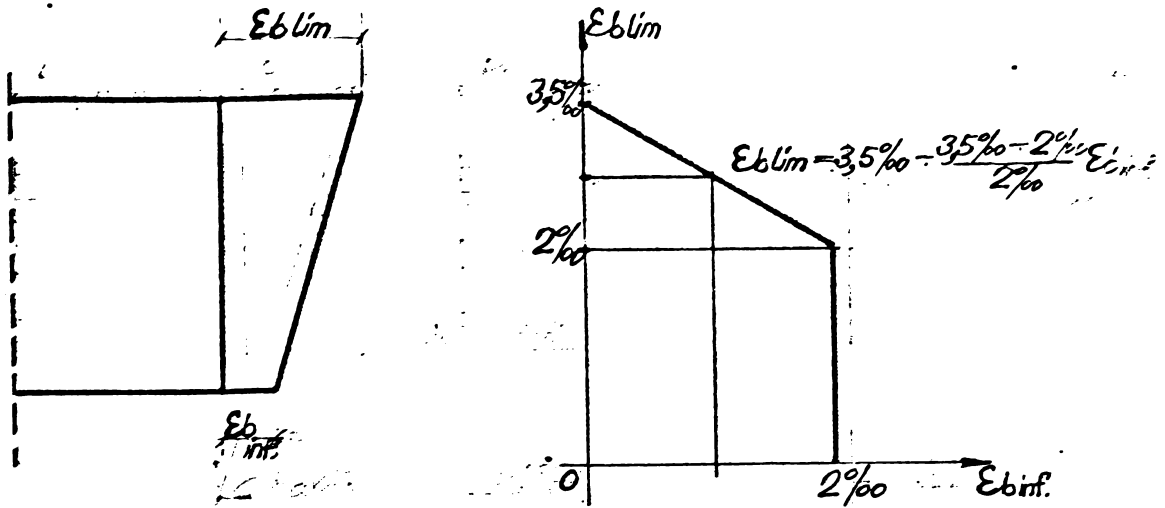


Fig. II. 6.

Calculul la starea limită de rezistență, în secțiuni normale, al elementelor la care planul de acțiune al momentului încovoietor nu este paralel cu planul de simetrie, are la bază următoarele ipoteze generale :

- eforturile unitare în betonul din zona comprimată su mărire constantă  $R_c$  ;

- efortul  $\sigma'_a$  în armăturile  $A'_a$ , concentrate la capătul comprimat (mai comprimate) al secțiunii se ia în calcul cu valoarea  $-R_a$  dacă  $x \geq 1,5 a'$  ; în caz contrar se admite un calcul simplificat cu considerarea rezultantei tuturor compresiunilor la nivelul centrului de greutate al armăturilor  $A'_a$  ;

- efortul  $\sigma_a$ , în armăturile  $A_a$ , concentrate la capătul întins : sau mai puțin comprimat, se ia în calcul cu valorile :

$$\sigma_a = R_a, \text{ dacă } \xi \leq \xi_{lim} ; \quad (II.19)$$

$$\sigma_a = \frac{\xi_{lim}}{\xi} \frac{(\xi - 1,25 \xi)}{(\xi - 1,25 \xi_{lim})} R_a, \text{ dacă } \xi_{lim} < \xi \leq 0,8 ; \quad (II.20)$$

$$\sigma_a = -R_a (5 \xi - 4), \text{ dacă } \xi > 0,8, \quad (II.21)$$

în care  $\xi = \frac{x}{l}$ .

$x$  reprezentând înălțimea zonei comprimate convenționale, pe sa-

se admite repartiția constantă a eforturilor unitare  $R_c$ , conform figurii (II.16) :

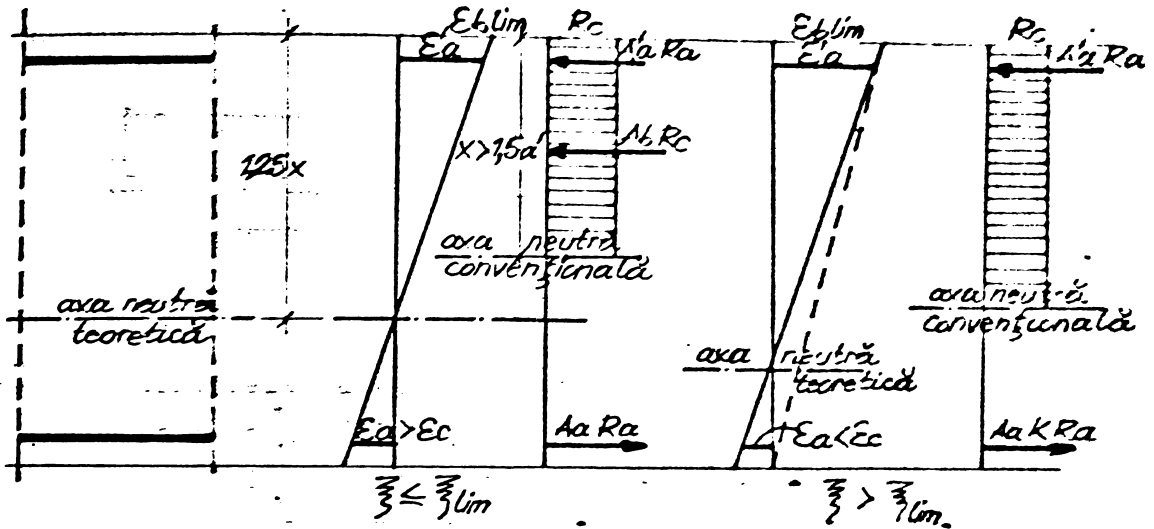


Fig.II.16.

Valorile  $\xi_{lim}$ , corespunzătoare cazului când în secțiune se ating simultan,  $E_{c,lim}$  în fibra de beton cea mai comprimată și  $E_c = R_s/E_s$  în armătură  $A_s$ , sînt date în tabelul II.1.

Dacă armăturile sînt așezate pe mai multe rînduri, sau există și armături intermediare, eforturile unitare vor fi stabilite separat pentru fiecare rînd de armături cu ajutorul expresiilor :

$$-R_s \leq \sigma_{s1} = \frac{\xi_{lim}}{1 - 1,25 \xi_{lim}} \frac{\xi_1 - 1,25 \xi}{\xi} R_s \leq R_s,$$

pentru  $\xi \leq 0,8$  ; (II.22)

$$-R_s \leq \sigma_{s1} = - \frac{1,25 \xi_{lim}}{1 - 1,25 \xi_{lim}} \left[ 5\xi_1(1-\xi) + 2,72 - 2,15 \xi \right] R_s,$$

pentru  $\xi > 0,8$ , (II.23)

în care  $\xi_1 = h_1/h_0$ , poziția relativă a armăturii, (Fig.II.17).

Proiectul de standard 10107/0-84, admite calculul la compresiune excentrică oblică, cu relația :

$$\left( \frac{M_x}{M_{x, oap}} \right)^\beta + \left( \frac{M_y}{M_{y, oap}} \right)^\beta \leq 1 \quad (II.24)$$

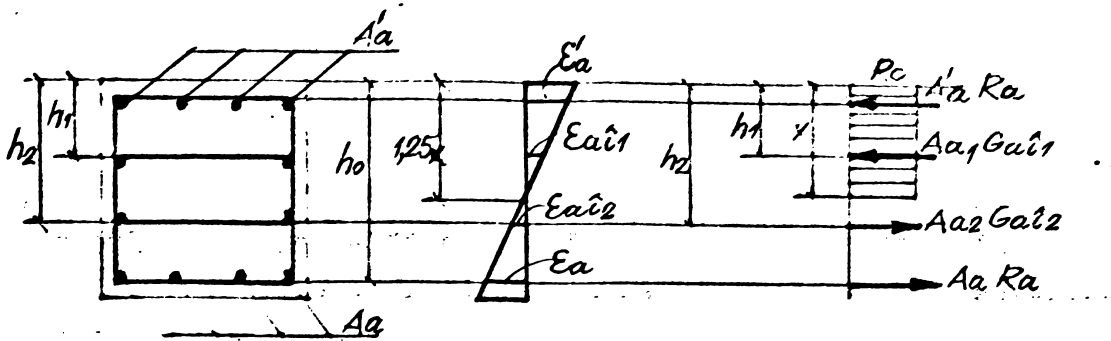


Fig.II.17.

reprezentând relația (90) din standardul de mai sus.

În relația (II.24) :

-  $M_x$  și  $M_y$  sînt momentele încovoietoare de calcul, pe direcțiile  $x$  și  $y$ , rezultate din calculul static ;

-  $M_{x\text{cap}}$  și  $M_{y\text{cap}}$ , sînt momentele încovoietoare capabile, pe cele două direcții, corespunzătoare forței axiale  $N$  ;

- se admite în mod simplificat ca :

$$\beta = 1,7(1-n) \quad \text{pentru } n \leq 0,35 ;$$

$$\beta = 1 + 0,3n \quad \text{pentru } n > 0,35 ;$$

$$\text{în care } n = \frac{N}{A_b R_c}$$

În cazul particular al secțiunii dreptunghiulare, determinarea exponentului  $\beta$ , se face conform anexei B, din stasul 10107/0-54, exponentul  $\beta$ , determinîndu-se ca soluție a ecuației :

$$\left( \frac{M_{Dx\text{cap}}}{M_{x\text{cap}}} \right)^\beta + \left( \frac{M_{Dy\text{cap}}}{M_{y\text{cap}}} \right)^\beta = 1 \quad (\text{II.25})$$

relația (E.1) din stasul amintit, în care  $M_{Dx\text{cap}}$  și  $M_{Dy\text{cap}}$  se determină considerînd că forța  $N$  acționează după una sau cealaltă din diagonalele secțiunii. În această situație, axa neutră este paralelă cu diagonala pe care nu acționează forța  $N$ .

### 2.3.2. Norme românești, STAS-ul 10107/0-76

Conform STAS-ului 10107/0-76, elementele cu secțiune simetrică în raport cu două axe perpendiculare, solicitate simultan de o forță axială și de momente încovoietoare, acționînd după ambele axe - compresiune excentrică oblică - fig.II.18 - se pot calcula cu ajutorul relației :



$$N \leq \frac{1}{\frac{1}{N_x} + \frac{1}{N_y} - \frac{1}{N_c}} \quad (II.26)$$

în care :

- $N$  - solicitarea de calcul ;
- $N_x$  - forța longitudinală de calcul, care poate fi preluată de secțiune, în cazul în care, forța acționează în planul  $x$ , avînd excentricitatea  $e_{ox}$  ;
- $N_y$  - forța longitudinală de calcul, care poate fi preluată de secțiune, în cazul în care, forța acționează în planul  $y$ , avînd excentricitatea  $e_{oy}$  ;
- $N_c$  - forța longitudinală de calcul, care poate fi preluată de secțiune, în cazul solicitării ei, la compresiune cu excentricitate minimă, pe direcția laturii lungi. Nu se ia în considerare influența flexibilității.

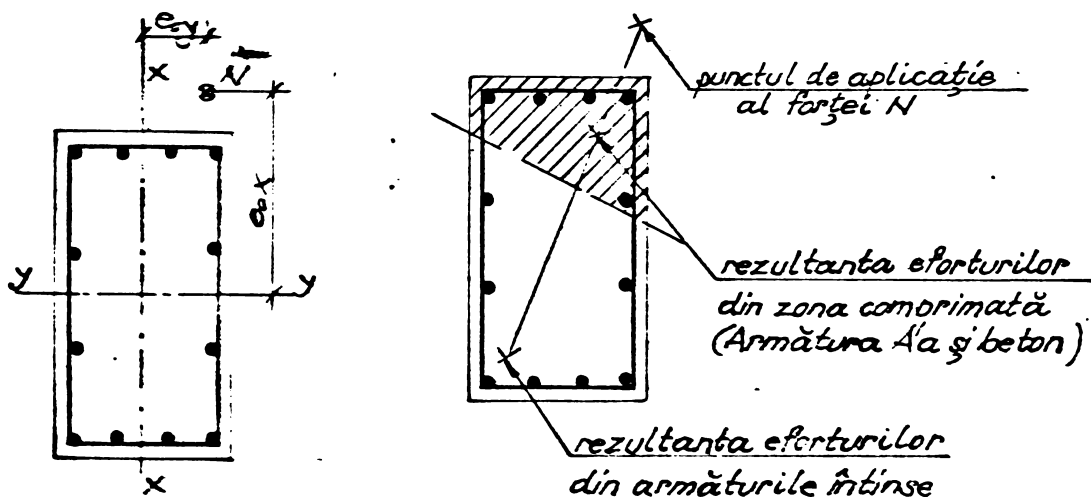


Fig.II.18.

Pentru elementele la care excentricitatea, cel puțin pe o direcție, este mare (fig.II.18), se recomandă să se efectueze calculul pe baza relației :

$$N \leq A_b R_c + (A'_a - A_a) R_a \quad (II.27)$$

Poziția axei neutre se determină prin încercări, ținînd seama de relația (II.27) și de condiția de coliniaritate a punctelor de aplicație, a forței  $N$ , a rezultantei eforturilor din zona comprimată a secțiunii și a rezultantei eforturilor de întindere din armătura  $A_a$  (relația II.28) :

$$S_b R_c + A'_a R_a e' - A_a R_a e = 0 \quad (II.28)$$

în care :

$S_{DN}$  - momentul static al zonei comprimate de beton, în raport cu punctul de aplicație al forței  $N$  ;

$A_D$  - aria zonei comprimate de beton.

### 2.3.3. Recomandările CEB-FIP

Acestea au fost publicate în "Buletin d'information" nr.135, mai 1980.

Ipotezele care stau la baza calculului sînt :

- secțiunile plane, rămîn plane și după deformarea elementului ;
- există compatibilitate între deformările specifice ale betonului și oțelului ;
- se neglijează aportul zonei întinse de beton ;
- diagrama caracteristică,  $\sigma - \epsilon$ , pentru beton este redată în fig.II.19 ;

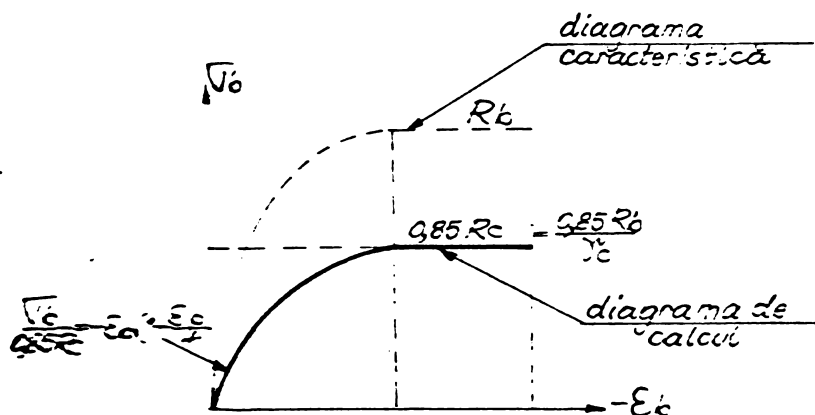


Fig.II.19. Diagrama caracteristică pentru beton.

- diagrama caracteristică pentru oțel, este redată în fig. II.20.

După cum rezultă din diagramele caracteristice, trebuie să se țină seama de următoarele :

- deformarea limită la compresiune a betonului este egală cu  $2 \text{‰}$ , pentru compresiune centrică și  $3,5 \text{‰}$  pentru încovoiere ;
- alungirea specifică a oțelului este plafonată la  $10 \text{‰}$  iar  $\epsilon_c = R_a / E_a$ .

Avînd în vedere ipotezele de mai sus, axa neutră se construiește, pornind de la valorile deformărilor specifice  $\epsilon_D$  și  $\epsilon_a$ , astfel încît să se realizeze echilibrul forțelor interne și al acțiunilor

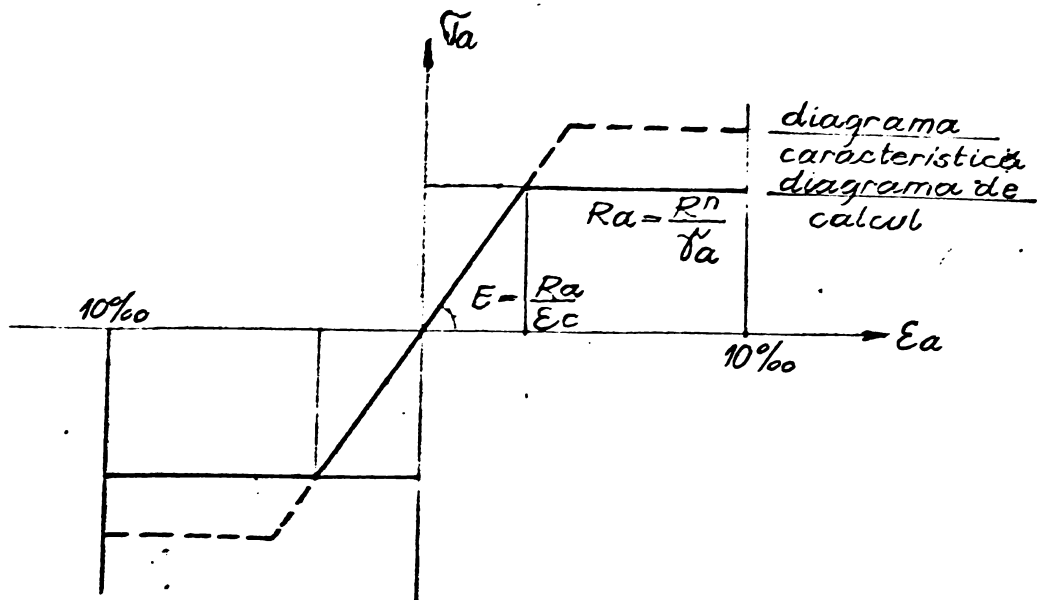


Fig.II.20. Diagrama caracteristică pentru oțel.

exterioare.

Pe baza celor arătate, diagrama deformațiilor secțiunilor, pentru toate categoriile de solicitare, este schematizată în fig. II.21.

În calculul la starea limită de rezistență, se disting, în funcție de caracterul distribuției deformațiilor pe înălțimea secțiunii transversale, 5 (cinci) domenii, în funcție de natura solicitării elementului :

- domeniile 1 și 2 ;

Acestea se caracterizează prin faptul că alungirea oțelului ajunge până la valoarea plafonată de 10 ‰, rotirea secțiunii producându-se în jurul punctului A. În domeniul 1 întreaga secțiune este întinsă, iar axa neutră iese din secțiune. Este cazul întinderii centrice și al întinderii centrice cu mică excentricitate. Domeniul 2 se caracterizează prin faptul că axa neutră se află în secțiune, având o zonă comprimată și una întinsă. Deformația specifică a zonei comprimate este cuprinsă între 0 și -3,5 ‰. Ruperea începe deci, prin curgerea armăturii întinse ( $\epsilon_a = 10 \text{ ‰}$ ). Este cazul elementelor încovoiate supraarmate :

- domeniile 3 : 4 și 4a ;

Se caracterizează prin faptul, că la ruperea elementului, în beton se atinge deformația limită ( $\epsilon_b = 3,5 \text{ ‰}$ ) și toate secțiunile se rotește în jurul punctului B. Domeniul 3, este caracterizat, prin deformații specifice ale oțelului, cuprinse între 10 ‰ și  $\epsilon_c$ , deformații ce corespund rezistenței de calcul, ( $\sigma_a = R_a$ ). Situația este caracteristică elementelor din beton armat, solicitate la în-

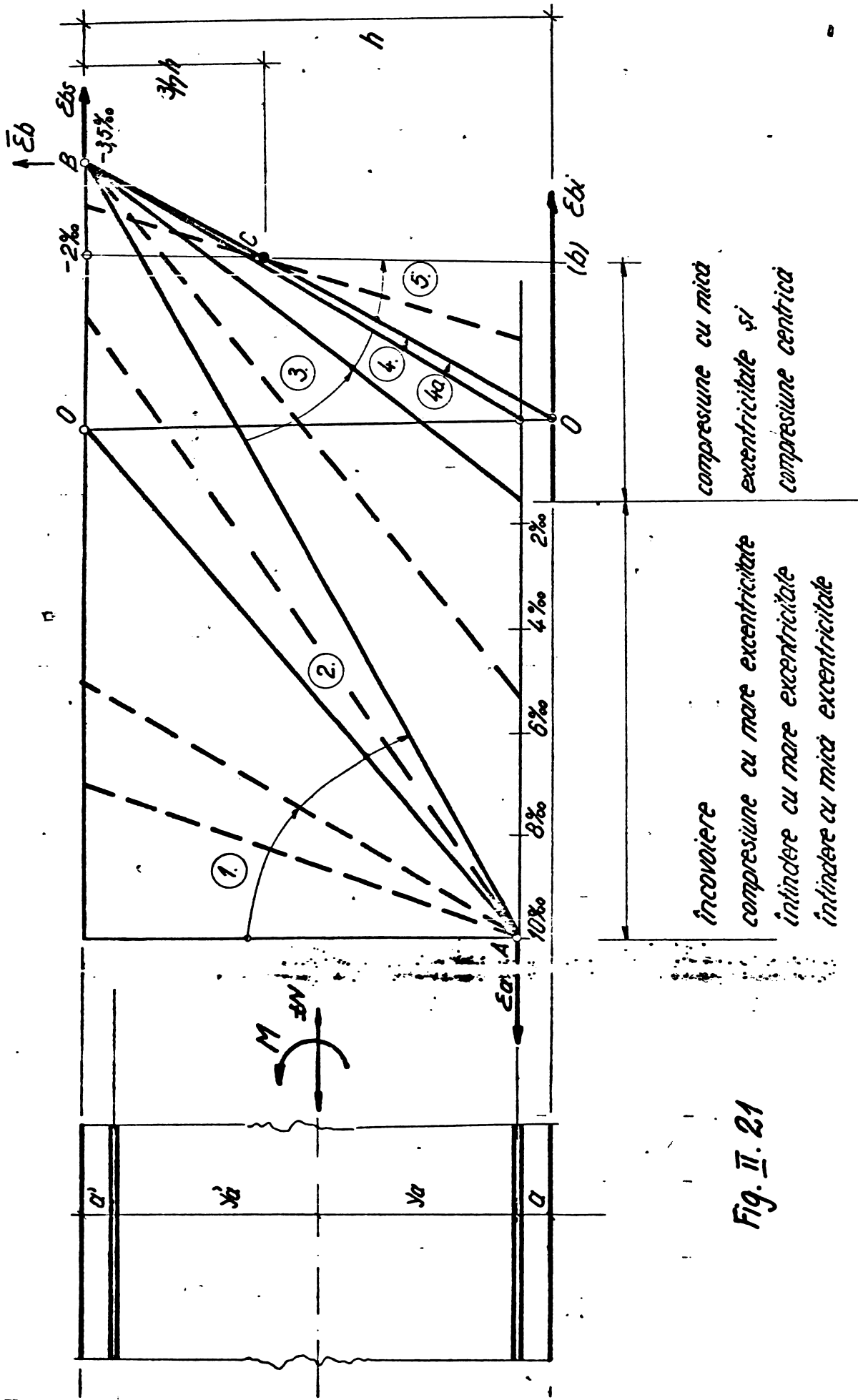


Fig. II. 21

incovoiere, cu procente uzuale de armare, sau solicitate la întindere și compresiune, cu mare excentricitate. Domeniul 4 se caracterizează, prin deformații specifice ale oțelului, de întindere, dar cuprinse între  $\epsilon_c = R_a/E_a$  și zero. Efortul unitar în armătură este și el la întindere avînd valoarea  $\sigma_a \leq R_a$ . Este cazul solicitării de compresiune excentrică cu mică excentricitate, cînd axa neutră este în secțiune, pînă la limita secțiunii. Domeniul 4 se caracterizează, prin apariția în oțel, a unor mici eforturi de compresiune, deci  $\sigma_a < -R_a$ , situație ce caracterizează, compresiune excentrică cu mică excentricitate, cînd axa neutră iese din secțiune, întreaga secțiune de beton fiind comprimată.

- domeniul 5 .

În acest domeniu, deformațiile zonei mai comprimate de beton, sînt cuprinse între 2 ‰ și -3,5 ‰. Toate secțiunile se rotesc în jurul punctului C. Efortul unitar în armătură are valoarea  $\sigma_a = -R_a$ . Acest domeniu, caracterizează compresiunea excentrică cu foarte mică excentricitate, ori compresiunea centrică.

Pentru domeniul compresiunii excentrice cu mică excentricitate, trebuie subliniat, că efortul unitar în armătură poate varia între valorile  $+R_a$  și  $-R_a$ , putîndu-se scrie sub forma  $\sigma_a = \pm KR_a$ , unde  $-1 \leq K \leq 1,0$ , în funcție de poziția relativă a axei neutre.

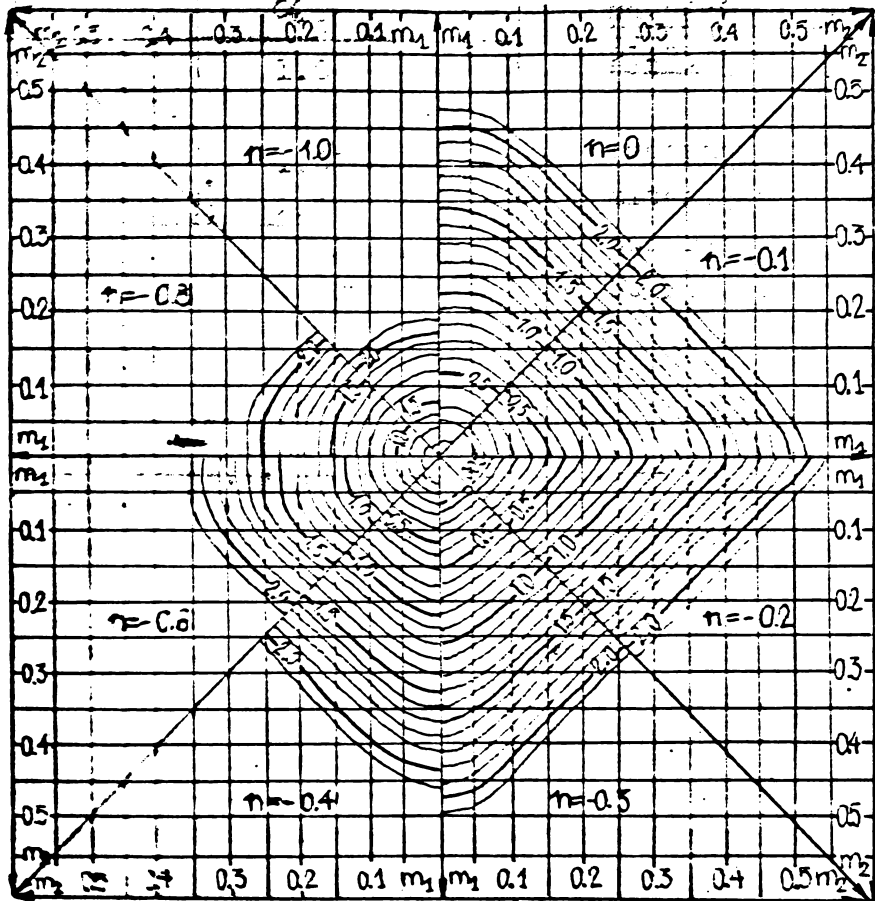
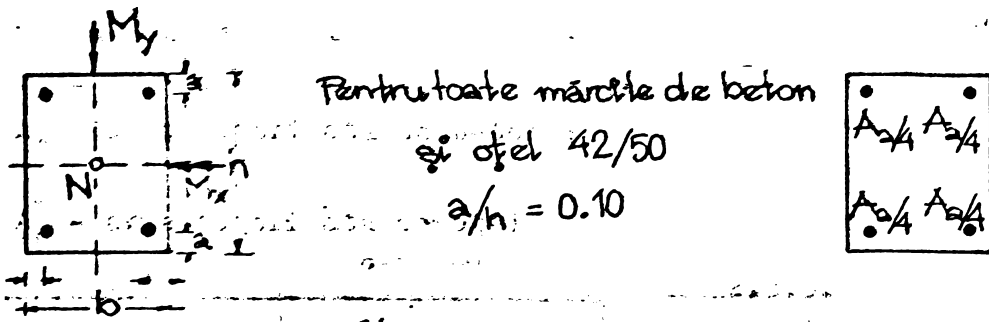
Pe baza acestor ipoteze, calculul elementelor din beton armat, la compresiune excentrică oblică, se conduce cu ajutorul diagramei de interacțiune, forță axială-momente încovoietoare pe cele două direcții, diagrame date în *Bulletin d'information nr.135 - mai 1980*, *Bemessungstabellen für Stahlbetonquerschnitte, auf der Grund der neuen DIN 1045-1972 (Fig.II.22)*.

#### 2.3.4. Normele engleze CP 110-70

Incovoierea biaxială cu forță normală, care solicită stîlpii scurți se calculează cu relația :

$$\left( \frac{M_x}{M_{ux}} \right)^{0,7} + \left( \frac{M_y}{M_{uy}} \right)^{0,7} \leq 1,0 \quad (\text{II.29})$$

- în care :
- $M_x$  și  $M_y$  - sînt momentele de calcul din cele două planuri x, respectiv y ;
  - $M_{ux}$  - este momentul capabil al secțiunii, în planul x, corespunzător forței axiale N ;
  - $M_{uy}$  - este momentul capabil al secțiunii, în planul y, corespunzător forței axiale N ;



când  $m_x > m_y \rightarrow m_1 = m_x; m_2 = m_y$   
 când  $m_y > m_x \rightarrow m_1 = m_y; m_2 = m_x$

$$m_x = \frac{M_x}{bh^2 R_c} \quad m_y = \frac{M_y}{b^2 h R_c} \quad n = \frac{N}{bh R_c}$$

Marca betonului		B150	B250	B350	B450	B550
Rezistența betonului	$R_c$	105	175	230	270	300
Raportul rezistențelor	$R_s/R_c$	40.0	24.0	18.3	15.6	14.0

FIG. II 22  
ROSA CURBELOR DE ÎNTERACȚIUNE DUPĂ DIN 1045 (m)

- $\alpha_n$  - este <sup>in functie de</sup> raportul  $N/N_{uz}$ , dat în tabelul II.2 ;
- $N_{uz} = 0,45 f_{cu} A_c + 0,75 f_y \cdot A'_s$  ;
  - $f_{cu}$  - rezistența normată a betonului ;
  - $A_c$  - aria comprimată de beton ;
  - $f_y$  - rezistența normată a oțelului ;
  - $A'_s$  - aria comprimată de oțel.

Tabelul II.2.

$N/N_{uz}$	$\alpha_n$
0,2	1,0
0,4	1,33
0,6	1,67
0,8	2,0

2.3.5. Noile reco-  
mandări CAER-SNIP-  
21-75

Pe lângă vechile recomandări, care admiteau calculul la compresiune excentrică oblică, cu formula lui

Nikitin, noile norme, se bazează pe echilibrul eforturilor interioare cu cele exterioare, considerînd o variație liniară a eforturilor în armături, în funcție de poziția lor față de axa neutră.

Calculul secțiunilor, în cazul general, (fig.II.23), se face conform condiției :

$$\bar{M} \leq \pm (R_c S_b - \sum G_{ai} S_{ai}) \quad (II.30)$$

în care, semnul + se ia în cazul compresiunii excentrice și încovoierii, iar semnul -, în cazul întinderii.

În relația (II.30) :

$\bar{M}$  - pentru elementele încovoiate, este proiecția momentului pe planul perpendicular pe axa care delimitează zona comprimată a secțiunii ;

- pentru elementele comprimate excentric, momentul dat de forța longitudinală  $N$ , față de axa dreptei, paralelă cu axa care delimitează zona comprimată și care trece, la elementele comprimate excentric, prin centrul de greutate al secțiunii barei celei mai întinse sau celei mai puțin comprimate a armăturii longitudinale, iar la elementele întinse excentric prin punctul zonei comprimate mai depărtat de dreapta arătată :

$S_b$  și  $S_{ai}$  - momentele statice ale zonei comprimate de beton și ale barelor armăturilor longitudinale, raportate la axa care trece prin centrul de greutate al secțiunii barei celei mai întinse sau celei mai puțin comprimate (pentru încovoiere și compresiune excentrică), sau la elementele întinse excentric, prin punctul zonei comprimate mai depărtat de axa neutră ;

$G_{ai}$  - eforturile 1, în barele armăturilor longitudinale, determinate conform indicațiilor de mai jos.

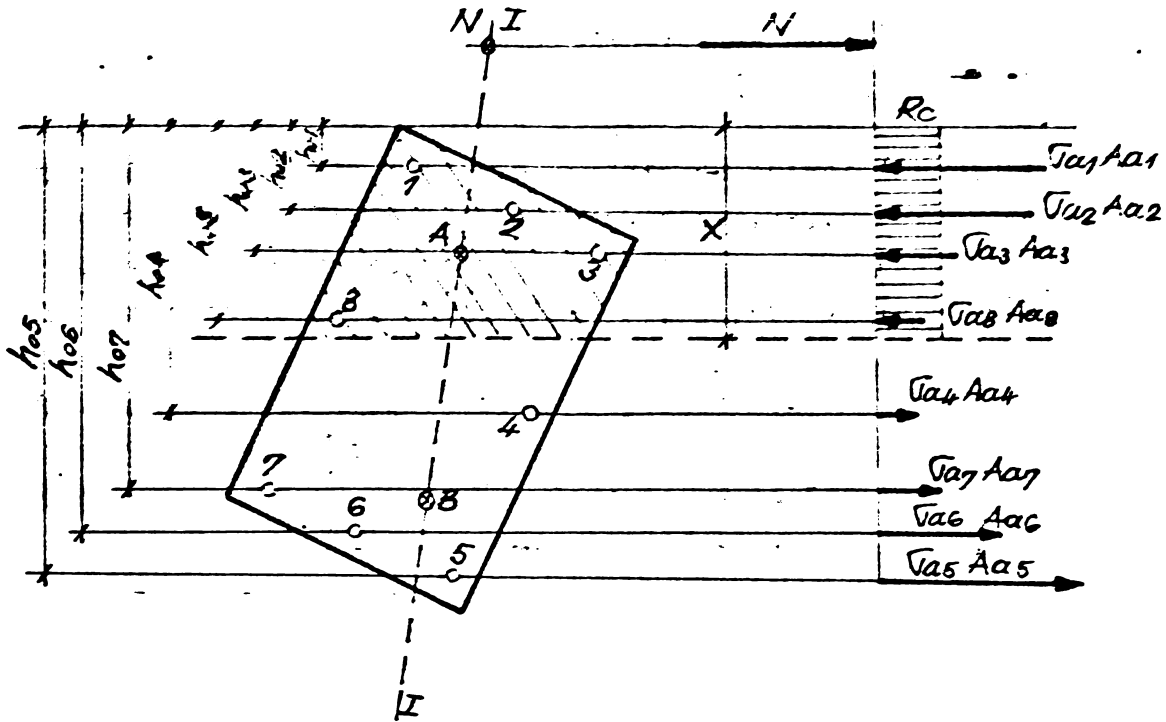


Fig.II.23. Schema forțelor și epura eforturilor pe secțiunea normală, pe axa longitudinală, a elementelor din beton armat, în cazul general al calculului de rezistență.

- planul I-I reprezintă planul de acțiune al momentului încovoietor, sau planul care trece prin punctele : de aplicare a forței longitudinale, de aplicare a rezultantei interioare a forțelor de compresiune și punctul de aplicare a rezultantei forțelor interioare de întindere ;
- punctul A reprezintă punctul de aplicare a rezultantei compresionilor (din armăturile comprimate și betonul comprimat) ;
- punctul B reprezintă punctul de aplicare a rezultantei întinderii ;
- 1 la 8 reprezintă indicii barelor armăturii.

Înălțimea zonei comprimate  $x$  și a efortului unitar  $G_{ai}$ , în  $\text{kgf/cm}^2$ , se vor determina din rezolvarea în comun a ecuațiilor :

$$\begin{cases} R_c A_b - \sum G_{ai} A_{ai} + N = 0 & \text{(II.31)} \\ G_{ai} = \frac{4000}{1 - \frac{f_0}{f_i}} \left( \frac{f_0}{f_i} - 1 \right) + \sigma_{o_i} & \text{(II.32)} \end{cases}$$

În ecuația (II.31) se ia semnul - înaintea lui  $N$ , pentru compresiunea excentrică și semnul + pentru întinderea excentrică a elementelor.

În afară de aceasta, pentru determinarea poziției marginii zonei comprimate, la încovoiere oblică, trebuie respectată condiția de coliniaritate a planului de acțiune al momentelor forțelor interioare



și exterioare, iar la compresiune excentrică oblică trebuie respectate condițiile ca punctele de aplicație a forțelor exterioare, a rezultantei eforturilor de compresiune în beton și armăturile comprimate și a rezultantei eforturilor de întindere trebuie să stea pe o dreaptă (vezi fig.II.23).

Efortul  $G_{a_i}$  se introduce în formula de calcul (II.31) cu semnul său, rezultat din calculul cu formula (II.32), pentru aceasta trebuind să respectăm următoarea condiție :

în toate cazurile  $R_{a_i} \geq G_{a_i} \geq -R_{a_{ci}}$  : pentru elementele pre-comprimate, efortul preliminar  $G_{a_i} \geq G_{ci}$ , în care  $G_{ci}$  este efortul în armătură egal cu efortul estimat  $G'_{ci}$ , redus la mărimea 4000 kgf/cm<sup>2</sup>, sau dacă se utilizează un coeficient al condițiilor de lucru  $m_{\Gamma} = 0,85$ , la mărimea 5000 kgf/cm<sup>2</sup> ; pentru calculul estimativ al efortului  $G'_{ci}$  apelăm la mărimea 3300 kgf/cm<sup>2</sup>.

În afară de aceasta, dacă valoarea lui  $G_{a_i}$ , dedusă cu formula (II.32), pentru armăturile din clasa A-IV; A<sub>T</sub><sup>I</sup>-IV; A-V; B<sub>p</sub> și K7, depășește  $0,8 R_{a_i}$ , atunci efortul  $G_{a_i}$ , trebuie determinat cu formula (II.33) :

$$G_{a_i} = (0,8 + 0,2 \frac{\int y_i - \int j_i}{\int y_i - \int R_i}) R_{a_i} \quad (II.33)$$

În cazurile în care efortul în armătură, determinat cu relația (II.33) trece de  $R_{a_i}$ , este necesar ca în condițiile (II.30) și (II.32), pentru barele corespunzătoare armăturii, să luăm valoarea  $R_{a_i}$ , ținând cont de coeficienții condițiilor de lucru, arătați în paragraful 3.13 din norme.

În formulele (II.31) la (II.33) :

-  $A_{a_i}$  este aria secțiunii transversale  $i$ , a barei armăturii longitudinale ;

-  $G_{ci}$  este efortul preliminar, în bara armăturii longitudinale  $i$ , determinat cu coeficientul  $m_{\Gamma}$ , admis în dependență de poziția barei ;

-  $\int j_i$  este înălțimea relativă a zonei comprimate de beton, egală cu  $\int j_i = x/h_{0_i}$ , în care  $h_{0_i}$  este distanța de la axa care trece prin centrul de greutate la secțiunii barei armăturii longitudinale considerate, i. pînă la dreapta paralelă care delimitează punctul cel mai depărtat al zonei comprimate a secțiunii ;

-  $\int j_0$  - caracteristica zonei comprimate de beton,

$$\int j_0 = a - 0,003 R_{\Gamma p}$$

$$\int j_0 = 0,55 - 0,003 R_{\Gamma p} + b \text{ (se limitează la } 0,9 \text{)} ;$$

-  $\beta$  - coeficient egal cu valoarea 10 ;  
 -  $\xi_{x1}$  și  $\xi_{y1}$  - înălțimea relativă a zonei comprimate, care corespunde realizării în bara considerată a efortului  $R_{a1}$  și  $0,8 R_{a1}$ , valorile  $\xi_{x1}$  și  $\xi_{y1}$  determinându-se după formulele :

$$\xi_{R1}(\xi_1) = \frac{\xi_0}{1 + \frac{\sigma_{A1}}{4000} (1 + \frac{\xi_0}{1,1})} \quad (II.34)$$

în care  $\sigma_{A1} = R_{a1} + 4000 - \sigma_{o1}$  (kgf/cm<sup>2</sup>),

$\sigma_{A1} = 0,8 R_{a1} - \sigma_{o1}$  (kgf/cm<sup>2</sup>), în determinarea lui  $\xi_{y1}$ .

Dacă în calculul elementelor din beton greu, se folosește un coeficient al condițiilor de lucru  $\sigma_1 = 0,81$ , în relațiile (II.32) la (II.34) numărul 4000 se înlocuiește cu 5000.

### 2.3.6. Alte metode simpliste

a) Metoda suprapunerii a două compresiuni excentrice drepte. (fig.II.24).

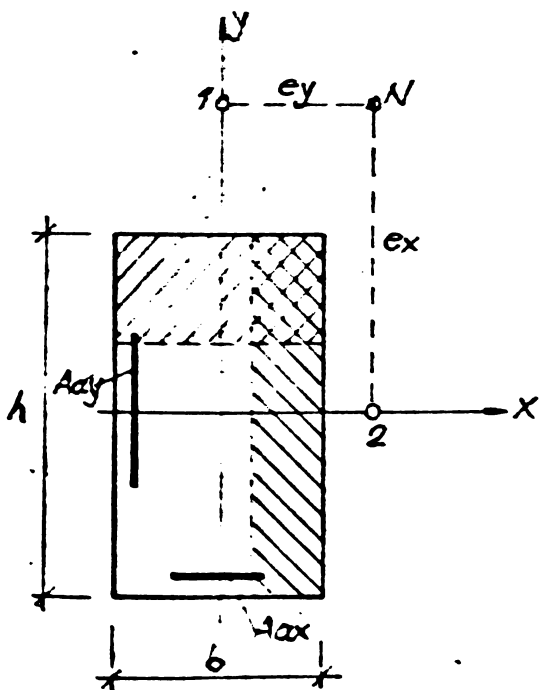


Fig.II.24.

Se consideră că forța  $N$  acționează o dată în punctul 1, rezultând compresiunea excentrică dreaptă după axa  $x$  și a doua oară în punctul 2, rezultând compresiunea excentrică dreaptă după axa  $y$ . Din cele două calcule rezultă, din primul caz,  $A_{ax}$ , din al doilea  $A_{ay}$ . În final armăturile obținute se însușează.

b) Metoda venezueleană (fig. II.25), face descompunerea compresiunii excentrice oblice, în două compresiuni excentrice drepte, prin trasarea unei drepte ce trece prin poziția forței excentrice și este paralelă cu diagonala secțiunii de calcul.

c) Metoda Szalai, constă în aplicarea unor coeficienți de reducere, ce cuprind influența excentricității :

$$\alpha_{xy} = \frac{1}{1 + a_x \frac{e_x}{j_x} + a_y \frac{e_y}{j_y}} \quad (II.35)$$

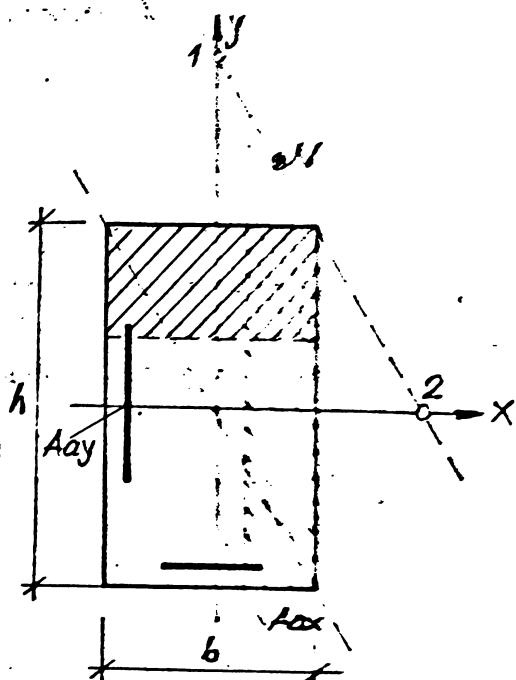


Fig.II.25.

iar forța capabilă excentrică se obține din cea centrică

$$P = \alpha_{xy} \cdot P_0 \quad (II.36)$$

### 2.2.7. Privire critică asupra metodelor de calcul analizate

#### 2.2.7.1. Formele românești

Stagul 10107/0-76, în vigoare, permite calculul la starea limită de rezistență, pe două căi. O cale teoretică, nepractică și deci neutilizată de proiectanți, care presupune aplicarea schemei și ipotezelor generale de la încovoiere, respectiv compresiune excentrică pe o direcție, poziția

axei neutre determinându-se prin încercări, respectând și condiția suplimentară de coliniaritate a punctelor, de aplicație a forței, a rezultantei eforturilor din zona comprimată a secțiunii și a rezultantei eforturilor de întindere din armătura  $A_s$ .

A doua cale, practică, utilizată în proiectare - relația lui Nikitin. Deși relația lui Nikitin nu are fundamentare științifică, chiar și în cazul când excentricitatea este mare numai pe o direcție, totuși aplicarea ei în practică, ani la rând, nu a scos în evidență defecțiuni flagrante, asigurând durabilitatea elementelor în mod corespunzător, chiar și după cutremurul din 1977. Relația este indicată a se aplica în cazul creșterii proporționale a eforturilor  $N$ ,  $M_x$ ,  $M_y$  (o supraîncărcare de tip gravitațional).

În urma cutremurului din 4 martie 1977, s-a ajuns la concluzia că și pentru zonele seismice ale țării, mai importantă este creșterea momentelor încovoietoare  $M_x$  și  $M_y$ , în timp ce forța axială rămâne constantă. Este ceea ce se întâmplă în timpul seismului. Acest fenomen este luat în considerare în Proiectul de standard 10107/0-84, prin folosirea curbelor de interacțiune N-M.

Relația de calcul propusă (relația II.14), evidențiază sporul de capacitate portantă la supraîncărceri provenite din acțiunea seismului.

Ambele metode însă, sînt metode aproximative, atît prin

ipotezele pe care le consideră, cât și prin modul cum încearcă să apropie capacitatea portantă calculată, de cea efectivă a secțiunii, (prin exponentul  $\beta$ ).

Ambele metode au dezavantajul că sînt metode de verificare, nu de dimensionare.

Proiectarea se face prin verificarea secțiunii, alegînd anticipat secțiunile de beton și armătură sau făcînd un calcul anticipat al secțiunii pentru  $N$  și  $e_{oc\ x}$ , și apoi pentru  $N$  și  $e_{oc\ y}$ .

Relația prevăzută în ediția revizuită a STAS-ului 10107/C-76 (STAS 10107/C-24), cuprinde mai bine starea de eforturi datorată solicitării seismice, caz frecvent întîlnit în zonele seismice ale țării noastre și din acest considerent este preferată relației lui Nikitin.

### 2.2.7. Normele străine

Încearcă să apropie calculul de situația de comportare reală a materialului, prin considerarea unor diagrame caracteristice de calcul pentru beton și armătură, cât mai apropiate de proprietățile reale. Axa neutră se construiește pornind de la valorile deformațiilor specifice date de diagramele caracteristice de calcul, astfel încît să se realizeze echilibrul forțelor interioare și al acțiunilor exterioare (vezi normele CEP-FIP ; ACI 318-71; DIN 1045-72). Pe baza ipotezelor sărise, s-au întocmit diagrame de interacțiune  $N-M_x-M_y$ , cu ajutorul cărora proiectanții să poată face verificarea secțiunilor (același neajuns ca la normele românești al neputinței dimensionării directe).

Noile recomandări CAER, SNIP-21-75, se bazează pe echilibrul eforturilor interioare cu cele exterioare, considerînd o variație liniară a eforturilor în armături, în funcție de poziția lor față de axa neutră, evitînd problema efortului din armăturile  $A_g$  (mai puțin comprimate sau întinse), în cazul compresiunii excentrice cu mică excentricitate, prin acceptarea ipotezei secțiunilor plane pînă la ruperea elementului. În apropierea ruperii, ipoteza nu mai poate fi în să acceptată.

CAP. III. CONTRIBUTII CU PRIVIRE LA CALCULUL LA  
STAREA LIMITE DE REZISTENTA A STILPILOR  
DIN BETON ARMAT, DE SECTIUNE DUBLU T,  
SOLICITATI LA COMPRESIUNE EXCENTRICA  
OBLICA, PRIN APLICAREA FORMULEI LUI NIKITIN

3.1. Aspecte generale si principii de calcul

Normele actuale de calcul, (STAS 10102 ; STAS 10107/0-76 ; STAS 10111), dau numai indicatiile generale, privind calculul capacității portante, pentru stâlpii solicitați la compresiune excentrică oblică, (fie relația lui Nikitin, fie condiția de coliniaritate a punctelor de aplicație, a forței  $N$ , a rezultantei eforturilor rezultate din zona comprimată și a rezultantei eforturilor din armătura întinsă).

Referitor la relația lui Nikitin, se poate scoate în evidență, că dacă pentru secțiunea dreptunghiulară aplicarea ei este clară, pentru secțiuni dublu T nu se dau decât indicații generale.

În vederea asigurării aplicării de către proiectanți a relației lui Nikitin la stâlpii de secțiune dublu T, în anul 1979 s-a făcut de către Centrul de Beton armat și clădiri, un studiu teoretic și experimental în acest sens, în baza contractului nr.10125/78, beneficiar fiind INCEP-București.

La relația de calcul, propusă de Nikitin, se ajunge, considerând că elementul lucrează în stadiul II (în stadiul de exploatare) și este solicitat la compresiune excentrică oblică cu mică excentricitate.

În stadiul II ipotezele care se iau în considerare sînt următoarele : betonul nu lucrează la întindere, iar la compresiune lucrează în stadiul elastic ; secțiunile rămîn plane și după deformare.

Se consideră secțiunea din fig.III.1, solicitată la compresiune excentrică oblică. Elementul lucrînd în stadiul elastic, efortul unitar în beton va fi :

$$\sigma_b = \frac{N}{A_{b1}} + \frac{M_x}{W_{b_{x1}}} + \frac{M_y}{W_{b_{y1}}} \quad (\text{III.1})$$

Dacă forța  $N$  ar fi așezată în planul  $x-x$  :

$$\sigma_{bx} = \frac{N}{A_{b1}} + \frac{M_x}{W_{b_{x1}}} \quad (\text{III.2})$$

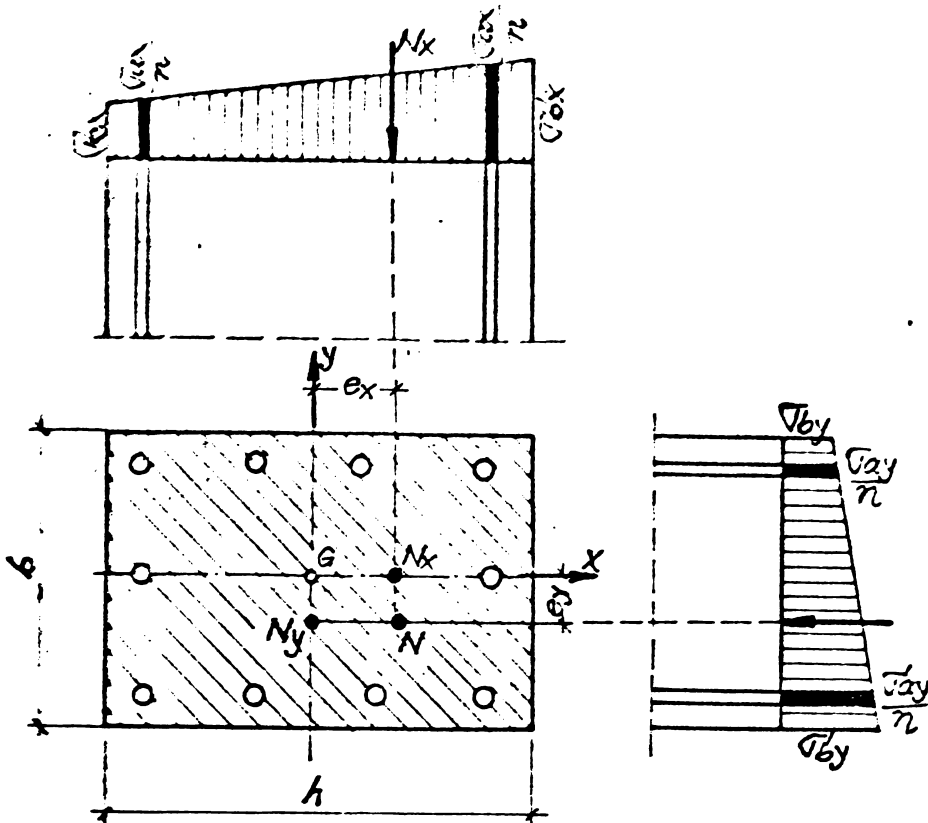


Fig.III.1. Compresiunea excentrică oblică cu mică excentricitate.

iar dacă forța  $N$  ar fi așezată în planul  $y-y$  :

$$\sigma_{by} = \frac{N}{A_{bi}} + \frac{M_y}{W_{byi}} \quad (\text{III.3})$$

Însurind relațiile (III.2) și (III.3) se poate scrie :

$$\sigma_b = \sigma_{bx} + \sigma_{by} - \sigma_{bo} \quad (\text{III.4})$$

în care :

$$\sigma_{bo} = \frac{N}{A_{bi}} \quad (\text{III.5})$$

Dacă se notează :

$$c = \frac{y}{N^h}; \quad c_x = \frac{N_x}{N^h}; \quad c_y = \frac{N_y}{N^h} \quad \text{și} \quad c_o = \frac{N_o}{N^h} \quad (\text{III.6.a-d})$$

în care  $N$  este forța axială de calcul (rezultată din calculul static),  $N^h$  este forța ce acționează în stadiul II (în exploatare), iar  $N_x$ ,  $N_y$  și  $N_o$  sînt forțele capabile ale secțiunii ce se verifică, atunci cînd forța ar acționa în planul  $x$ , respectiv planul  $y$ , și respectiv la încărcarea centrică,  $c$ ,  $c_x$ ,  $c_y$  și  $c_o$  reprezintă coeficienții de siguranță la solicitarea  $N$ , respectiv  $N_x$ ,  $N_y$  și  $N_o$ .

Pe de altă parte se poate scrie că :

$$c = \frac{R_c}{G_b}; c_x = \frac{R_c}{G_{bx}}; c_y = \frac{R_c}{G_{by}} \text{ și } c_o = \frac{R_c}{G_{bo}} \quad (\text{III.7a-d})$$

sau :

$$G_b = \frac{R_c}{c}; G_{bx} = \frac{R_c}{c_x}; G_{by} = \frac{R_c}{c_y} \text{ și } G_{bo} = \frac{R_c}{c_o} \quad (\text{III.8a-d})$$

Înlocuind valorile din relațiile (III.8a-d) în relația III.4) se obține :

$$\frac{R_c}{c} = \frac{R_c}{c_x} + \frac{R_c}{c_y} - \frac{R_c}{c_o} \quad (\text{III.9}) \text{ sau împărțind cu } R_c \text{ se obține:}$$

$$\frac{1}{c} = \frac{1}{c_x} + \frac{1}{c_y} - \frac{1}{c_o} \quad (\text{III.10})$$

Înlocuind valorile coeficienților din (III.10) cu cele din III.6.a-d) se obține :

$$\frac{1}{N} \geq \frac{1}{N_x} + \frac{1}{N_y} - \frac{1}{N_o} \text{ ceea ce este tot una}$$

$$\text{cu } \frac{1}{N} \geq \frac{1}{N_x} + \frac{1}{N_y} - \frac{1}{N_o} \quad (\text{III.11}) \text{ sau } N \leq \frac{1}{\frac{1}{N_x} + \frac{1}{N_y} - \frac{1}{N_o}} \quad (\text{III.11.a})$$

Calculul secțiunilor din beton armat, în formă de dublu T, pe baza formulei lui Nikitin, constă în determinarea forțelor excentrice capabile ale secțiunii,  $N_x$ ,  $N_y$  și  $N_c$ , în funcție de particularitățile secțiunii și apoi verificarea secțiunii cu formula lui Nikitin :

$$N \leq \frac{1}{\frac{1}{N_x} + \frac{1}{N_y} - \frac{1}{N_c}} \quad (\text{III.12}),$$

în care semnificațiile lui  $N_x$ ,  $N_y$  și  $N_c$  sînt redată în paragraful 2.3.2.

La baza calculului forțelor excentrice capabile  $N_x$ ,  $N_y$  și  $N_c$  au stat principiile prevăzute în STAS-ul 10107/0-76, pe baza următoarelor ipoteze :

- efortul unitar din betonul zonei comprimate are mărimea constantă  $R_c$  ;

- efortul unitar din betonul zonei întinse nu se ia în considerare în calcul ;

- efortul unitar  $G_a'$ , în armăturile  $A_a'$ , concentrate la capătul comprimat (sau comprimate), al secțiunii, se ia în calcul cu valoarea  $-R_a$ , dacă  $x > 2a'$ . Dacă  $x < 2a'$ , se admite un calcul simplificat, cu considerarea rezultantei tuturor compresiunilor la nive-

lul centrului de greutate al armăturilor  $A'_a$ .

Valoarea forței excentrice, în situația  $x < 2a'$  (în planul  $x$ , respectiv  $y$ ), rezultă din ecuația de momente în raport cu centrul de greutate al armăturilor  $A'_a$ :

$$N_{x(y)} = \frac{R_a (h_{0x(y)} - a'_x(y))}{e'_{x(y)}} \quad (III.13),$$

dar cel puțin capacitatea portantă a secțiunii considerată simplu armată;

- efortul unitar în armătura  $A_a$  (armătura mai depărtată de forța excentrică), se ia în calcule cu valoarea:

$$+R_a, \text{ dacă } \xi \leq \xi_{lim} \quad (III.14) \text{ (compresiune cu mare excentricitate);}$$

$$+kR_a = +R_a \left[ \frac{2(1-\xi)}{1-\xi_{lim}} - 1 \right] \quad (III.15) \text{ dacă } \xi > \xi_{lim}$$

(compresiune excentrică cu mică excentricitate);

- influența flexibilității, pentru  $\lambda_{min} < \lambda \leq 80$ , se ia în considerare printr-o metodă simplificată, care constă în multiplicarea excentricității de calcul ( $e_{oc}$ ), cu un coeficient supraunitar  $\eta$ , care pentru secțiunea dublu T se calculează cu relația:

$$\eta = \frac{1}{1 - \rho \frac{N}{N_{cr}}} \quad (III.16)$$

în care:

-  $N_{cr}$  este forța critică convențională, calculată numai pentru inima secțiunii dublu T;

-  $\rho$  este un coeficient, care ține seama de raportul momentelor de inerție, ale inimii și al întregii secțiuni dublu T și care este dat în tabele, în lucrarea [99], în funcție de  $h_p/h$  și  $b_p/b$

3.2. Verificarea la starea limită de rezistență a elementelor din beton armat, solicitate la compresiune excentrică oblică, prin aplicarea formulei lui Nikitin, la secțiuni dublu T.

3.2.1. Cazul compresiunii excentrice cu mare excentricitate

3.2.1.1. Calculul după axa x

În funcție de poziția axei neutre se pot întâlni două cazuri:

a) Axa neutră cade în placa superioară (fig.III.2).

Secțiunea lucrează la mare excentricitate dacă.

$$x_x = h_{0x} \xi_x \leq \xi_{x,lim} = 0,6 \quad (III.17)$$

și pentru ca axa neutră să cadă în placa superioară trebuie ca:

$$x_x = h_{0x} \xi_x \leq h_{px} \quad (III.18)$$



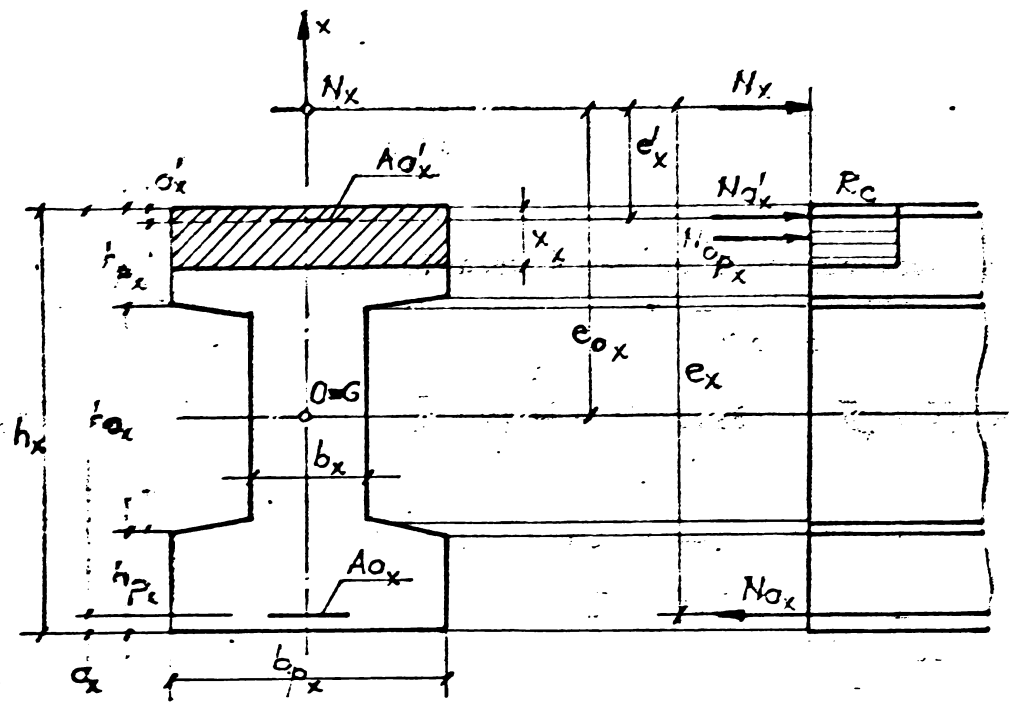


Fig.III.2.

Pentru rezolvarea secțiunii se dispune de o ecuație de proiecții după axa armăturii  $A_{ax}$  și de o ecuație de momente în raport cu aceeași armătură.

Se scriu cele două ecuații:

$$N_x = N_{bx} + N'_{ax} - N_{ax} \quad (III.19)$$

$$N_x \cdot e_x = N_{bx} (h_{ox} - 0,5 x_x) + N'_{ax} (h_{ox} - a'_x) \quad (III.20)$$

în care :

$$N_{bx} = b_{px} \cdot x_x \cdot R_c \quad (III.21)$$

$$N'_{ax} = A'_{ax} R_a \quad (III.22)$$

$$N_{ax} = A_{ax} R_a \quad (III.23)$$

Se explicitază relațiile (III.19) și (III.20), obținându-se :

$$N_x = b_{px} \cdot x_x \cdot R_c + A'_{ax} R_a - A_{ax} R_a \quad (III.19.a)$$

$$N_x \cdot e_x = b_{px} \cdot x_x \cdot R_c (h_{ox} - 0,5 x_x) + A'_{ax} R_a (h_{ox} - a'_x) \quad (III.20.a)$$

Se împarte relația (III.19.a) cu  $b_x \cdot h_{ox} \cdot R_c$  și relația (III.20.a) cu  $b_x \cdot h_{ox} \cdot R_c \cdot h_{ox}$ , rezultând :

$$\frac{N_x}{b_x \cdot h_{ox} \cdot R_c} = \frac{x_x \cdot R_c}{b_x \cdot h_{ox} \cdot R_c} + \frac{A'_{ax} R_a}{b_x \cdot h_{ox} \cdot R_c} - \frac{A_{ax} R_a}{b_x \cdot h_{ox} \cdot R_c} \quad (III.19.b)$$

$$\frac{N_x}{b_x h_{o_x} R_c} \cdot \frac{e_x}{L_{o_x}} = \frac{b_{p_x} x_x R_c}{b_x h_{o_x} R_c} \left( \frac{h_{o_x} - 0,5 x_x}{h_{o_x}} \right) + \frac{A'_x R_a}{b_x h_{o_x} R_c} \left( \frac{h_{o_x} - a'_x}{h_{o_x}} \right) \quad (\text{III.20.b})$$

Pentru a se lucra dimensional se introduc notațiile :

$$n_x = \frac{N_x}{b_x h_{o_x} R_c} \quad (\text{III.24}) ; \quad \bar{b}_{p_x} = \frac{b_{p_x}}{b_x} \quad (\text{III.25})$$

$$\bar{h}_{p_x} = \frac{h_{p_x}}{h_{o_x}} \quad (\text{III.26}) ; \quad \bar{a}_x = \bar{a}'_x = \frac{a_x}{h_{o_x}} = \frac{a'_x}{h_{o_x}} \quad (\text{III.27})$$

$$\beta_x = \frac{A'_x}{A_x} \quad (\text{III.28}) ; \quad \bar{\mu}'_x = \frac{A'_x R_a}{b_x h_{o_x} R_c} \quad (\text{III.29})$$

$$\bar{e}_x = \frac{e_x}{h_{o_x}} = 0,5 + \bar{e}_{oc_x} - 0,5 \bar{a}'_x \quad (\text{III.30})$$

Cu aceste notații, relațiile (III.19.b) și (III.20.b) devin sistemul :

$$\begin{cases} n_x = \bar{b}_{p_x} \cdot \xi_x + \bar{\mu}'_x (1 - \frac{1}{\beta_x}) \end{cases} \quad (\text{III.31})$$

$$\begin{cases} n_x \cdot \bar{e}_x = \bar{b}_{p_x} \xi_x (1 - 0,5 \xi_x) + \bar{\mu}'_x (1 - \bar{a}'_x) \end{cases} \quad (\text{III.32})$$

Înlocuind pe  $n_x$  din ecuația (III.32) cu valoarea sa din ecuația (III.31) obținem ecuația de gradul II în  $\xi_x$  :

$$\xi_x^2 + 2(\bar{e}_x - 1) \xi_x + 2 \frac{\bar{\mu}'_x}{\bar{b}_{p_x}} (\bar{e}_x - \frac{\bar{e}_x}{\beta_x} - 1 + \bar{a}'_x) = 0 \quad (\text{III.33})$$

Din relația (III.33) se remarcă că poziția relativă a axei neutre ( $\xi_x$ ) depinde de caracteristicile geometrice ( $\bar{b}_{p_x}$ ), de caracteristicile de armare ( $\bar{\mu}'_x, \beta_x, \bar{a}_x, \bar{a}'_x$ ), precum și de valoarea excentricității ( $\bar{e}_x$ ).

Dacă parametrilor, care determină poziția axei neutre, li se dau valori usual folosite în practica construcțiilor (și acest lucru se poate face utilizând mașina electronică de calcul), înseamnă că proiectanții pot dispune de abacé de calcul, cu ajutorul cărora să poată face verificarea unor secțiuni alese în prealabil, de beton armat.

În contextul celor de mai sus, relația (III.33) a fost rezolvată la calculatorul FELIX-C-256.

Parametrilor li s-au dat următoarele valori :

$$\bar{a}'_x = \bar{a}_x = 0,05 ; 0,08 ; 0,11.$$

$$\bar{b}_{p_x} = 2,00 ; 2,50 ; 3,00 ; 3,50 ; 4,00 ; 5,00.$$

$$\bar{\mu}'_x = 0,10 ; 0,15 ; 0,20 ; 0,25 ; 0,30.$$

$$\bar{e}_{ocx} = 0,00; 0,05; 0,10; 0,20; 0,30; 0,40; 0,60; 1,00; 3,00; 5,00.$$

$$\bar{e}_x = \bar{e}_{ocx} + 0,5 - 0,5 \bar{a}_x.$$

$$\beta_x = 1,00; 1,10; 1,20; 1,30; 1,40; 1,50.$$

$$\mu_x = 0,20; 0,05; 0,10; 0,20; 0,30; 0,40; 0,50; 0,60; 0,70.$$

Cu aceste valori se consideră acoperită plaja practică a parametrilor.

Prin condițiile de programare s-au reținut numai soluțiile reale ale lui  $\xi_x$ , din domeniul interesat și anume :

$$\xi_x \leq 0,6 \quad (III.17)$$

$$1,5 \bar{a}_x \leq \xi_x \leq h_{px} \quad (III.18)$$

Cu aceste valori ale lui  $\xi_x$ , obținute din rezolvarea ecuației (III.33) s-au calculat valorile forței axiale relative  $n_x$ , prin introducerea valorilor lui  $\xi_x$  în ecuația (III.31) tot cu ajutorul calculatorului.

b) Axe neutră cade în inima secțiunii (fig.III.3).

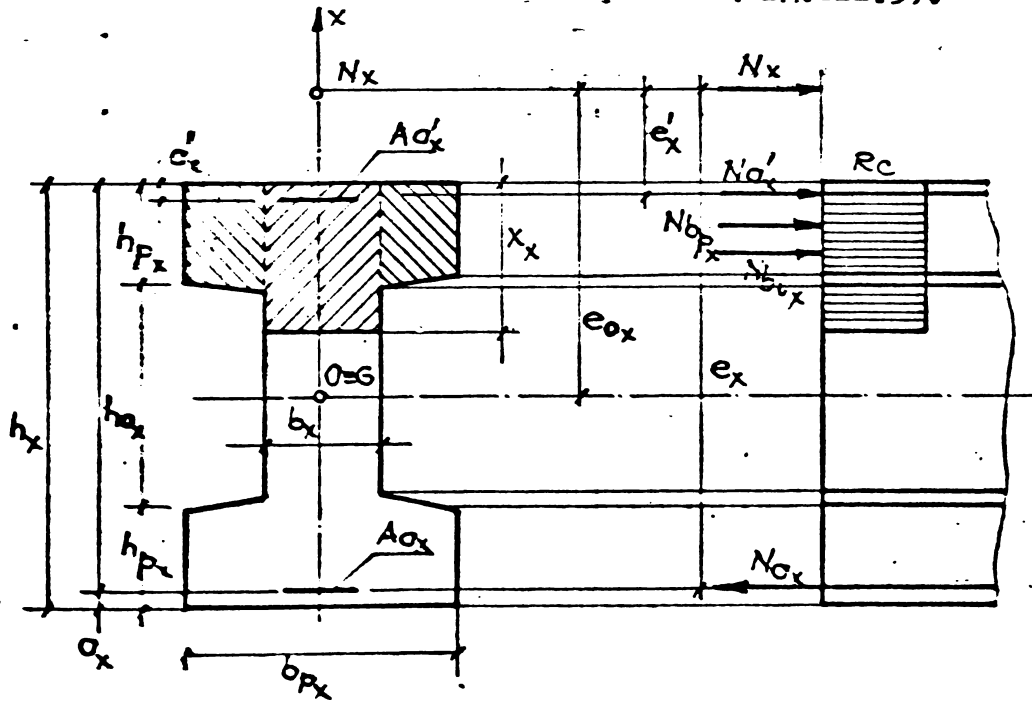


Fig.III.3.

În acest caz va trebui ca :

$$x_x \leq x_{x,lin} \quad (III.17) \quad \text{sau} \quad \xi_x \leq \xi_{x,lin} = 0,6 \quad (III.17.a)$$

$$h_{px} \leq x_x \leq (x_x - b_{px}) \quad (III.34) \quad \text{sau} \quad h_{px} \leq \xi_x \leq 1 + \bar{a}_x - \bar{h}_{px} \quad (III.34.a)$$

Scrind ecuația de proiectii și cea de momente în raport cu axa armăturii  $A_{a_x}$ , rezultă :

$$N_x = N_{b_{p_x}} + N_{b_{i_x}} + N'_{a_x} - N_{a_x} \quad (III.35)$$

$$N_x \cdot e_x = N_{b_{i_x}} (h_{o_x} - 0,5 x_x) + N_{b_{p_x}} (h_{o_x} - 0,5 h_{p_x}) + N'_{a_x} (h_{o_x} - a'_x) \quad (III.36)$$

Explicind termenii și introducind notațiile (III.24-III.30) ecuațiile (III.35) și (III.36) devin sistemul :

$$\left\{ \begin{aligned} n_x &= \xi_x + (\bar{b}_{p_x} - 1) \bar{h}_{p_x} + \frac{\bar{\mu}'_x}{\beta_x} \left(1 - \frac{1}{\beta_x}\right) \end{aligned} \right. \quad (III.37)$$

$$\left\{ \begin{aligned} n_x \cdot \bar{e}_x &= \xi_x (1 - 0,5 \bar{h}_{p_x}) + (\bar{b}_{p_x} - 1) \bar{h}_{p_x} (1 - 0,5 \bar{h}_{p_x}) + \frac{\bar{\mu}'_x}{\beta_x} (1 - \bar{a}'_x) \end{aligned} \right. \quad (III.38)$$

Inlocuind pe  $n_x$  din ecuația (III.38), cu valoarea sa din ecuația (III.37) se obține ecuația în  $\xi_x^2$  :

$$\xi_x^2 + 2(\bar{e}_x - 1) \xi_x + (\bar{b}_{p_x} - 1) \bar{h}_{p_x} (2\bar{e}_x - 2 + \bar{h}_{p_x}) + 2 \frac{\bar{\mu}'_x}{\beta_x} (\bar{e}_x - \frac{\bar{e}_x}{\beta_x} - 1 + \bar{a}'_x) = 0 \quad (III.39)$$

Ecuația (III.39) a fost rezolvată la calculator, pentru valorile arătate ale parametrilor, reținându-se numai soluțiile reale ale lui  $\xi_x$  pe domeniul :

$$\bar{h}_{p_x} \leq \xi_x \leq 0,6 \quad (III.34)$$

care corespunde cazului de mare excentricitate și poziției axei neutre situate între placa superioară și valoarea limită de 0,6.

Cu aceste soluții reale, calculatorul dă și valorile corespunzătoare ale forței axiale relative  $n_x$ , calculate cu relația (III.37).

### 3.2.1.2. Calculul după axa y

În funcție de poziția axei neutre se pot întâlni două cazuri:

a) Axa neutră cade în tălpi (fig. III.4).

Secțiunea lucrează la mare excentricitate dacă

$$x_y = \xi_y h_{o_y} \leq x_{y_{lim}} \quad (III.40) \quad \text{și respectiv} \quad \xi_y \leq \xi_{y_{lim}} = 0,6 \quad (III.40.a)$$

iar pentru ca axa neutră să se afle în tălpi trebuie ca :

$$\frac{x_y}{h_{o_y}} = \xi_y \leq \frac{1}{2} \frac{(h_y - h_{p_y})}{h_{o_y}} \quad (III.41)$$

Se dispune și aici pentru rezolvare, de o ecuație de proiectii după axa armăturii  $A_{a_y}$  și de o ecuația de momente în raport cu aceeași armătură.

Din scrierea celor două ecuații rezultă :

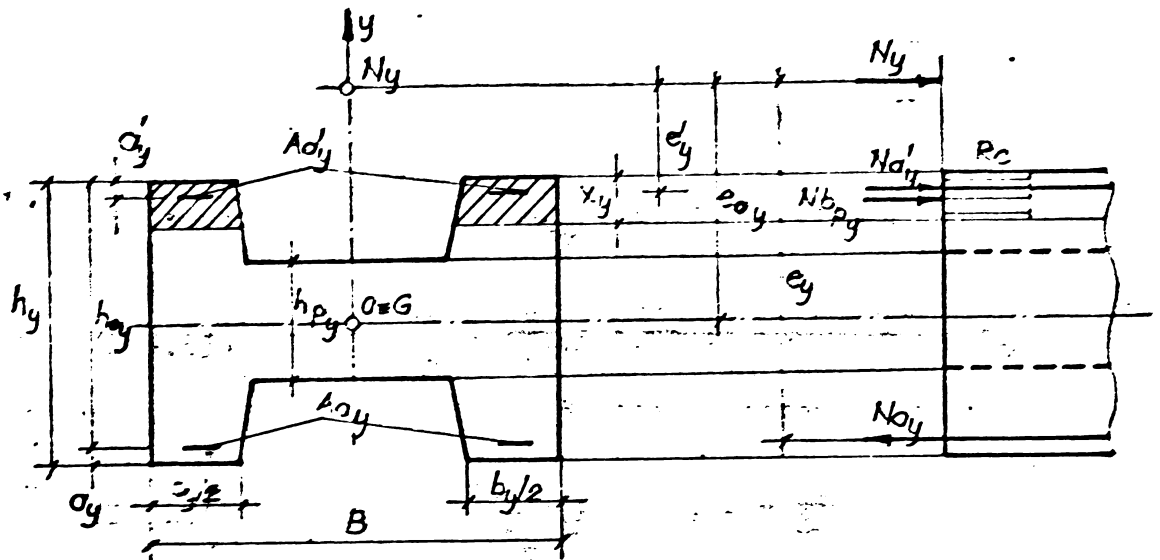


Fig.III.4.

$$N_y = N_{b_y} + N_{a_y}' - N_{a_y} \quad \text{(III.42),}$$

$$N_y \cdot e_y = N_{b_y} (h_{o_y} - 0,5 x_y) + N_{a_y} (h_{o_y} - a_y') \quad \text{(III.43),}$$

în care :

$$N_{a_y}' = b_y \cdot x_y \cdot R_c \quad \text{(III.44)}$$

$$N_{a_y}' = A_{a_y}' \cdot R_a \quad \text{(III.45)}$$

$$N_{a_y} = A_{a_y} \cdot R_a \quad \text{(III.46)}$$

Introducând valorile (III.44) la (III.46) în (III.42) și (III.43) acestea devin :

$$N_y = b_y \cdot x_y \cdot R_c + A_{a_y}' R_a - A_{a_y} R_a \quad \text{(III.42.a)}$$

$$N_y \cdot e_y = b_y x_y R_c (h_{o_y} - 0,5 x_y) + A_{a_y}' R_a (h_{o_y} - a_y') \quad \text{(III.43.a)}$$

Se împarte relația (III.42.a) cu  $b_y h_{o_y} R_c$  și relația (III.43.a) cu  $b_y h_{o_y}^2 R_c$ . Rezultă :

$$\frac{N_y}{b_y h_{o_y} R_c} = \frac{b_y x_y R_c}{b_y h_{o_y} R_c} + \frac{A_{a_y}' R_a}{b_y h_{o_y} R_c} - \frac{A_{a_y} R_a}{b_y h_{o_y} R_c} \quad \text{(III.42.b)}$$

$$\frac{N_y}{b_y h_{o_y} R_c} \cdot \frac{e_y}{h_{o_y}} = \frac{b_y x_y R_c}{b_y h_{o_y} R_c} \frac{(h_{o_y} - 0,5 x_y)}{h_{o_y}} + \frac{A_{a_y}' R_a}{b_y h_{o_y} R_c} \frac{(h_{o_y} - a_y')}{h_{o_y}} \quad \text{(III.43.b)}$$

Pentru a se lucra adimensional, se introduc notațiile :

$$\bar{N}_y = \frac{N_y}{b_y h_{o_y} R_c} \quad \text{(III.47)} ; \quad \frac{B}{b_y} = \bar{B} \quad \text{(III.48)} ;$$

$$\frac{h_{p1}}{h_{o1}} = \frac{h_{p2}}{h_{o2}} \quad (\text{III.49}) ; \quad \frac{a_y}{h_{o1}} = \frac{a'_y}{h_{o2}} = \bar{a}_y = \bar{a}'_y \quad (\text{III.50})$$

$$\beta_y = \frac{A'_{a1}}{k_{e1}} \quad (\text{III.51}) ; \quad \bar{\mu}'_y = \frac{A'_{a1} R_a}{b_y h_{o1} R_c} \quad (\text{III.52})$$

$$\bar{e}_y = \frac{e_y}{h_{o1}} = \frac{e_{oc1} + 0,5h_y - a_y}{h_{o1}} = \bar{e}_{oc1} + 0,5 - 0,5\bar{a}_y \quad (\text{III.53})$$

Cu aceste notații, relațiile (III.42.b) și (III.43.b) devin sistemul :

$$\begin{cases} n_y = \xi_y + \bar{\mu}'_y \left(1 - \frac{1}{\beta_y}\right) & (\text{III.54}) \\ n_y \bar{e}_y = \xi_y (1 - 0,5 \xi_y) + \bar{\mu}'_y (1 - \bar{a}'_y) & (\text{III.55}) \end{cases}$$

Înlocuind pe  $n_y$  din ecuația (III.55) cu valoarea sa din (III.54) se obține ecuația de gradul II în  $\xi_y$  :

$$\xi_y^2 + 2(\bar{e}_y - 1) \xi_y + 2\bar{\mu}'_y \left(\bar{e}_y - \frac{1}{\beta_y} - 1 + \bar{a}'_y\right) = 0 \quad (\text{III.56})$$

Din ecuația (III.56), se observă că poziția relativă a axei neutre,  $\xi_y$ , depinde de caracteristicile de armare ( $\bar{\mu}'_y, \beta_y, \bar{a}'_y$ ) și de mărimea excentricității ( $\bar{e}_y$ ).

Dacă parametrilor, care determină poziția axei neutre, li se dau valorile întâlnite în practica construcțiilor (și acest lucru tot utilizând mașina electronică de calcul), înseamnă că și în planul  $y$ , proiectanții pot dispune de abace de calcul, cu ajutorul cărora să poată face verificarea unor secțiuni de beton armat, alese în prealabil.

În concluzie, s-a rezolvat la calculatorul FELIX C 256, ecuația (III.56), pentru următoarele valori ale parametrilor :

$$\begin{aligned} \bar{a}'_y = \bar{a}_y &= 0,08 ; 0,11 ; 0,14 . \\ \beta_y &= 0,72 ; 0,83 ; 1,00 ; 1,25 ; 1,66 ; 2,50 ; 5,00 . \\ \bar{\mu}'_y &= 0,20 ; 0,25 ; 0,33 ; 0,50 . \\ \bar{e}_{oc1} &= 0,00 ; 0,05 ; 0,10 ; 0,15 ; 0,20 ; 0,25 ; 0,30 ; 0,35 ; \\ &0,50 ; 1,00 ; 3,00 ; 5,00 . \end{aligned}$$

$$\bar{e}_y = \bar{e}_{oc1} + 0,5 - 0,5 \bar{a}_y .$$

$$\xi_y = 0,20 ; 0,50 ; 1,00 ; 2,00 ; 5,00 .$$

$$\xi_y = 0,00 ; 0,20 ; 0,40 ; 0,60 ; 0,80 ; 1,00 ; 1,20 ; 1,40 .$$

S-au reținut (prin condițiile de programare), numai soluțiile reale ale lui  $\xi_y$  în domeniul interesat și anume :

$$1,5\bar{a}_y \leq \xi_y \leq 0,5(1 + \bar{a}_y - \bar{h}_{p1}) \quad (\text{III.41.a})$$

$$\text{și } \xi_y \leq 0,6 \quad (\text{III.40})$$

Cu aceste soluții, s-au calculat valorile forței axiale relative,  $n_y$ , cu ajutorul relației (III.54).

b) Axa neutră cade în inima secțiunii III.5.

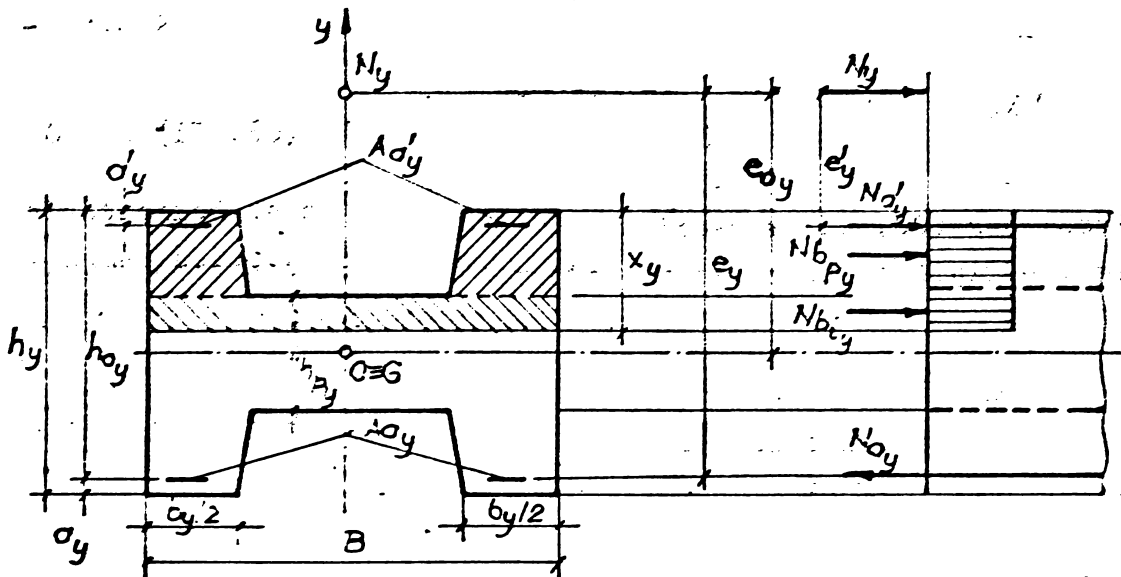


Fig. III.5.

În această situație trebuie respectată condiția

$$\frac{1}{2} (h_y - h_{p_y}) \leq x_y \leq \frac{1}{2} (h_y + h_{p_y}) \leq 0,6 h_{o_y} \quad (III.57)$$

sau în valori adimensionale :

$$0,5(1 + \bar{a}_y - \bar{h}_{p_y}) \leq \bar{\xi}_y \leq 0,5(1 + \bar{a}_y + \bar{h}_{p_y}) - 0,6 \quad (III.57.a)$$

Din ecuația de proiecții se obține :

$$N_y = b_y \cdot 0,5(h_y - h_{p_y}) R_c + B [x_y - 0,5(h_y - h_{p_y})] R_c + A'_{a_y} R_a - A_{a_y} R_a \quad (III.58)$$

Din ecuația de momente în raport cu axa armăturii  $A_{a_y}$  se obține :

$$N_y \cdot e_y = b_y \cdot 0,5(h_y - h_{p_y}) R_c \left[ h_{o_y} - 0,5 \cdot 0,5(h_y - h_{p_y}) \right] + B [x_y - 0,5(h_y - h_{p_y})] \left\{ h_{o_y} - 0,5(h_y - h_{p_y}) - 0,5 [x_y - 0,5(h_y - h_{p_y})] \right\} + A'_{a_y} R_a (h_{o_y} - a'_y) \quad (III.59)$$

După împărțirea ecuației (III.58) cu  $b_y h_{o_y} R_c$  și a ecuației (III.59) cu  $b_y h_{o_y} R_c$  și a folosirii notațiilor  $\bar{\xi}_y$  (III.47) la

(III.53) se obține

$$\begin{cases} \bar{n}_y = \bar{B} \bar{\xi}_y + 0,5(1 + \bar{a}_y - \bar{h}_{p_y})(1 - \bar{\xi}) + \bar{\mu}'_y (1 - \frac{1}{\bar{\xi}_y}) & (III.58.a) \\ \bar{n}_y \cdot \bar{e}_y = -0,5 \bar{\xi} \bar{\xi}_y^2 + \bar{B} \bar{\xi}_y^2 + 0,5(1 + \bar{a}_y - \bar{h}_{p_y})(1 - \bar{\xi}) - 0,125(1 + \bar{a}_y - \bar{h}_{p_y})^2 (1 - \bar{\xi}) + \bar{\mu}'_y (1 - \bar{a}'_y) & (III.59.a) \end{cases}$$

Înlocuind pe  $n_y$  din ecuația (III.59.a), cu valoarea sa din ecuația (III.58.a) se obține ecuația de gradul II în  $\xi_y$  :

$$\xi_y^2 + 2(\bar{e}_y - 1)\xi_y + (\bar{e}_y - 1)(1 + \bar{a}_y - \bar{h}_{p_y})\left(\frac{1}{B} - 1\right) + 0,25(1 + \bar{a}_y - \bar{h}_{p_y})^2\left(\frac{1}{B} - 1\right) + \frac{2\bar{a}'_y}{B}\left(\bar{e}_y - \frac{\bar{e}_y}{\beta_y} + \bar{a}'_y - 1\right) = 0 \quad (III.60)$$

Ecuația (III.60) s-a rezolvat la mașina electronică de calcul, reținându-se, prin condițiile impuse programului, numai soluțiile reale ale lui  $\xi_y$ , din domeniul interesat pentru acest caz și anume :

$$0,5(1 + \bar{a}_y - \bar{h}_{p_y}) \leq \xi_y \leq 0,5(1 + \bar{a}_y + \bar{h}_{p_y}) \leq 0,6 \quad (III.57)$$

Cu aceste soluții, s-au calculat valorile forței axiale relative,  $n_y$ , cu ajutorul relației (III.58.a).

### 3.2.2. Cazul compresiunii excentrice cu mică excentricitate

După cum rezultă din paragraful 3.1, în cazul compresiunii excentrice cu mică excentricitate, efortul în armătura  $A_a$ , respectiv  $A_a$ , mai depărtată de forța excentrică (mai puțin comprimată sau întinsă), se ia egal cu  $G_a = kR_a$ , în care

$$k = \frac{2(1 - \xi)}{1 - \xi_{lim}} - 1.$$

Pentru cazurile practice, pentru mărci de betoane pînă la B 400, STAS-ul 10107/0-76, indică pentru  $\xi_{lim}$  valoarea 0,6. În continuare, în calcule se va lucra cu  $\xi_{lim} = 0,6$ . Pentru această valoare a lui  $\xi_{lim}$ ,  $k$  va avea valoarea :

$$k = \frac{2(1 - \xi)}{1 - 0,6} - 1 = \frac{2}{0,4} - \frac{2\xi}{0,4} - 1 = 5 - 5\xi = (4 - 5\xi)$$

#### 3.2.2.1. Calculul după axa x

În funcție de poziția axei neutre, se întîlnesc următoarele trei cazuri :

a) axa neutră cade în inima secțiunii (fig.III.6).

Pentru a avea o compresiune excentrică cu mică excentricitate trebuie ca :

$$x_x > x_{lim} \quad (III.61), \text{ respectiv } \xi_x > \xi_{x,lim} = 0,6 \quad (III.61.a)$$

Pentru ca axa neutră să cadă în inima secțiunii trebuie ca :

$$x_x \leq (\bar{a}_x - \bar{h}_{p_x}), \text{ respectiv } \xi_x \leq (1 + \bar{a}_x - \bar{h}_{p_x}) \quad (III.34)$$

$$0,6 < \xi_x \leq (1 + \bar{a}_x - \bar{h}_{p_x}) \quad (III.62)$$

Fiind în cazul compresiunii excentrice cu mică excentricitate efortul în armătura  $A_{ax}$  va fi



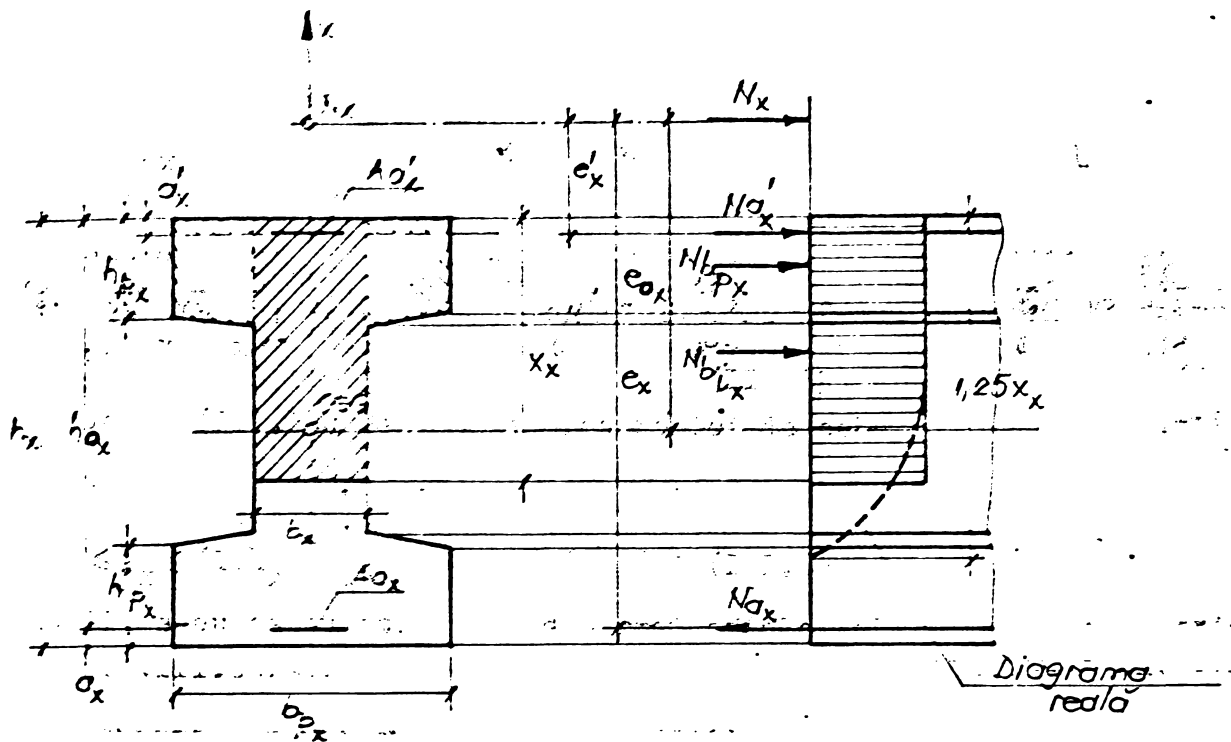


Fig.III.6.

$$A_{a_x} \cdot k R_a = A_{a_x} \left( 4 - 5 \frac{e_x}{h_{px}} \right) R_a$$

Din fig.III.6 rezultă că ecuația de proiecții are forma :

$$N_x = N_{b_{px}} + N_{b_{ix}} + N'_{a_x} = N_{a_x} \quad \text{(III.63)}$$

iar ecuația de momente în raport cu armătura  $A_{a_x}$  are forma :

$$N_x \cdot e_x = N_{b_{px}} (h_{o_x} - 0,5 h_{px}) + N_{b_{ix}} (h_{o_x} - 0,5 x_x) + N'_{a_x} (h_{o_x} - a'_x) \quad \text{(III.64)}$$

în care :

$$N_{b_{px}} = (b_{px} - b_x) h_{px} R_c \quad \text{(III.65)}$$

$$N_{b_{ix}} = b_x \cdot x_x R_c \quad \text{(III.66)}$$

$$N'_{a_x} = A'_{a_x} R_a \quad \text{(III.67)}$$

$$N_{a_x} = A_{a_x} \left( 4 - 5 \frac{e_x}{h_{px}} \right) R_a \quad \text{(III.68)}$$

Explicitând termenii în ecuațiile (III.63) și (III.64) și împărțind prima cu  $b_x h_{o_x} R_c$ , iar a doua cu  $b_x h_{o_x}^2 R_c$ , după înlocuirea notațiilor (III.24) la (III.30) se obține sistemul :



$$e_x = N_{b_{p_x}} (h_{o_x} - 0,5 h_{p_x}) + N_{b_{i_x}} (h_{o_x} - 0,5 x_x) + N_{b_{p_{inf_x}}} \left[ h_{o_x} - \frac{x_x + h_{p_x} - h_x}{2} \right] + N'_{a_x} (h_{o_x} - a'_x) \quad (III.72)$$

care :

$$N_{b_{p_x}} = (b_{p_x} - b_x) h_{p_x} R_c \quad (III.65)$$

$$N_{b_{i_x}} = b_x (h_x - h_{p_x}) R_c \quad (III.73)$$

$$N_{b_{p_{inf_x}}} = b_{p_x} (x_x + h_{p_x} - h_x) R_c \quad (III.74)$$

Cu notațiile (III.24) la (III.30) și (III.65), (III.73) și (III.74) și după împărțirea ecuației de proiecții cu  $b_x h_{o_x} R_c$  și a celei de momente cu  $b_x h_{o_x}^2 R_c$ , se obține sistemul :

$$\begin{cases} n_x = (\bar{b}_{p_x} + \frac{5\bar{\mu}'_x}{\beta_x}) \bar{\rho}_x + (\bar{b}_{p_x} - 1)(2\bar{h}_{p_x} - 1 - \bar{a}_x) + \frac{\bar{\mu}'_x}{\beta_x} (1 - \frac{4}{\beta_x}) & (III.71.a) \\ n_x \bar{e}_x = \bar{b}_{p_x} (1 - 0,5 \bar{\rho}_x) \bar{\rho}_x + 0,5(1 - \bar{b}_{p_x})(\bar{h}_{p_x} - 0,5 \bar{a}_x^2) + \frac{\bar{\mu}'_x}{\beta_x} (1 - \bar{a}'_x) + 0,5(\bar{a}_x - \bar{h}_{p_x})^2 (\bar{b}_{p_x} - 1) & (III.72.a) \end{cases}$$

Înlocuind pe  $n_x$  din relația (III.72.a) cu valoarea sa din (III.71.a) se obține ecuația de gradul II în  $\bar{\rho}_x$  :

$$2 + 2(\frac{5\bar{\mu}'_x \bar{e}_x}{\beta_x \bar{b}_{p_x}} + \bar{e}_x - 1) \bar{\rho}_x + \frac{2\bar{\mu}'_x}{\bar{b}_{p_x}} (\bar{a}_x + \bar{e}_x - \frac{4\bar{e}_x}{\beta_x} - 1) + (1 - \frac{1}{\bar{b}_{p_x}}) [4\bar{e}_x \bar{h}_{p_x} - \bar{a}_x^2 + 2\bar{a}_x \bar{h}_{p_x} - 2\bar{h}_{p_x} + 1 - 2\bar{e}_x (1 + \bar{a}_x)] = 0 \quad (III.75)$$

S-a rezolvat ecuația (III.75) la mașina electronică de calcul, reținându-se, prin condițiile de programare numai soluțiile reale ale lui  $\bar{\rho}_x$ , din domeniul interesat și anume :

$$(1 + \bar{a}_x - \bar{h}_{p_x}) \leq \bar{\rho}_x \leq 1,0 \quad (III.70.a)$$

Cu aceste soluții se intră în relația (III.71.a) și se calculează valorile relative ale forței axiale,  $n_x$ .

c) Axa centrală cade în placa inferioară, sub înălțimea utilii, (fig. III.8).

În această situație efortul în armătura  $A_{a_x}$  este de compresie și are valoarea  $R_a$ .

Condiția de restricție, pentru acest caz este :

$$h_{o_x} \leq x_x \leq h_x = h_{o_x} + a_x \quad (III.76) \text{ sau respectiv } 1 \leq \bar{\rho}_x \leq 1 + \bar{a}_x \quad (III.70.a)$$

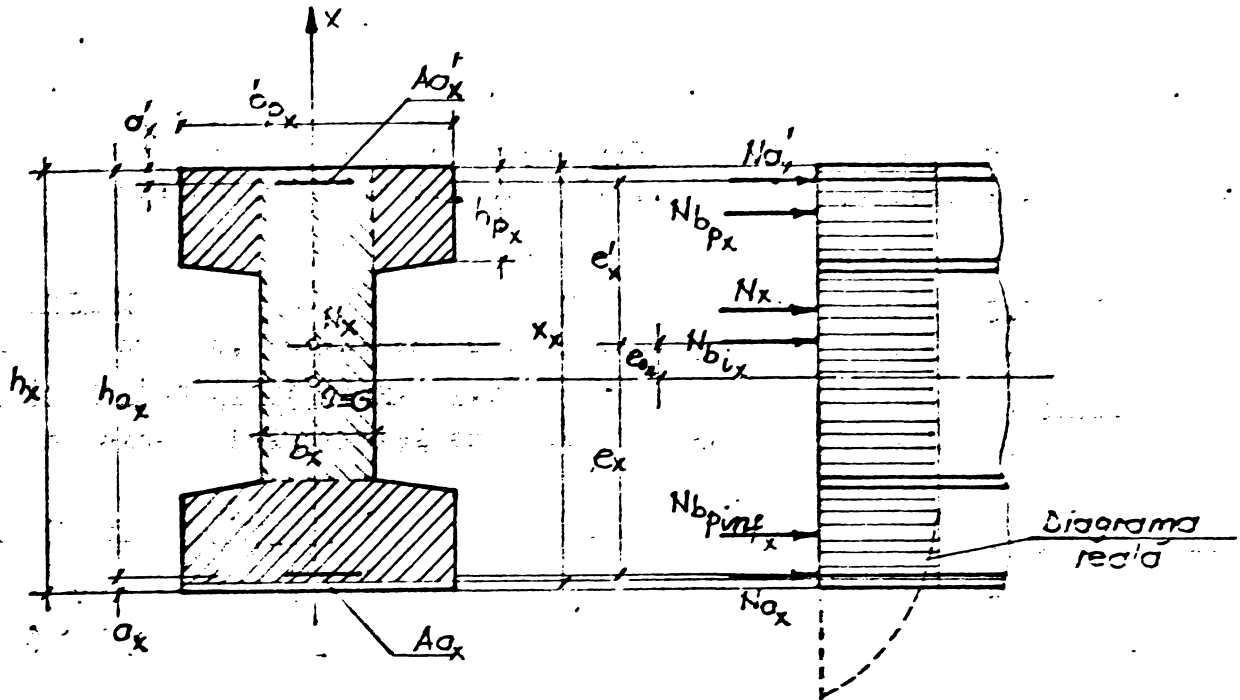


Fig. III.8.

Se scriu cele două ecuații disponibile :

$$N_x = N_{a_x} + N_{b_{in_x}} + N_{b_{p_{inf_x}}} + N_{a_x}'' + N_{a_x} \quad (III.77)$$

$$N_x \cdot e_x = N_{b_{p_x}} (h_{o_x} - 0,5h_{p_x}) + N_{b_{in_x}} (h_{o_x} - 0,5x_x) + N_{b_{p_{inf_x}}} [0,5(h_{p_x} + h_{o_x} - x_x - a_x) + N_{a_x}'' (h_{o_x} - a_x')] \quad (III.78)$$

Cu notațiile (III.24) la (III.30) și (III.65), (III.73) și (III.74) și împărțirea lui (III.77) cu  $b_x h_{o_x} R_c$  și a lui (III.78) cu  $b_x h_{o_x} R_c$ , se obține sistemul :

$$\left\{ \begin{aligned} n_x &= \bar{b}_{p_x} \left( \frac{\mu_x'}{\beta_x} - 1 \right) (2\bar{h}_{p_x} - 1 - \bar{a}_x) + \frac{\mu_x'}{\beta_x} \left( 1 + \frac{1}{\beta_x} \right) \end{aligned} \right. \quad (III.77.a)$$

$$\left\{ \begin{aligned} n_x \bar{e}_x &= -0,5 \bar{b}_{p_x} \left( \frac{\mu_x'}{\beta_x} - 1 \right) \left[ 0,5(\bar{a}_x - \bar{h}_{p_x})^2 - 0,5 + (\bar{h}_{p_x} - 0,5\bar{h}_{p_x}^2) \right] + \bar{b}_{p_x} \frac{\mu_x'}{\beta_x} (1 - \bar{a}_x) + \bar{b}_{p_x} \left( \frac{\mu_x'}{\beta_x} - 1 \right) \left[ 0,5(\bar{a}_x - \bar{h}_{p_x})^2 - 0,5 + (\bar{h}_{p_x} - 0,5\bar{h}_{p_x}^2) \right] \end{aligned} \right. \quad (III.78.a)$$

Înlocuind pe  $n_x$  din (III.78.a), cu valoarea sa din (III.77.a) se obține ecuația de gradul II în  $\frac{\mu_x'}{\beta_x}$  :

$$\left( \frac{\mu_x'}{\beta_x} \right)^2 + 2(\bar{e}_x - 1) \frac{\mu_x'}{\beta_x} + \frac{2\bar{e}_x}{\beta_x} (\bar{e}_x + \frac{\bar{e}_x}{\beta_x} - 1 + \bar{a}_x) + 2(1 - \frac{1}{\beta_x}) (2\bar{e}_x \bar{h}_{p_x} - \bar{e}_x - \bar{e}_x \bar{a}_x + 0,5 + \bar{a}_x \bar{h}_{p_x} - 0,5\bar{a}_x^2 - \bar{h}_{p_x}^2) = 0 \quad (III.79)$$

Se rezolvă ecuația (III.79) la mașina electronică de calcul, prin condițiile de programare reținându-se numai soluțiile reale ale lui  $\frac{\mu_x'}{\beta_x}$ , din domeniul interesat :

$$1,06 \xi_x \leq 1 + \bar{a}_x \quad (\text{III.76.a})$$

Cu aceste soluții, s-au calculat, tot de către calculator, și valorile relative ale forței axiale  $n_x$ , conform relației (III.77.a).

### 3.2.2.2. Calculul după axa y

In funcție de poziția axei neutre, se întâlnesc trei cazuri:

a) Axa neutră cade în inima secțiunii (Fig. III.9).

Pentru a avea compresiune excentrică cu mică excentricitate, trebuie ca :

$$x_y > x_{y_{lim}} \quad (\text{III.80}), \text{ respectiv } \xi_y > \xi_{y_{lim}} = 0,60 \quad (\text{III.80.a})$$

Pentru ca axa neutră să cadă în inima secțiunii, trebuie ca:

$$\frac{1}{2}(h_y - h_{p_y}) \leq x_y \leq \frac{1}{2}(h_y + h_{p_y}) \quad (\text{III.81}),$$

respectiv în valori adimensionale :

$$0,5(1 + \bar{a}_y - h_{p_y}) \leq \xi_y \leq 0,5(1 + \bar{a}_y + h_{p_y}) \quad (\text{III.81.a})$$

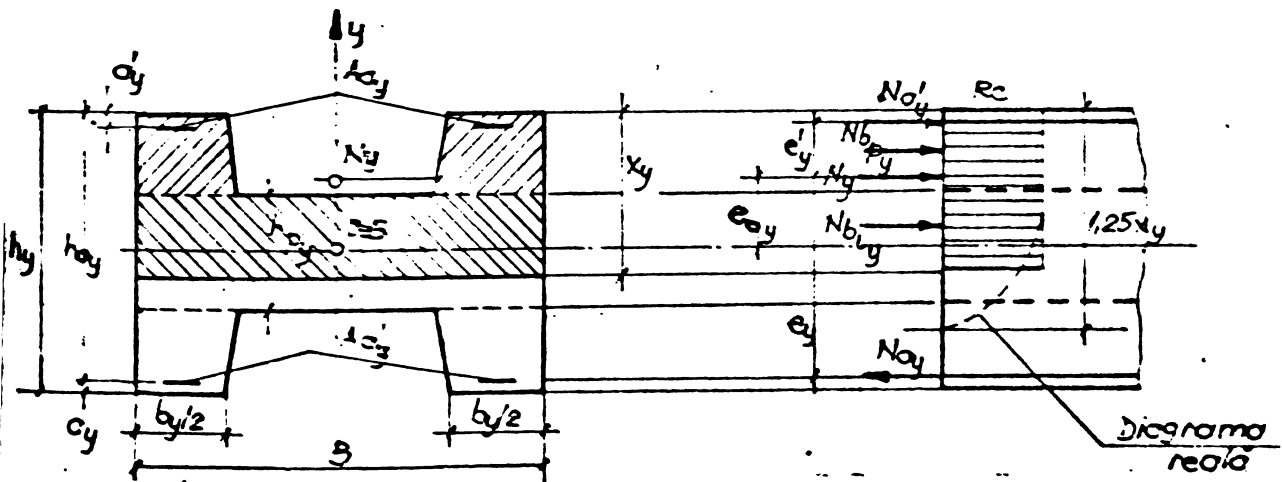


Fig. III.9.

Efortul în armătura  $A_{a_y}$  este  $A_{a_y} (4 - 5 \xi_y) R_a$ .

Din ecuația de proiecții după axa armăturii  $A_{a_y}$  și din cea de momente în raport cu aceeași armătură, conforma fig. III.9, rezultă :

$$N_y = N_{b_{py}} + N_{b_{iy}} + N_{a_y}' - N_{a_y} \quad (\text{III.82})$$

$$N_y \cdot e_y = N_{b_{py}} \left[ h_{o_y} - 0,5 \cdot 0,5(h_y - h_{p_y}) \right] + A_{a_y}' R_a (h_{o_y} - a_y') + N_{b_{iy}} \left\{ h_{o_y} - 0,5(h_y - h_{p_y}) - 0,5 \left[ x_y - 0,5(h_y - h_{p_y}) \right] \right\} \quad (\text{III.83})$$

în care :

$$N_{bpy} = b_y \cdot 0,5(h_y - h_{py}) R_c \quad (III.84)$$

$$N_{bin_y} = B \cdot [x_y - 0,5(h_y - h_{py})] R_c \quad (III.85)$$

$$N'_{ay} = A'_{ay} R_a \quad (III.86)$$

$$N_{ay} = A_{ay} (4 - 5\beta_y) R_a \quad (III.87)$$

Înlocuindu-se relațiile (III.84) la (III.87) și utilizând relațiile (III.47) la (III.53) în relațiile (III.82) și (III.83) acestea devin sistemul :

$$\begin{cases} n_y = \left(\frac{5\bar{\mu}'_y}{\bar{B}} + \bar{B}\right) \beta_y + 0,5(1 + \bar{a}_y - \bar{h}_{py})(1 - \bar{B}) + \bar{\mu}'_y \left(1 - \frac{4}{\beta_y}\right) \end{cases} \quad (III.82.a)$$

$$\begin{cases} n_y \cdot \bar{e}_y = -1,5\bar{B}\beta_y^2 + \bar{B}\beta_y + 0,5(1 + \bar{a}_y - \bar{h}_{py})(1 - \bar{B}) - 0,125(1 + \bar{a}_y - \bar{h}_{py})^2(1 - \bar{B}) + \bar{\mu}'_y(1 - \bar{a}'_y) \end{cases} \quad (III.83.a)$$

Înlocuind pe  $n_y$  din (III.83.a) cu valoarea sa din (III.82.a), rezultă ecuația de gradul II în  $\beta_y$  :

$$\beta_y^2 + 2\left(\frac{5\bar{\mu}'_y \bar{e}_y}{\bar{B}} + \bar{e}_y - 1\right) \beta_y + (\bar{e}_y - 1)(1 + \bar{a}_y - \bar{h}_{py})\left(\frac{1}{\bar{B}} - 1\right) + 0,25(1 + \bar{a}_y - \bar{h}_{py})^2\left(\frac{1}{\bar{B}} - 1\right) + \frac{2\bar{\mu}'_y}{\bar{B}}\left(\bar{e}_y - \frac{4\bar{e}_y}{\beta_y} + \bar{a}'_y - 1\right) = 0 \quad (III.88)$$

Ecuația (III.88) s-a rezolvat la mașina electronică de calcul, reținându-se prin condițiile impuse programului, numai soluțiile reale ale lui  $\beta_y$  pe domeniul interesat, și anume :

$$0,5(1 + \bar{a}_y - \bar{h}_{py}) \leq \beta_y \leq 0,5(1 + \bar{a}_y + \bar{h}_{py}) > 0,6 \quad (III.81.a)$$

Cu aceste soluții, calculatorul a calculat și valorile corespunzătoare ale forței axiale relative  $n_y$ , conforma relației (III.82.a).

b) Ară neutră cade în tălpi, sub iniza secțiunii dar dină la armătura  $A_a$  (Fig. III.10).

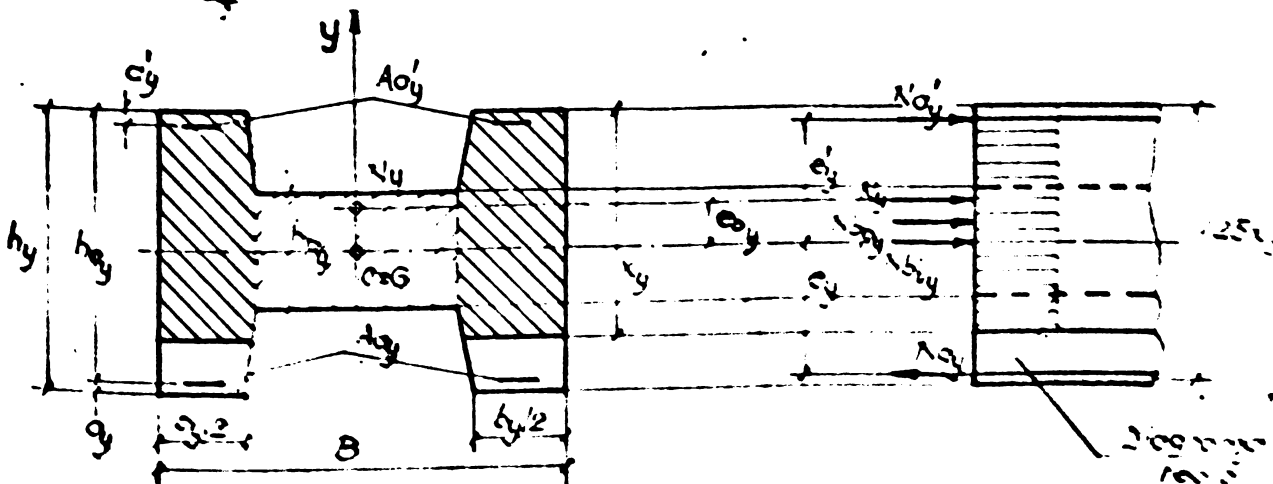


Fig. III.10.

În acest caz condițiile impuse axei neutre sînt :  
 $0,5(h_y + \bar{h}_{p_y}) \leq x_y \leq h_{o_y}$  (III.89) și respectiv  $0,5(1 + \bar{a}_y + \bar{h}_{p_y}) \leq \xi_y \leq 1,0$  (III.89.a)

Efortul în armătura  $A_{a_y}$  are valoarea  $A_{a_y} (4 - 5\xi_y) R_a$ .  
 Din ecuația de proiecții rezultă :

$$N_y = N_{b_{p_y}} + N_{b_{in_y}} + N'_{a_y} - N_{a_y} \quad (III.90)$$

Din ecuația de momente în raport cu axa armăturii  $A_{a_y}$  rezul-

$$N_y = N_{b_{p_y}} (h_{o_y} - 0,5 x_y) + N_{b_{in_y}} (0,5 h_y - a_y) + N'_{a_y} (h_{o_y} - a'_y) \quad (III.91)$$

care :

$$N_{b_{p_y}} = b_y x_y R_c \quad (III.92)$$

$$N_{b_{in_y}} = (B - b_y) h_{p_y} R_c \quad (III.93)$$

Dacă se înlocuiesc relațiile (III.92), (III.93) și (III.47) (III.53) în (III.90) și în (III.91), după împărțirea lui I.90) cu  $b_y h_{o_y} R_c$  și a lui (III.91) cu  $b_y h_{o_y}^2 R_c$  se obține siste-

$$\begin{cases} n_y = \left(\frac{5\bar{\mu}'_y}{\beta_y} + 1\right) \xi_y + (\bar{B} - 1) \bar{h}_{p_y} + \bar{\mu}'_y \left(1 - \frac{4}{\beta_y}\right) & (III.90.a) \\ n_y \cdot \bar{e}_y = -0,5 \xi_y^2 + \xi_y + (\bar{B} - 1) \bar{h}_{p_y} \cdot 0,5(1 - \bar{a}_y) + \bar{\mu}'_y (1 - \bar{a}'_y) & (III.91.a) \end{cases}$$

Înlocuind pe  $n_y$  din (III.91.a) cu valoarea sa din (III.90.a) obține ecuația de gradul II în  $\xi_y$  :

$$\xi_y^2 + 2 \left(\frac{5\bar{\mu}'_y \bar{e}_y}{\beta_y} + \bar{e}_y - 1\right) \xi_y + (\bar{B} - 1) \bar{h}_{p_y} (2\bar{e}_y - 1 + \bar{a}_y) + 2\bar{\mu}'_y \left(\bar{e}_y - \frac{4\bar{e}_y}{\beta_y} + \bar{a}'_y - 1\right) = 0 \quad (III.94)$$

Ecuația (III.94) s-a rezolvat la mașina electronică de calcul, reținându-se prin condițiile de programare, numai soluțiile ale ale lui  $\xi_y$ , pe domeniul :  
 $0,5(1 + \bar{a}_y + \bar{h}_{p_y}) \leq \xi_y \leq 1,0$  (III.89.a)

Cu aceste soluții, se calculează de către mașina electronică calcul, valorile corespunzătoare ale forței axiale relative  $n_y$ , relația (III.90.a).

c. Axa neutră cade sub centrul de greutate al armăturii  $A_{a_y}$  (Fig. III.11).

Acest caz impune ca axa neutră să se afle între limitele :  
 $h_{o_y} \leq x_y \leq \bar{h}_{p_y}$  (III.95) și respectiv  $1,0 \leq \xi_y \leq 1 + \bar{a}_y$  (III.95.a)

Efortul unitar în armătura  $A_{a_y}$  este de compresiune și are valoarea  $R_a$ .

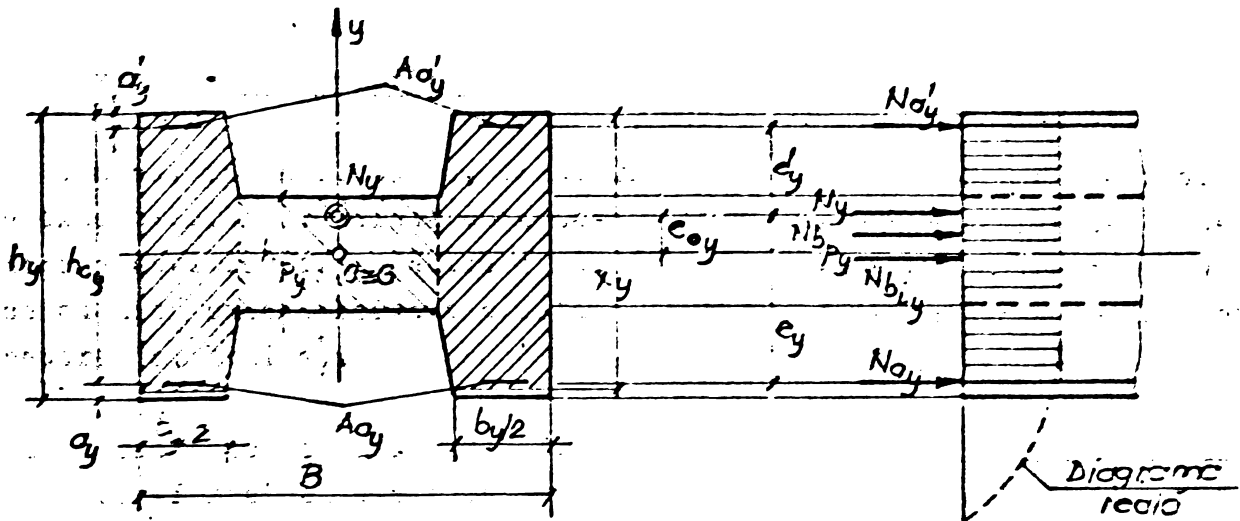


Fig.III.11.

Din ecuația de proiecții rezultă :

$$N_y = N_{b_y} + N_{b_{in_y}} + N'_{a_y} + N_{a_y} \quad (III.96)$$

Din ecuația de momente în raport cu armătura  $A_{s_y}$  rezultă :

$$N_y \cdot e_y = N_{b_y} (x_{o_y} - 0,5x_y) + N_{b_{in_y}} (h_{o_y} - 0,5h_y) + N'_{a_y} (h_{o_y} - a'_{s_y}) \quad (III.97)$$

în care  $N_{b_y}$  și  $N_{b_{in_y}}$  se iau cu valorile (III.92) și (III.93).

Explicitînd termenii și împărțind (III.96) cu  $b_y h_{o_y} R_c$ , iar pe (III.97) cu  $b_y h_{o_y}^2 R_c$ , utilizînd notațiile (III.47) la  $\xi_y$  (III.53) ecuațiile (III.96) și (III.97) devin sistemul :

$$\begin{cases} n_y = \xi_y + (\bar{B}-1) \bar{h}_{p_y} + \bar{u}'_{s_y} (1 + \frac{1}{\xi_y}) \end{cases} \quad (III.96.a)$$

$$\begin{cases} n_y \bar{e}_y = -0,5 \xi_y^2 + \xi_y + (\bar{B}-1) \bar{h}_{p_y} 0,5(1-\bar{a}_y) + \bar{u}'_{s_y} (1-\bar{a}'_y) \end{cases} \quad (III.97.a)$$

Înlocuind pe  $n_y$  din (III.97.a) cu valoarea sa din (III.96.a) se obține ecuația de gradul II în  $\xi_y$  :

$$\xi_y^2 + 2(\bar{e}_y - 1) \xi_y + (\bar{B}-1) \bar{h}_{p_y} (2\bar{e}_y - 1 + \bar{a}_y) + 2\bar{u}'_{s_y} (\bar{e}_y + \frac{\bar{e}_y}{\xi_y} - 1 + \bar{a}'_y) = 0 \quad (III.98)$$

Ecuația (III.98) s-a rezolvat la mașina electronică de calcul, reținîndu-se prin condițiile impuse programului, numai soluțiile reale ale lui  $\xi_y$ , pe domeniul interesat și anume :

$$1,0 \leq \xi_y \leq 1 + \bar{a}_y \quad (III.95.a)$$

Cu aceste soluții, se calculează de către calculator și valorile corespunzătoare ale forței axiale relative  $n_y$ , cu relația III.96.a.



### 3.2.3. Verificarea secțiunilor dublu T, utilizând abace de calcul

#### 3.2.3.1. Abace pentru determinarea forței axiale capabile $N_x$ , (din planul x)

Din subcapitolul 3.2 se remarcă, că în planul x, în cazul compresiunii excentrice cu mare excentricitate, există două cazuri posibile (a și b), de situare a poziției axei neutre și că în cazul compresiunii excentrice cu mică excentricitate există trei cazuri de situare a axei neutre (a, b și c).

Din același subcapitol se remarcă că, pentru orice secțiune dublu T din beton armat, care ar putea să apară în practica proiectării, există calculată valoarea forței axiale relative  $n_x$ , a acelei secțiuni.

Acest lucru, se datorează rezolvării la mașina electronică de calcul, a relațiilor date în subcapitolul 3.2 (paragrafele 3.2.1.1 și 3.2.2.1).

Pe baza listărilor, obținute de la mașina electronică de calcul, se pot întocmi abace de calcul, a forței axiale capabile  $N_x$ , pentru o secțiune din beton armat aleasă (impusă), în funcție de coeficientul de armare relativă  $\mu'_x$  pentru întregul domeniu, practic posibil, de excentricități. În fig. III.12 se exemplifică un asemenea abac, pentru o secțiune armată simetric ( $\frac{A'_x}{A_x} = 1,00$ ), avînd caracteristicile geometrice relative:  $\bar{a}_x = 0,05$ ,  $\bar{b}_x = 3,0$ ;  $\bar{h}_{p_x} = 0,20$ .

Determinarea forței axiale relative  $n_x$  se face în mod următor: se intră în abscisă cu valoarea coeficientului de armare relativ ( $\mu'_x$ ); se ridică o verticală pînă la linia (curba) excentricității relative ( $e_{oo}$ ); din punctul de intersecție se duce o orizontală pînă la  $x$  ordonată, pe care se citește valoarea forței axiale capabile  $n_x$  a secțiunii. Forța axială capabilă a secțiunii,  $N_x = n_x b h_o R_c$  (III.24).

Metodologia de mai sus, se aplică la proiectare, cînd din calculul static rezultă  $N$ ,  $M_x$  și  $M_y$ , respectiv  $\eta_{x^0 oc_x} = \eta_x (e_o + e_a)$ . Proiectantul își alege o secțiune din beton armat pe care o verifică. Proiectarea se face deci prin verificarea secțiunii.

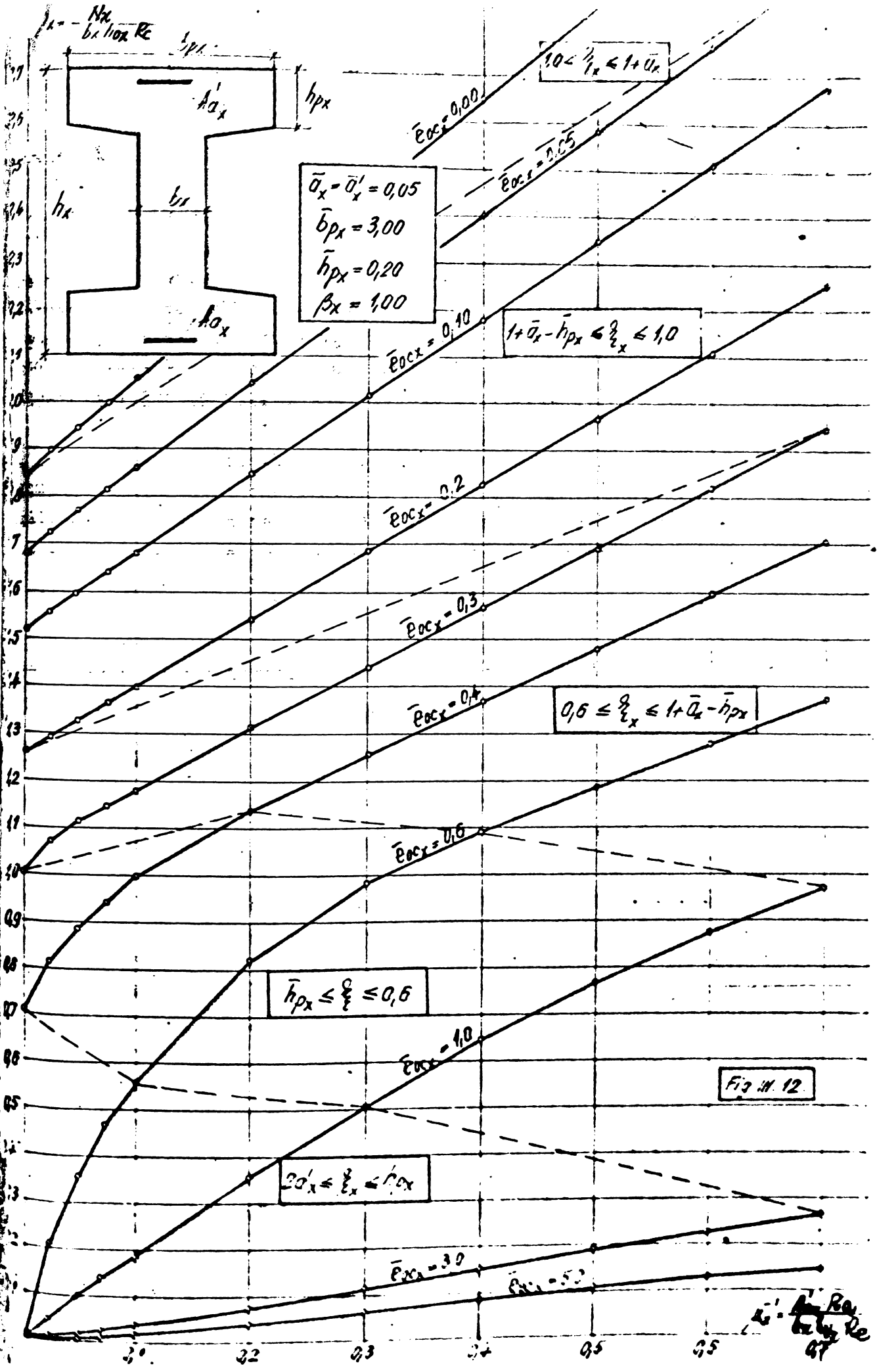


Fig. 11.12

### 3.2.3.2. Abace pentru determinarea forței axiale capabile $N_y$ , (din planul $y$ )

Ca și în planul  $x$ , și în planul  $y$ , în cazul compresiunii excentrice cu mare excentricitate, există două posibilități de situare a axei neutre (cazul a și cazul b), iar în cazul compresiunii excentrice cu mică excentricitate există trei posibilități de situare a axei neutre, (cazurile a, b și c).

Conform rezolvării ecuațiilor date în subcapitolul 3.2 (paragrafele 3.2.1.2 și 3.2.2.2) la mașina electronică de calcul, pe baza listărilor obținute, se pot întocmi abace de calcul a forței axiale capabile în planul  $y$ ,  $N_y$ , pentru toate secțiunile care pot să apară în practica proiectării. În fig. III.13 se exemplifică un asemenea abac, pentru o secțiune armată simetric, ( $\beta_y = A'_a / A_a = 1,00$ ), avînd caracteristicile geometrice relative  $\bar{a}_y = \bar{a}'_y = 0,11$ ;  $\bar{y} = \bar{y}' = 2,5$ ;  $\bar{h}_p = 0,5$ . Forța axială relativă  $n_y$ , este redată în funcție de coeficientul de armare relativă  $\bar{\mu}'_y$ , pentru întregul domeniu de excentricități, practic posibil.

Determinarea forței axiale relative  $n_y$  se face identic cu determinarea forței axiale relative  $n_x$ .

Forța axială capabilă a secțiunii în planul  $y$ ,  $N_y = n_y \cdot b \cdot h \cdot \sigma_y \cdot R_c$  (III.47).

Se subliniază că la proiectare, după alegerea secțiunii din beton armat, după determinarea forței axiale capabile a ei în planul  $x$ ,  $N_x$  se determină, desigur pentru aceeași secțiune, forța axială capabilă a ei, în planul  $y$  ( $N_y$ )

### 3.2.3.3. Determinarea forței axiale capabile $N_c$

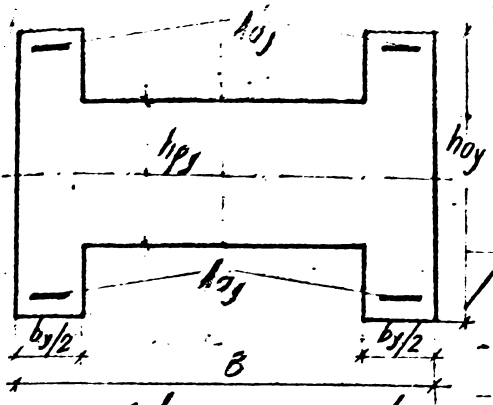
În conformitate cu STAS-ul 10107/0-76, în vigoare la ora actuală,  $N_c$  reprezintă longitudinală capabilă, de calcul, care poate fi preluată de secțiune, în cazul solicitării ei, la compresiune cu excentricitate minimă pe direcția laturii lungi, fără a se lua în considerare influența flexibilității.

Conform acestora,  $N_c$  se determină, după caz, fie din abacul din planul  $x$ , fie din abacul din planul  $y$ .

### 3.2.3.4. Verificarea secțiunii

După determinarea forțelor capabile ale secțiunii,  $N_x$ ,  $N_y$  și  $N_c$ , determinate conform metodologiei de mai sus, verificarea se face cu relația lui Nikitin :

$$N \leq \frac{1}{\frac{1}{N_x} + \frac{1}{N_y} - \frac{1}{N_c}}$$



$\bar{u}_y = \bar{u}_y = 1,11$   
 $B = 2,50$   
 $h_{py} = 0,50$   
 $\beta_y = 1,0$

$$0,5(1 + \bar{u}_y + h_{py}) \leq \xi_y \leq 1,0$$

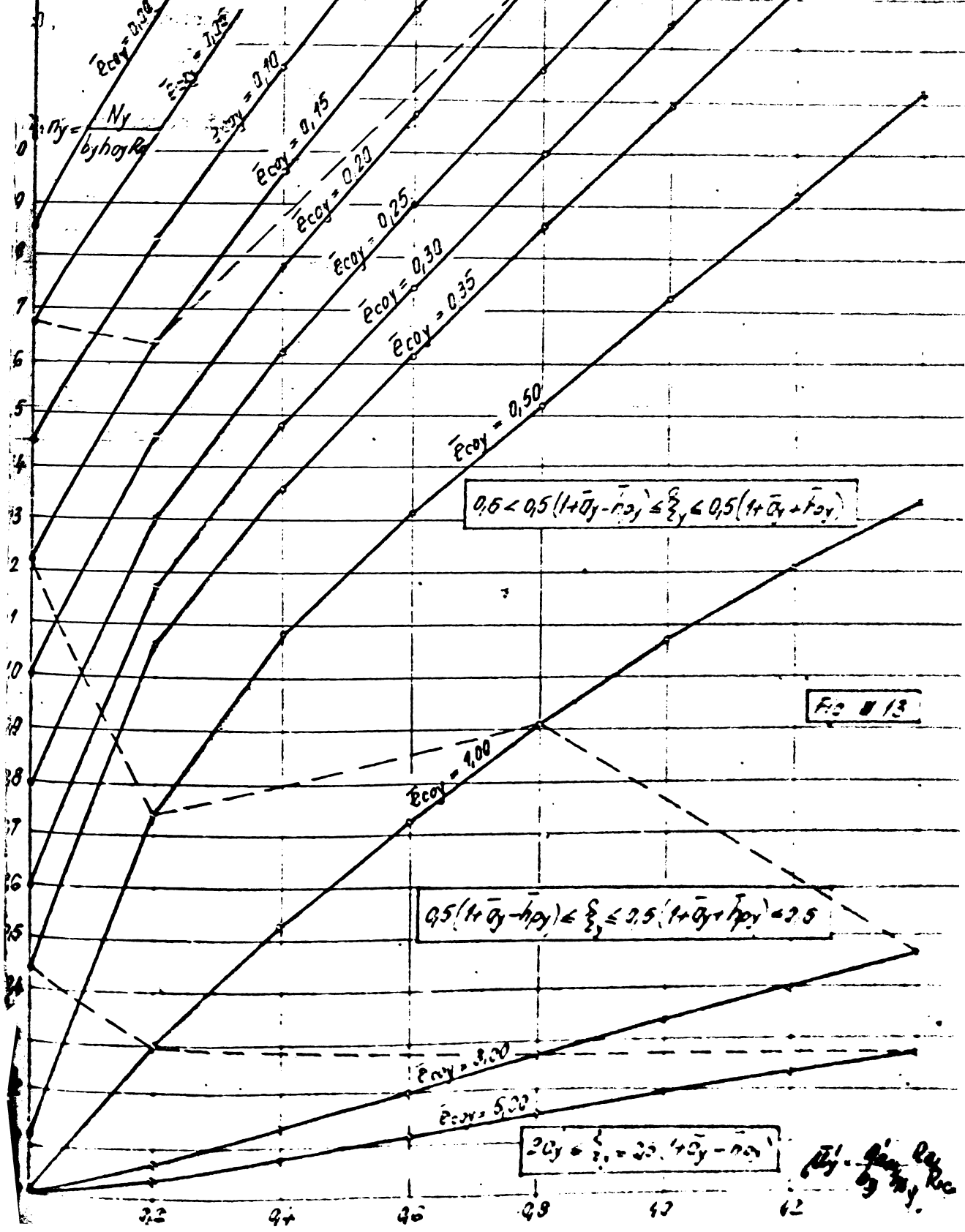


FIG. 13

*Handwritten note:*  $\bar{u}_y = \frac{g_{0y} R_{0y}}{b_y h_{0y}}$

în care :

- $N$  - reprezintă solicitarea de calcul ;
- $N_x$ , reprezintă forța longitudinală de calcul, care poate fi preluată de secțiune, în cazul în care forța acționează în planul  $x$ , avînd excentricitatea  $e_{ocx}$  ;
- $N_y$ , reprezintă forța longitudinală de calcul, care poate fi preluată de secțiune în cazul în care forța acționează în planul  $y$ , avînd excentricitatea  $e_{ocy}$  ;
- $N_c$ , reprezintă forța longitudinală de calcul, care poate fi preluată de secțiune, în cazul solicitării ei la compresiune cu excentricitate minimă, pe direcția laturii lungi.

Proiectarea se face deci, prin verificări ale unor secțiuni alese, experiența proiectantului reducînd numărul încercărilor.

CAP. IV. CONTRIBUTII CU PRIVIRE LA CALCULUL LA STAREA  
LIMITA DE REZISTENȚA, A ELEMENTELOR DIN BETON  
ARMAT, DE SECȚIUNE DUBLU T, SOLICITATE LA COMPRESIUNE  
EXCENTRICĂ OBLICĂ, UTILIZIND METODA AXEI  
NEUTRE INCLINATE

4.1. Calculul secțiunii dreptunghiulare

În scopul obținerii unei dimensionări economice, utilizînd metoda axei neutre înclinate, se iau în considerare ipotezele de calcul din stadiul III (de rupere), similare cu cele de la compresiune excentrică dreaptă.

4.1.1. Cazul compresiunii excentrice oblice, cu mare excentricitate

Se consideră o secțiune din beton armat, monosimetrică, solicitată la compresiune excentrică cu mare excentricitate (fig. IV.1). Pentru simplificarea calculului se consideră cazul cînd nu apare flambajul ( $l_{f/i} \leq 35$ ).

Avea cazul compresiunii cu mare excentricitate cînd  $x \leq 0,6h_0$

(IV.1).

Rezultantele eforturilor din secțiune sînt :

$$N_b = A_b R_c; N'_a = A'_a R'_a; N_a = A_a R_a; N_c = N_b + N'_a \quad (IV.2.a \text{ la } d)$$

Coordonatele centrelor de greutate ale rezultatelor eforturilor din secțiune sînt :

$$N_o(x_o; y_o); N'_a(x'_a; y'_a); N_a(o; p)$$

Poziția axei neutre este definită de doi parametri :

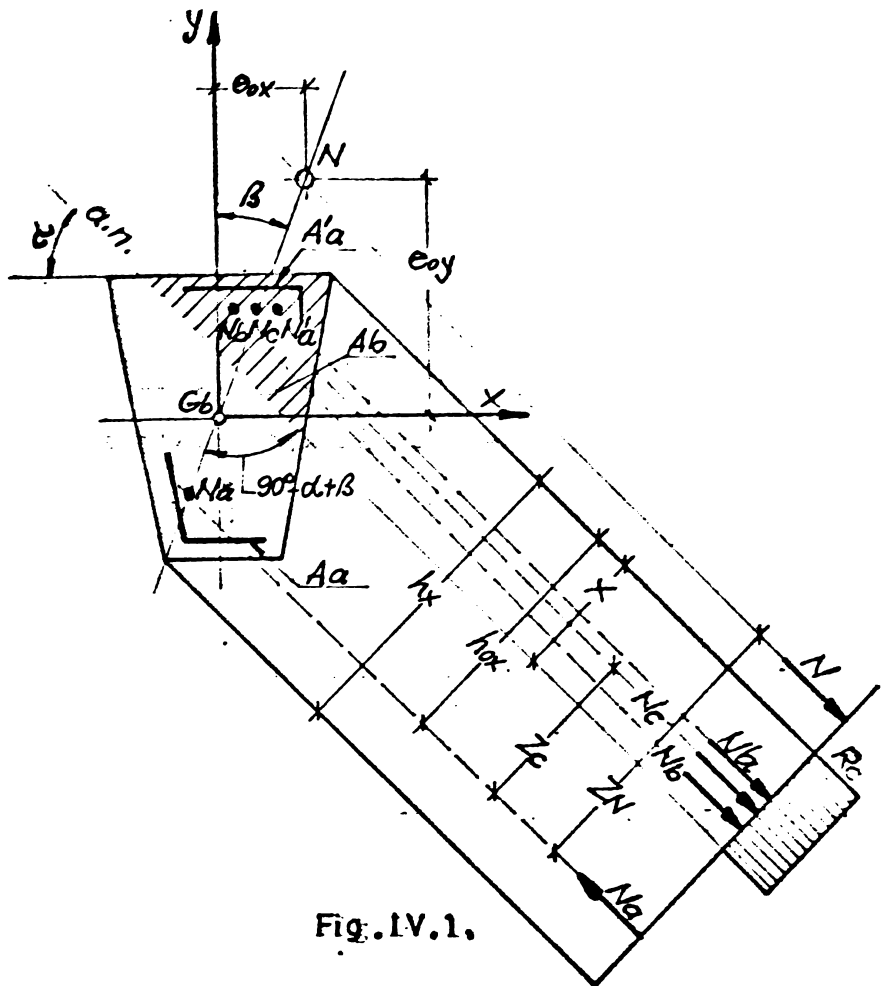


Fig.IV.1.

- mărirea valorii lui  $x$  ;
- unghiul  $\alpha$ , care definește direcția axei neutre față de orizontală.

Pentru definirea axei neutre sînt necesare două ecuații. Una reprezintă ecuația de proiecții după axa barei, a eforturilor din secțiunea transversală, iar a doua, reprezintă condiția de coliniaritate a punctelor de aplicație, a forței  $N$ , a rezultantei eforturilor din zona comprimată a secțiunii  $N_0$  și a rezultantei eforturilor din armătura  $A_a$ .

Sistemul format de cele două ecuații este :

$$\begin{cases} N = N_c - N_a \\ x_c = (y_c + p) \operatorname{tg} \beta - o \end{cases} \quad \dots \quad \text{(IV.3 și IV.4)}$$

Din rezolvarea sistemului rezultă coordonatele rezultantei eforturilor de compresiune din zona comprimată,  $x_0$  și  $y_0$ , care definesc poziția axei neutre.

Formula de calcul se obține dintr-o ecuație de momente în raport cu centrul de greutate al armăturii întinse :

$$N \cdot Z_N \leq N_0 \cdot Z_0 \quad \text{(IV.5)}$$

sau :

$$N \leq N_c \frac{z_c}{z_H} \quad (IV.5.a)$$

care :

$$- z_H = \sin(90^\circ + \beta - \alpha) \sqrt{(o + e_{o_x})^2 + (p + e_{o_y})^2} \quad (IV.6)$$

$$- z_c = \sin(90^\circ + \beta - \alpha) \sqrt{(o + x_c)^2 + (p + y_c)^2} \quad (IV.7)$$

Ecuațiile (IV.3) și (IV.4), pentru determinarea poziției axei neutre, se particularizează mai jos, pentru secțiuni transversale de formă dreptunghiulară.

Se disting trei cazuri :

- când zona comprimată este de formă triunghiulară (fig. 2) ;

- când zona comprimată este de formă trapezoidală, trapezul avînd înălțimea egală cu lățimea b a secțiunii (fig. IV.3) ;

- când zona comprimată este de formă trapezoidală, trapezul avînd înălțimea egală cu înălțimea h a secțiunii (fig. IV.4).

În toate cazurile, poziția axei neutre se definește prin coordonatele  $u$  și  $v$ , care se calculează din sistemul de ecuații (IV.3 și IV.4) obținîndu-se expresiile (IV.8 la IV.16) ; (IV.17 la IV.21) și (IV.22 la IV.27).

Delimitarea între cazuri se face prin valoarea unghiului  $\beta$ , astfel :

- zona de beton comprimată este triunghiulară dacă

$$\operatorname{tg} \beta \geq \operatorname{tg} \beta_1$$

- zona de beton, comprimată, este trapezoidală dacă

$$\beta \leq \beta_1$$

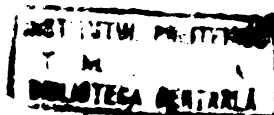
care :

$$\operatorname{tg} \beta_1 = \frac{N'_s(x'_s - \frac{h}{2} - o) - \alpha_N(\frac{1}{6} b + o)}{\alpha_N(\frac{2}{3} \frac{x'_N}{bR_c} - \frac{h}{2} - p) + N'_a(\frac{h}{2} - y'_a + p)} \quad (IV.28)$$

#### 4.1.2. Cazul compresiunii excentrice oblice, cu mică excentricitate

Se consideră atunci cînd  $x > 0,6 h_0$  (IV.29)

În această situație, armătura  $A_a$ , mai depărtată de forta excentrică  $N$ , nu intră în curgere prin întindere, la starea limită de rezistență. În armătura  $A_a$  pot fi fie eforturi unitare de întindere, dar sub valoarea  $R_a$ , fie eforturi unitare de compresiune. Ridicarea nedeterminării efortului rezultat din armă-



**ZONA COMPRIMATA DE FORMA TRIUNGHILARA**

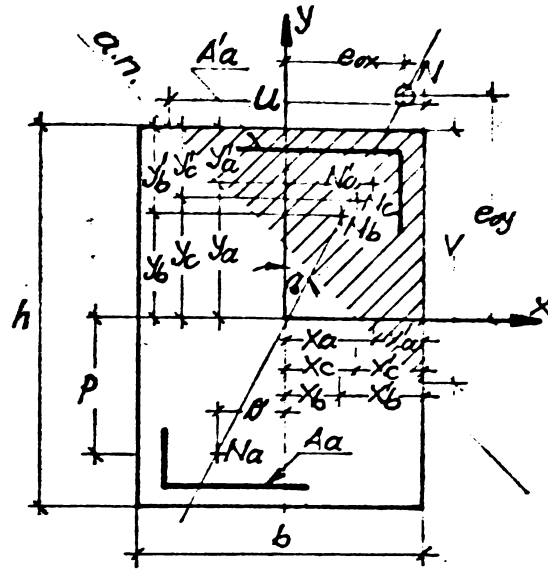


Fig.IV.2.

$$u = 2 \frac{\alpha_N}{v \cdot R_c} \quad (IV.8) \quad \alpha_N = N_b - R_a(A'_a - A_a) \quad (IV.9)$$

$$v = -\frac{\mathcal{P}_1 + \mathcal{P}_2}{2} + \frac{1}{2} \sqrt{(\mathcal{P}_1 + \mathcal{P}_2)^2 + \frac{8\alpha_N}{\text{tg}^2 \beta R_c}} \quad (IV.10)$$

$$\mathcal{P}_1 = \frac{3}{2} \frac{b}{\text{tg} \beta} - \frac{3}{2} h - 3p + \frac{3o}{\text{tg} \beta} \quad (IV.11)$$

$$\mathcal{P}_2 = \frac{N'_a}{N_0} \left( \mathcal{P}_1 - \frac{3x'_a}{\text{tg} \beta} + 3y'_a \right) \quad (IV.12)$$

$$x'_c = \frac{y}{2} - x'_0 \quad (IV.13)$$

$$y'_c = \frac{y}{2} - y'_0 \quad (IV.14)$$

$$x'_0 = \frac{N'_a x'_a + N_b x'_b}{N_0} \quad (IV.15)$$

$$y'_0 = \frac{N'_a y'_a + N_b y'_b}{N_0} \quad (IV.16)$$



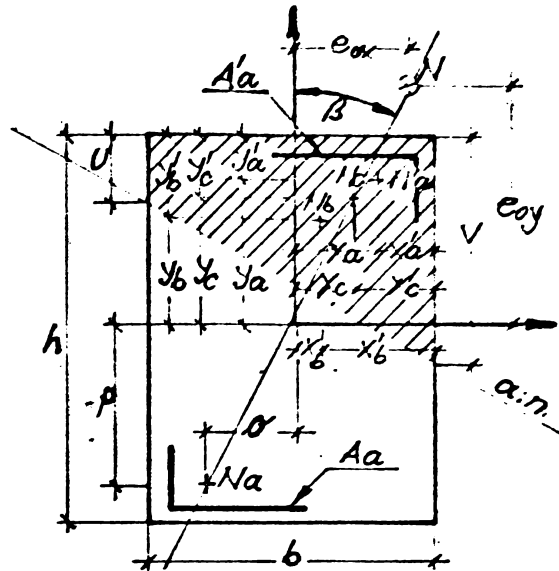


Fig.IV.3

$$u = \frac{2\alpha_N}{b R_c} - v \quad (IV.17)$$

$$\alpha_N = \bar{N}_3 = N - R_a (A'_a - A_a) \dots \quad (IV.9)$$

$$v = \frac{\alpha_N}{b R_c} - \frac{1}{2} \frac{h}{\operatorname{tg} \beta} + \sqrt{\left(\frac{1}{2} \frac{b}{\operatorname{tg} \beta} - \frac{\alpha_N}{b R_c}\right)^2 - \mathcal{P}_3} \quad (IV.18)$$

$$\mathcal{P}_3 = \frac{3 N'_a}{b R_c \operatorname{tg} \beta} (b - h \operatorname{tg} \beta - 2 x'_a - 2 p \operatorname{tg} \beta + 2 y'_a \operatorname{tg} \beta + 2 o) + \frac{\alpha_N}{b R_c \operatorname{tg} \beta} \left( \frac{4 N}{b R_0} \operatorname{tg} \beta - b - 3 h \operatorname{tg} \beta - 6 p \operatorname{tg} \beta + 6 o \right) \quad (IV.19)$$

$$x_c = \frac{b}{2} - x'_c \quad (IV.13) \quad x'_c = \frac{N'_a x'_a + N'_b x'_b}{N_c} \quad (IV.15)$$

$$y_c = \frac{h}{2} - y'_c \quad (IV.14) \quad y'_c = \frac{N'_a y'_a + N'_b y'_b}{N_c} \quad (IV.16)$$

$$x'_b = \frac{b}{3} \frac{v + 2u}{v + u} \quad (IV.20)$$

$$y'_b = \frac{u^2 + \frac{1}{3} (v - u) (2u + v)}{u + v} \quad (IV.21)$$

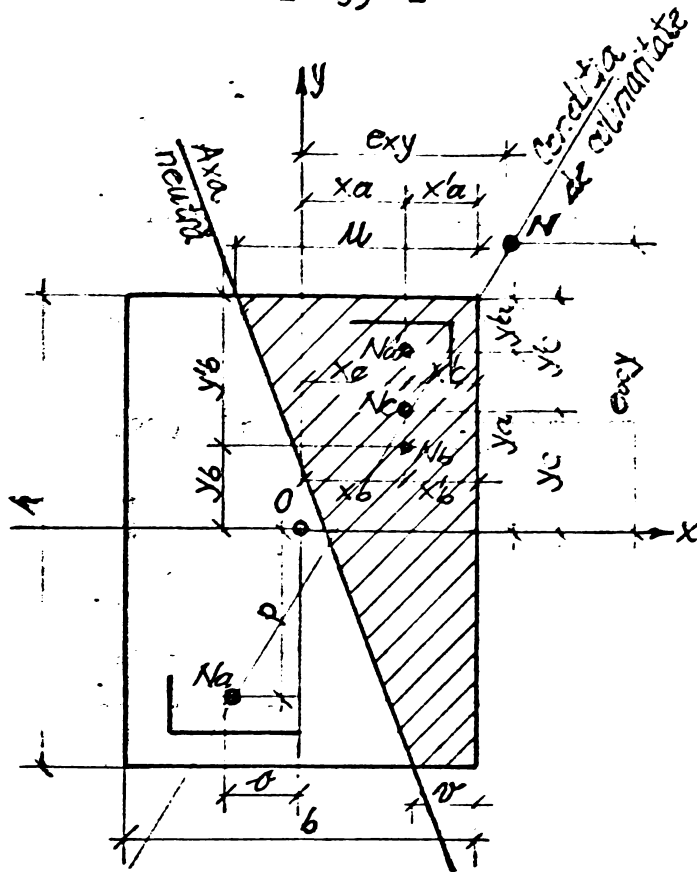


Fig. IV.4.

$$u = \frac{2 I_3}{h R_c} - v \quad (IV.22)$$

$$\alpha_N = I_3 = N - R_a (A'_a - A''_a) \quad (IV.9)$$

$$v_{1,2} = \frac{\mathcal{P}_4 \pm \sqrt{\mathcal{P}_4^2 - 4 \mathcal{P}_5}}{2} \quad (IV.23)$$

$$\mathcal{P}_4 = \frac{2 I_3}{R_c} + h \operatorname{tg} \beta \quad (IV.24)$$

$$\begin{aligned} \mathcal{P}_5 = & -\frac{6}{h R_c} (N'_a + N_b) \left(\frac{b}{2} + o\right) + \frac{6}{h R_c} N'_a x'_a + 4 \frac{N_b^2}{h^2 R_c^2} + \\ & + \frac{2 I_3 \operatorname{tg} \beta}{h R_c} \left(\frac{h}{6} + p\right) + \frac{6 N'_a \operatorname{tg} \beta}{h R_c} \left(\frac{h}{2} + p\right) + \frac{6}{h R_c} (p N_b - N'_a y'_a) \operatorname{tg} \beta \end{aligned} \quad (IV.25)$$

$$x_0 = \frac{N'_a}{N_0} - x'_0 \quad (IV.13) \quad x'_0 = \frac{N'_a x'_a + N_b x'_b}{N_0} \quad (IV.15)$$

$$y_0 = \frac{N'_b}{N_0} - y'_0 \quad (IV.14) \quad y'_0 = \frac{N'_a y'_a + N_b y'_b}{N_0} \quad (IV.16)$$

$$x'_b = \frac{r^2 + 2r + u^2}{3(u + v)} \quad (IV.26) \quad y'_b = \frac{h}{3} \frac{(2r + u)}{u + v} \quad (IV.27)$$

tura  $A_a$ , se poate face utilizînd ecuația de compatibilitate a deformațiilor, sau procedeul simplificat al lui Cistiakov.

• Conform procedurii simplificat, efortul unitar în armătura  $A_a$  va fi :

$$\pm \sigma_a = K_a \quad (4.29) \quad \text{în care } k = 2 \frac{h'_{ox} - x}{h_{ox} - x_{lim}} - 1 \quad (IV.30)$$

pentru  $0,6 h_{ox} < x < h_{ox}$

$$\text{Pentru } x > h_{ox}, \quad \sigma_a = -R_a \quad (IV.31)$$

Introducerea valorii lui  $K$ , în sistemul de ecuații (3 și 4), duce la expresii complicate, greu rezolvabile. De aceea, calculul valorilor lui  $x_c$  și  $y_c$ , respectiv a valorilor  $u$  și  $v$ , se face prin aproximații succesive. Se calculează la început valoarea lui  $x_c$  și  $y_c$ , în care se ia  $\sigma_a = R_a$ , cu care se determină o valoare a lui  $x$ . Cu valoarea lui  $x$ , se calculează valoarea lui  $K$ , conform relației (4.30) și cu această valoare a lui  $K$ , valoarea lui  $\sigma_a$ , conform relației (4.29). Cu valoarea obținută a lui  $\sigma_a$  se rezolvă din nou sistemul de ecuații (IV.3 și IV.4), obținînd noi valori ale lui  $x_c$  și  $y_c$ , respectiv un nou  $x$ .

Calculul se repetă pînă două valori consecutive ale lui  $x$ , respectiv  $\sigma_a$ , nu diferă între ele cu mai mult de  $\pm 3\%$ .

Cu ultima valoare a lui  $\sigma_a$  se va face calculul capacității portante a secțiunii cu relația (IV.5).

• Dacă  $x > h_{ox}$ , în sistemul de ecuații (IV.3 și IV.4) se intră cu valoarea  $\sigma_a = -R_a$ .

Particularizînd, pentru secțiunea dreptunghiulară, zona comprimată poate fi de formă trapezoidală fig. IV.3 și fig. IV.4, caz în care mărimile căutate  $u$ ,  $v$ ,  $x_c$  și  $y_c$  se determină *cu* mare excentricitate cu relațiile (IV.17 la IV.21) și (IV.22 la IV.27), valoarea lui  $N_a = k R_a A_a$ , sau poate să fie de formă poligonală (fig. IV.5), în care caz, mărimile  $u$ ,  $v$ ,  $x_c$  și  $y_c$  se calculează cu relațiile (IV.32 la IV.42).

Delimitarea între cele două cazuri, privind forma zonei comprimate (trapez ori poligon) se face prin valoarea unghiului

$\beta$  astfel :

- zona comprimată este trapezoidală dacă

$$\operatorname{tg} \beta \leq \operatorname{tg} \beta_2$$

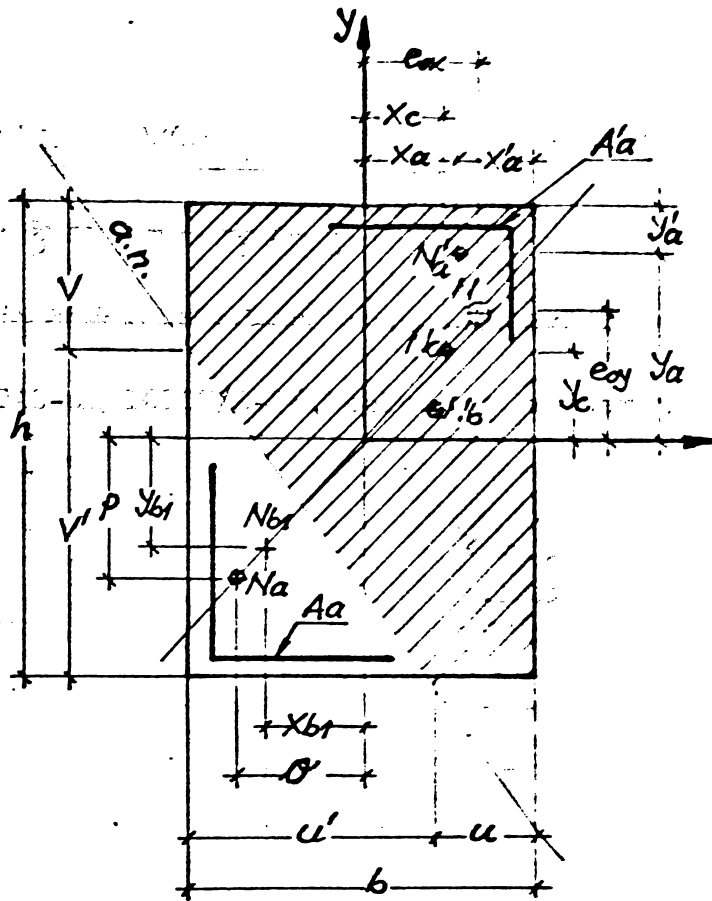


Fig.IV.5.

$$u = b - u' \quad (IV.32) \quad v = h - v' \quad (IV.33) \quad u' = \frac{\alpha_N}{v' R_c}$$

$$\alpha_N = \frac{3}{2} R_c + R_a (A'_a - K A_a) - N \quad (IV.35)$$

$$v' = -\frac{\mathcal{J}_1 + \mathcal{J}_2}{2} + \frac{1}{2} \sqrt{(\mathcal{J}_1 + \mathcal{J}_2)^2 + \frac{8\alpha_N}{R_c}}$$

$$\mathcal{J}_1 = \frac{3}{2} \left( \frac{b}{R_c} - h \right) + 3 R_c \left( p - \frac{0}{R_c} \right) \left( 1 - \frac{bh R_c}{\alpha_N} \right)$$

$$\mathcal{J}_2 = \frac{3 R_c N'_a}{2 v' R_c} (x_a - y_a \operatorname{tg} \beta - p \operatorname{tg} \beta + 0)$$

$$x_0 = \frac{\frac{3}{2} v' \left( \frac{b}{2} - \frac{1}{3} u' \right) + N'_a x_a}{N_0}$$

$$y_0 = \frac{\frac{3}{2} v' \left( \frac{h}{2} - \frac{1}{3} v' \right) + N'_a y_a}{N_0}$$

$$N_0 = N_a + N'_a \quad (IV.41) \quad N_b = \left( bh - \frac{1}{2} u' v' \right) R_0$$

- zona comprimată este poligonală dacă

$$z_0 \geq \operatorname{tg} \beta_2.$$

în care :

$$\operatorname{tg} \beta_2 = \frac{(\sigma + \frac{z}{2})(I'_2 + \alpha_N) - N'_2 z_a - \frac{2}{3} b \alpha_N + \frac{1}{6} b^2 h R_c}{(p + \frac{h}{2})(I'_2 + \alpha_N) - N'_2 z_a - \frac{2}{3} \frac{(\alpha_N)^2}{b R_c} + \frac{\alpha_N}{3} h - \frac{1}{6} b h^2 R_c}$$

4.2. Aplicarea metodei axei neutre înclinate la secțiuni dublu T

În conformitate cu STAS-ul 10107/0-76, calculul la starea limită de rezistență se efectuează pe baza relației, (fig. IV.6) :

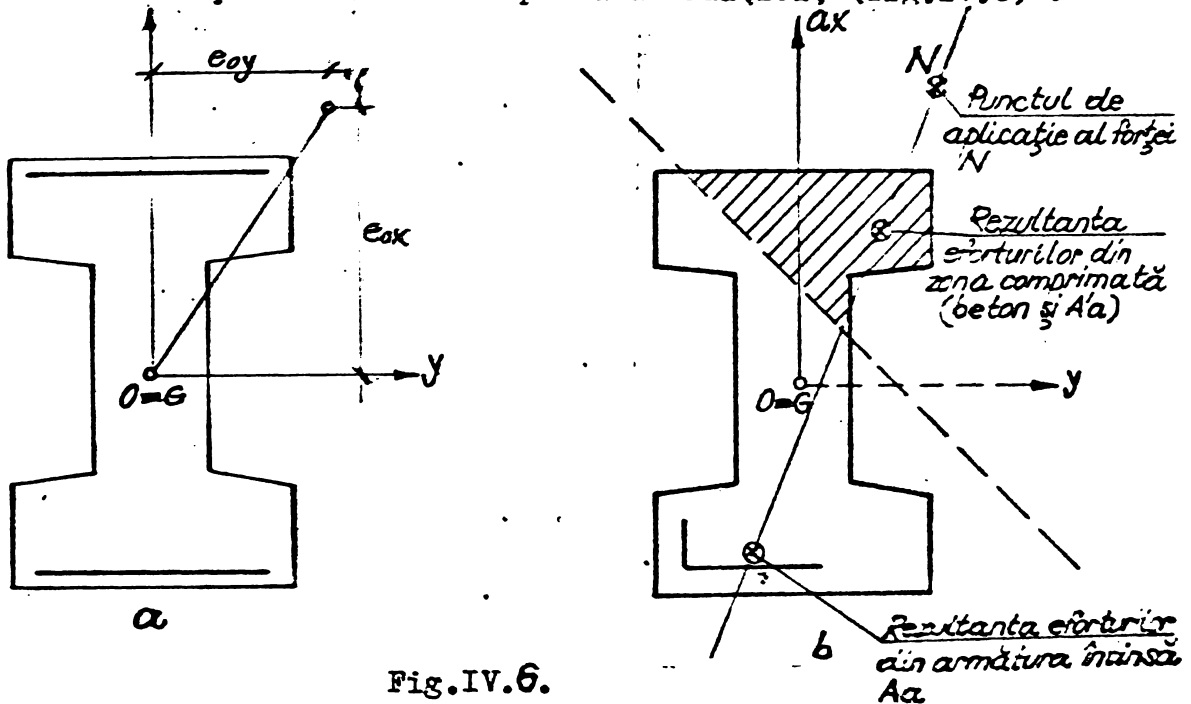


Fig. IV.6.

$$N \leq A_b R_c + (A'_a - A_a) R_a \quad (IV.43)$$

În relația (IV.43), poziția axei neutre se determină prin încercări, ținând seama și de relația (IV.43) și de condiția de coliniaritate a punctelor de aplicație, a forței  $N$ , a rezultantei eforturilor din zona comprimată a secțiunii, (betonul comprimat și armătura comprimată  $A'_a$ ) și a rezultantei eforturilor de întindere din armătura  $A_a$  (relația IV.44) :

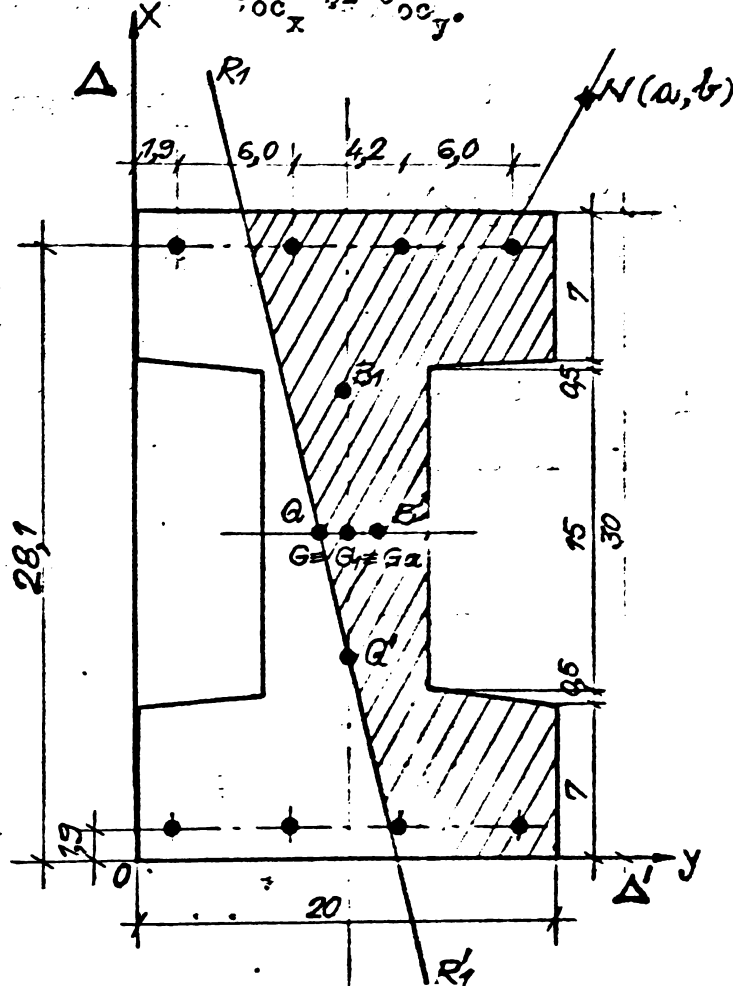
$$S_{b,y} R_c + A'_a R_a e' - A_a R_a e = 0 \quad (IV.44),$$

În care :

- $S_{b,y}$  este momentul static al zonei comprimate de beton, în raport cu punctul de aplicație al forței  $N$  ;
- $A_b$  - aria zonei comprimate de beton.

În continuare se prezintă o metodă practică, care se poate aplica secțiunilor dublu T. Se consideră secțiunea dublu T din fig. IV.7, armată simetric ( $A_a = A'_a$ ), acționată de forța  $N$ , aplicată excentric oblic, cu excentricitățile  $e_{oc_x}$  și  $e_{oc_y}$ .

Fig. IV.7



Pentru determinarea poziției axei neutre se face apel la metodele utilizate în Rezistența materialelor.

Acest lucru presupune, pentru început, admiterea ipotezelor generale din rezistența materialelor :

- materialul se consideră ideal elastic ;
- există proporționalitate între eforturile unitare și deformațiile specifice corespunzătoare (legea lui Hooke) ;
- secțiunile plane rămân plane și după deformarea elementelor (ipoteza lui Bernoulli).

Se specifică că poziția axei neutre se determină prin îmbunătățiri succesive.

Astfel, pentru o primă determinare a poziției axei neutre, se consideră că participă la preluarea forței excentrice oblice  $N$ , întreaga secțiune de beton și de armătură (echivalată în secțiune de beton -  $\frac{b_a}{b} \cdot A_a$ ).

Pentru secțiunea aleasă (fig.IV.7), se calculează aria secțiunii de beton  $A_{1b}$  și aria echivalentă a armăturii  $A_a$ . Se consideră două drepte,  $\Delta$  și  $\Delta'$ , care nici una nu trece prin centrul de greutate al secțiunii,  $G(\xi, \eta)$ , ca în fig.IV.7. Se calculează momentele statice ale ariei de beton și ale ariei de armătură în raport cu dreptele alese  $\Delta$  și  $\Delta'$ . Momentele statice sînt :

$$S_{\Delta_{1b}}; S_{\Delta'_{1b}}; S_{\Delta_a} \text{ și } S_{\Delta'_a}$$

Se calculează și momentele de inerție în raport cu dreptele  $\Delta$  și  $\Delta'$  notate :  $I_{\Delta_{1b}}; I_{\Delta'_{1b}}; I_{\Delta_a}$  și  $I_{\Delta'_a}$ , precum și momentele de inerție centrifugale :  $I_{\Delta_{1b}\Delta'_{1b}}; I_{\Delta_a\Delta'_a}$

Coordonatele centrului de greutate  $G_1$  al ariei de beton și al ariei echivalente de armătură ( $A_{1b} + A_a$ ), vor fi :

$$\xi_1 = \frac{S_{\Delta'_{1b}} + S_{\Delta'_a}}{A_{1b} + A_a} \text{ și } \eta_1 = \frac{S_{\Delta_{1b}} - S_{\Delta_a}}{A_{1b} + A_a} \quad (IV.15.a,b)$$

Coordonatele centrului de greutate al ariei armăturilor  $G_a$ , vor fi

$$\xi_0 = \frac{S_{\Delta'_a}}{A_a} \text{ și } \eta_0 = \frac{S_{\Delta_a}}{A_a} \quad (IV.16.a,b)$$

Se arată în Rezistența materialelor, că axa neutră corespunzătoare punctului de aplicație al forței excentrice oblice,  $E$ , este simetrică față de  $G$ , a polarei punctului  $E$ , luată în raport cu elipsa centrală de inerție. Astfel dacă punctul  $E$  are coordonatele  $a$  și  $b$ ,  $[E(a,b)]$ , ecuația axei neutre se poate scrie sub forma :

$$\frac{(-a)x}{i_y^2} + \frac{(-b)y}{i_x^2} - 1 = 0 \quad (IV.17)$$

Dreapta simetrică față de  $G$  a polarei unui punct se mai numește și antipolara acelu punct, deci se poate spune că axa neutră a punctului  $E$  este antipolara lui  $E$  în raport cu elipsa centrală de inerție și invers, punctul de aplicare al forței corespunzător axei neutre  $\Delta$  este antipolul dreptei  $\Delta$  (simetricul în raport cu  $G$  al polului dreptei  $\Delta$ ).

Punctul de aplicare al forței și axa neutră corespunzătoare, se bucură de aceleași proprietăți ca polul și polara.

Cînd se dă secțiunea, se poate găsi elipsa de inerție corespunzătoare, însă în general ea se determină dificil. Din această cauză este mai simplu a se lucra cu figurile reciproce, servin-

du-ne de secțiune. Astfel unui punct  $B_1$  al figurii  $S$ , îi corespunde o dreaptă  $L_1$  în figura  $S'$ , de unde rezultă că punctul  $B_1$  și dreapta  $L_1$  sînt figură reciprocă în raport cu secțiunea dată. Se remarcă că axa neutră  $L$  și punctul corespunzător de aplicare al forței  $E$ , sînt cele mai simple figuri reciproce în raport cu o secțiune.

Se amintesc proprietățile referitoare la punctul  $E$ , de aplicare al forței și la axa neutră corespunzătoare :

- cînd punctul  $E$  se mișcă în planul secțiunii pe o dreaptă  $D$ , axa neutră  $L$  se rotește în jurul unui punct  $Z$ , care este tocmai punctul de aplicare al forței, corespunzător axei neutre  $D$  și invers ;
- cînd punctul  $E$  coincide cu centrul de greutate  $G$  al secțiunii, axa neutră este dreapta de la infinit. Acesta este cazul compresiunii centrice ;
- dacă punctul  $E$  se mișcă pe dreapta de la infinit, axa neutră se rotește în jurul centrului de greutate al secțiunii.

Cu această digresiune, se revine la situația concretă analizată.

Se determină punctele reciproce  $B_1$  și  $B'_1$  ale dreptelor  $\Delta$  și  $\Delta'$  în raport cu secțiunea de beton și de armătură echivalentă în secțiune de beton ( $A_{bl} + A_a$ ), care au coordonatele (față de axele  $\Delta$  și  $\Delta'$  identice cu  $x$  respectiv  $y$ ) :

$$B_1 \left\{ \begin{aligned} x_1 &= \frac{I_{\Delta\Delta'bl} + I_{\Delta\Delta'A_a}}{S_{\Delta bl} + S_{\Delta A_a}} \\ y_1 &= \frac{I_{\Delta bl} + I_{\Delta A_a}}{S_{\Delta bl} + S_{\Delta A_a}} \end{aligned} \right. \quad (IV.48.a,b)$$

$$B'_1 \left\{ \begin{aligned} x'_1 &= \frac{I_{\Delta'bl} + I_{\Delta'A_a}}{S_{\Delta'bl} + S_{\Delta'A_a}} \\ y'_1 &= \frac{I_{\Delta\Delta'bl} + I_{\Delta\Delta'A_a}}{S_{\Delta'bl} + S_{\Delta'A_a}} \end{aligned} \right. \quad (IV.49.a,b)$$

Relațiile (IV.48) și (IV.49), care dau coordonatele punctelor reciproce  $B_1$  și  $B'_1$  sînt demonstrate în continuare (relațiile IV.55.a și b).



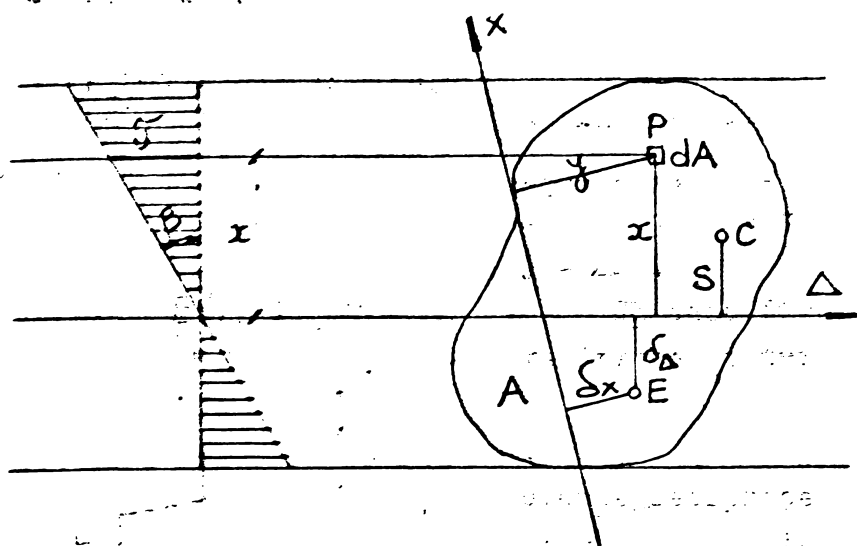


Fig. IV.8.

Pentru aceasta se consideră o secțiune A și două axe:  $\Delta$  și  $x$  (fig. IV.8).

Notînd cu  $\delta_{\Delta}$  și respectiv  $\delta_x$ , distanțele punctului E, de aplicație a forței excentrice N, față de axa  $\Delta$  și respectiv  $x$  și cu  $x$  și  $y$  distanțele la aceleași axe ale

unui punct curent P al secțiunii, efortul unitar în acest punct curent P, este:  $\sigma = x \operatorname{tg} \beta = kx$ . (IV.50)

Notînd elementul de suprafață cu  $dA$ , efortul N va fi:

$$N = \int \sigma dA = k \int x dA = k S_{\Delta} \quad (IV.51)$$

de unde 
$$k = \frac{N}{S_{\Delta}} \quad (IV.52)$$

în care  $S_{\Delta}$  este momentul static al secțiunii în raport cu axa neutră.

Momentele volumului eforturilor unitare în raport cu axele  $\Delta$  și respectiv  $X$  sînt:

$$N \delta_{\Delta} = \int \sigma x dA = k \int x^2 dA = k I_{\Delta} \quad (IV.53)$$

$$N \delta_x = \int \sigma y dA = k \int xy dA = k I_{\Delta X} \quad (IV.54)$$

în care dacă se înlocuiește valoarea lui  $k$  din (IV.52) obținem

$$\delta_{\Delta} = \frac{I_{\Delta}}{S_{\Delta}} \quad \text{și} \quad \delta_x = \frac{I_{\Delta X}}{S_{\Delta}} \quad (IV.55.a \text{ și } b)$$

în care  $I_{\Delta}$  și  $I_{\Delta X}$  sînt momentul de inerție în raport cu axa neutră și respectiv momentul centrifugal în raport cu axele  $\Delta$  și  $X$ .

Dacă axa  $X$  trece prin punctul E, atunci  $\delta_x = 0$ ,  $I_{\Delta X} = 0$ .

Aceasta înseamnă că orice dreaptă dusă prin punctul de aplicare al unei forțe este conjugată cu axa neutră corespunzătoare acestui punct în raport cu secțiunea considerată. De asemenea inversa acestei proprietăți este adevărată și anume: dacă o dreaptă este conjugată, în raport cu o secțiune, cu toate dreptele care trec printr-un punct dat E, atunci dreapta respectivă este axa neutră corespunzătoare punctului E de aplicare a forței.

Se determină apoi un prim punct  $Q$ , al axei neutre corespunzătoare punctului de aplicație al forței,  $E(a,b)$ , servindu-se de dreapta  $\Delta$  și de reciprocul ei, punctul  $B$ .

Pentru aceasta, se urmărește raționamentul de mai jos, împreună cu fig. IV.9. Se cunosc deci :  $G_1(\xi, \eta)$ ,  $B_1(x_1, y_1)$ ,  $E(a, b)$  și axele de coordonate  $x = \Delta$  și  $y = \Delta'$ .

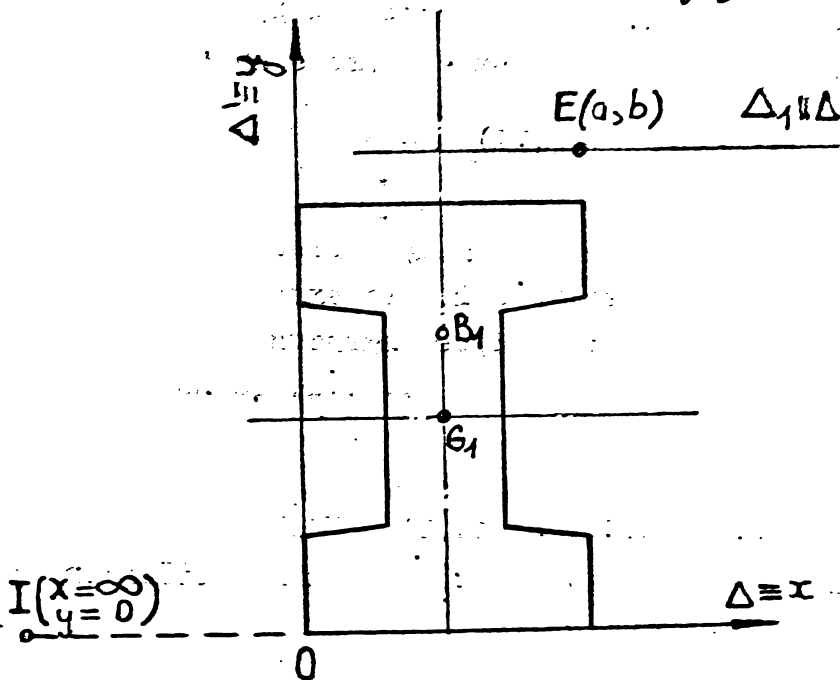


Fig. IV.9.

În baza figurilor reciproce, tuturor punctelor de pe dreapta  $\Delta$ , le corespund drepte reciproce ce trec prin  $B_1$ , iar punctului  $I$  de la infinit al dreptei  $\Delta$ , îi corespunde ca reciprocă dreapta  $B_1G_1$ . Dacă ducem prin  $E(a, b)$  o dreaptă paralelă cu dreapta  $\Delta$ , notată  $\Delta_1$  și îi determinăm punctul reciproc, notat cu  $Q$ , știind că toate

dreptele ce trec prin  $E$  au ca reciproce puncte situate pe axa neutră. rezultă că și punctul  $Q$  (reciprocul unei drepte ce trece prin  $E$ ) se va afla pe axa neutră. Dreapta  $\Delta_1$ , trecînd și ea prin punctul de la infinit,  $I$ , al dreptei  $\Delta$  rezultă că punctul  $Q$  se găsește pe dreapta  $B_1G_1$  care este reciproca punctului  $I$ .

Pentru găsirea ordonatei punctului  $Q$ , (abscisa fiind cunoscută prin dreapta  $B_1G_1$ ), se aplică relația (IV.55.a) :

$$y_2 = \frac{I_{x\Delta_1}}{S_{\Delta_1}} = \frac{\int (y-b)y \, dA}{A \cdot d_{\Delta_1}} = \frac{\int y^2 \, dA - b \int y \, dA}{A \cdot d_{\Delta_1}} \quad (IV.56)$$

în care  $d_{\Delta_1}$  este distanța de la  $G_1$  la dreapta  $\Delta_1$  adică  $(b-\eta)$ .

Est conform relației (IV.55.a), putem scrie :

$$y_2 = \frac{I_{x\Delta_1}}{S_{\Delta_1}} = \frac{\int y^2 \, dA}{A \cdot d_{\Delta}} \quad (IV.57)$$

în care  $d$  este distanța de la  $G_1$  la dreapta  $\Delta$  adică  $\eta$ .

Dacă în relația (IV.56), introducem valoarea lui  $y_1$ , dată de (IV.57) se obține :

$$y_Q = \frac{d_{\Delta}}{d_{\Delta 1}} (y_1 - b) = \frac{\eta_1 (y_1 - b)}{(b - \eta_1)} \quad (IV.58)$$

Pentru a trasa axa neutră, avem nevoie de cel puțin încă un punct  $Q'$ . Pentru determinarea lui se aplică același raționament, în raport cu axa  $\Delta'$ . Abscisa punctului  $Q'$  este dată de relația :

$$x_{Q'} = \frac{\xi_2 (x_2 - a)}{a - \xi_2} \quad (IV.59)$$

Având acum două puncte situate pe axa neutră, aceasta se poate trasa, fiind dreapta ce trece prin punctele  $Q$  și  $Q'$ .

Aceasta se notează cu  $R_1 R_1'$  și ea este axa neutră căutată în prima aproximare, când se consideră active, întreaga secțiune de beton și de armătură echivalentă (a se vedea fig. IV.7).

Urmează a doua determinare a poziției axei neutre când se consideră că la preluarea forței excentrice oblice  $N$ , participă numai zona comprimată de beton  $R_1$ ,  $B$ ,  $H$ ,  $F$ ,  $L$ ,  $M$ ,  $N$ ,  $R_1'$ , precum și întreaga secțiune de armătură, (fig. IV.7).

Se determină aria zonei comprimate de beton de mai sus, notată  $A_{2b}$ . Se repetă ciclul operațiilor. Se determină centrul de greutate  $G_2$  al zonei comprimate și al întregii armături echivalente ( $A_{2b} + A_a$ ), cu relațiile (IV.45.a și b), determinându-se în prealabil, centrul de greutate al zonei comprimate de beton  $A_{2b}$ , momentele statice ale zonei comprimate de beton  $A_{2b}$  în raport cu axele  $\Delta$  și  $\Delta'$ , precum și momentul de inerție și momentul de inerție centrifugal, al zonei de mai sus ( $A_{2b}$ ) față de aceleași axe.

Coordonatele  $G_2$  vor fi :

$$\xi_2 = \frac{S_{\Delta' b_2} + S_{\Delta' A_a}}{A_{2b} + A_a} \quad \text{și} \quad \eta_2 = \frac{S_{\Delta b_2} + S_{\Delta A_a}}{A_{2b} + A_a}$$

Se determină în continuare, punctele reciproce  $B_2$  și  $B_2'$ , ale dreptelor  $\Delta$  și  $\Delta'$ , în raport cu  $(A_{2b} + A_a)$ , a căror coordonate se determină cu relațiile (IV.48.a, b) și (IV.49.a, b).

Pe dreapta  $G_2 B_2$  se va găsi punctul  $Q_1$  al axei neutre, corespunzătoare zonei comprimate de beton și întregii armături echivalente, a cărei ordonată se determină cu relația (IV.52).

Pe dreapta  $G_2 B_2'$  se va găsi punctul  $Q_1'$ , tot al axei neutre, corespunzătoare zonei comprimate de beton și întregii armături echivalente.

Se poate trasa acum poziția axei neutre  $R_2 R_2'$  în aproximarea a doua.

Se procedează în mod identic în aproximarea a treia, ș.a.m.d., pînă între două aproximări succesive, diferențele dintre pozițiile axelor neutre respective, sînt acceptabile de mici.

Se specifică, dificultatea determinării ariei zonei comprimate de beton, în aproximările a doua și următoarele, avînd formă deosebit de complicată în plan, precum și celelalte caracteristici statice (moment static, moment de inerție), necesare conducerii calculului axiatic.

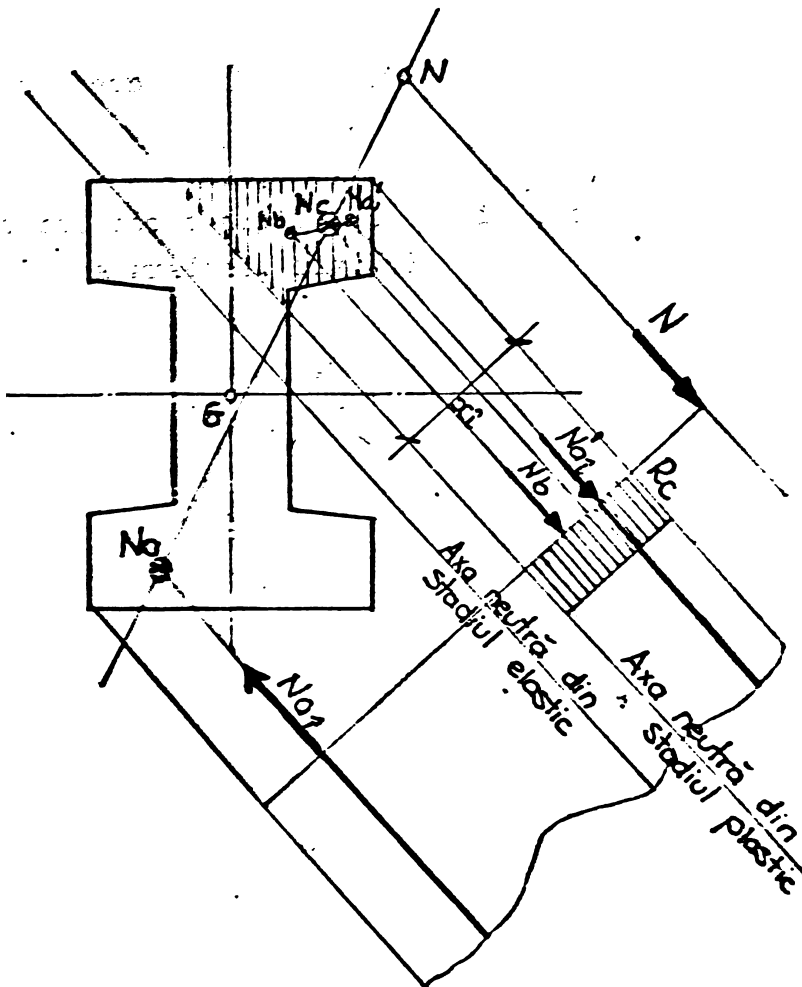


Fig.IV.10.

Pentru înlăturarea neajunsurilor, fie că se descompune aria comprimată de beton în suprafețe geometrice regulate (un calcul cu aproximații), fie că se apelează la lucrarea [35], care permite un calcul mai precis.

Urmează acum, trecerea, de la considerarea betonului ca material care se comportă elastic, la diagrama de calcul dreptunghiulară pentru betonul zonei comprimate, care consideră în momentul rupei că betonul s-a plasticizat.

Această trecere se face, luînd în considerare următoarea ipoteză :

- se menține și în stadiul plastic, înclinarea axei neutre determinată în stadiul elastic.

Cu această ipoteză, înălțimea  $x_1$  (a axei neutre înclinate) rezultă din ecuația de proiecții după direcția axei neutre înclinate (fig.IV.10):

$$N = N_0' + N a_1' - N_1 x_1 \quad (IV.10)$$

CAP. 7. CONTRIBUȚII CU PENTRARE LA CALITATE LA ÎNĂLȚA  
LIMITA DE REZISTENȚĂ, A ELEMENTELOR DIN TIPION  
ARMAT, DE CURENȚE DURU 2, SOLICITATE DE  
COMPRESIUNE EXCENTRICĂ OBLICĂ, UTILIZÂND  
CURBELE DE INTERACȚIUNE

5.1. Aparate generale

O structură, oricare ar fi ea, pe durata existenței ei, este supusă unor stări de solicitări, care variază în funcție de o mulțime de factori.

Pentru o secțiune a structurii, totalitatea stărilor de solicitare, poate alcătui o mulțime, ce definește un domeniu într-o reprezentare grafică, fig. 7.1.

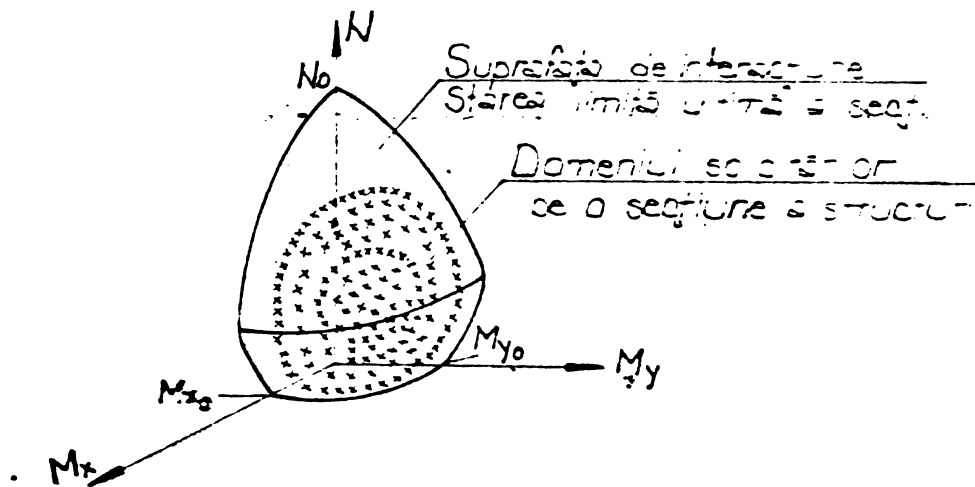


Fig.V.1. Domeniul solicitărilor și acoperirea acestuia de suprafețele de interacțiune, la compresiune excenetrică oblică.

Relațiile ce exprimă starea limită ultimă, luând în considerare simultan cele trei eforturi  $-N-M_x-M_y$  - duc la niște suprafețe, denumite suprafețe de interacțiune. Acestea sînt :

- $N-M_x$  :
- $N-M_y$  :
- $M_x-M_y$  pentru  $N = \text{constant}$ .

Condiția de stabilitate mecanică a secțiunii este acoperirea integrală a domeniului solicitărilor, de către suprafețele de interacțiune.

Vectorul solicitărilor  $S(N, M_x, M_y)$ , trebuie să se afle permanent în interiorul volumului închis de suprafețele de interacțiune, către triedrul axelor de referință, cel alt poate atinge

aceste suprafețe.

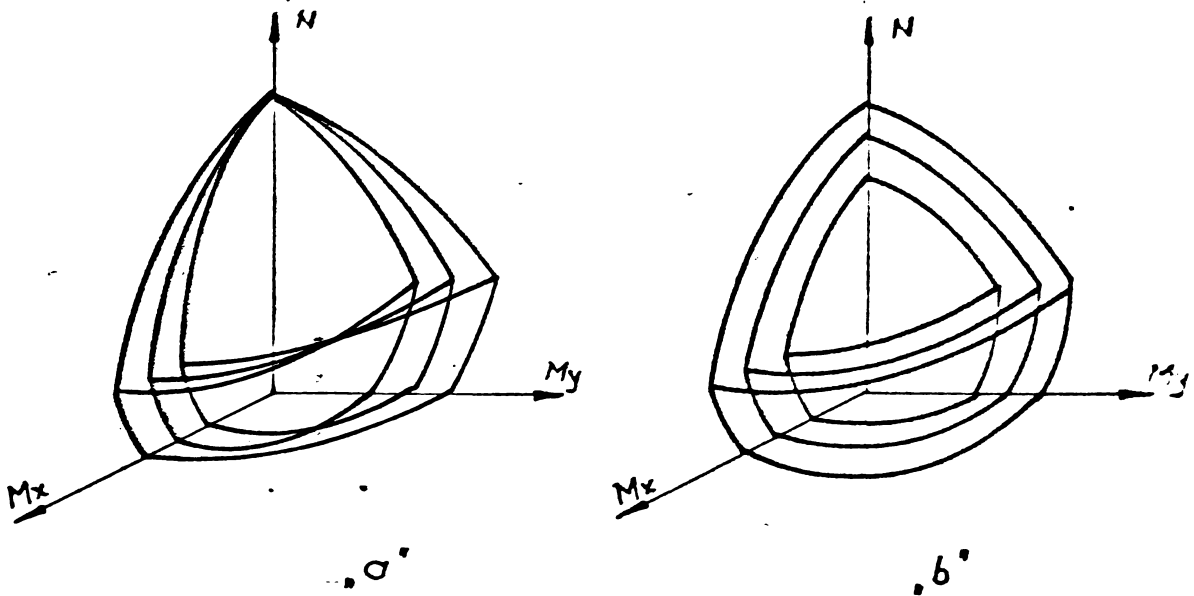


Fig.V.2. Suprafețele de interacțiune la secțiuni diferite ca formă (a), sau ca armare (b).

O secțiune dată de beton armat, poate atinge starea limită ultimă, pentru o triplă mulțime de valori,  $N$ ,  $M_x$ ,  $M_y$ . Între cele trei valori ale eforturilor, care duc la starea limită ultimă există relații de interdependență, care cuprind atât elementele geometrice, cât și elementele mecanice ale secțiunii. Reprezentarea grafică a relațiilor de interdependență, duce la niște suprafețe, pe care le denumim suprafețe limită de interacțiune.

Spre exemplu, în cazul secțiunii dreptunghiulare, dacă se consideră constantă aria zonei comprimate de beton, în timp ce planul forțelor mătură un cadran, centrul de greutate GB, al acestei zone, descrie un loc geometric LG (fig.V.3), care este compus din trei conice, ce au puncte comune pe dreptele  $L_1$  și  $L_2$ .

Din studiile efectuate de diferiți autori [46], reiese că cele trei conice care formează locul geometric real L.G., nu se racordează în punctele comune  $GB_1$  și  $GB_2$ . O altă observație, interesantă pentru simplificarea calculului este posibilitatea înlocuirii locului geometric real L.G., cu o elipsă, ce are puncte comune pe axele de coordonate  $x$ ,  $y$  cu L.G.

Acest loc geometric înlocuitor, notat  $L_1$ , este foarte apropiat de L.G. și duce la niște brațe de pirghie, pentru eforturile înțelțare, mai mici cu circa 1% decât cele reale, ceea ce este acceptabil.

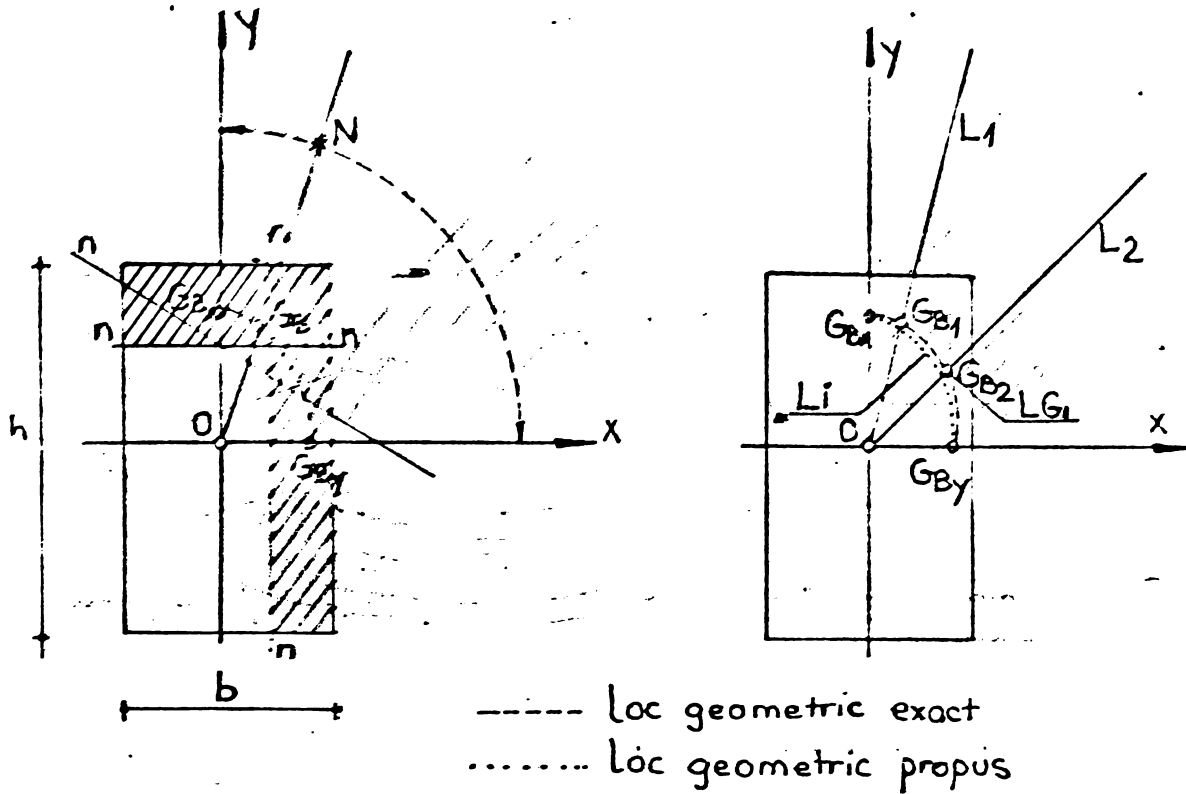


Fig. 7.3. Locul geometric al centrului de greutate L.G.

Suprafețele de interacțiune nu se pot utiliza într-o reprezentare tridimensională (spațială) din cauza întrebuintării greceale. Pentru ușurința utilizării reprezentării spațiale, se intersectează această reprezentare (spre exemplu), cu planuri paralele cu planul  $M_x-O-M_y$ , (fig. 7.4), planuri ce corespund diferitelor valori ale lui  $N$ .

Prin aceste intersecțiuni se obțin familii de curbe de interacțiune plane, care se pot utiliza cu mare ușurință în calculele de dimensionare sau verificare a secțiunilor (fig. 7.5).

Cercetările întreprinse [88] au arătat că importante sînt doar cele două mări a legii de variație - dreapta sau elipsa.

Relația care exprimă aceste variații posibile este :

$$\left(\frac{M_x}{M_{x\text{cap}}}\right)^\beta + \left(\frac{M_y}{M_{y\text{cap}}}\right)^\beta = 1 \quad (V.1)$$

în care dacă  $\beta = 1$ , variația este o dreaptă, iar dacă  $\beta = 2$ , variația este o elipsă.

Modul real de variație poate fi cuprins între dreaptă și elipsă, pentru care  $1 \leq \beta \leq 2$ .

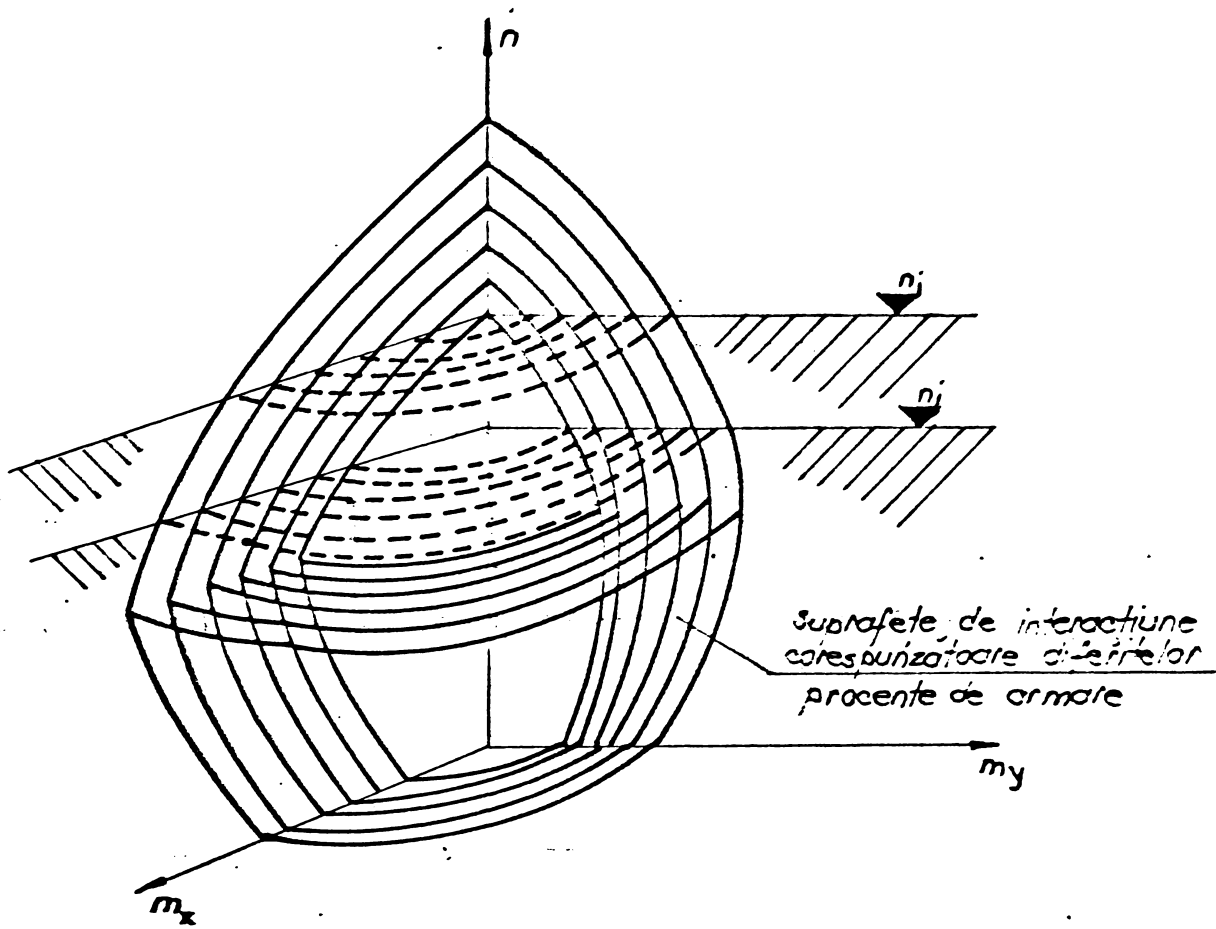


Fig.V.4. Intersecția cu planuri de echisarcină,  $N_i$  și  $N_j$ .

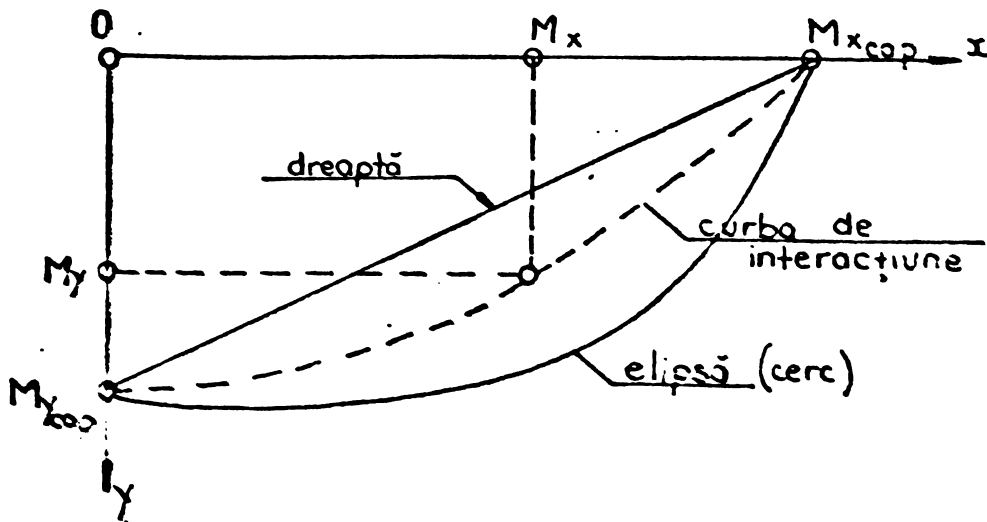


Fig.V.5. Curbe de interactiviune posibile.



5.2. Proiectarea și verificarea stîlpilor cu secțiune  
de tip T, Abace de calcul

În conformitate cu ediția de revizuire a STAS-ului 10107/0-76 (Proiectul de standard 10107/0-84), calculul la compresiune excentrică oblică, la starea limită de rezistență, se efectuează pe baza relației :

$$\left(\frac{M_x}{M_{x\text{cap}}}\right)^\beta + \left(\frac{M_y}{M_{y\text{cap}}}\right)^\beta = 1 \quad (\text{V.1})$$

în care :

-  $M_x$  și  $M_y$  sînt momentele încovoietoare de calcul, pe direcțiile  $x$  și  $y$ , rezultate din calculul static ;

-  $M_{x\text{cap}}$  și  $M_{y\text{cap}}$  sînt momentele încovoietoare capabile, pe cele două direcții  $x$ , respectiv  $y$ , corespunzătoare forței axiale  $N$  ;

$$\beta = 1,7(1-n) \quad \text{pentru} \quad n \leq 0,35 ;$$

$$\beta = 1 + 0,3 n \quad \text{pentru} \quad n > 0,35 ;$$

$$\text{în care } n = \frac{N}{A_b R_c}$$

Relația (V.1), rezolvă compresiunea excentrică oblică, prin descompunerea ei în două compresiuni excentrice drepte. Simplificarea aceasta, are în vedere faptul că, la ora actuală, pentru o secțiune dată și pentru o valoare cunoscută a efortului axial, nu se cunoaște suficient de exact, variația momentului capabil în funcție de înclinarea planului său de acțiune (fig.V.6).

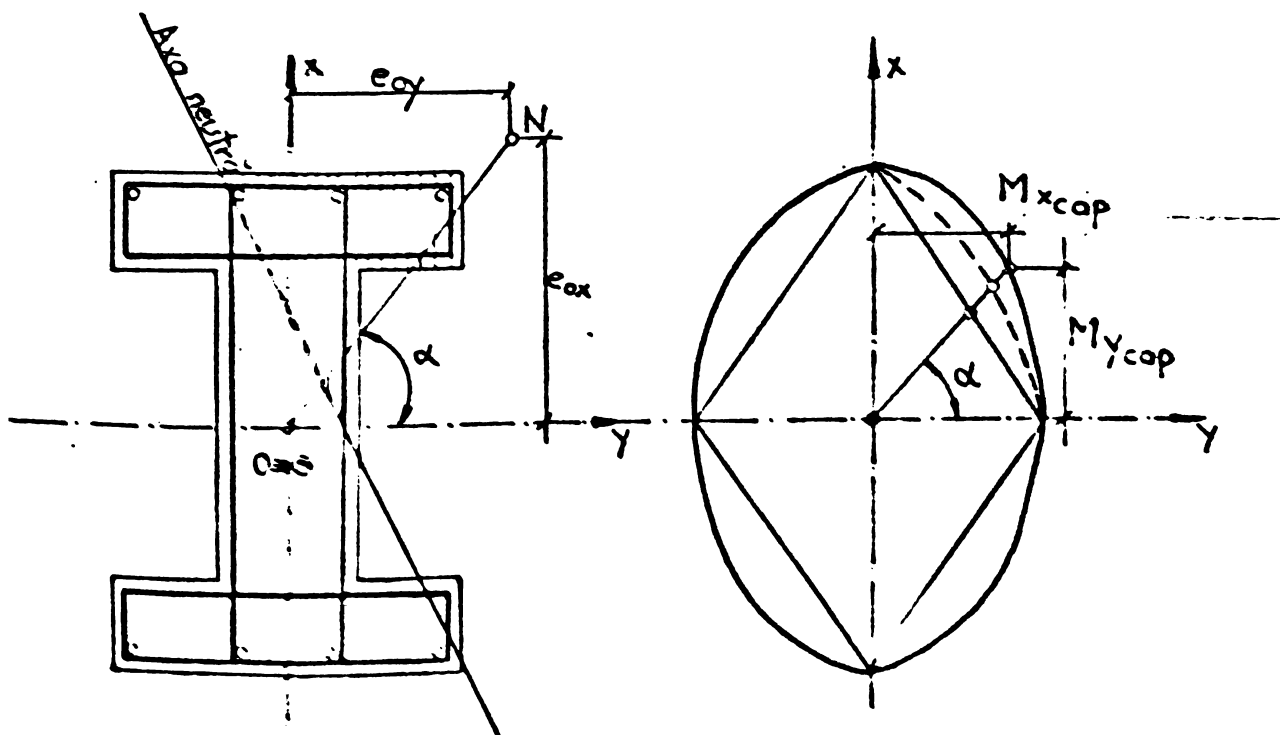


Fig.V.6.

Solicitările rezultate din calculul static sînt forța axială  $N$  și momentele încovoietoare după cele două axe de simetrie,  $M_x$ , respectiv  $M_y$ .

5.2.1. Abace de calcul în planul x

Se consideră secțiunea dublu T, supusă la compresiune excentrică dreaptă, în planul x.

Raportînd solicitările la centrul de greutate al secțiunii de beton, se obține forța  $N$  aplicată cu excentricitatea  $e_{ox} = M_x / N$ . La excentricitatea inițială ( $e_{ox}$ ), se adaugă o excentricitate adițională, care are cea mai mare din valorile : 2 cm, sau 1/30 din înălțimea secțiunii transversale.

Secțiunea din beton armat se va dimensiona sau verifica la cuplul de valori :

$$N = N_x \text{ și } e_{ocx} = e_{ox} + e_a = \frac{M_x}{N} + e_a \quad (7.2 \text{ și } V.3)$$

Conducerea calculului propriu-zis se face pe baza ipotezelor din Proiectul de standard 10107/0-84, prezentate în (22.a) și în (2.3.1).

Înălțimea  $x_x$  a zonei convenționale comprimate, care definește înălțimea diagramei dreptunghiulare a eforturilor unitare din beton (egale cu rezistența la compresiune  $R_c$ ), poate varia între limitele :

$$0 \leq x_x \leq h_x \quad (7.4),$$

funcție de perechea de eforturi  $N, M_x$  (raportată la centrul de greutate al secțiunii de beton), de cantitatea de armătură  $A'_{ax}$  și  $A_{ax}$  și de calitatea materialelor folosite ( $R_a, R_c$ ).

Pentru întregul domeniu al compresiunii excentrice, (cu excentricitate mare sau mică), se definesc cinci cazuri distincte, în funcție de valoarea lui  $x_x$ .

Cazul 1, caracterizat prin  $x_x < 1,5 a'_x$ ; se admite, în această situație, un calcul simplificat, în care se consideră că rezultanta tuturor compresiunilor (din betonul comprimat și din armăturile  $A'_{ax}$ ), acționează în centrul de greutate al armăturilor  $A'_{ax}$  (fig.V.7).

Din scrierea ecuației de momente în raport cu centrul de greutate al armăturilor  $A'_{ax}$  rezultă :

$$M_{x\text{cap}} = N_x \cdot e'_x = A_{ax} R_a (h_{ox} - e'_x) \quad (V.5)$$

Cazul 2, caracterizat prin  $1,5 a'_x \leq x_x \leq h_p$ .

Este frecvent întîlnit în practică, ca un caz de compresiune excentrică cu mare excentricitate. Atît în armătura  $A_{ax}$ , cît și în armătura  $A'_{ax}$ , eforturile unitare ating valoarea  $R_a$ .

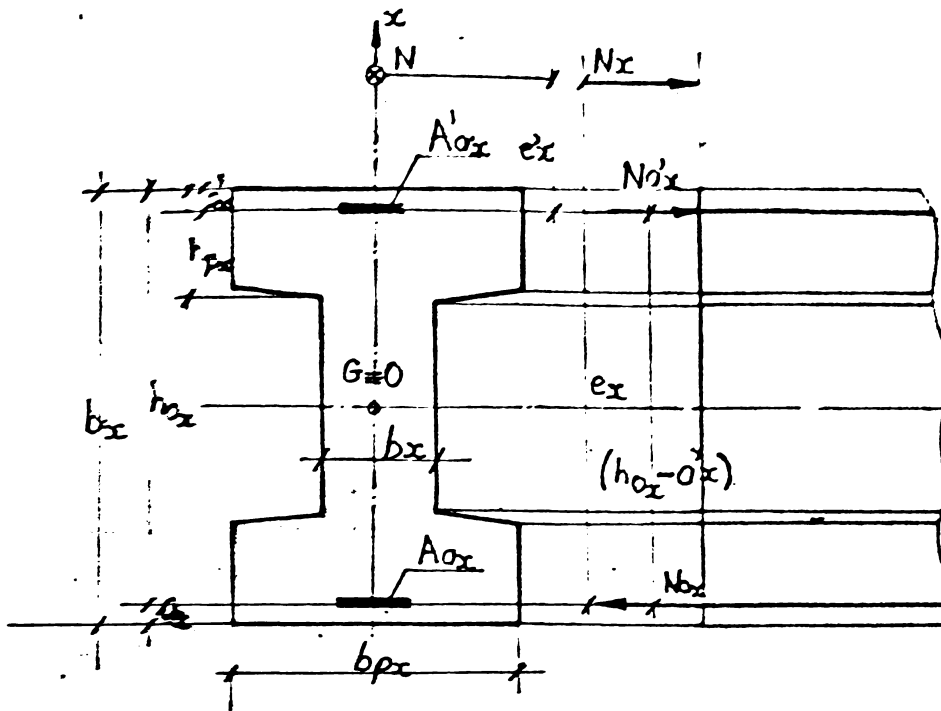


Fig.V.7.

Pentru simplitatea scrierii relațiilor de calcul, se admite excentricitatea adițională și influența flexibilității sînt nule  $=0$  și  $\eta_z=1,0$ .

Din scrierea ecuațiilor de echilibru, cea de momente, în raport cu centrul de greutate al secțiunii de beton, iar cea de proiecții după axa elementului, rezultă (fig.8) :

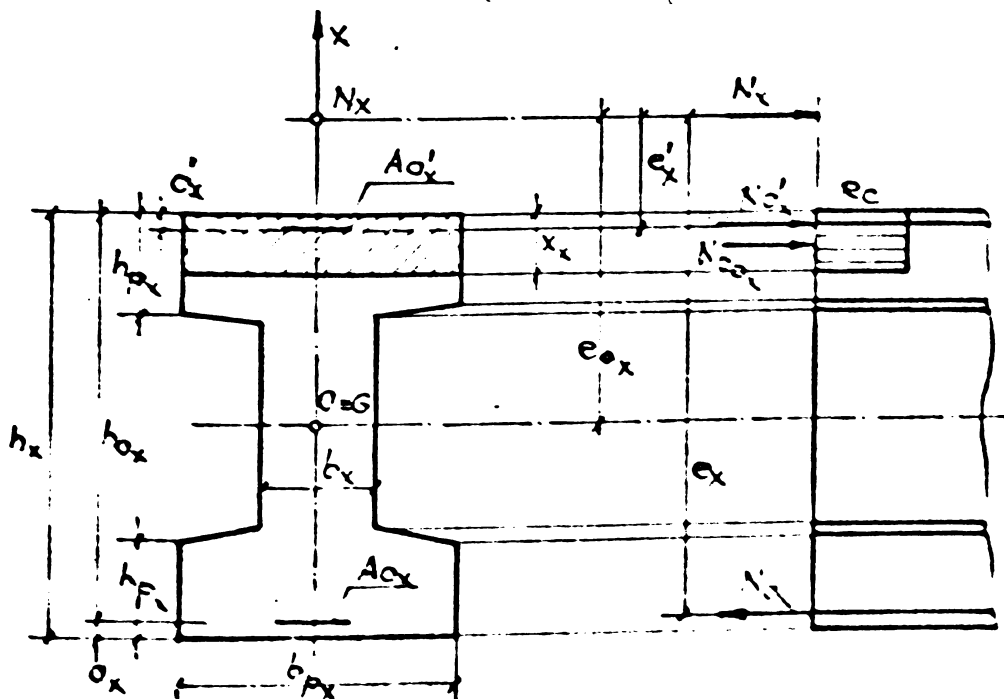


Fig.V.8.

$$N_x = N_{b_{p_x}} + N'_{a_x} - N_{a_x} \quad (V.6)$$

$$M_x = N_x \cdot e_{cc_x} = N_{b_{p_x}} (h_{o_x} - 0,5 x_x) + (N'_{a_x} + N_{a_x}) \left( \frac{h_x}{2} - a_x \right) \quad (V.7)$$

în care :

$$N_{b_{p_x}} = b_{p_x} \cdot x_x R_c \quad (V.8)$$

$$N'_{a_x} = A'_{a_x} R_a \quad (V.9)$$

$$N_{a_x} = A_{a_x} R_a \quad (V.10)$$

Pentru a folosi valorile reduse ale eforturilor  $N_x$  și  $M_x$ , se introduc următoarele notații, în care mărimile reduse se raportează la înălțimea totală a secțiunii  $h_x$  (în cap. III, raportarea s-a făcut la înălțimea utilă  $h_{o_x}$  a secțiunii) :

$$\xi_x = \frac{x_x}{h_x} \quad (V.11) ; \quad \delta_x = \frac{a_x}{h_x} = \delta'_x = \frac{a'_x}{h_x} \quad (V.12)$$

$$\tau = \frac{b_{p_x}}{b_x} \quad (V.13), \quad \epsilon_x = \frac{h_{p_x}}{h_x} \quad (V.14)$$

$$\alpha_x = \frac{A_{a_x} R_a}{b_x h_x R_c} \quad (V.15) ; \quad \alpha'_x = \frac{A'_{a_x} R_a}{b_x h_x R_c} \quad (V.16)$$

$$\beta_x = \frac{A'_{a_x}}{A_{a_x}} \quad (V.17) ; \quad \alpha_{tx} = \alpha_x + \alpha'_x = \alpha_x (1 + \beta_x) = \frac{(A_{a_x} + \beta_x A'_{a_x}) R_a}{b_x h_x R_c} \quad (V.18)$$

$$n_x = \frac{N_x}{b_x h_x R_c} \quad (V.19) ; \quad m_x = \frac{M_x}{b_x h_x^2 R_c} \quad (V.20)$$

Introducînd relațiile (V.8) la (V.10) în (V.6) și (V.7) și împărțind (V.6) cu  $b_x h_x R_c$ , iar pe (V.7) cu  $b_x h_x^2 R_c$  și utilizînd notațiile (V.11) la (V.20), relațiile (V.6) și (V.7) devin sistemul :

$$\begin{cases} n_x = \tau \xi_x + \frac{\alpha_{tx} (\beta_x - 1)}{(1 + \beta_x)} & (V.6.a) \\ m_x = 0,5 \tau \xi_x (1 - \xi_x) + (0,5 - \delta_x) \alpha_{tx} & (V.7.a) \end{cases}$$

Înlocuind pe  $\xi_x$  din (V.7.a) cu valoarea sa din (V.6.a) se obține ecuația curbei de interacțiune  $f(n_x, m_x) = 0$ , a eforturilor reduse  $n_x$  și  $m_x$  :

$$m_x = \frac{n_x}{2} \left( 1 - \frac{n_x}{\tau} \right) + \frac{\alpha_{tx} \left[ (2n_x - \tau) (\xi_x - 1) + (1 - 2\delta_x) (2 - \xi_x) \right]}{2(1 + \beta_x)} - \frac{\alpha_{tx}^2 (\beta_x - 1)^2}{2(1 + \beta_x)^2} \quad (V.21)$$

Pentru valori constante  $\beta_x$  și  $\delta_x$  și pentru o anumită valoare  $\alpha_{t1}$ , funcției  $f(m_x, n_x) = 0$  i se poate atașa, într-un sistem de coordonate  $m_x - n_x$ , o curbă  $C_1$ , numită curbă de interacțiune sau încovoiator-forță normală sau prescurtată curbă de interacțiune. Ea este valabilă însă numai pentru  $15a_x \leq x_x \leq h_x$  sau în valori reduse  $1, \delta_x \leq \xi_x \leq \epsilon_x$ . Continuitatea curbei de interacțiune este asigurată de cazurile care urmează.

Pentru o altă valoare dată  $\alpha_{t1}$  ( $i=0, 1, 2, \dots$ ), corespunde unei curbe de interacțiune  $C_i$ ; familia de curbe  $C_i$ , constituie o diagramă de interacțiune, care reprezintă în final un abac de calcul.

Cazul 2, caracterizat prin  $h_{px} \leq x_x \leq x_{x\text{lim}}$  sau în valori reduse  $\epsilon_x \leq \xi_x \leq \xi_x(1 - \delta_x)$ , (fig.V.9).

Cum  $\xi_{x\text{lim}} = \frac{x_{x\text{lim}}}{h_{ox}}$  și deci  $x_{x\text{lim}} = \xi_{x\text{lim}} h_{ox}$ , putem scrie  $\xi_{x\text{lim}} = \xi_{x\text{lim}} (1 - a_x)$ . Impărțind cu  $h_x$ , pentru a ne raporta la conforma notațiilor propuse în acest capitol, rezultă

$\xi_{x\text{lim}} = \xi_{x\text{lim}} (1 - \delta_x)$ , în care  $\xi_{x\text{lim}}$  sînt valorile date în Proiectul standard 107/0-84 (și date în tabelul II.1 din prezenta lucrare) raportate la  $h_{ox}$ .

În aceste condiții, poziția axei neutre, la limita dintre mare și mică excentricitate,  $x_{x\text{lim}}$ , va fi aceeași, fie că  $x_{x\text{lim}} = \xi_{x\text{lim}} h_{ox}$ , fie că  $x_{x\text{lim}} = \xi_{x\text{lim}} (1 - \delta_x) h_x$ . În ambele relații,  $\xi_{x\text{lim}}$  reprezintă valorile date în norme, prin raportarea la  $h_{ox}$  ( $\xi_{x\text{lim}} = \frac{x_{x\text{lim}}}{h_{ox}}$ ).

$\xi_{x\text{lim}} = 0,50; 0,55; 0,60$ .

Si acest caz este frecvent întîlnit în practică ca un caz de compresiune excentrică cu mare excentricitate. În armătura  $A_x$  în armătura  $A'_x$  eforturile unitare ating valoarea  $R_a$ .

Din ecuația de proiecții după axa elementului rezultă:

$$N_x = N_{bpx} + N_{bin_x} + N'_{ax} - N_{ax} \quad (V.22)$$

dar din ecuația de momente în raport cu centrul de greutate al secțiunii de beton rezultă:

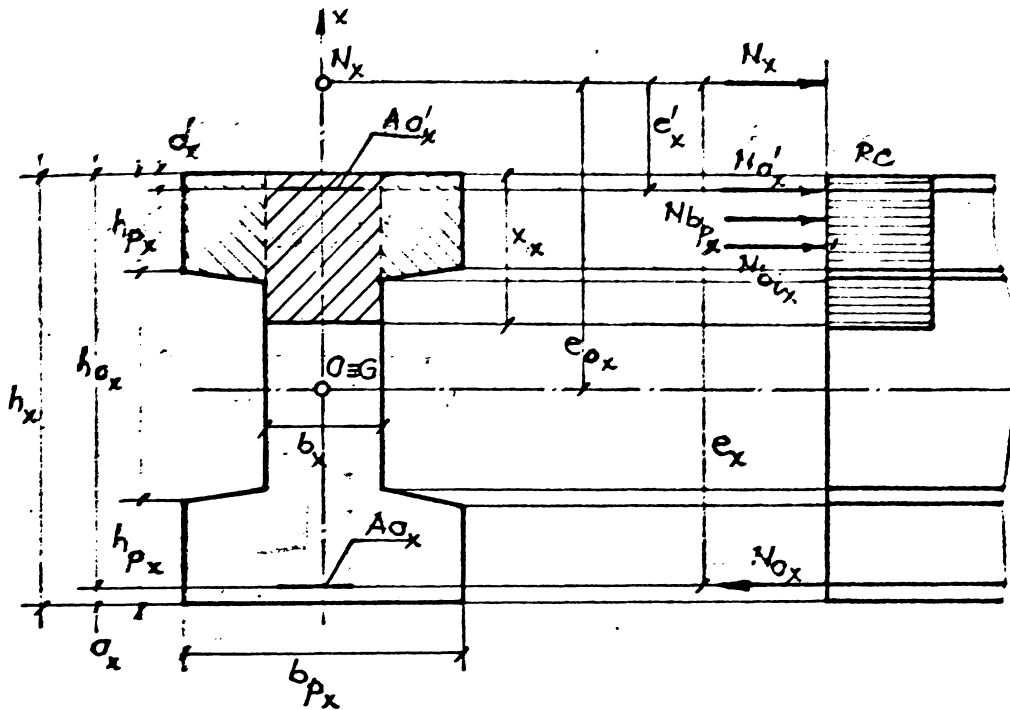


Fig.V.9.

$$N_x \cdot e_{oc_x} = Y_{p_x} \cdot 0,5(h_x - h_{p_x}) + N_{b_{in_x}} \cdot 0,5(h_x - x_x) + (N'_{a_x} + N_{a_x})(0,5 h_x - a'_x) \quad (V.23)$$

în care :

$$Y_{p_x} = b_{p_x} \cdot h_{p_x} \cdot R_c \quad (V.24)$$

$$N_{b_{in_x}} = b_x x_x R_c \quad (V.25)$$

$$N'_{a_x} = A'_{a_x} R_a \quad (V.9)$$

$$N_{a_x} = A_{a_x} R_a \quad (V.10)$$

Cu aceste relații, după împărțirea relației (V.22) cu  $b_x h_x R_c$  și a relației (V.23) cu  $b_x h_x^2 R_c$  și utilizând notațiile (V.11) la (V.20) relațiile (V.22) și (V.23) devin sistemul :

$$\begin{cases} n_x = \xi_x + (\gamma - 1) \varepsilon_x + \alpha_{t_x} \frac{(\beta_x - 1)}{(1 + \beta_x)} & (V.22.a) \end{cases}$$

$$\begin{cases} m_x = (\gamma - 1) \varepsilon_x \cdot 0,5(1 - \xi_x) + 0,5 \xi_x (1 - \xi_x) + (\alpha_x + \alpha'_x) (0,5 - d'_x) & (V.23.a) \end{cases}$$

Eliminând pe  $\xi_x$  între relațiile (V.22.a) și (V.23.a) se obține ecuația curbei de interacțiune  $f(m_x, n_x) = 0$ , a eforturilor reduse  $m_x$  și  $n_x$  :

$$m_x = 0,5 n_x (1 - n_x) + \alpha_{t_x} (0,5 - d'_x) + \varepsilon_x (\gamma - 1) (n_x - 0,5 \xi_x \gamma) - \alpha_{t_x} \frac{(\beta_x - 1)}{(1 + \beta_x)} \left[ 1 - 2n_x + 2\gamma \xi_x - 2\varepsilon_x + \frac{\alpha_{t_x} (\beta_x - 1)}{(1 + \beta_x)} \right] \quad (V.26)$$

Pentru plaja de valori, care acoperă domeniul practic, dată parametrilor, se obține o familie de curbe de interacțiune, care reprezintă un abac de calcul, pe domeniul  $\epsilon_x \leq \xi_x \leq \xi_{x,lim}$  ( $1-\delta_x$ )

Cazul 4, caracterizat prin  $\tau_x \leq \tau_x \leq \tau_{x,lim}$ , sau în valori reduse  $\frac{\xi_x}{\xi_{x,lim}} (1-\delta_x) \leq \xi_x \leq 1-\epsilon_x$  (fig. 7.10).

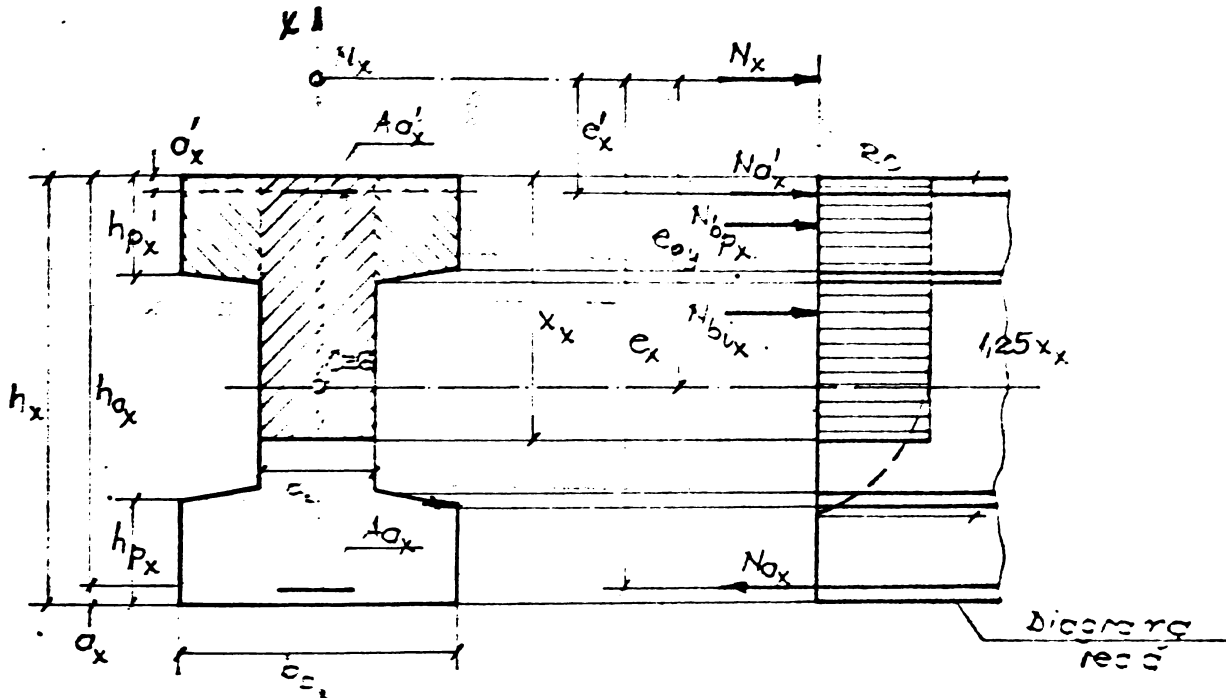


Fig. 7.10.

Acest caz este frecvent întâlnit în practică, ca un caz de compresiune excentrică cu mică excentricitate.

Sfortul unitar în armătura  $A_{ox}$ , mai depărtată de forța excentrică, se determină conform relației :

$$\sigma_{ax} = k_x R_a \quad (V.27)$$

în care valoarea lui  $k_x$  se determină, conform Proiectului de standard 10107/0-K4, cu relația :

$$k_x = \frac{\xi_{x,lim} (1 - 1,25 \frac{\xi_x}{\xi_{x,lim}})}{\xi_x (1 - 1,25 \frac{\xi_x}{\xi_{x,lim}})} \quad (V.28)$$

dacă  $\frac{\xi_x}{\xi_{x,lim}} < 0,8$

Dacă  $\frac{\xi_x}{\xi_{x,lim}} > 0,8$ , valoarea lui  $k_x$  se determină cu relația

$$k_x = \left[ 5 \frac{\xi_x}{\xi_{x,lim}} - 4 \right] \quad (V.29)$$

În relația (V.28)  $\xi_x = x_x / h_{ox}$  și  $\xi_{x,lim} = x_{x,lim} / h_{ox}$

În acest capitol al lucrării s-a făcut notarea  $\xi_x = x_x / h_x$  (notația V.12), deci axa neutră relativă se referă la înălțimea totală  $h_x$ , nu la înălțimea utilă  $h_{o_x}$ , cum se raportează în relația (V.28).

Aceasta înseamnă că valoarea lui  $K_x$  din relația (V.28) va trebui exprimată prin raportarea la  $h_x$ , nu la  $h_{o_x}$ , pentru a se păstra raportarea unitară și pentru  $K_x$ , ca pentru toate relațiile date în acest capitol.

Pentru a exprima pe  $k_x$ , prin raportarea la  $h_x$ , înlocuim în relația (V.28) pe  $\xi_{x_{lim}} = x_{x_{lim}} / h_{o_x}$  și  $\xi_x = x_x / h_{o_x}$  și obținem :

$$k_x = \frac{\frac{x_{x_{lim}}}{h_{o_x}} (1 - 1,25 \frac{x_x}{h_{o_x}})}{\frac{x_x}{h_{o_x}} (1 - 1,25 \frac{x_{x_{lim}}}{h_{o_x}})} = \frac{\frac{x_{x_{lim}}}{h_{o_x}} (\frac{h_{o_x}}{h_{o_x}} - 1,25 \frac{x_x}{h_{o_x}})}{\frac{x_x}{h_{o_x}} (\frac{h_{o_x}}{h_{o_x}} - 1,25 \frac{x_{x_{lim}}}{h_{o_x}})} = \frac{x_{x_{lim}} (h_x - a_x) - 1,25 x_x}{x_x (h_x - a_x) - 1,25 x_{x_{lim}}} \quad (V.28.a)$$

Împărțind pe (V.28.a) cu  $h_x$ , obținem relația lui  $K_x$  raportată la  $h_x$  :

$$k_x = \frac{\xi_{x_{lim}} [(1 - \xi_x) - 1,25 \xi_x]}{\xi_x [(1 - \xi_x) - 1,25 \xi_{x_{lim}}]} \quad (V.28.b)$$

Cum în Proiectul de standard 10107/C-84, valorile lui  $\xi_{x_{lim}}$  sînt date prin raportare la  $h_{o_x}$  și cum valori ale lui  $\xi_x$ , raportate la  $h_x$  nu cunoaștem (nefiind date în norme), trebuie să utilizăm valorile date în Proiectul de standard (cele date în lucrare în tabelul II.1). Înseamnă că în această situație, va trebui făcută corectarea lui  $\xi_x$ , care în relația (V.28.b) se raportează la  $h_x$ , cu folosirea valorilor lui  $\xi_{x_{lim}}$  raportat la  $h_{o_x}$  :

$$\xi_{x_{lim}} = \frac{x_{x_{lim}}}{h_{o_x}} ; x_{x_{lim}} = \xi_{x_{lim}} h_{o_x} = \xi_{x_{lim}} (h_x - a_x)$$

$$\frac{x_{x_{lim}}}{x_x} = \xi_{x_{lim}} (1 - \xi_x), \text{ în care } \xi_{x_{lim}} = \frac{x_{x_{lim}}}{h_{o_x}} \text{ și are valorile date}$$

în tabelul II.1.

Relația lui  $k_x$  devine :



$$k_x = \frac{\xi_{x,lim} (1-\sigma_x) [(1-\sigma_x)-1,25\xi_x]}{\xi_x [(1-\sigma_x)-1,25\xi_{x,lim} (1-\sigma_x)]} \quad (V.28.c)$$

din factor pe  $(1-\sigma_x)$  la numitor și simplificînd rezultă

$$k_x = \frac{\xi_{x,lim} [(1-\sigma_x)-1,25\xi_x]}{\xi_x (1-1,25\xi_{x,lim})} \quad (V.28.d)$$

care  $\xi_{x,lim} = x_{x,lim} / h_{0x}$  (și reprezintă valorile date în norme - tabelul II.1), iar  $\xi_x = x_x / h_x$ , pentru păstrarea notării consecutive.

Relația (V.28.d) este valabilă pe domeniul

$$\xi_{x,lim} (1-\sigma_x) \leq \xi_x \leq 0,8(1-\sigma_x)$$

Dacă  $\xi_x > 0,8(1-\sigma_x)$ , valoarea lui  $k_x$  va fi determinată relația :

$$k_x = - \left[ \frac{5\xi_x}{(1-\sigma_x)} - 4 \right] \quad (V.29.a)$$

care  $\xi_x = x_x / h_x$ .

Pentru o valoare a lui  $x_x$ , se obține aceeași valoare pentru  $k_x$ , fie că se lucrează cu relația (V.28) sau (V.29), în care  $x_x = x_x / h_{0x}$ , fie că se lucrează cu relația (V.28d) sau (V.29.a),

care  $\xi_x = x_x / h_x$ .

Efortul unitar în armătura  $A'_x$  este de compresiune și are valoarea  $R'_g$ .

Cu aceste sublinieri, ecuația de proiecții după axa arăturii  $A_{ax}$  are formă :

$$N_x = N_{b_{p_x}} + N_{b_{in_x}} + N'_{a_x} - N_{a_x} \quad (V.30)$$

Pr ecuația de momente în raport cu centrul de greutate al secțiunii de beton, se scrie :

$$N_x \cdot e_{oc_x} = N_{b_{p_x}} \cdot 0,5(h_x - h_{p_x}) + N_{b_{in_x}} \cdot 0,5(h_x - x_x) + (N'_{a_x} + N_{a_x}) \cdot (0,5h_x - a_x) \quad (V.31)$$

În ecuațiile (V.30) și (V.31) :

$$N_{b_{p_x}} = (b_{p_x} - b_x) h_{p_x} R_o \quad (V.32)$$

$$N_{b_{in_x}} = b_x x_x R_o \quad (V.35)$$

$$N'_{a_x} = A'_x k'_x R'_a \quad (V.9)$$

$$N_{a_x} = A_x k_x R_a \quad (V.33)$$

care  $k'_x = 1$ , conform ipotezelor acceptate, iar  $k_x$  se calculează

conform relației (V.28.d) sau (V.29.a).

Să aceste explicitări, cu folosirea notațiilor (V.11) la (V.20) ecuațiile (V.30) și (V.31) devin sistemul :

$$\begin{cases} n_x = \xi_x + (\gamma-1) \epsilon_x + \frac{\alpha_{t_x} (\beta_x - k_x)}{(1+\beta_x)} & (V.30.a) \end{cases}$$

$$\begin{cases} m_x = (\gamma-1) \epsilon_x \cdot 0,5(1-\epsilon_x) + 0,5 \xi_x (1-\frac{\xi_x}{\beta_x}) + (0,5-\tilde{\sigma}_x) (\gamma \frac{\xi_x}{\beta_x} - \frac{\alpha_{t_x}}{\beta_x}) & (V.31.a) \end{cases}$$

Eliminând pe  $\xi_x$  între relațiile (V.30.a) și (V.31.a) se obține ecuația curbei de interacțiune  $f(m_x, n_x) = 0$ , a eforturilor reduse  $m_x$  și  $n_x$  :

$$\begin{aligned} m_x = & 0,5 n_x (1-n_x) + 0,5 \epsilon_x (\gamma-1) (2n_x - \gamma \epsilon_x) + (0,5-\tilde{\sigma}_x) \frac{\alpha_{t_x} (k_x + \xi_x)}{(1+\beta_x)} - \\ & - \frac{\alpha_{t_x} (k_x - \beta_x)}{2(1-\tilde{\sigma}_x)} \left[ \frac{\alpha_{t_x} (k_x - \beta_x)}{(1+\beta_x)} + 2n_x - 2\gamma \epsilon_x + 2\epsilon_x - 1 \right] & (V.34) \end{aligned}$$

Familia curbelor de interacțiune obținute, cu valorile date parametrilor sînt valabile numai pentru valorile lui  $\xi_{x, \min} (1-\tilde{\sigma}_x) \leq \xi_x \leq (1-\epsilon_x)$ .

Cazul 5, caracterizat prin  $(h_x - h_{p_x}) \leq x_x \leq h_x$ , sau în valori reduse :  $(1-\epsilon_x) \leq \xi_x \leq 1$  (fig.V.11)

Cazul este caracteristic compresiunii excentrice cu foarte mică excentricitate.

În armătura  $A_{ax}$ , mai depărtată de forța excentrică, efortul unitar este  $\tilde{\sigma}_{ax} = k_x R_a$ , în care  $k_x$  se determină cu relația (V.28.d)

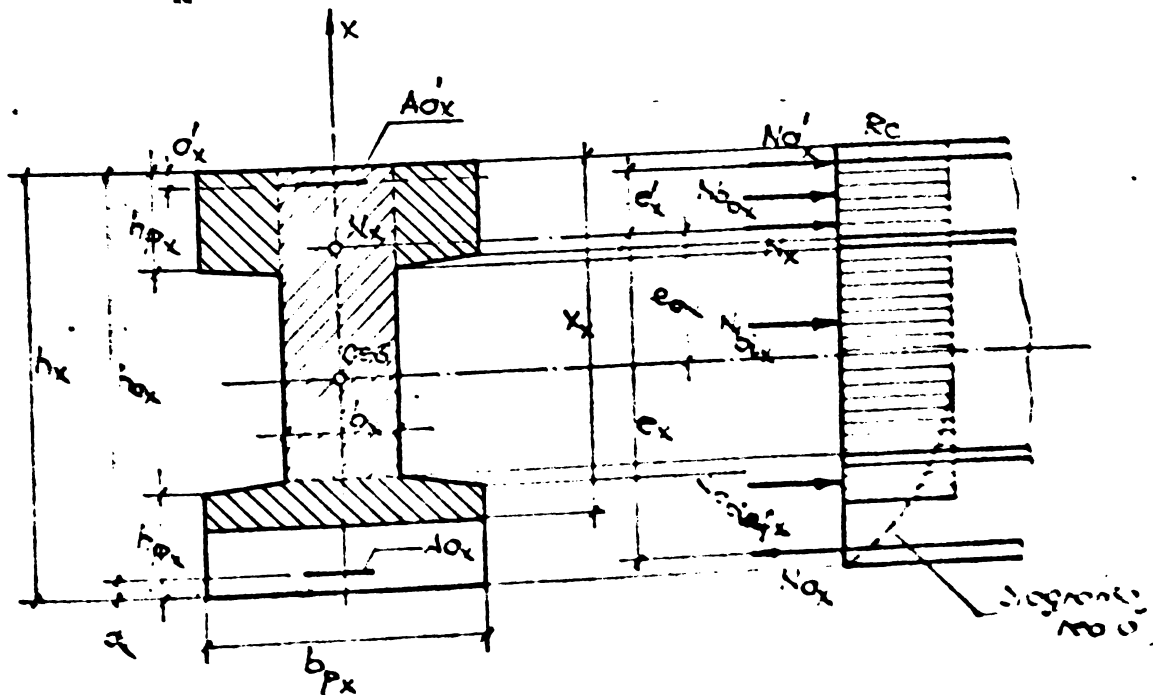


Fig.V.11.

sau cu relația (7.29.a), în funcție de valoarea lui  $\xi_x$ .

În armătura A', efortul unitar este de compresiune și are valoarea  $R_a$ .

Ecuatia de proiecții, după axa armăturii A<sub>a</sub> are forma :

$$N_x = N_{bp_x} + N_{b_{in_x}} + N_{b_{inf_x}} + N'_{a_x} - N_{a_x} \quad (V.35),$$

iar ecuația de momente în raport cu centrul de greutate al secțiunii de beton este următoarea :

$$M_x = N_x \cdot e_{oc_x} = N_{bp_x} \cdot 0,5(h_x - h_{p_x}) + N_{b_{in_x}} \cdot 0,5h_{p_x} - N_{b_{inf_x}} \cdot 0,5(x_x - h_{p_x}) + (N'_{a_x} - N_{a_x}) \cdot (0,5h_x - a_x) \quad (V.36)$$

în care :

$$N_{bp_x} = (b_{p_x} - b_x) h_{p_x} R_c \quad (V.32)$$

$$N_{b_{in_x}} = b_x (h_x - h_{p_x}) R_c \quad (V.37)$$

$$N_{b_{inf_x}} = b_{p_x} (x_x + h_{p_x} - h_x) R_c \quad (V.38)$$

$$N'_{a_x} = A'_{a_x} k'_x R_a \quad (V.9)$$

$$N_{a_x} = A_{a_x} k_x R_a \quad (V.33)$$

în care  $k'_x = 1$ , conform ipotezelor acceptate, iar  $k_x$  se calculează cu relația (V.28.d) sau (V.29.a).

Explicând rezultantele și utilizând notațiile (7.11) la (V.20), ecuațiile (V.35) și (V.36) devin sistemul :

$$\left\{ \begin{aligned} n_x &= \gamma \frac{\xi_x}{\beta_x} + (\gamma - 1)(2\varepsilon_x - 1) + \alpha \frac{(\beta_x - k_x)}{t_x(1 + \beta_x)} \end{aligned} \right. \quad (V.35.a)$$

$$\left\{ \begin{aligned} m_x &= (\gamma - 1)\varepsilon_x \cdot 0,5(1 - \varepsilon_x) + (1 - \varepsilon_x) \cdot 0,5\varepsilon_x - \gamma(\varepsilon_x + \frac{\xi_x}{\beta_x} - 1) \cdot 0,5(\frac{\xi_x}{\beta_x} - \varepsilon_x) + \\ &+ (0,5 - d'_x)(\alpha'_x + k_x \alpha_x) \end{aligned} \right. \quad (V.36.a)$$

Eliminând pe  $\xi_x$  între relațiile (V.35.a) și (V.36.a) obținem ecuația curbei de interacțiune  $f(m_x, n_x) = 0$ , a eforturilor reduse  $m_x$  și  $n_x$  :

$$m_x = \frac{n_x}{\gamma} (\gamma - n_x) + \frac{\alpha_t (\beta_x + k_x)}{(1 + \beta_x)} (0,5 - d'_x) + \frac{1}{\gamma} (\gamma - 1)(1 - 2\varepsilon_x) \left[ \gamma - (\gamma - 1)(1 - 2\varepsilon_x) - 2n_x \right] + \frac{\alpha'_t (\beta_x - k_x)}{\gamma(1 + \beta_x)} \left[ - \frac{\alpha_t (\beta_x - k_x)}{(1 + \beta_x)} + 2(\gamma - 1)(1 - 2\varepsilon_x) + 2n_x \right] \quad (V.39)$$

Familia curbelor de interacțiune obținute, cu valorile date parametrilor, sînt valabile numai pentru valorile lui  $(1 - \epsilon_x) \leq \frac{\sigma}{\sigma_x} \leq 1$ .

Rezolvînd ecuațiile curbelor de interacțiune (V.21); (V.26); (V.34) și (V.39) la mașina electronică de calcul, pentru următoarea plajă a valorilor parametrilor :

$$\begin{aligned} \sigma_x &= \sigma'_x = 0,05 ; 0,08 ; 0,11, \\ \eta &= 2,00 ; 2,25 ; 2,50 ; 2,75 ; 3,00 ; 3,50, \\ \epsilon_x &= 0,10 ; 0,15 ; 0,20 ; 0,25 ; 0,30, \\ \alpha_t &= 0,00 ; 0,20 ; 0,40 ; 0,60 ; 0,80 ; 1,00 ; 1,20. \\ \beta_x &= 1,00, \\ \frac{\sigma}{\sigma_x} &= 0,55. \end{aligned}$$

se obțin abace de calcul al momentului capabil în planul x. Pe baza distingurilor, rezultate în urma rulărilor la calculator, s-a întocmit, spre exemplificare, abacul din fig.V.12.

Se subliniează că, succesiunea cazurilor acoperă solicitarea de compresiune excentrică, de la încovoiere ( $\alpha_x=0$ ), pînă la compresiune centrică ( $\alpha_x=1$ ).

Rezolvarea în maniera prezentată, pune la îndemîna proiectanților, stabilirea cu ușurință și rapiditate a momentului capabil  $M_{x, \text{cap}}$  al unei secțiuni în formă de dublu T, din beton armat.

### 5.2.2. Abace de calcul în planul y

Se consideră secțiunea dublu T, solicitată acum în planul y, la compresiune excentrică.

Raportînd solicitările la centrul de greutate al secțiunii de beton, se obține forța N, aplicată cu excentricitatea  $e_o = M_y/N$ . La excentricitatea aceasta inițială ( $e_o$ ), se adaugă o excentricitate adițională, care are cea mai mare din valorile : 2 cm, sau 1/30 din înălțimea secțiunii transversale.

Secțiunea din beton armat se va dimensiona sau verifica, la cuplul de valori :

$$N = N_y \text{ și } e_{oc_y} + e_a = \frac{M_y}{N} + e_a \quad (\text{V.40 și V.41})$$

Înălțimea  $x_y$ , a zonei convenționale comprimate, care definește înălțimea diagramei dreptunghiulare a eforturilor unitare din beton (egale cu rezistența de calcul la compresiune  $R_o$ ), poate varia între limitele

$$0 \leq x_y \leq h_y \quad (\text{V.42})$$

funcție de perechea de eforturi N și  $M_y$ , (raportate la centrul de greu-

$$n_x = \frac{N}{b \cdot x \cdot R_c}$$

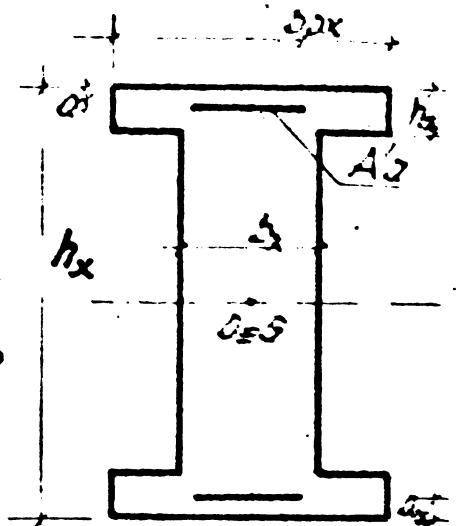
$$\delta^0 = \frac{b \cdot x}{D_x} = 2$$

$$\epsilon = \frac{h \cdot x}{h_x} = 0.1$$

$$\delta = \frac{a \cdot x}{h_x} = 0.05$$

$$\beta = \frac{A \cdot x}{A_0} = 1.0$$

$$\xi = \frac{x}{h}$$



$$\alpha_x = \frac{A \cdot x \cdot R_c}{D_x \cdot x \cdot R_c} \quad A_0$$

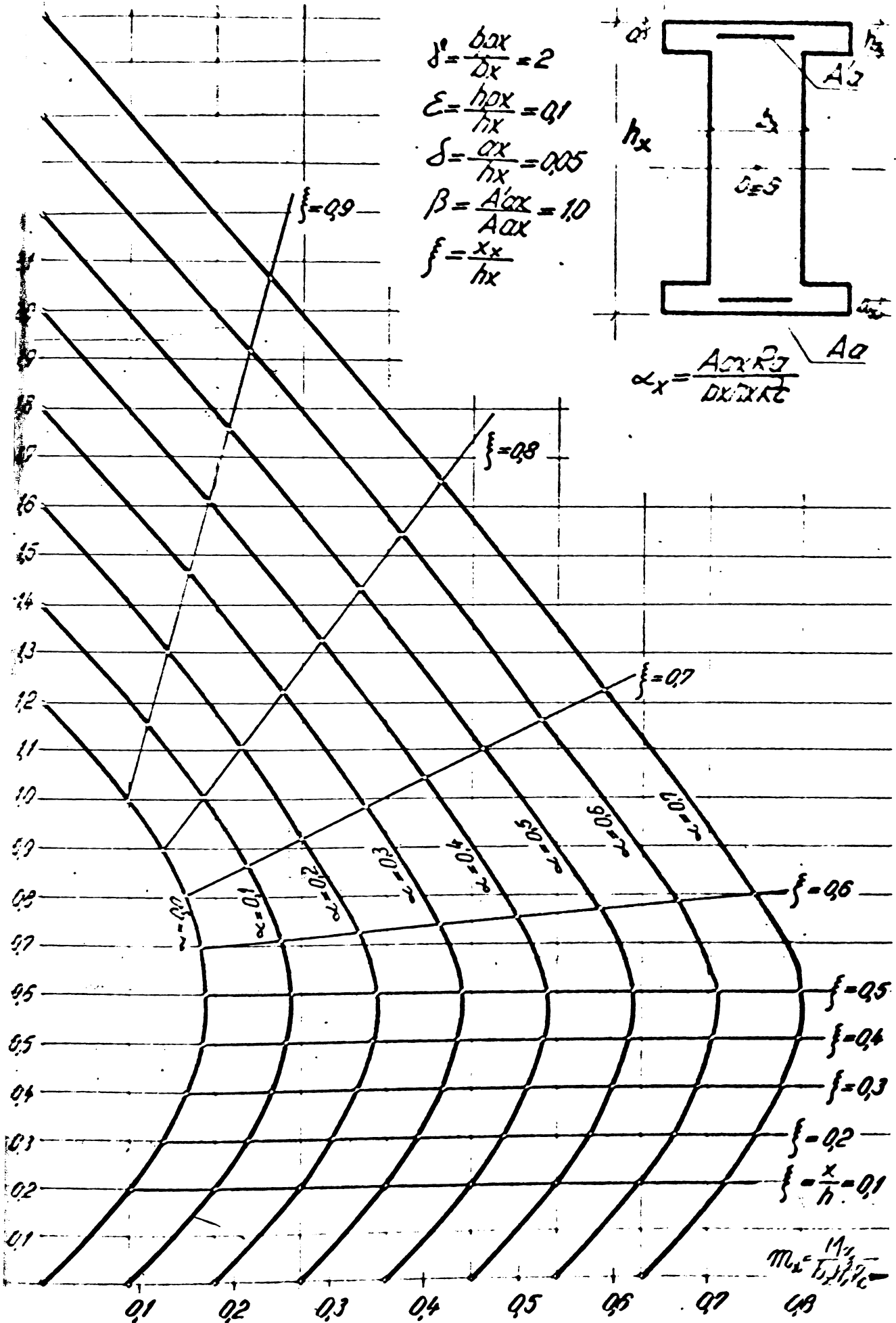


Fig. 1.12.

tate al secțiunii de beton), de cantitatea de armătură  $A_{ay}$  și  $A'_{ay}$  și de calitatea materialelor folosite ( $R_a, R_c$ ).

Pentru întregul domeniu al compresiunii excentrice (cu excentricitate mare și mică), se definesc cinci cazuri distincte, în funcție de valoarea lui  $x_y$ .

Cazul 1, caracterizat prin  $x_y < 1,5 a'_y$ ; se admite în această situație, un calcul simplificat, în care se consideră că rezultanta tuturor compresiunilor (din betonul comprimat și din armăturile  $A'_{ay}$ ) (fig.V.13), acționează în centrul de greutate al armăturilor  $A'_{ay}$ .

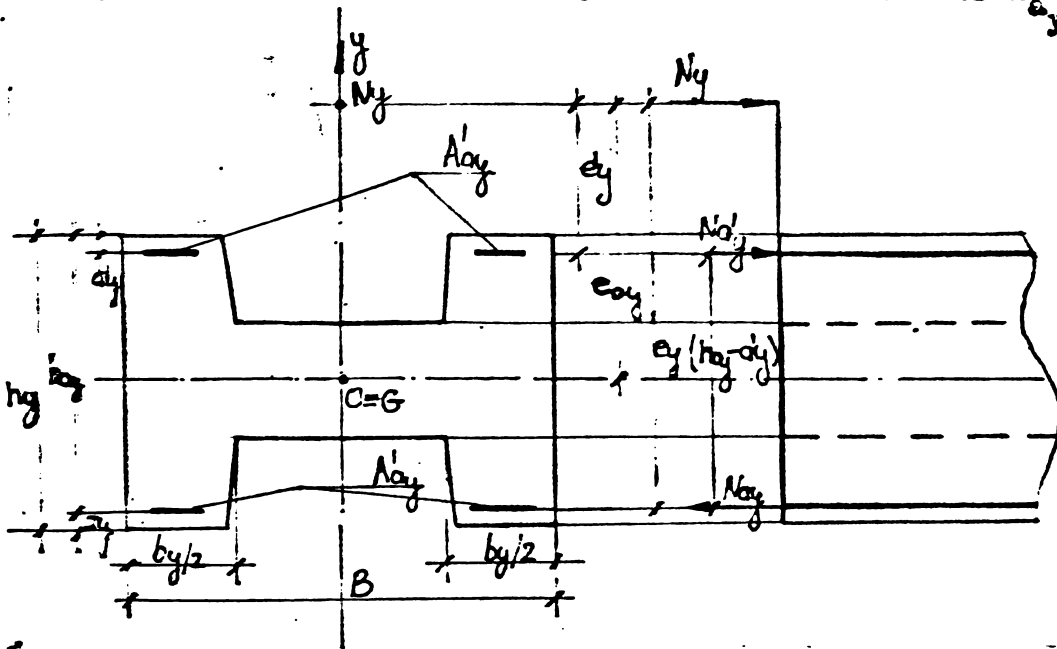


Fig.V.13.

Relația de calcul :

$$M_y = N_y \cdot e'_y = A_{ay} R_a (h_{oy} - a'_y) \quad (V.43)$$

Cazul 2, caracterizat prin  $1,5 a'_y \leq x_y \leq 0,5(h_y - h'_y)$ . Este un caz frecvent întâlnit în practică, ca un caz de compresiune excentrică cu mare excentricitate. Conforma ipotezelor de calcul admise atât în armătura  $A'_{ay}$ , cât și în armătura  $A_{ay}$ , eforturile unitare au valoarea  $R_a$ .

Pentru simplitatea scrierii relațiilor de calcul, se admite ca excentricitatea adițională și influența flexibilității sînt nule ( $e_a = 0$  și  $\eta_y = 1,0$ ).

Pentru rezolvarea cazului se dispune de o ecuație de proiecție și de una de momente.

Starea de eforturi pe înălțimea secțiunii transversale este prezentată în fig.V.14.



$$\alpha_y = \frac{A_{a_y} R_a}{b_y h_y^2 R_c} \quad (V.53) \quad ; \quad \alpha'_y = \frac{A'_{a_y} R_a}{b_y h_y^2 R_c} \quad (V.54) ;$$

$$\beta_y = \frac{A'_{a_y}}{A_{a_y}} \quad (V.55) \quad ; \quad \alpha_{t_y} = \alpha_y + \alpha'_y = \alpha_y (1 + \beta_y) = \frac{(A_{a_y} + A'_{a_y}) R_a}{b_y h_y^2 R_c} \quad (V.56)$$

$$n_y = \frac{N_y}{b_y h_y^2 R_c} \quad (V.57) \quad ; \quad m_y = \frac{M_y}{b_y h_y^2 R_c} \quad (V.58)$$

Explicînd ecuațiile (V.44) și (V.45) cu relațiile (V.46) la (V.48) și împărțind ecuația de proiecții cu  $b_y h_y^2 R_c$ , iar cea de momente cu  $b_y h_y^2 R_c$ , cu notațiile (V.49) la (V.58), ecuațiile (V.44) și (V.45) devin sistemul :

$$\begin{cases} n_y = \frac{\xi_y}{\beta_y} + \frac{\alpha_{t_y} (\beta_y - 1)}{(1 + \beta_y)} \end{cases} \quad (V.44.a)$$

$$\begin{cases} m_y = 0,5 \frac{\xi_y}{\beta_y} (1 - \frac{\xi_y}{\beta_y}) + \alpha_{t_y} (0,5 - \frac{\xi_y}{\beta_y}) \end{cases} \quad (V.45.a)$$

Eliminînd pe  $\xi_y$  între ecuațiile (V.44.a) și (V.45.a) se obține ecuația curbei de interacțiune  $f(m_y, n_y) = 0$ , a eforturilor reduse,  $m_y$  și  $n_y$  :

$$m_y = 0,5 n_y (1 - n_y) + \frac{\alpha_{t_y} [(2n_y - 1)(\beta_y - 1) + (1 - 2\tilde{c}_y)(1 + \beta_y)]}{2(1 + \beta_y)} - \frac{\alpha_{t_y}^2 (\beta_y - 1)^2}{2(1 + \beta_y)^2} \quad (V.59)$$

Pentru valori constante  $\beta_y$  și  $\tilde{c}_y$  și pentru o anumită valoare  $\alpha_{t_y}$ , funcției  $f(m_y, n_y) = 0$  i se poate atașa, într-un sistem cartezian  $\alpha_{t_y}$  de axe  $m_y - n_y$ , o curbă  $C_{i_y}$ , denumită curbă de interacțiune moment încovoiator-forță axială, sau prescurtată curbă de interacțiune. Ea este valabilă numai pentru  $1,5 a'_y \leq x_y \leq 0,5(h_y - h_p)$  sau în valori reduse  $1,5 \frac{\xi_y}{\beta_y} \leq \xi_y \leq 0,5(1 - \tilde{c}_y)$ . Continuitatea curbei de interacțiune este asigurată de cazurile următoare.

Pentru o altă valoare  $\alpha_{t_y}$  ( $i=0,1,2,\dots$ ), se va obține o altă curbă  $C_{i_y}$ ; familia de curbe  $C_{i_y}$  constituie o diagramă de interacțiune, care în final reprezintă un abac de calcul.

Capit. 3. caracterizat prin  $0,5(h_y - h_p) \leq x_y \leq x_{y,lim}$  sau în valori reduse  $0,5(1 - \tilde{c}_y) \leq \xi_y \leq \xi_{y,lim}$  ( $1 - \tilde{c}_y$ ).

Cunoscînd  $\xi_{y,lim}$ , dat în norme, este raportat la înălțimea utilă a secțiunii  $h_0$  ( $\xi_{y,lim} = x_{y,lim} / h_0$ ), dar conform notației (V.49);  $\xi_y = x_y / h_y$ , deci poziția  $\xi_{y,lim}$  relativă a axei neutre este raportată la înălțimea totală  $h_y$  a secțiunii (și nu la cea utilă),  $\xi_{y,lim} = x_{y,lim} / h_y$ . Că valori ale lui  $\xi_{y,lim}$ , raportat la  $h_y$ , nu sînt date în norme, vor trebui utilizate valorile date în norme, pentru  $\xi_{y,lim}$ .



raportat la  $h_{0y}$ . Această utilizare atrage după sine necesitatea corectării lui  $\xi_{y,lim}$ , raportat la  $h_{0y}$ . Factorul de corecție este  $(1-\alpha_y)$ .

Poziția axei neutre, la limita dintre mare și mică excentricitate,  $x_{y,lim}$ , va fi aceeași, fie că  $x_{y,lim} = \xi_{y,lim} h_{0y}$ , fie că  $x_{y,lim} = \xi_{y,lim} (1-\alpha_y) h_{0y}$ . În ambele relații  $\xi_{y,lim}$  reprezintă valorile date în norme, prin raportarea la  $h_{0y}$ , (tabelul II.1 din prezenta lucrare

$$\xi_{y,lim} = \frac{x_{y,lim}}{h_{0y}} = 0,50 ; 0,55 ; 0,60).$$

Cazul este tot de compresiune excentrică cu mare excentricitate, frecvent întâlnit în practică. Conform ipotezelor acceptate, în armăturile  $A'_a$  și  $A_a$ , eforturile unitare ating valoarea  $R_a$ .

În fig. V.15 se prezintă starea de eforturi pe înălțimea secțiunii transversale.

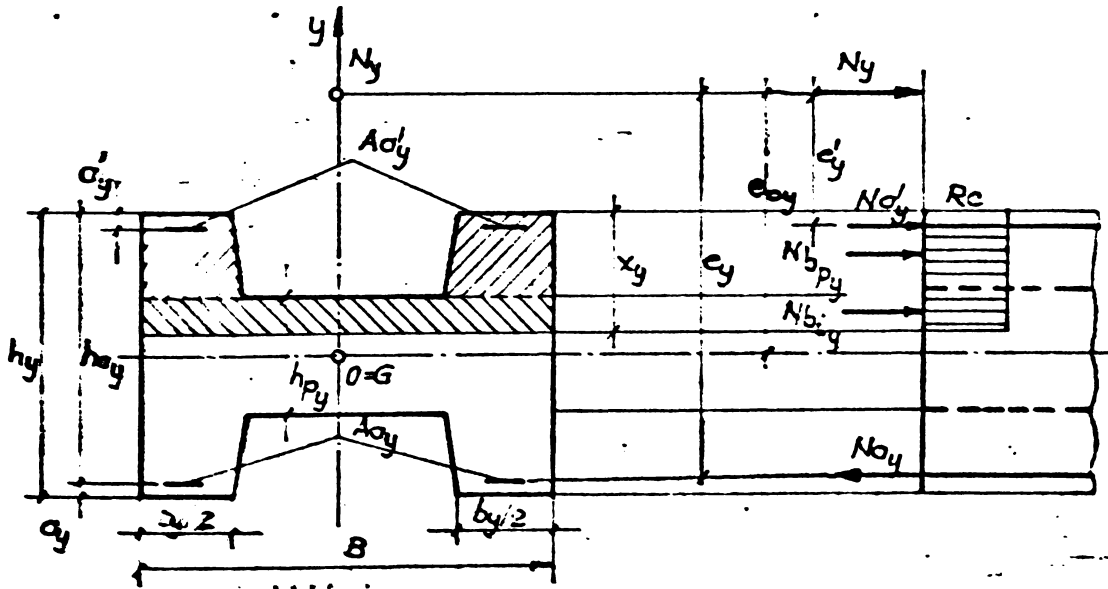


Fig.V.15.

Din scrierea ecuației de proiecții după axa elementelor rezultă :

$$N_y = N_{0y} + N_{bpy} + N'_{ay} - N_{ay} \quad (V.60)$$

$$N_y \cdot e_{0y} = N_{0y} \cdot 0,5(h_y - x_y) + N_{bpy} (0,25 h_y + 0,25 h_{py} - 0,5 x_y) + (N'_{ay} + N_{ay}) (0,5 h_y - a_y) \quad (V.61)$$

$$N_{b_y} = b_y \cdot x_y R_c \quad (V.46)$$

$$N_{b_{p_y}} = (B - b_y) \left[ x_y - 0,5(n_y - n_{p_y}) \right] R_c \quad (V.62)$$

$$N'_{a_y} = A'_{a_y} R_a \quad (V.47)$$

$$N_{a_y} = A_{a_y} R_a \quad (V.48)$$

Aplicînd aceeași metodologie ca în cazul precedent relațiile (V.60) și (V.61) devin sistemul :

$$\left\{ \begin{aligned} z_y &= \bar{B} \xi_y + 0,5(\xi_y - 1)(\bar{B} - 1) + \alpha_{t_y} \frac{(\beta_y - 1)}{(1 + \beta_y)} \quad (V.60.a) \\ z_y &= 0,5\bar{B} \xi_y - 0,5\bar{B} \xi_y^2 + 0,125(\bar{B} - 1)(\xi_y^2 - 1) + \alpha_{t_y} (0,5 - \delta_y) \quad (V.61.a) \end{aligned} \right.$$

Eliminînd pe  $\xi_y$  între relațiile sistemului, se obține ecuația curbei de interacțiune  $f(n_y, z_y) = 0$ , a eforturilor reduse,  $n_y$  și  $z_y$  :

$$n_y = 0,5 z_y \left( 1 - \frac{n_y}{B} \right) + \frac{(\bar{B} - 1)(\xi_y - 1)}{2\bar{B}} \left[ n_y - 0,5\bar{B} - 0,25(\bar{B} - 1)(\xi_y - 1) + 0,25\bar{B}(\xi_y + 1) \right] + \alpha_{t_y} (0,5 - \delta_y) + \frac{\alpha_{t_y} (\beta_y - 1)}{2\bar{B}(1 + \beta_y)} \left[ 2n_y - \bar{B} - (\bar{B} - 1)(\xi_y - 1) - \alpha_{t_y} \frac{(\beta_y - 1)}{(1 + \beta_y)} \right] \quad (7.63)$$

Pentru plaja de valori, care acoperă domeniul practic, dată parametrilor, se obține o familie de curbe de interacțiune, care reprezintă un abac de calcul, pentru domeniul  $0,5(1 - \xi_y) \leq \xi_y \leq \xi_{y, \text{lin}} (1 - \delta_y)$ .

Cazul 4, caracterizat prin  $x_{y, \text{lin}} \leq x_y \leq 0,5(n_y + n_{p_y})$ , sau în valori reduse  $\xi_{y, \text{lin}} (1 - \delta_y) \leq \xi_y \leq 0,5(1 + \xi_{y, \text{lin}})$ .

Acest caz este frecvent întîlnit în practică ca un caz de compresiune excentrică cu mică excentricitate.

Conform ipotezelor acceptate, în cazul compresiunii excentrice cu mică excentricitate, efortul unitar în armătura  $\sigma_{a_y}$ , mai depărtată de forța excentrică  $N_y$  se determină cu relația :

$$\sigma_{a_y} = k_y R_a \quad (V.64)$$

în care valoarea lui  $k_y$  este dată de relația

$$k_y = \frac{\xi_{y, \text{lin}} (1 - 1,25 \xi_{y, \text{lin}})}{\xi_y (1 - 1,25 \xi_y)} \quad (V.65)$$

prevăzută în Proiectul de standard 10107/2-84, dacă  $\xi_{y, \text{lin}} \leq \xi_y \leq 0,8$ , iar dacă  $\xi_y > 0,8$ , atunci  $k_y = -(5 \xi_y - 4)$  (V.66)

Întrucît în relațiile (V.65) și (V.66)  $\xi_y = x_y / h_{0y}$  și  $\xi_{y, \text{lin}} = x_{y, \text{lin}} / h_{0y}$ , iar în prezentul capitol s-a notat  $\xi_y = x_y / h_{0y}$  și respectiv  $\xi_{y, \text{lin}} = x_{y, \text{lin}} / h_{0y}$ .

$\xi_{y\text{lim}} = x_{y\text{lim}} / h_y$  și cum în norme sînt date valorile lui  $\xi_{y\text{lim}} = x_{y\text{lim}} / h_{0y}$  (deci raportate la  $h_{0y}$ , nu la  $h_y$ ), va trebui ca să se lucreze cu  $\xi_{y\text{lim}} = x_{y\text{lim}} / h_{0y}$  (care are valori date în norme) și cu  $\xi_y = x_y / h_y$ . Acest lucru este posibil dacă se introduce un factor de corecție  $(1 - \delta_y)$ , care rezultă din faptul că  $h_{0y} = h_y - a_y$ . Procedînd similar ca în planul x, valoarea lui  $k_y$  devine:

$$k_y = \frac{\xi_{y\text{lim}} [(1 - \delta_y) - 1,25 \xi_y]}{\xi_y (1 - 1,25 \xi_{y\text{lim}})} \quad (\text{V.65.a})$$

dacă  $\xi_{y\text{lim}} (1 - \delta_y) \leq \xi_y \leq 0,8(1 - \delta_y)$ , iar dacă  $\xi_y > 0,8(1 - \delta_y)$ ,

atunci  $k_y = - \left[ \frac{5 \xi_y}{(1 - \delta_y)} - 4 \right] \quad (\text{V.66.a})$

În relațiile (V.65.a) și (V.66.a)  $\xi_{y\text{lim}}$  sînt valorile date în norme (raportate la înălțimea  $h_{0y}$ ), iar  $\xi_y = x_y / h_y$ . Pentru o valoare a lui  $x_y$ , se obține aceeași valoare pentru  $k_y$ , fie că se lucrează cu relația (V.65) sau (V.66) în care  $\xi_y = x_y / h_{0y}$ , fie că se lucrează cu (V.65.a) sau (V.66.a) în care  $\xi_y = x_y / h_y$ .

Tot conform ipotezelor acceptate, efortul unitar în armătura  $A'_s$  este de compresiune și are valoarea  $R_a$  ( $k'_y = 1$ ).

Starea de eforturi, pe înălțimea secțiunii transversale, este prezentată în fig.V.16.

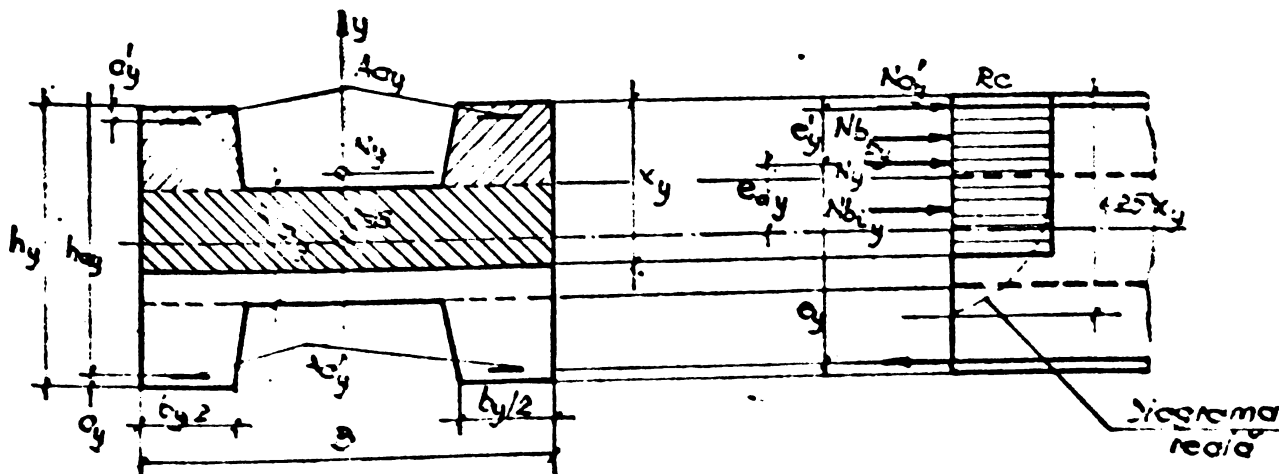


Fig.V.16.

Ecuatia de proiectii după axa elementului are forma :

$$N_y = N_{b_y} + N_{b_{p_y}} + N'_{a_y} - N_{a_y} \quad (7.67),$$

iar cea de momente în raport cu centrul de greutate al secțiunii de beton se scrie :

$$M_y = N_y \cdot e_{cc_y} = N_{b_y} \cdot 0,5(h_y - x_y) + N_{b_{p_y}} (0,25 h_y + 0,25 h_{p_y} - 0,5 x_y) + (N'_{a_y} - N_{a_y}) (0,5 a_y - a_y) \quad (V.68)$$

în care :

$$N_{b_y} = b_y x_y R_c \quad (7.46)$$

$$N_{b_{p_y}} = (B - b_y) \left[ x_y - 0,5(a_y - a_{p_y}) \right] R_c \quad (V.62)$$

$$N'_{a_y} = A'_{a_y} k'_y R_a \quad (V.63)$$

$$N_{a_y} = A_{a_y} k_y R_a \quad (V.64)$$

$\xi_y = 1$ , conform ipotezelor acceptate, iar  $k_x$  se calculează cu relația (V.65.a) sau (V.66.a), după caz.

Introducînd relațiile de mai sus în ecuațiile (7.67) și (7.68), după împărțirea ecuației de proiectii cu  $b_y k_y R_c$  și a celei de momente cu  $b_y h_y^2 R_c$ , precum și a utilizării notațiilor (V.49) la (V.58), ecuațiile (V.67) și (V.68) devin sistemul :

$$n_y = \bar{B} \xi_y + (\bar{B} - 1) \cdot 0,5(\xi_y - 1) + \alpha_{t_y} \frac{(\beta_y - k_y)}{(1 + \beta_y)} \quad (V.67.a)$$

$$m_y = 0,5 \xi_y (1 - \xi_y) + (\bar{B} - 1) \left[ 0,5 \xi_y - 0,5 \xi_y^2 - 0,125(1 - \xi_y^2) \right] + (0,5 - \xi_y) \alpha_{t_y} \frac{(\beta_y + k_y)}{(1 + \beta_y)} \quad (V.68.a)$$

Eliminînd pe  $\xi_y$  între relațiile (V.67.a) și (V.68.a) se obține ecuația curbei de interacțiune  $f(n_y, m_y) = 0$ , a eforturilor reduse

$n_y$  și  $m_y$  :

$$m_y = 0,5 n_y (1 - \frac{n_y}{\bar{B}}) + \frac{(\bar{B} - 1)(\xi_y - 1)}{2\bar{B}} \left[ n_y - 0,5\bar{B} - 0,25(\bar{B} - 1)(\xi_y - 1) + 0,25\bar{B}(\xi_y + 1) \right] + \alpha_{t_y} (0,5 - \xi_y) \frac{(\beta_y + k_y)}{(1 + \beta_y)} + \frac{\alpha_{t_y} (\beta_y - k_y)}{2\bar{B}(1 + \beta_y)} \left[ 0,5 n_y - \bar{B}(\bar{B} - 1)(\xi_y - 1) - \alpha_{t_y} \frac{(\beta_y - k_y)}{(1 + \beta_y)} \right] \quad (V.69)$$

Pentru plaja de valori dată parametrilor, care acoperă domeniul practic, se obține o familie de curbe de interacțiune, care reprezintă un abac de calcul, pentru domeniul  $\xi_{y \min} (1 - \xi_y) \leq \xi_y \leq 0,5(1 + \xi_y)$ .

Cazul 3, caracterizat prin  $0,5(h_y + h_{py}) \leq x_y \leq h_y$ , sau în valori reduse  $0,5(1 + \delta_y) \leq \xi_y \leq 1,00$ .

Acest caz caracterizează compresiunea excentrică cu forțe mici excentricitate, caz mai rar în practică.

Conform ipotezelor acceptate, efortul unitar în armătura  $A'_y$  este de compresiune și are valoarea  $R_a$ , ( $\alpha_y = 1,0$ ), iar efortul în armătura  $A_y$ , mai depărtată de forța  $N_y$  este  $A_y k_x R_a$ , în care  $k_x$  se determină fie cu relația (V.65.a), dacă  $\xi_y \leq 0,8(1 - \delta_y)$ , fie cu relația (V.66.a), dacă  $\xi_y > 0,8(1 - \delta_y)$ .

Starea de eforturi pe înălțimea secțiunii transversale este redată în fig. V.17.

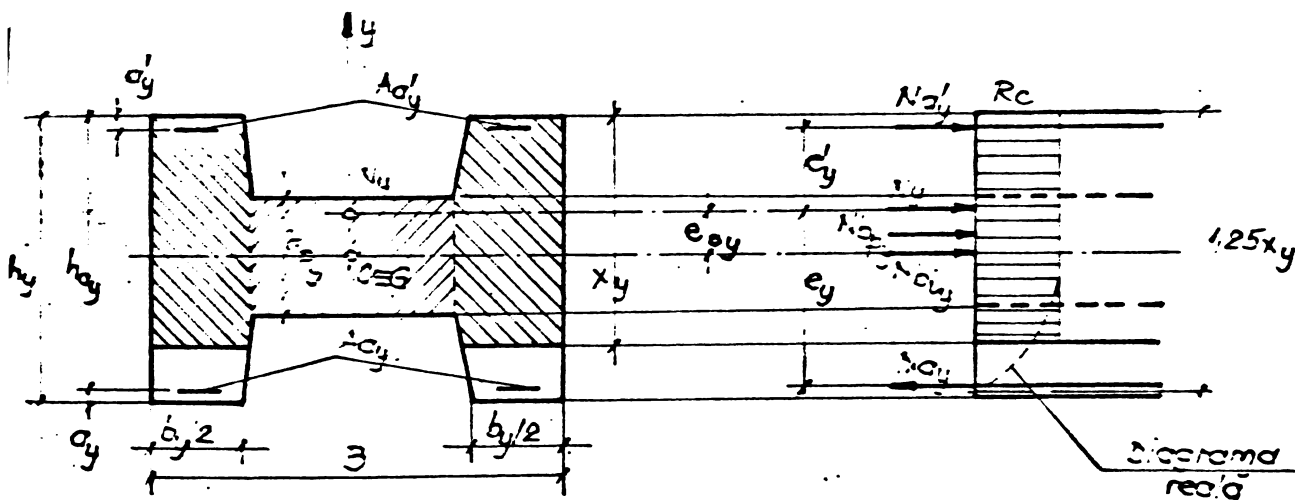


Fig. V.17.

Ecuația de proiecții după axa elementului :

$$N_y = N_{py} + N_{py} + N'_{ay} - N_{ay} \quad (V.70)$$

Ecuația de momente în raport cu centrul de greutate al secțiunii de beton :

$$M_y = N_y \cdot e_{py} = N_{py} \cdot 0,5(h_y - x_y) + (N'_{ay} + N_{ay}) \cdot (0,5h_y - a_y) \quad (V.71)$$

În ecuațiile de mai sus :

$$N_{py} = b_y \cdot x_y \cdot R_c \quad (V.46)$$

$$N_{py} = (b - b_y) h_{py} R_0 \quad (V.72)$$

$$N'_{ay} = A'_y \cdot k'_y R_a = A'_y R_a \quad (V.63)$$

$$N_{ay} = A_y k_y R_a \quad (V.64)$$

Explicitând ecuațiile (V.70) și (V.71), apoi împărțind prima ecuație cu  $b_y h_y R_c$ , iar a doua cu  $b_y h_y^2 R_c$  și utilizând notațiile (V.49) și (V.58), ecuațiile (V.70) și (V.71) devin sistemul :

$$\left\{ \begin{array}{l} n_y = \xi_y + (\bar{B}-1) \varepsilon_y + \alpha_{t_y} \frac{(\beta_y - k_y)}{(1+\beta_y)} \\ m_y = 0,5 \xi_y (1 - \xi_y) + (0,5 - \delta_y) \alpha_{t_y} \frac{(\beta_y + k_y)}{(1+\beta_y)} \end{array} \right. \quad (V.70.a)$$

$$\left\{ \begin{array}{l} n_y = \xi_y + (\bar{B}-1) \varepsilon_y + \alpha_{t_y} \frac{(\beta_y - k_y)}{(1+\beta_y)} \\ m_y = 0,5 \xi_y (1 - \xi_y) + (0,5 - \delta_y) \alpha_{t_y} \frac{(\beta_y + k_y)}{(1+\beta_y)} \end{array} \right. \quad (V.71.a)$$

Eliminînd pe  $\xi_y$  între ecuațiile sistemului, se obține ecuația unei de interacțiune  $f(m_y, n_y) = 0$ , a eforturilor reduse  $m_y$  și  $n_y$  :

$$= 0,5 n_y (1 - n_y) + \varepsilon_y (\bar{B}-1) \left[ n_y - 0,5 - 0,5 \varepsilon_y (\bar{B}-1) \right] + \alpha_{t_y} (0,5 - \delta_y) \frac{(\beta_y + k_y)}{(1+\beta_y)} + \alpha_{t_y} \frac{(\beta_y - k_y)}{(1+\beta_y)} \left[ n_y - 0,5 - \varepsilon_y (\bar{B}-1) - 0,5 \alpha_{t_y} \frac{(\beta_y - k_y)}{(1+\beta_y)} \right] \quad (V.72)$$

Pentru plaja de valori dată parametrilor, care acoperă domeniul practicii, se obține o familie de curbe de interacțiune, care reprezintă un abac de calcul, pentru domeniul  $0,5(1 + \varepsilon_y) \leq \xi_y \leq 1,00$ .

Rezolvînd și în planul  $y$ , ecuațiile curbelor de interacțiune (V.59), (V.63), (V.69) și (V.72), la mașina electronică de calcul, pentru următoarea plajă a valorilor

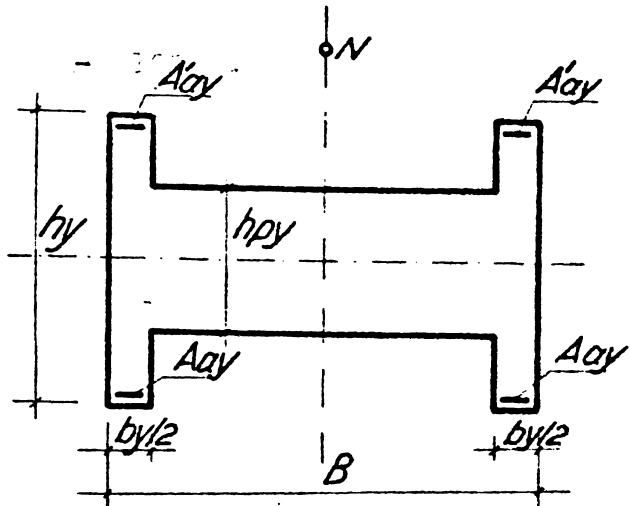
$$\begin{aligned} \delta_y &= \delta'_y = 0,08 ; 0,11 ; 0,14, \\ \varepsilon_y &= 0,25 ; 0,30 ; 0,35 ; 0,40, \\ \bar{B} &= 2,0 ; 2,5 ; 3,0 ; 3,5 ; 4,0, \\ \alpha_{t_y} &= 0,20 ; 0,40 ; 0,60 ; 0,80 ; 1,00 ; 1,20, \\ \beta_y &= 1,00, \\ \xi_{y_{lim}} &= 0,55, \end{aligned}$$

se obțin abace de calcul al momentului capabil în planul  $y$ . Pe baza listărilor rezultate în urma rulărilor la calculator, s-a întocmit, spre exemplificare, abacul din fig.V.18.

Se subliniază că, succesiunea cazurilor acoperă solicitarea de compresiune excentrică, de la încovoiere ( $n_y = 0$ ), pînă la compresiune centrică ( $m_n = 0$ ).

Rezolvarea în maniera prezentată, pune la îndemîna proiectanților, stabilirea cu ușurință și rapiditate a momentului capabil  $M_{y_{cap}}$ , unei secțiuni în formă de dublu T, din beton armat.

$$m_y = \frac{N}{b_y b_y R_c}$$



$$\delta_y = \frac{b_y}{h_y} = 0.30$$

$$\epsilon_y = \frac{h_{py}}{h_y} = 0.5$$

$$\delta_y = \frac{a_y}{h_y} = \frac{a_y}{h_y} = 0.05$$

$$\bar{B} = \frac{B}{b_y} = 5$$

$$\alpha_y = \alpha'_y = \frac{A_{ay} R_a}{b_y h_y R_c}$$

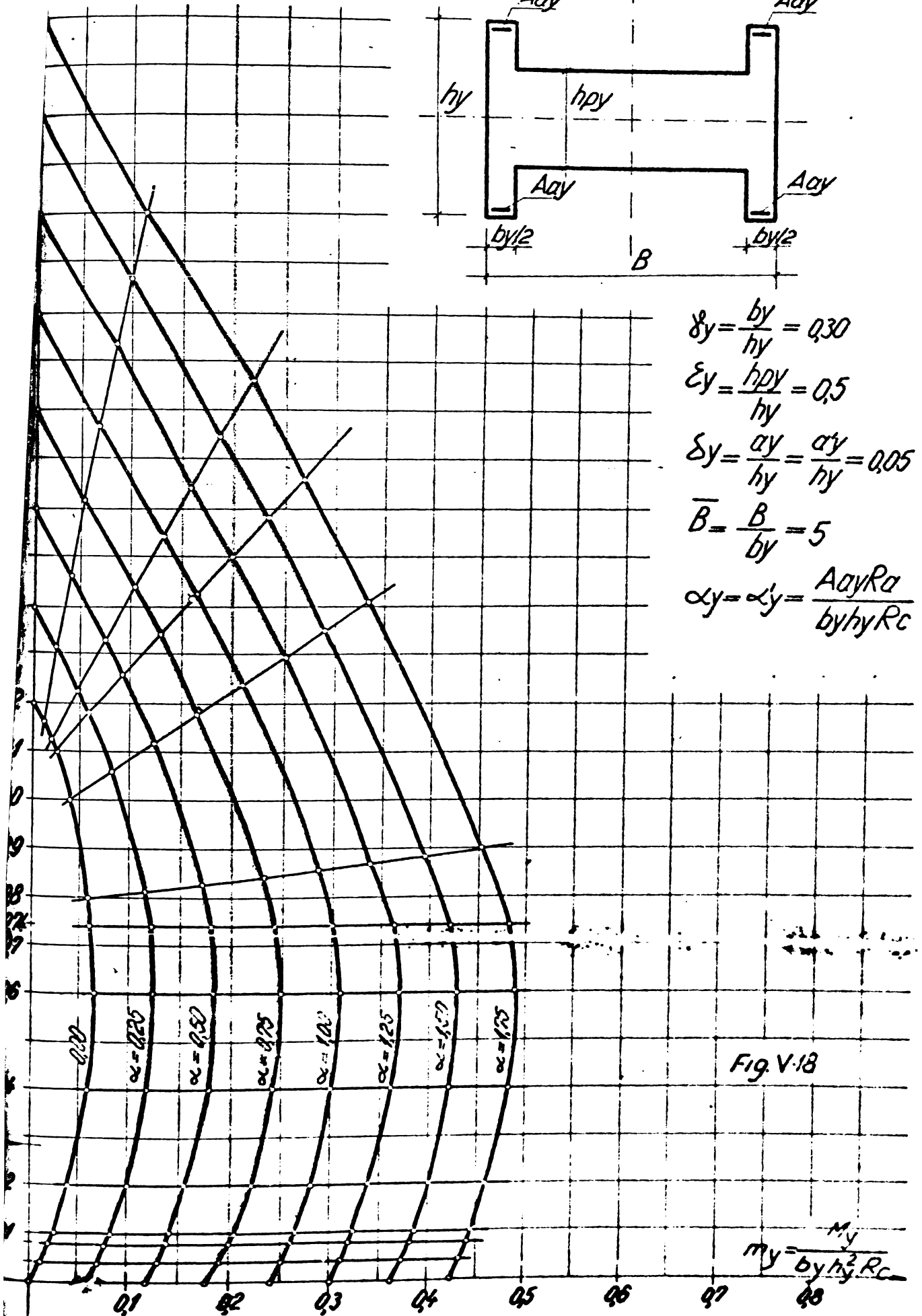


Fig. V-18

$$m_y = \frac{M_y}{b_y h_y^2 R_c}$$

In concluzie, se reaminteste că relația de calcul la CEO, prevăzută în Proiectul de standard 10107/0-84 este următoare a :

$$\left(\frac{M_x}{M_{x\text{cap}}}\right)^\beta + \left(\frac{M_y}{M_{y\text{cap}}}\right)^\beta = 1 \quad (\text{V.73})$$

în care  $M_x$  și  $M_y$ , sînt solicitările rezultate din calculul static, iar  $M_{x\text{cap}}$  și  $M_{y\text{cap}}$  sînt momentele capabile, determinate din abacele de calcul, din planul x, respectiv y.

Proiectarea se face deci prin verificarea unor secțiuni din beton armat impuse (alese) de către proiectant, pentru care secțiuni, cu ajutorul abacelor de calcul se stabilesc  $M_{x\text{cap}}$  și respectiv  $M_{y\text{cap}}$ .

### 5.3. Analiza coeficientului $\beta$ , în funcție de factorul de compresiune $n$

Din studiile teoretice, întreprinse asupra secțiunii patrute, prezentate în lucrarea /32/, rezultă următoarea variație a coeficientului  $\beta$ , în funcție de valoarea forței axiale relative  $n$ , (fig.V.19).

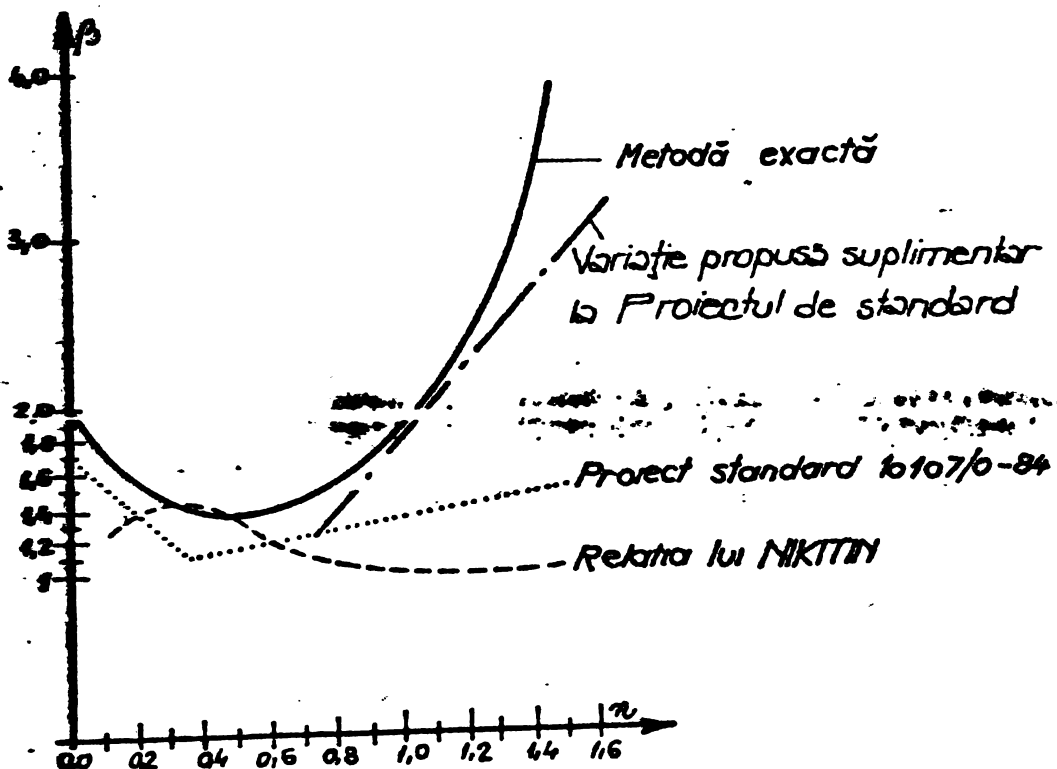


Fig.V.19. Variația coeficientului  $\beta$  în funcție de factorul de compresiune  $n$ .



Pentru studiu s-a ales o secțiune patrată din beton armat. Pentru secțiunea aleasă, momentele capabile după direcțiile principale ( $M_x$  și  $M_y$ ) corespunzătoare forței axiale  $N$ , au fost stabilite cap cu cap "metoda exactă", utilizând mașina electronică de calcul.

"Metoda exactă", efectuează analiza cantitativă și calitativă a secțiunii alese, cu ajutorul programului COBLIK. Ca date, la intrare, programul folosește dimensiunile  $b$  și  $h$  ale secțiunii, arile și pozițiile barelor de armătură longitudinală, caracteristicile betonului și armăturii, valoarea deformației  $\epsilon_0$  într-un punct de coordonate  $x_0, y_0$ , forța axială și înclinarea momentului oblic față de o axă principală.

Programul furnizează, printre alte date și momentele încovoietoare  $M_x$  și  $M_y$ , pentru înclinarea aleasă la  $45^\circ$ .

Valorile exponentului  $\beta$ , în "metoda exactă", s-au obținut în relația V.73.

Pentru obținerea valorilor exponentului  $\beta$ , utilizând relația lui Nikitin, se procedează astfel :

- pentru secțiunea aleasă, la înclinarea momentului oblic la  $45^\circ$  față de o axă principală, se consideră o valoare a excentricității forței excentrice ;

- se pot determina forțele axiale  $N_x$ ,  $N_y$  și  $N_c$ , corespunzătoare excentricităților alese  $e_x = e_y = e_0 / \sqrt{2}$  ale secțiunii și apoi, cu relația lui Nikitin, valoarea forței excentrice oblice ;

- se calculează momentul excentric oblic, care se descompune apoi în momentele  $M_x$  și  $M_y$  ;

- cu relația (V.73) se stabilesc valorile exponentului  $\beta$ . Conform Proiectului standard 10107/0-84 valoarea lui  $\beta$  este dată de relațiile (V.74.a și b) și fig.(V.20) :

- $\beta = 1,7(1-n)$  pentru  $n \leq 0,36$  (V.74.a) ;

- $\beta = 1 + 0,3n$  pentru  $n > 0,35$  (V.74.b),

în care  $n = \frac{N}{A_b R_c}$ .

Se remarcă că valoarea lui  $\beta$ , conform Proiectului de standard este independentă de armarea secțiunii, ori a distribuției armăturii pe secțiunea transversală. Valorile lui  $\beta$  din fig.V.19, conform Proiectului de standard sînt deci acele date de relațiile V.74.a și b), reprezentate în figura V.20.

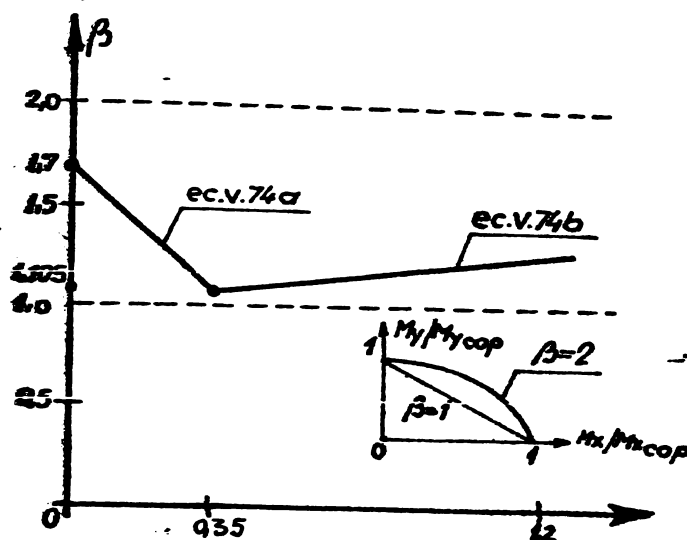


Fig.V.20. Variația exponentului  $\beta$  în funcție de factorul de compresiune  $n$ , conform Proiectului de standard 10107/0-84.

Analiza variației curbelor  $\beta$ , din fig.V.19 stabilită cu cele trei metode, scoate în evidență următoarele :

- formula lui Nikitin nu poate aproxima bine capacitatea portantă a unei secțiuni de beton armat la compresiune excentrică oblică. Fia faptul că  $\beta$  are în raport cu  $n$ , o variație de sens invers, decît cea normală, rezultă că formula lui Nikitin este fie prea acoperitoare, fie prea descoperitoare, iar precizia procedurii nu poate fi îmbunătățită ;

- fig.V.19, evidențiază un grad satisfăcător de aproximare dat de relația V.73.

Se remarcă din fig.V.19 că, în zonele seismice ale țării, pentru domeniile uzuale de variație a lui  $n$ , cuprinse între 0,1-0,4, relația propusă de Proiectul de standard este corespunzătoare, rezultînd pentru  $\beta$  valori apropiate de valorile obținute cu "metoda exactă".

Analizînd întregul domeniu, la valori ale lui  $n$  peste 0,8, valorile lui  $\beta$  ar trebui îmbunătățite. Acest lucru se poate face dacă, variația biliniară, s-ar înlocui cu o variație triliniară (variația propusă ):

- întrucît la ora actuală, se recomandă în practică, elemente de acoperiș ușoare și deasemenea elemente de planșeu ușoare, valoarea forței axiale relative  $n$  este cuprinsă între 0,1-0,3. Pentru acest domeniu, relația lui Nikitin satisface condițiile de rezistență, fapt ce explică comportarea corespunzătoare în practică a elementelor executate;

- deși valoarea lui  $\beta$  depinde de mărimea forței axiale relative  $n$ , de coeficienții fizici de armare, precum și de modul de distri-

ire a armăturilor pe secțiunea transversală, prin relațiile V.74.a și b) valoarea lui  $\beta$  depinde explicit numai de forța axială relativă  $n$ . Însă prin forma relațiilor (V.74.a și b), valorile lui  $\beta$  conțin implicit și efectul procentului de armare și al modului de distribuție a armăturilor pe secțiune;

- se reliefează că, rezultatele obținute cu relația V.73 în Proiectul de standard sînt doar teoretice și că acestea ar trebui confirmate de încercări experimentale, în caz contrar aplicarea relației V.73 ar putea da naștere la comportări nesatisfăcătoare în exploatare.

## VI. - PROGRAMUL EXPERIMENTAL

### 6.1. Scopul programului experimental

Avîndu-se în vedere că la ora actuală, prin STAS-ul 10107/0-76, calculul la starea limită de rezistență, utilizat în proiectare, se conduce pe baza relației lui Nikitin, un prim scop al programului experimental l-a constituit verificarea experimentală a relației lui Nikitin, pentru secțiuni dublu T. Întrucît relația lui Nikitin nu este fundamentată din punct de vedere teoretic, mai ales cînd excentricitatea este mare chiar numai pe o direcție, Proiectul standard 10107/0-84 prevede calculul cu relația (II.24). Așa cum s-a arătat în cap.II și V, relația II.24 rezolvă compresiunea excentrică oblică, prin descompunerea ei în două compresiuni excentrice drepte, dat fiind faptul că la ora actuală nu se cunoaște variația momentului excentric oblic în funcție de înclinația planului său de acțiune față de o axă principală. Ca urmare al doilea scop al programului experimental a fost acela, de a stabili legea de variație a momentului excentric oblic în funcție de înclinația planului său de acțiune, sub starea limită de rezistență, pentru secțiuni în formă de dublu T.

În relația (II.24) apare exponentul  $\beta$ , pentru care Proiectul de standard dă valorile date de relațiile (V.74.a și b). Al treilea scop al programului experimental a constatat în determinarea pe cale experimentală a valorilor lui  $\beta$ , pentru secțiuni dublu T, în funcție de factorul de compresiune  $n$ .

Studiul experimental al stării de deformație, pentru secțiuni în formă de dublu T, făcut în paralel cu starea limită de rezistență a format al patrulea scop al programului experimental.

În fine, în cazul compresiunii excentrice oblice, cu mare excentricitate, zona comprimată de beton are o arie redusă, în general de formă triunghiulară. În colțul mai comprimat al triunghiului, există multă armătură (armătură longitudinală și etrierii), care influențează puternic comportamentul zonei comprimate de beton, mai ales pentru fibra cea mai comprimată. În această situație, mulți cercetători și-au pus problema, dacă deformația limită de calcul, pentru fibra cea mai comprimată nu poate fi mai mare de 3,5 ‰, valoarea utilizată în cazurile curente. În consecință, al cincilea scop al programului experimental l-au constituit măsurătorile celei mai comprimate fibre de beton, în vederea aducerii de noi date.

6.2. Verificarea, pe cale experimentală, a relației lui Nikitin. Studiul experimental al stării de deformare.

6.2.1. Proiectarea și executarea elementelor experimentale.

În baza contractului de cercetare științifică nr.10125/1978, beneficiar fiind INCERC-București, s-au proiectat și încercat de către catedra de Beton armat și clădiri a Facultății de Construcții din Timișoara, un număr de 24 de stâlpi din beton armat, cu secțiunea dublu T.

Dimensiunile și alcătuirea stâlpilor sînt redate exemplificativ în fig.VI.1, iar în totalitate în lucrarea /109/.

Elementele experimentale s-au executat la INCERC-București, de către Baza de aprovizionare pentru construcții.

Lungimea stâlpilor s-a luat egală cu 2 m, astfel ca să nu apară flambajul și încercarea să se poată efectua cu dispozitivele existente în laborator.

Lungimea de 2 m a asigurat și zona minimă cu  $M$  și  $N$  constante de cel puțin trei ori înălțimea secțiunii transversale (3x30-90 cm).

Principalii parametri care s-au analizat și care în consecință s-au variat în cadrul experimentărilor au fost :

- procentul de armare longitudinal ( $p$  și  $p'$ ) ;
- mărimile excentricităților  $e_{ox}$  și  $e_{oy}$  ale forței normale  $N$ .

Variația acestora se prezintă în tabelul VI.1 ;

- distribuția armăturii pe secțiunea transversală.

Tabelul VI.1.

Seria	I	II	III	IV
$e_{ox}$ cm	10	20	20	20
$e_{oy}$ cm	5	10	5	20

# ANSĂ DE EXECUTIE A STILPULUI S3-1/2

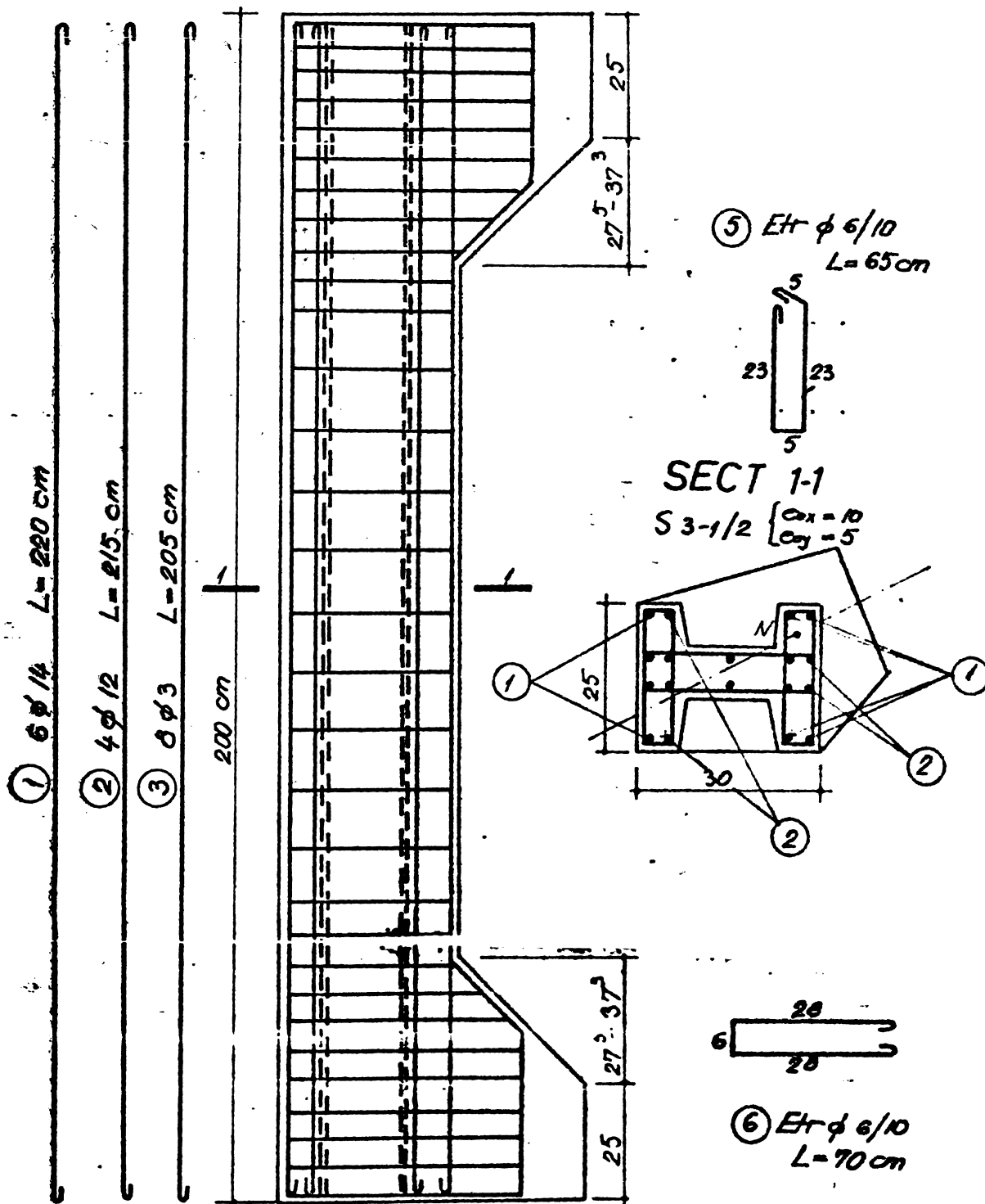


Fig. VI.1

Alcătuirea stîlpilor, cu parametri variați în cadrul încercărilor, este redată sintetic în tabelul VI.2.

#### 6.2.1.1. Materiale

Compoziția betonului a fost următoarea :

- ciment RIM 200	320 kg
- apă	220 l
- agregate 0-7 mm	960 kg
7-16 mm	960 kg
Total :	<u>2460 kg/m<sup>3</sup></u>

Turnarea stîlpilor s-a făcut în poziție orizontală.

Raportul A/C utilizat : 0,687.

Rezistențele cubice ale betonului la 28 de zile, precum și la data încercării stîlpilor, împreună cu celelalte caracteristici fizico-mecanice ale betonului sînt prezentate în tabelul VI.3.

Ca armături de rezistență s-au folosit bare din OB 37, cu diametrul de 10, 12 și 14 mm. Caracteristicile fizico-mecanice ale armăturilor, determinate prin încercarea epruvetelor extrase din stîlpii după încercare, sînt date în tabelul VI.4.

Curbele caracteristice ale celor trei diametre sînt prezentate în fig. (VI.2), (VI.3) și (VI.4).

#### 6.2.1.2. Efectuarea încercărilor

S-a făcut la un stand amenajat în acest scop, folosind o presă de 200 tf. Aspectul general al unei asemenea încercări este redat în fotografia din fig.VI.5. Pentru a realiza încărcarea excentric oblic, la capetele stîlpilor s-au prevăzut de la confecționare, console oblice din beton armat.

Metodologia de încercare a fost următoarea : încărcare-descărcare, conform tabelului VI.5.

La primul ciclu s-a mers pînă la încărcarea normată, dedusă din încărcarea de calcul, prin împărțirea acesteia cu un coeficient mediu al încărcărilor  $n=1,2$ .

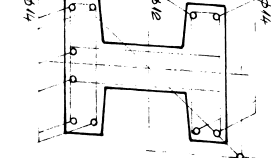
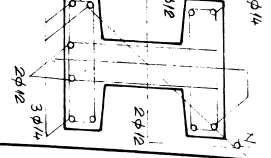
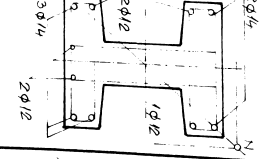
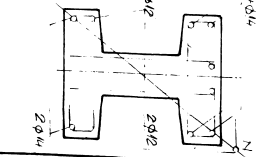
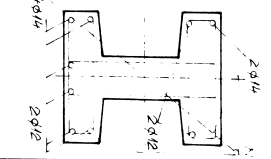
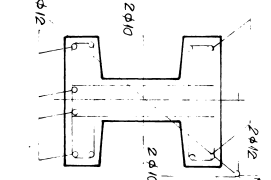
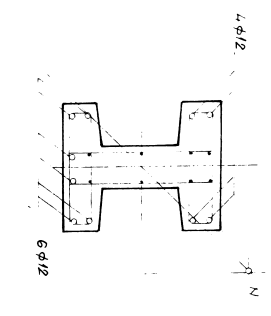
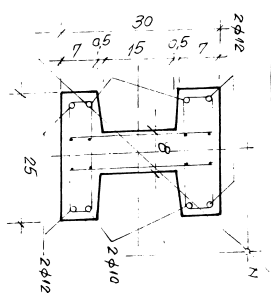
La al doilea ciclu s-a mers pînă la încărcarea de calcul, stabilită cu relația lui Nikitin, conform STAS 10107/0-76.

La al treilea ciclu s-a mers pînă la rupere.

#### 6.2.1.3. Măsurători întreprinse

Valoarea forțelor s-a măsurat cu ajutorul dozelor electrotenso-metrice, precum și prin citiri la manometrele de control.

DISTRIBUȚIA ARMĂTURILOR DE REZISTENȚĂ		INDICATIV ȘTILP		MARIMEA EXCENTRICITĂȚII		PROCENTUL DE ARMARE LONGITUDINAL RĂPORNIT LA $b \times h$		MARCA BETONULUI [ $R_b$ ]		$R_{bt}$ la defl. efectivă în încercării		$R_d$		Efectiv, la defl. încercării		P. rupere experimental [ $kgf$ ]		M. numeric experimental [ $M = P \cdot e = P \sqrt{e_a^2 + e_b^2}$ ] [ $kgf \cdot m$ ]	
$e_{a1}$	$e_{a2}$	$e_{b1}$	$e_{b2}$	$P \cdot \frac{A_g}{A_s} \cdot 100$	$P' \cdot \frac{A_g}{A_s} \cdot 100$	$P_e \cdot \frac{A_g}{A_s} \cdot 100$	$P' \cdot \frac{A_g}{A_s} \cdot 100$	$R_b$	$R_{bt}$	$R_{bt}$	$R_d$	$R_d$	$R_d$	$R_d$	$R_d$	$R_d$	$R_d$	$R_d$	$R_d$
10	20	10	20	0,787	0,787	0,51	0,51	243,00	300,25	243,00	300,25	243,00	300,25	243,00	300,25	243,00	300,25	243,00	300,25
20	10	20	10	0,787	0,787	0,51	0,51	267,00	331,66	267,00	331,66	267,00	331,66	267,00	331,66	267,00	331,66	267,00	331,66
20	20	20	20	0,787	0,787	0,51	0,51	267,00	331,66	267,00	331,66	267,00	331,66	267,00	331,66	267,00	331,66	267,00	331,66
5	10	5	10	0,787	0,787	0,51	0,51	325,00	412,50	325,00	412,50	325,00	412,50	325,00	412,50	325,00	412,50	325,00	412,50
20	20	20	20	0,787	0,787	0,51	0,51	325,00	412,50	325,00	412,50	325,00	412,50	325,00	412,50	325,00	412,50	325,00	412,50
20	20	20	20	0,787	0,787	0,51	0,51	323,00	440,42	323,00	440,42	323,00	440,42	323,00	440,42	323,00	440,42	323,00	440,42
10	20	10	20	0,929	0,929	0,602	0,602	243,00	300,25	243,00	300,25	243,00	300,25	243,00	300,25	243,00	300,25	243,00	300,25
10	10	10	10	0,929	0,929	0,602	0,602	230,00	287	230,00	287	230,00	287	230,00	287	230,00	287	230,00	287
10	20	10	20	0,929	0,929	0,602	0,602	230,00	287	230,00	287	230,00	287	230,00	287	230,00	287	230,00	287
20	10	20	10	0,929	0,929	0,602	0,602	260,00	323,32	260,00	323,32	260,00	323,32	260,00	323,32	260,00	323,32	260,00	323,32
20	20	20	20	0,929	0,929	0,602	0,602	260,00	323,32	260,00	323,32	260,00	323,32	260,00	323,32	260,00	323,32	260,00	323,32
20	20	20	20	0,929	0,929	0,602	0,602	291,00	365	291,00	365	291,00	365	291,00	365	291,00	365	291,00	365
20	20	20	20	0,929	0,929	0,602	0,602	280,00	350,625	280,00	350,625	280,00	350,625	280,00	350,625	280,00	350,625	280,00	350,625
20	20	20	20	0,929	0,929	0,602	0,602	280,00	350,625	280,00	350,625	280,00	350,625	280,00	350,625	280,00	350,625	280,00	350,625
20	20	20	20	0,987	0,987	0,51	0,51	291,00	365	291,00	365	291,00	365	291,00	365	291,00	365	291,00	365
10	10	10	10	1,73	1,73	0,712	0,712	206,00	251,65	206,00	251,65	206,00	251,65	206,00	251,65	206,00	251,65	206,00	251,65
20	10	20	10	1,73	1,73	0,712	0,712	250,00	309,67	250,00	309,67	250,00	309,67	250,00	309,67	250,00	309,67	250,00	309,67
10	10	10	10	1,93	1,93	0,712	0,712	206,00	251,65	206,00	251,65	206,00	251,65	206,00	251,65	206,00	251,65	206,00	251,65
20	20	20	20	1,93	1,93	0,712	0,712	254,00	315	254,00	315	254,00	315	254,00	315	254,00	315	254,00	315
20	20	20	20	1,93	1,93	0,712	0,712	254,00	315	254,00	315	254,00	315	254,00	315	254,00	315	254,00	315
20	20	20	20	1,93	1,93	0,712	0,712	263,00	327,08	263,00	327,08	263,00	327,08	263,00	327,08	263,00	327,08	263,00	327,08
20	20	20	20	1,93	1,93	0,712	0,712	263,00	327,08	263,00	327,08	263,00	327,08	263,00	327,08	263,00	327,08	263,00	327,08
20	20	20	20	1,899	1,899	0,726	0,726	228,00	228,00	228,00	228,00	228,00	228,00	228,00	228,00	228,00	228,00	228,00	228,00
20	20	20	20	1,899	1,899	0,726	0,726	228,00	228,00	228,00	228,00	228,00	228,00	228,00	228,00	228,00	228,00	228,00	228,00



Caracteristicile fizico-mecanice ale elementelor  
experimentale la data încercării

Tabelul VI.3.

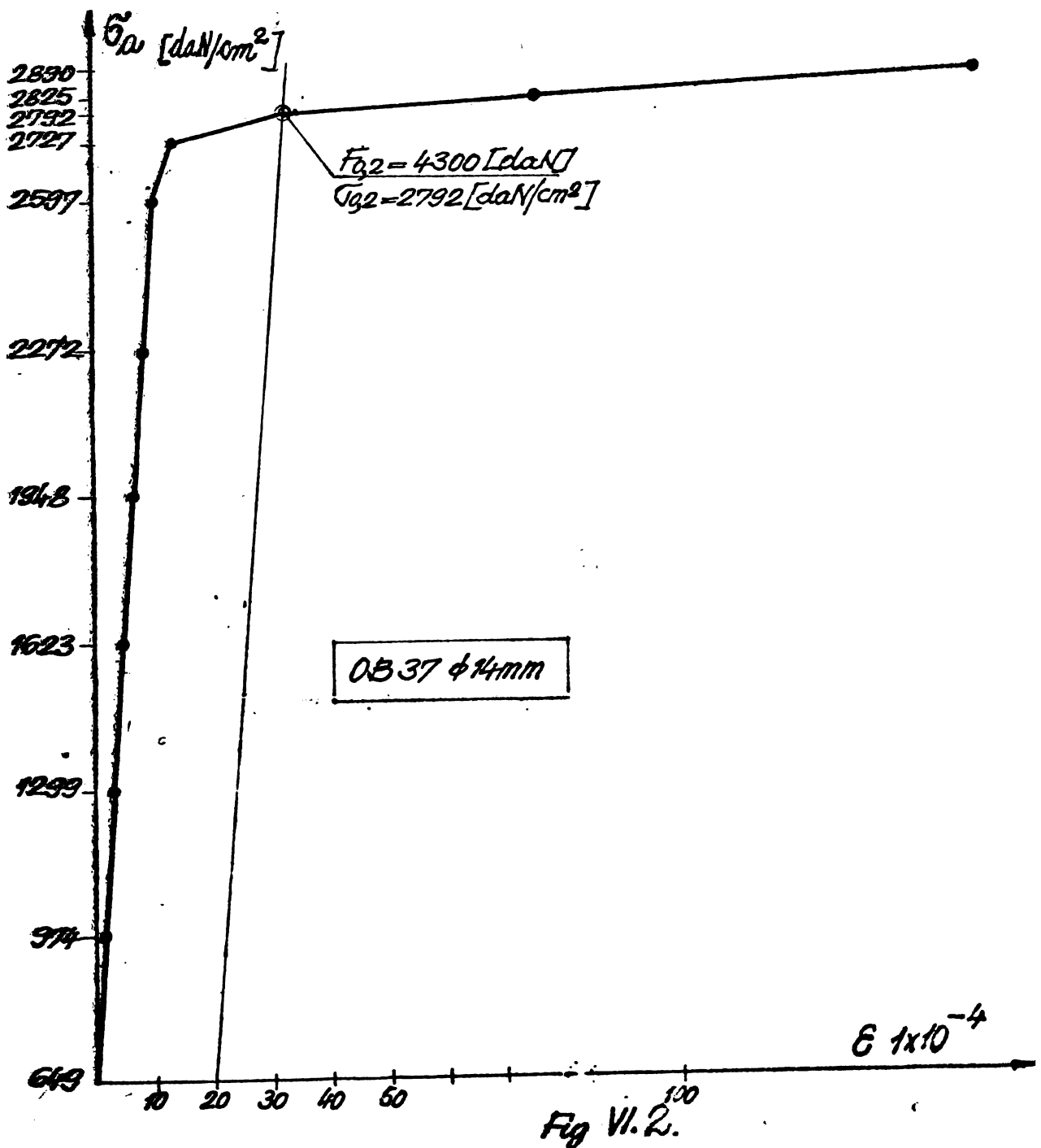
Indi- cativ	Marca betonu- lui $R_{28}$ [daN/cm <sup>2</sup> ]	Rezis- tența la com- presiune a betonu- lui în ziua încerc. $R_{bt}$ $t$ (zile)	Valoa- rea me- die a lui $R_c$ după STAS 10102/ 751a data încerc. [ $\frac{daN}{cm^2}$ ]	$R_c$ la data încercării	$R_t^*$ la data încercării	$E_b$ [daN/cm <sup>2</sup> ]	Obs.
1-1	241	$\frac{300}{t_z=64}$	243	115	16,47	292293	
1-2	259	$\frac{323}{t_z=64}$	260	124	17,23	301567	
1-3	312	$\frac{412,5}{t_z=83}$	325	154	19,99	325000	
1-4	294	$\frac{410}{t_z=105}$	323	154	19,91	323000	
2-1	238	$\frac{283}{t_z=53}$	230	109	15,87	289796	
2-2	261	$\frac{332}{t_z=69}$	267	127	17,53	305556	
2-3	269	$\frac{365}{t_z=93}$	291	138	18,57	300000	
2-4	247	$\frac{351}{t_z=115}$	280	133	18,10	302500	
3-1	204	$\frac{252}{t_z=61}$	206	98	14,75	297836	
3-2	233	$\frac{310}{t_z=84}$	250	119	16,78	300000	
3-3	226	$\frac{315}{t_z=105}$	254	121	16,96	299860	
3-4	228	$\frac{327}{t_z=119}$	263	125	17,36	302300	

\* Valoarea lui  $R_t$  s-a calculat conform STAS 10107/0-76 cu ajutorul relațiilor :  $R_t = 0,57 R_c^{2/3}$ ;  $R_t^n = (1 - 1,64 C_{R_t}) R_t$  și  $R_t = m_{bt} \cdot R_t^n / b_t$ .



Tabelul VI.4.

Diametrul [mm]	Limita de proporțio- nalitate $\sigma_p$ [daN/cm <sup>2</sup> ]	Limita de curgere inferioară $\sigma_{ci}$ [daN/cm <sup>2</sup> ]	Rezistența de rupere $\sigma_r$ [daN/cm <sup>2</sup> ]	$\delta_{0,5}$ [%]	Obs.
Ø10	2369	2810	4650	34,2	
Ø12	2336	2496	4203	34,3	
Ø14	2662	2792	4351	35,0	



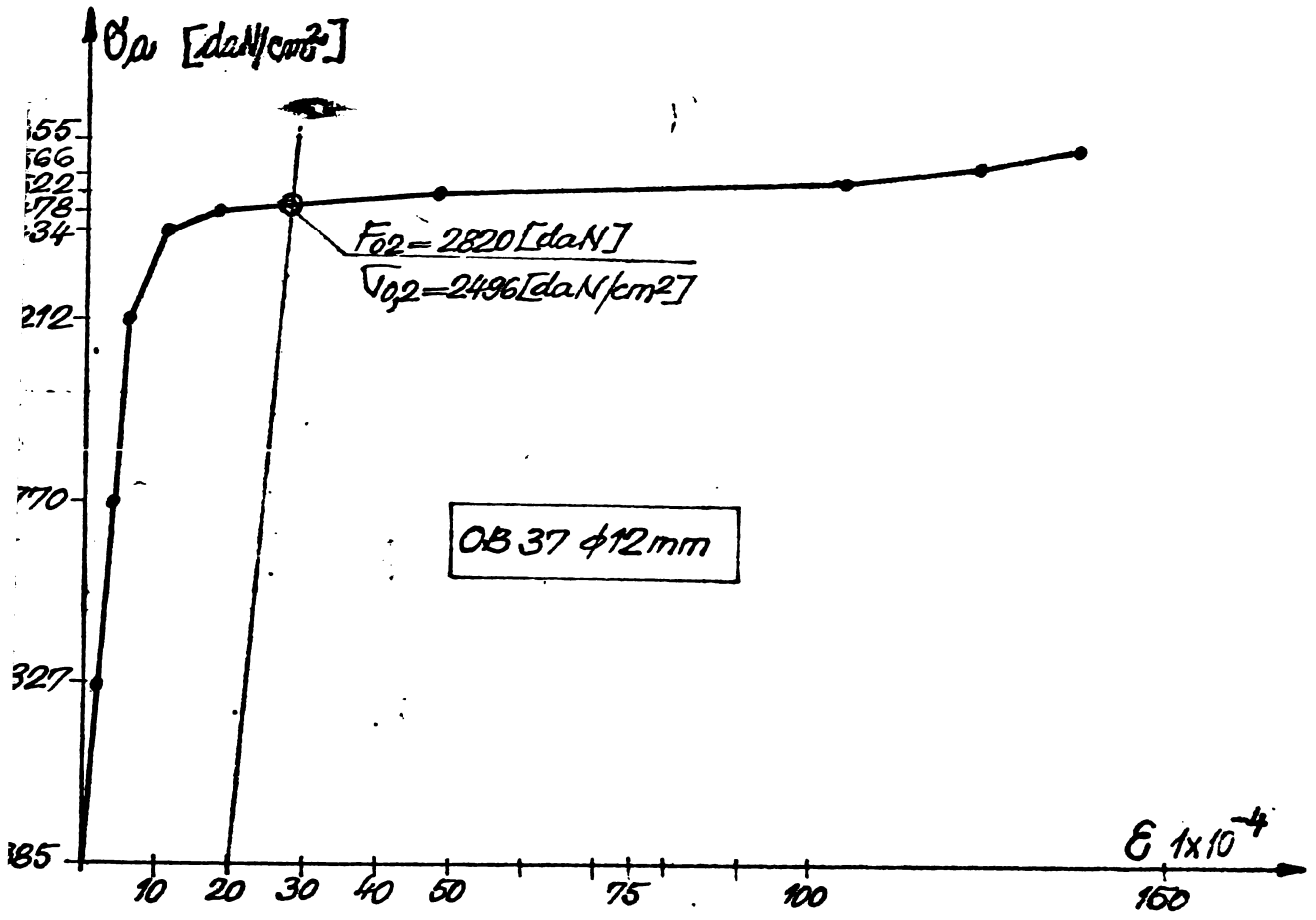


Fig. VI. 3

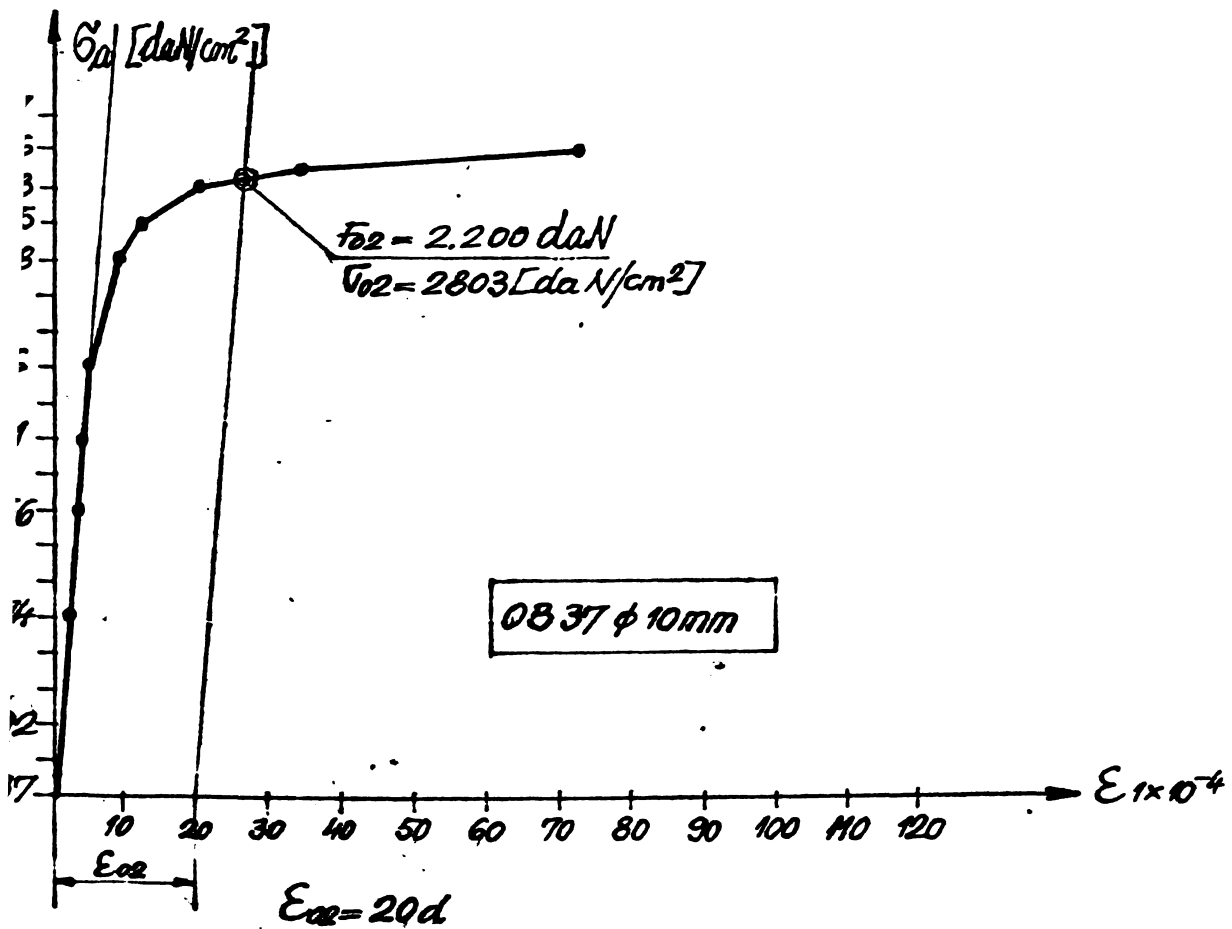
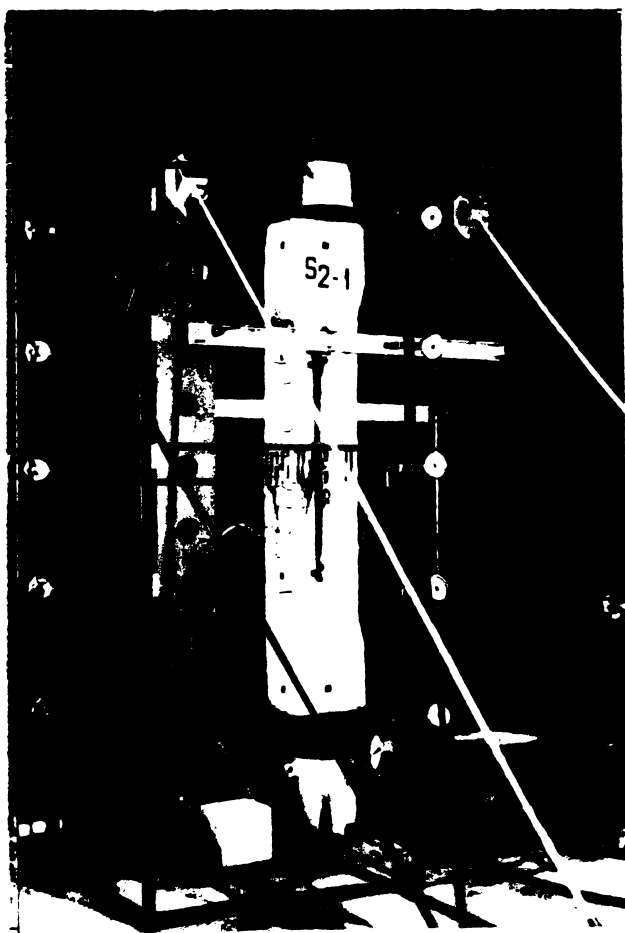


Fig. VI. 4.



*Fig. VI. 5.*

Tabelul VI.5.

Modul de încărcare a stâlpilor

CICLUL I		CICLUL II		CICLUL III
Incărcare	Descărcare	Incărcare	Descărcare	Incărcare
1. 500 kg	500 kg	1. 500 kg	500 kg	1. 500 kg
2. 1000 kg		2. 1000 kg		2. 1000 kg
3. 1500 kg		3. 1500 kg		3. 1500 kg
.		4. 2000 kg		4. 2000 kg
.		.		.
.		.		.
.		.		.
7 $P^n$ (Valoarea normală)	$P^n$	.		.
		.		.
		.		.
		.		.
		.		.
		1,2 $P^n = P$ (Valoarea de calcul)	P	.
		.		.
		.		.
		.		.
		.		.
		.		$P_r$ (Valoarea de rupere)

Deformațiile și deplasările, după axele de inerție principale, la mijlocul înălțimii stâlpilor și la sferturi, s-au măsurat cu comparatoare cu tijă, respectiv fleximetre Maximov.

În fig.VI.6 se prezintă amplasarea aparatului pentru măsurarea săgeților.

Pentru măsurarea deformațiilor din beton, s-au amplasat pe toate fețele stâlpului timbre tensometrice rezistive cu baza de măsurare  $l_0 = 100$  mm. Amplasarea acestora este arătată în fig.VI.7.

Deformațiile armăturii din zona întinsă, sau mai puțin comprimată, s-au măsurat cu timbre tensometrice rezistive, având baza de măsurare  $l_0 = 20$  mm și amplasate direct pe armături, în ferestre lăsate anume pentru acest scop, la confecționare.

6.2.2. Rezultatele încercărilor

6.2.2.1. Capacitatea portantă

Prin măsurarea deformațiilor specifice, la diferite trepte de încărcare, s-a putut urmări întreaga evoluție a deformațiilor armăturii întinse, precum și a betonului comprimat. Valorile deformațiilor

APARATELE PENTRU  
MASURAREA SAGETILOR

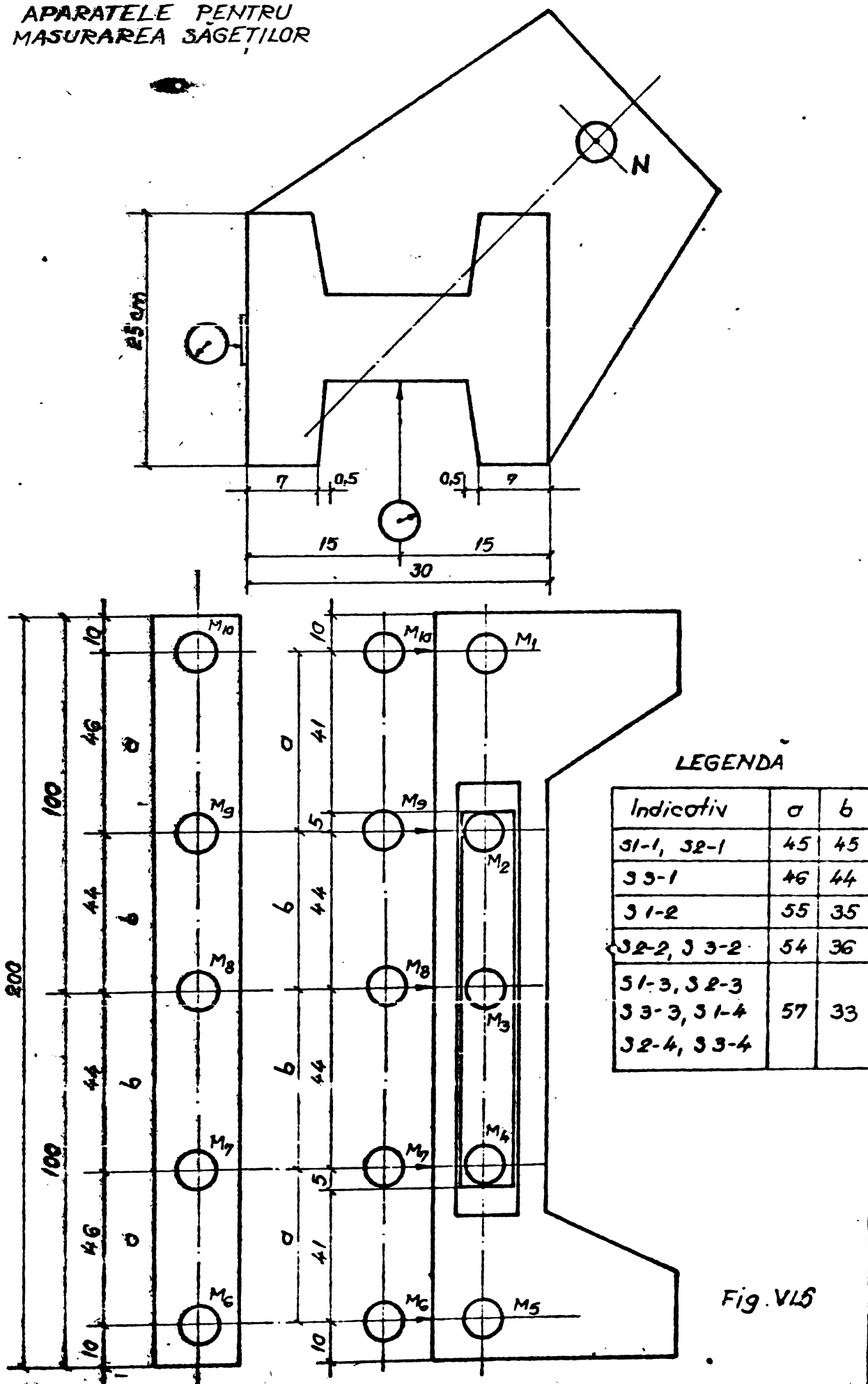


Fig. V15

Amplasarea timbrelor tensiometrice la stâlpii  
solicitati la compresiune  
excentrica oblica

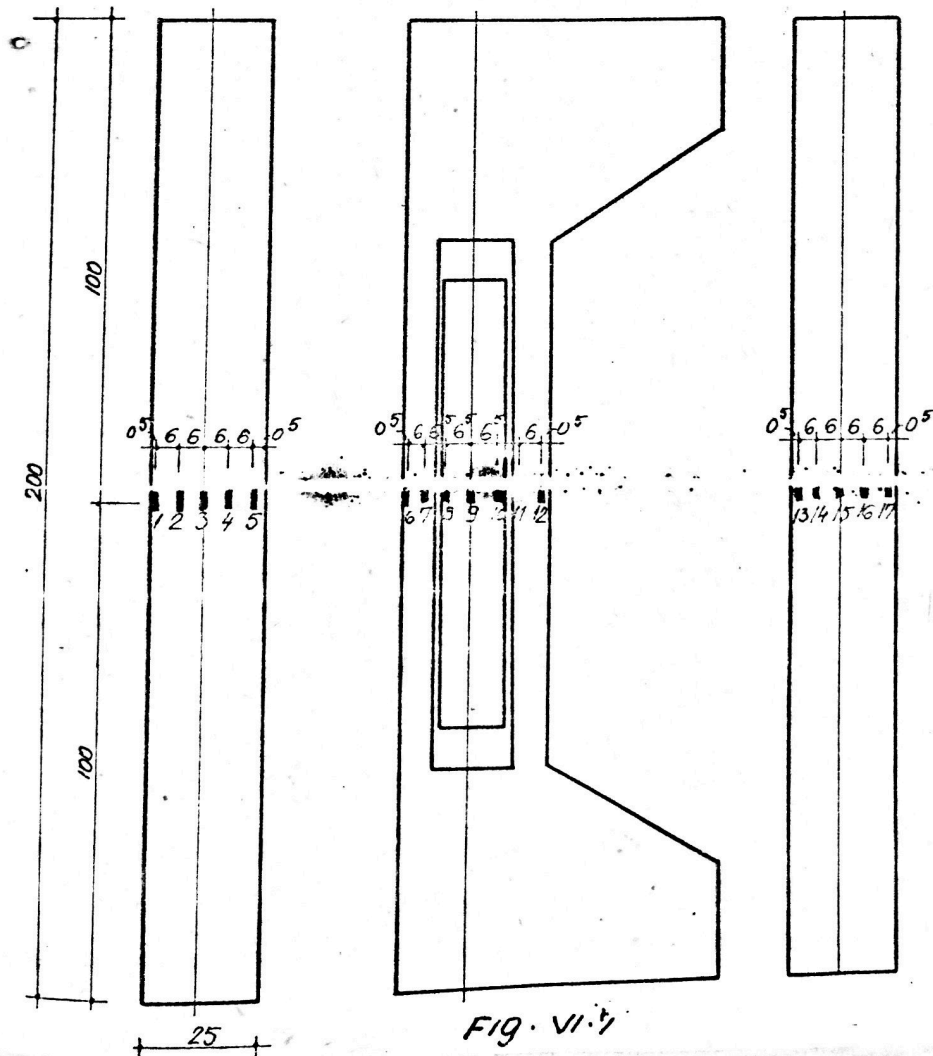
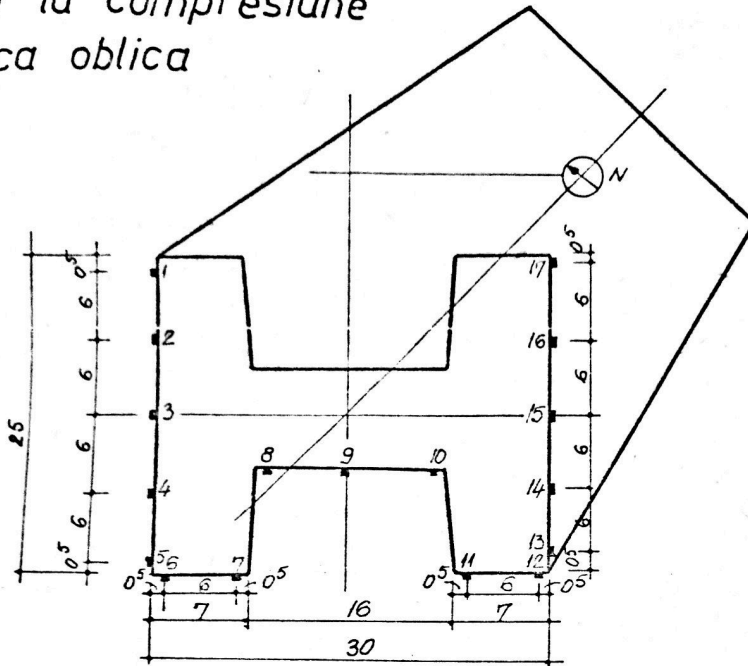


FIG. VI.7

Tabelul VI.6.

Deformații specifice din zona comprimată de beton și din armătura întinsă  
stîlpii încercați pentru diferite trepte de încărcare semnificative

Ciclu stîlp	Deformații specifice din fibra cea mai comprimată de beton în ‰			Deformații specifice ale armăturii din zona în- tinsă în ‰		
	Sub încărcări normate (ciclu 3)	Sub încărcări de calcul (ciclu 3)	La ruperea elem.	Sub înc. normate (ciclu 3)	Sub înc. de calcul (ciclu 3)	La ru- perea elem.
-1/1	0,902	1,061	2,75	0,633	0,740	2,500
-1/2	0,901	1,070	2,68	0,700	0,833	2,49
-2/1	0,970	1,130	2,53	1,01	1,16	2,73
-2/2	0,898	1,057	2,93	1,01	1,16	2,73
1-3/1	0,693	0,826	2,31	1,105	1,334	7,59
1-3/2	0,829	0,970	2,50	1,105	1,334	7,59
1-4/1	0,810	0,978	3,66	1,061	1,29	4,11
1-4/2	0,697	0,852	1,863	1,061	1,29	4,11
2-1/1	0,750	0,810	3,21	nu s-a măsurat		
2-1/2	0,93	1,080	3,15	nu s-a măsurat		
2-2/1	1,192	1,410	2,70	1,96	2,28	4,66
2-2/2	1,19	1,414	2,49	1,96	2,28	4,66
2-3/1	1,10	1,304	2,23	1,30	1,49	4,05
2-3/2	0,84	1,010	2,18	1,30	1,492	4,052
2-4/1	0,599	0,704	2,43	0,86	0,96	3,89
2-4/2	0,715	0,810	2,65	0,86	0,961	3,89
3-1/1	0,830	0,890	3,18	nu s-a măsurat		
3-1/2	0,79	0,94	2,86	nu s-a măsurat		
3-2/1	1,065	1,242	2,38	0,869	1,026	11,15
3-2/2	0,995	1,166	2,64	0,869	1,026	11,15
3-3/1	0,824	0,970	2,64	0,807	0,932	3,93
3-3/2	0,846	0,996	2,50	0,807	0,932	3,93
3-4/1	1,703	1,96	2,97	0,838	0,922	3,71
3-4/2	0,788	0,885	2,12	0,838	0,922	3,71

În betonul precomprinat și din armăturile întinse, la diferite trepte de încărcare sînt date în tabelul VI.6.

După cum rezultă din fig.(VI.2), (VI.3) și (VI.4), deformațiile specifice corespunzătoare începutului curgerii armăturilor de rezistență a fost :

- pentru diametrul de 10 mm . . . . .  $\xi_c = 1,34 \%$  ;
- pentru diametrul de 12 mm . . . . .  $\xi_c = 1,19 \%$  ;
- pentru diametrul de 14 mm . . . . .  $\xi_c = 1,33 \%$  ;

Comparînd aceste valori, cu cele prezentate în tabelul VI.6, rezultă că în momentul ruperii stîlpilor, armătura întinsă era în curgere, (deformațiile specifice măsurate au depășit valorile  $\xi_c$  din diagramele caracteristice).

Ruperea tuturor elementelor încercate, s-a produs deci prin zdrobirea betonului comprimat, precedată de curgerea armăturii.

Pentru analiza influenței parametrilor urmăriți în cadrul experimentărilor, (procentul de armare, mărimea excentricității oblice, distribuția armăturii), s-a întocmit tabelul VI.7, în care gruparea stîlpilor s-a făcut pe excentricități.

Din analiza datelor cuprinse în tabelul VI.7 rezultă :

- în general, pentru excentricități constante, cu creșterea procentului de armare, crește capacitatea portantă ;
- în cadrul micilor excentricități, ( $e_{ox}=10$  cm și  $e_{oy}=5$  cm), se remarcă și importanța mărcii betonului, deoarece capacitatea portantă depinde în mai mare măsură de calitatea betonului comprimat, (a se vedea stîlpii S1-1/2 și S3-1/1) ;
- cu creșterea mărimii excentricității oblice, capacitatea portantă scade ;
- o interesantă observație, care se desprinde din analiza tabelului VI.7 este aceea că, creșterea procentului de armare al zonei comprimate  $p'$ , aduce un mic aport la creșterea capacității portante, fenomen observat și de alți autori /32/, /89/ ;
- distribuirea armăturii, prin concentrarea acesteia în colțul întins, nu îmbunătățește simțitor forța de rupere. Aceasta este o altă interesantă remarcă, care se desprinde și din lucrările /32/, /89/ ;
- studiile experimentale, confirmă ca bune, limitele de separare dintre mică și mare excentricitate de la compresiune excentrică dreptă, aplicate și la compresiune excentrică oblică. Concluziile se bazează pe observarea modului de rupere a stîlpilor comprimați excentric oblic, încercați. Astfel, în cazul marilor excentricități, ruperea a început în stadiul II-a, prin intrarea în curgere a armăturii întinse și s-a terminat în stadiul III, prin zdrobirea betonului comprimat (ca la încovoiere). În cazul micilor excentricități, ruperea a fost asemănătoare cu cea a stîlpilor comprimați centric, atât armătura comprimată, cât și cea întinsă, fiind în curgere în momentul zdrobirii betonului comprimat.



### 6.2.2.2. Starea de deformare

Inregistrările privind variația deplasărilor [ a săgeților pe cele două direcții (x și y)], la diferite trepte de încărcare, în cadrul celor trei cicluri aplicate, sînt redată în lucrare, pentru un singur stîlp, cu rol de exemplificare, în fig.VI.8.a,b,c. Pentru cei 24 de stîlpi încercați, a se vedea anexele B<sub>1a,b,c</sub> la 24a,b,c din lucrarea /109/.

Diagramele încărcare-săgeată (P-f), după cele două direcții, obținute pe baza măsurărilor, făcute pînă la ruperea elementelor, sînt redată pentru un singur stîlp, în fig.VI.9. Pentru cei 24 de stîlpi încercați, ce se vedea anexele B<sub>1d</sub> la B<sub>24d</sub> din lucrarea /109/.

Săgețile stîlpilor încercați, obținute pe baza măsurărilor efectuate, la diferite trepte și cicluri de încărcare, sînt redată în tabelul VI.8.

### 6.2.3. Compararea rezultatelor încercărilor experimentale cu studiul teoretic

#### 6.2.3.1. Capacitatea portantă

Intrucît nici normele românești (STAS 10107/0-76, și nici normele străine (CEB-FIP, SNIP II-21-75, DIN 1045, CP-110), nu dau relații directe de calcul, pentru elemente din beton armat cu secțiunea dublu T, mai întîi au trebuit deduse aceste relații, capitolul III al prezentei lucrări avînd tocmai acest scop.

Pentru deducerea teoretică a forțelor de rupere s-a utilizat metoda de calcul la rupere.

Rezistențele de calcul pentru beton, au fost stabilite conform STAS 10102-75 cu relația :

$$\bar{R}_c = (0,87 - 0,0002 \bar{R}) \bar{R} \quad \text{kgf/cm}^2,$$

în care  $\bar{R}$  reprezintă rezistența cubică în ziua încercării, determinată pe epruvetele de control.

Rezistențele de calcul pentru armături s-au considerat valorile  $\bar{E}_{ci}$  din tabelul VI.4.

Cu relațiile de calcul stabilite în cap.III, s-au calculat capacitățile portante după cele două direcții ( $N_x$ , respectiv  $N_y$ ), precum și forța  $N_c$  [capacitatea portantă în cazul compresiunii cu excentricitatea minimă ( $e_a$ ) pe direcția laturii lungi], iar apoi cu relația lui Nikitin s-a calculat forța teoretică de rupere, oblică.



S2-1/1  
CICLUL I

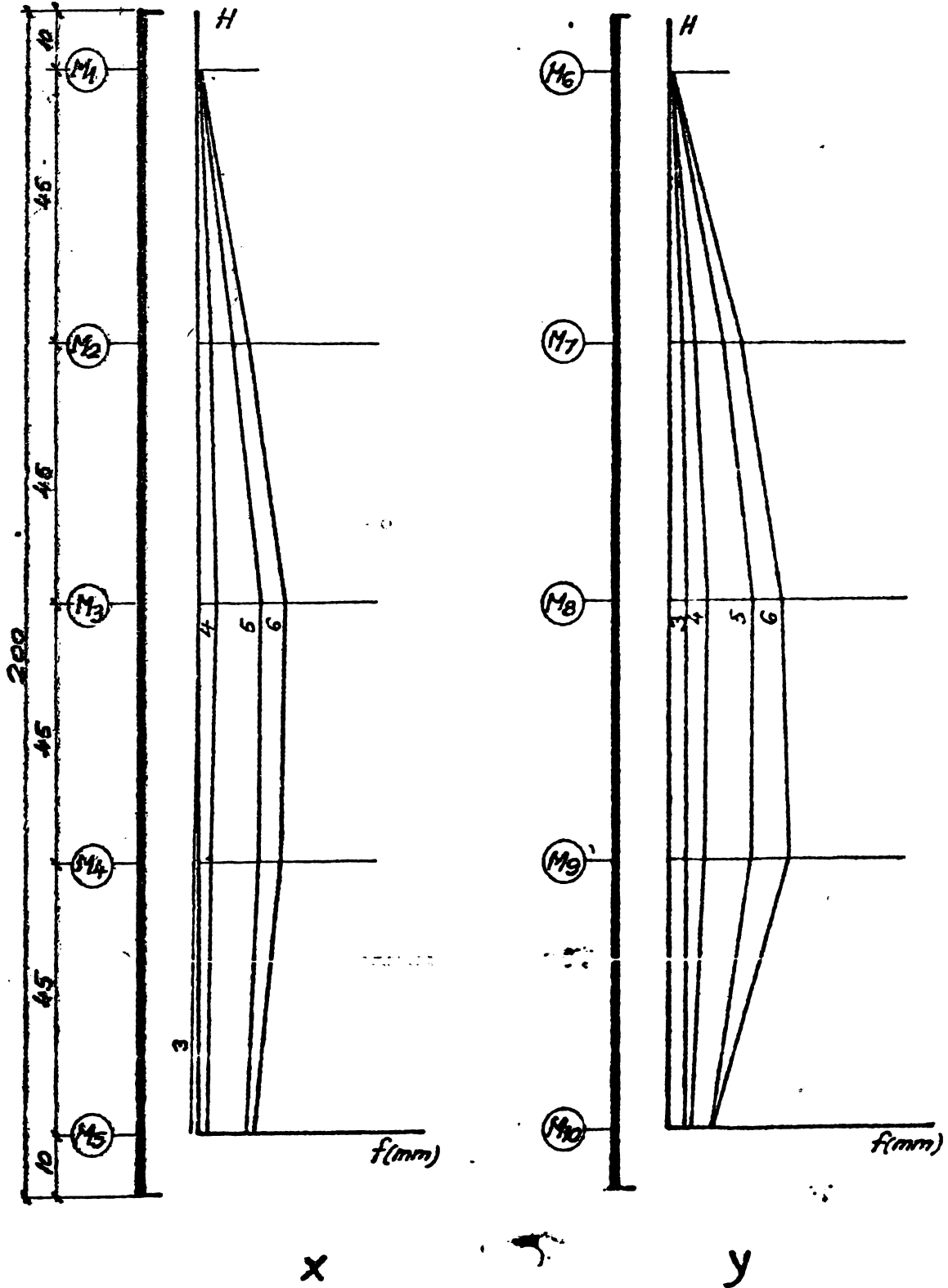


Fig. VI. 8 a.

S2-1/1  
CICLUL II

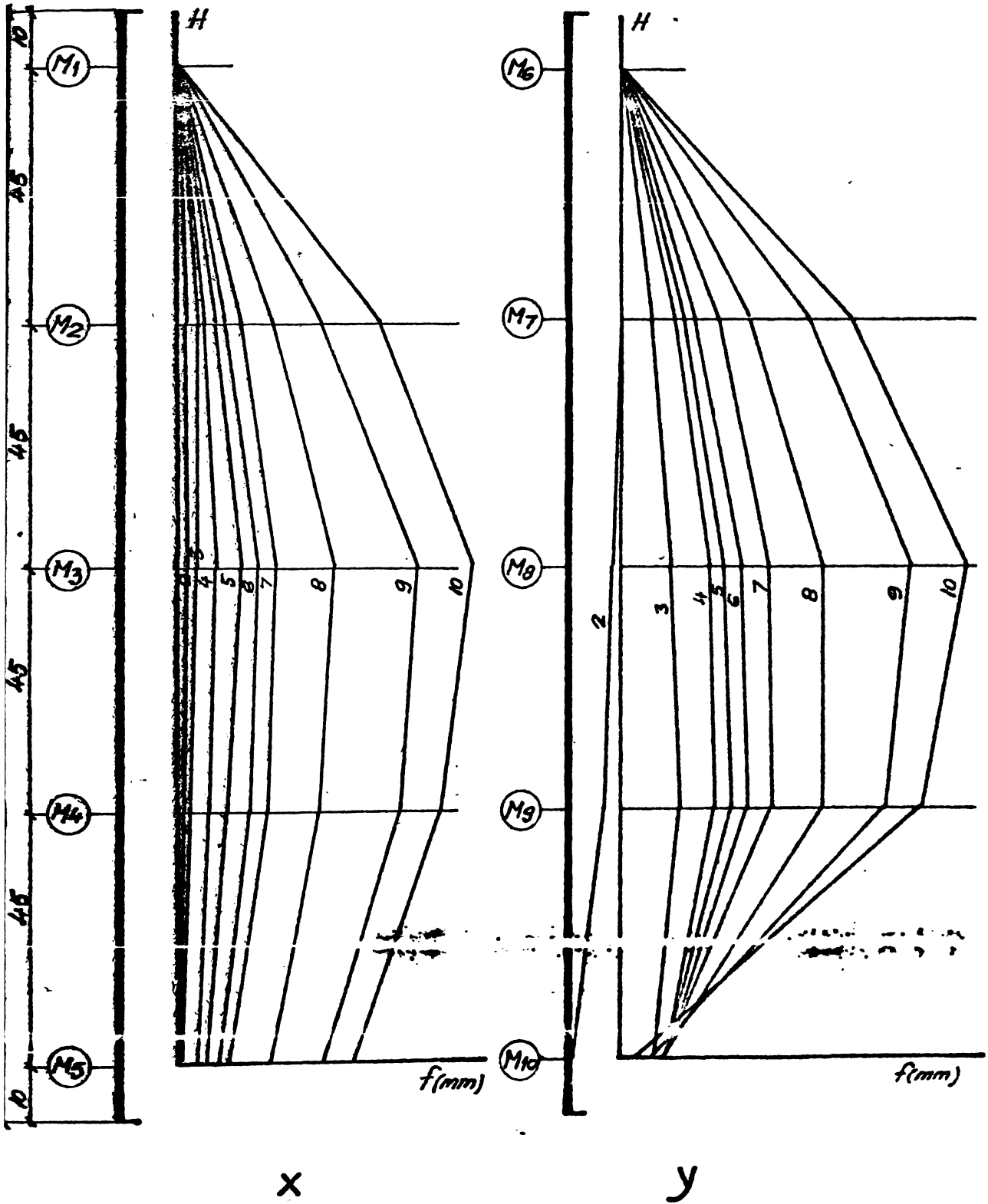
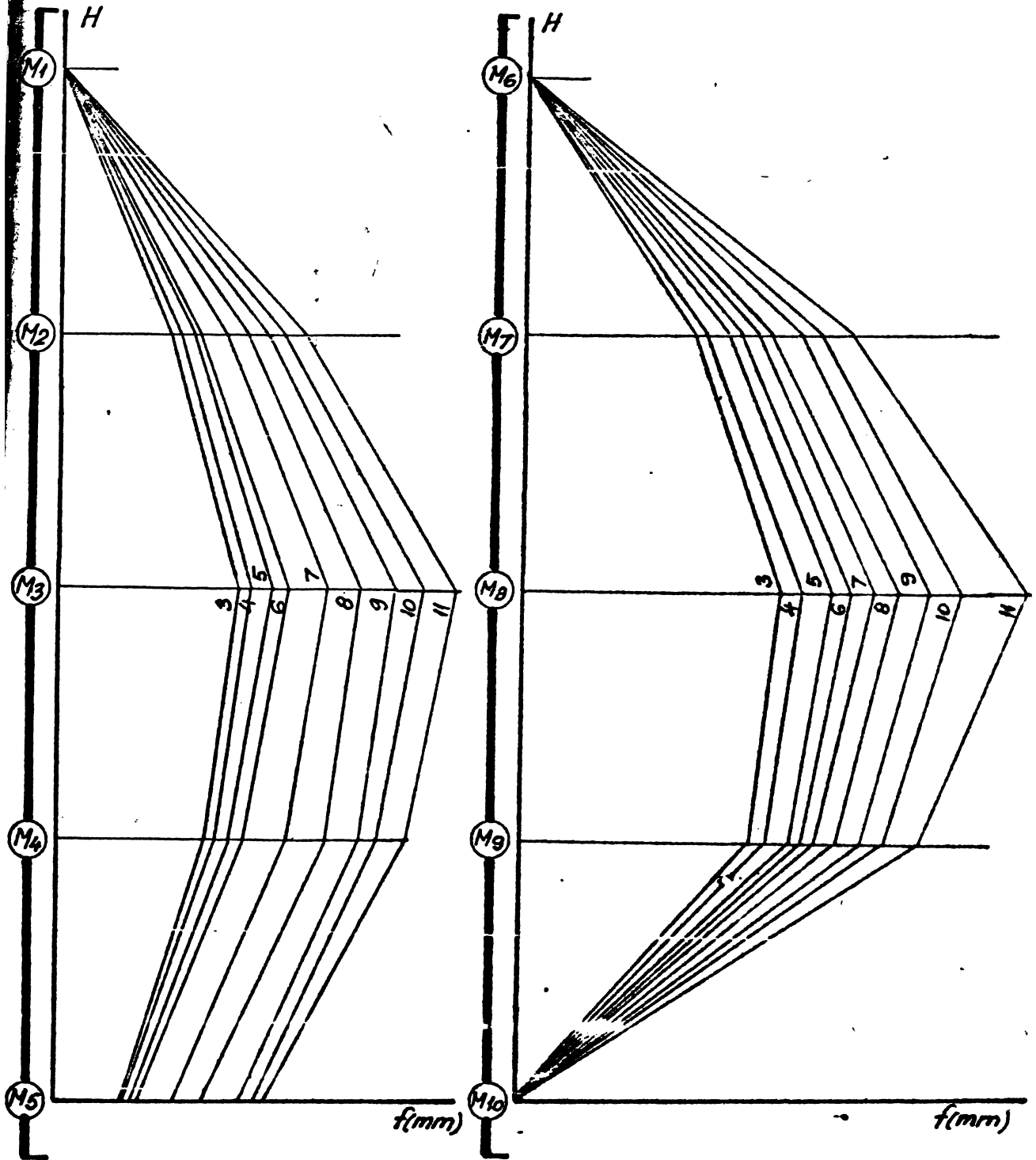


Fig. VI. 8.b.

S2-1/1  
CICLUL III



x

y

Fig. VI. 8C.

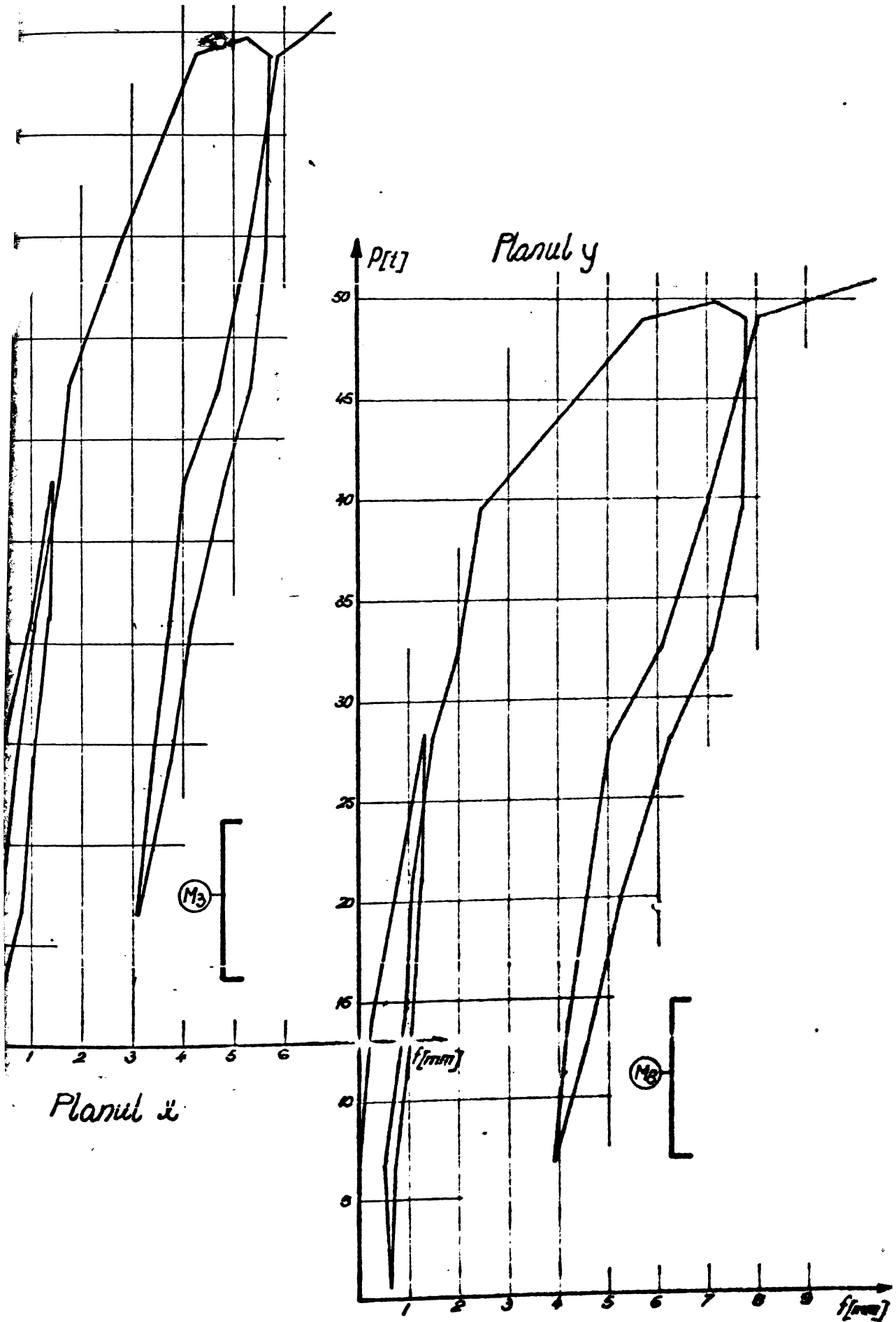


Fig. VI. 9.

Șăgețile stîlpilor încreștați la diferite cîmbluri și trepte de înălțare

Taboul VI.6.

Nr. crt.	Indiciu- tiv stîlp	Procent de scădere log- aritmică	Șăgețile la înălțarea normală (°), pentru:									Șăgețile la în- ălțare în surse longitudinale						Rețeta le de colaj		
			cîmbul 1			cîmbul 2			cîmbul 3			I	II	III	I	II	III	I	II	III
1	2-1/1	1,392	0,29	2,25	2,741	1,70	2,22	2,739	1,77	4,0	2,271	2,25	2,50	1,77	2,180	1,522	1,995	2,28		
2	2-1/2	1,797	0,797	1,44	2,281	1,49	1,45	2,281	1,4	2,042	2,25	1,20	1,514	1,70	2,26	1,521	1,997	2,27		
3	2-2/1	1,392	0,29	2,25	2,741	1,70	2,22	2,739	1,77	4,0	2,271	2,25	2,50	1,77	2,180	1,522	1,995	2,28		
4	2-2/2	1,797	0,797	1,44	2,281	1,49	1,45	2,281	1,4	2,042	2,25	1,20	1,514	1,70	2,26	1,521	1,997	2,27		
5	2-1/1	1,392	0,29	2,25	2,741	1,70	2,22	2,739	1,77	4,0	2,271	2,25	2,50	1,77	2,180	1,522	1,995	2,28		
6	2-1/2	1,797	0,797	1,44	2,281	1,49	1,45	2,281	1,4	2,042	2,25	1,20	1,514	1,70	2,26	1,521	1,997	2,27		
7	2-2/1	1,392	0,29	2,25	2,741	1,70	2,22	2,739	1,77	4,0	2,271	2,25	2,50	1,77	2,180	1,522	1,995	2,28		
8	2-2/2	1,797	0,797	1,44	2,281	1,49	1,45	2,281	1,4	2,042	2,25	1,20	1,514	1,70	2,26	1,521	1,997	2,27		
9	2-1/1	1,392	0,29	2,25	2,741	1,70	2,22	2,739	1,77	4,0	2,271	2,25	2,50	1,77	2,180	1,522	1,995	2,28		
10	2-1/2	1,797	0,797	1,44	2,281	1,49	1,45	2,281	1,4	2,042	2,25	1,20	1,514	1,70	2,26	1,521	1,997	2,27		
11	2-2/1	1,392	0,29	2,25	2,741	1,70	2,22	2,739	1,77	4,0	2,271	2,25	2,50	1,77	2,180	1,522	1,995	2,28		
12	2-2/2	1,797	0,797	1,44	2,281	1,49	1,45	2,281	1,4	2,042	2,25	1,20	1,514	1,70	2,26	1,521	1,997	2,27		
13	2-2/1	1,392	0,29	2,25	2,741	1,70	2,22	2,739	1,77	4,0	2,271	2,25	2,50	1,77	2,180	1,522	1,995	2,28		
14	2-2/2	1,797	0,797	1,44	2,281	1,49	1,45	2,281	1,4	2,042	2,25	1,20	1,514	1,70	2,26	1,521	1,997	2,27		
15	2-2/1	1,392	0,29	2,25	2,741	1,70	2,22	2,739	1,77	4,0	2,271	2,25	2,50	1,77	2,180	1,522	1,995	2,28		
16	2-2/2	1,797	0,797	1,44	2,281	1,49	1,45	2,281	1,4	2,042	2,25	1,20	1,514	1,70	2,26	1,521	1,997	2,27		
17	2-1/1	1,392	0,29	2,25	2,741	1,70	2,22	2,739	1,77	4,0	2,271	2,25	2,50	1,77	2,180	1,522	1,995	2,28		
18	2-1/2	1,797	0,797	1,44	2,281	1,49	1,45	2,281	1,4	2,042	2,25	1,20	1,514	1,70	2,26	1,521	1,997	2,27		
19	2-2/1	1,392	0,29	2,25	2,741	1,70	2,22	2,739	1,77	4,0	2,271	2,25	2,50	1,77	2,180	1,522	1,995	2,28		
20	2-2/2	1,797	0,797	1,44	2,281	1,49	1,45	2,281	1,4	2,042	2,25	1,20	1,514	1,70	2,26	1,521	1,997	2,27		
21	2-2/1	1,392	0,29	2,25	2,741	1,70	2,22	2,739	1,77	4,0	2,271	2,25	2,50	1,77	2,180	1,522	1,995	2,28		
22	2-2/2	1,797	0,797	1,44	2,281	1,49	1,45	2,281	1,4	2,042	2,25	1,20	1,514	1,70	2,26	1,521	1,997	2,27		
23	2-2/1	1,392	0,29	2,25	2,741	1,70	2,22	2,739	1,77	4,0	2,271	2,25	2,50	1,77	2,180	1,522	1,995	2,28		
24	2-2/2	1,797	0,797	1,44	2,281	1,49	1,45	2,281	1,4	2,042	2,25	1,20	1,514	1,70	2,26	1,521	1,997	2,27		
25	2-2/1	1,392	0,29	2,25	2,741	1,70	2,22	2,739	1,77	4,0	2,271	2,25	2,50	1,77	2,180	1,522	1,995	2,28		
26	2-2/2	1,797	0,797	1,44	2,281	1,49	1,45	2,281	1,4	2,042	2,25	1,20	1,514	1,70	2,26	1,521	1,997	2,27		

In tabelul VI.7 sînt prezentate valorile forțelor de rupere, calculate teoretic și obținute experimental.

Din analiza datelor cuprinse în acest tabel rezultă :

- diferențele dintre forțele de rupere experimentale și forțele de rupere calculate teoretic, variază de la +25,50 % la -16,57 % ;

- din cei 24 de stîlpi încercați, diferențele sînt pozitive ( $N_r^{exp.} > N_r^{teoretic}$ ), la 8 stîlpi, ceea ce reprezintă 33,33 % și negative ( $N_r^{exp.} < N_r^{teoretic}$ ), la 66,67 % ;

- la stîlpii cu excentricități mici ( $e_{ox}=10$  cm ;  $e_{oy}=5$  cm), se subliniază faptul că, forța de rupere calculată teoretic este mai mare decît forța de rupere obținută experimental, contrar supozițiilor teoretice. Variația diferențelor este cuprinsă între -7,45 % și -14,48 %, cu o medie de -10,00 % ;

- la mari excentricități ( $e_{ox}=20$  cm ;  $e_{oy}=20$  cm), se remarcă că, forța de rupere calculată teoretic este mai mică decît forța de rupere obținută experimental, aspect deasemenea contrar supozițiilor teoretice. Variația diferențelor pozitive este însă în limite largi, cuprinsă între +0,55% la +25,50%. Cît privește variația negativă, aceasta este una singură și are valoarea -11,68%.

Concluzia care se desprinde este aceea că relația lui Nikitin este fie prea acoperitoare fie prea descoperitoare.

#### 6.2.3.2. Starea limită de deformare

In urma analizei măsurărilor deplasărilor (săgeților), stîlpilor încercați, la diferite trepte de încărcare, (normate, de calcul, de rupere), săgeți redată în tabelul VI.8, rezultă următoarele concluzii :

- sub acțiunea încărcărilor ~~normate~~, la toți stîlpii se observă o comportare elastică, în toate cele trei cicluri de încărcare (chiar după fisurare deci). La toți stîlpii încercați, săgeata maximă a fost mult mai mică decît săgeata admisă în norme ;

- la stîlpii la care au apărut fisuri, sub acțiunea încărcării normate, după descărcare s-au observat deformații remanente foarte mici (0,05-0,1 mm), ceea ce este în concordanță cu fenomenul lunecării locale între beton și armătură, la apariția fisurilor și de reducere a rigidității de ansamblu, datorită procesului de fisurare. Acest fenomen, a fost mai pronunțat la stîlpii la care excentricitățile sînt mari după cele două direcții ( $e_{ox}=e_{oy}=20$  cm) ;



- în tabelul VI.8, au fost trecute și săgețile stîlpilor, răspunzătoare intrării în curgere a armăturilor longitudinale, geți notate cu  $f_r$ . Valorile lui  $f_r$  au rezultate din diagramele  $f$  și  $P-\mathcal{E}_\epsilon$ . Si valorile săgeților  $f_r$  au fost mici, cuprinse între 7 și 4,7 mm, ceea ce arată că stabilitatea stîlpilor sub acțiunea celor două solicitări  $M$  și  $N$  este asigurată.

Raportul  $f_r/f$  a variat între 1,1 și 1,58, în funcție de dul de armare și de valoarea excentricităților, raport considerat satisfăcător, din punctul de vedere al siguranței deformații-

- s-au măsurat și săgețile stîlpilor la cedarea prin colaps, acestea variind între 12,48 și 46,58 mm. Raportul  $f_{\text{colaps}}/f_r=1,7-1,3$ , arată că în caz de cutremur este asigurată ductilitatea minimă necesară.

### 6.3. Stabilirea, pe cale experimentală, a legii de variație a momentului oblic, sub forță axială constantă. Analiza experimentală a exponentului $\beta$ și a deformației celei mai comprimate fibre de beton

#### 6.3.1. Proiectarea și executarea elementelor experimentale

La conceperea acestor elemente experimentale, s-a avut în vedere, trasarea curbei de interacțiune  $M_x-M_y$ , sub forță axială  $N$ , constantă, prin patru puncte obținute experimental. Două puncte sînt prezentate de momentele încovoietoare de rupere în planul  $x$  și respectiv  $y$ . Celelalte două puncte se obțin prin înclinarea planului forței cu  $30^\circ$  și respectiv  $60^\circ$  față de axa  $x$  și prin momentele de rupere obținute experimental sub aceste înclinații.

Pentru evitarea consolelor, inclinate diferit de la stîlp stîlp, care necesitau o execuție greoaie, s-a adoptat sistemul plăci metalice înglobate în capetele stîlpilor. De aceste plăci au sudat console metalice la înclinațiile de mai sus.

S-au confecționat opt stîlpi identici ca armare și ca marcă betonului. Patru stîlpi s-au încercat sub o forță axială relativă  $n = \frac{N}{A_b R_c} = 0,106 (N=9000 \text{ kgf})$  iar ceilalți patru s-au încercat sub forță axială relativă  $n = \frac{N}{A_b R_c} = 0,403 (N=19500)$ .

Dimensiunile și alcătuirea stîlpilor sînt redată în fig.

10.

Rețeta utilizată pentru  $1 \text{ m}^3$  beton proaspăt a fost :

- ciment PZ 400

350 kg

- apă

210 l

- agregate 0-7 mm                    950 kg
- agregate 9-16 mm                 950 kg
- 
- 2460 kg/m<sup>3</sup>

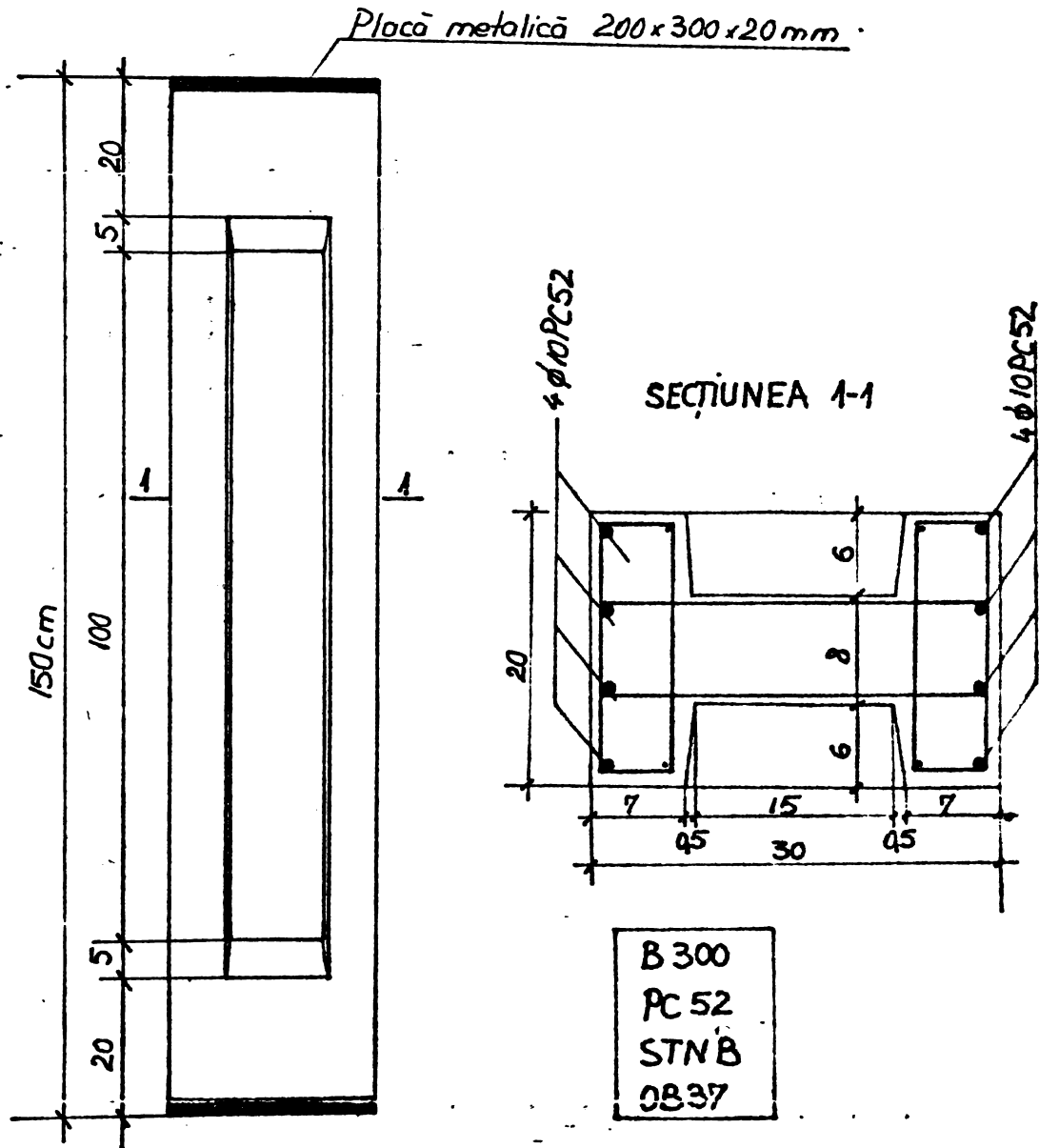


Fig.VI.10. Dimensiunile și alcătuirea stîlpilor.

Pentru măsurarea deformațiilor betonului și armăturilor, în zona de mijloc a stîlpului au fost lipite timbre tensometrice.

În cazurile cînd forța a acționat excentric oblic, pe muchia cea mai comprimată de beton, s-au amplasat microcomparatoare 1/100, pentru înregistrarea deformației acestei fibre (cea mai comprimată).

După unii cercetători, [32], [89] deformația acestei fibre ar depăși 3,5 ‰ din cauză că efectul armăturii se extinde asupra întregii zone comprimate și se resimte puternic, mărind prin acestea cap

itatea de deformare a acestei fibre comprimate (efectul de confiaj). Metodologia de încercare a fost cea prezentată la punctul 2.1.2, în ideea păstrării aceluiași condiții de încercare.

6.3.2. Rezultatele încercărilor

a) Prima serie de patru stâlpi, la care factorul de compresiune  $n = \frac{N}{A_b R_c} = 0,186$

Impunându-se factorul de compresiune, forța axială excentrică  $N$  a rezultat egală cu 9000 kgf. Din calculul la compresiune excentrică dreaptă în planul  $x$  a rezultat mărimea momentului de rupere  $M_x = 304391$  kgfcm, iar analog în planul  $y$ ,  $M_y = 217629$  kgfcm. În urma încercărilor experimentale s-au obținut valorile  $M_x^{ex} = 609960$  kgfcm și  $M_y^{ex} = 241800$  kgfcm.

Intr-un sistem de axe  $x, y$ , reprezentînd axele de simetrie ale stîlpului, s-au înregistrat valorile experimentale ale momentelor de rupere (fig.VI.11) (punctele 1 și 2).

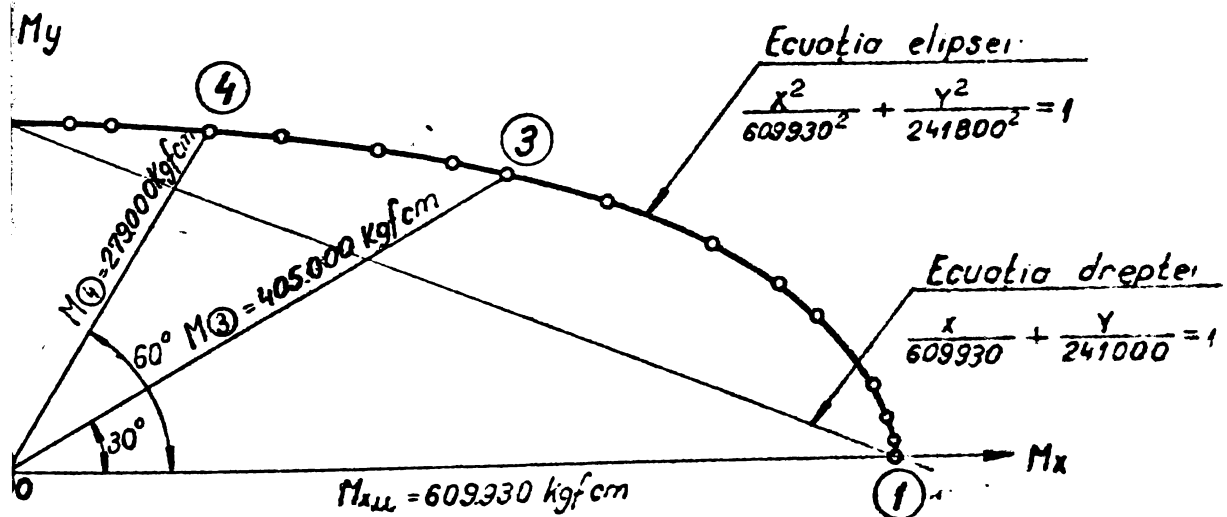


Fig.VI.11. Curba de interacțiune  $M_x - M_y$  sub forța axială relativă  $n=0,186$  - CONSTANTĂ ( $N=9000$  kgf)

S-a arătat în lucrare că, între punctele 1 și 2, importante de a fi luate în considerare sînt, fie dreapta care trece prin punctele 1 și 2, (ecuația dreptei prin tăieturi fiind  $\frac{x}{a} + \frac{y}{b} - 1 = 0$ ), fie elipsa care trece prin aceste puncte, (ecuația elipsei raportată la axe fiind  $\frac{x^2}{a^2} + \frac{y^2}{b^2} - 1 = 0$ , în care  $a$  și  $b$  sînt lungimile semiaxelor).

Trasîndu-se elipsa, ale cărei semiaxe sînt  $M_x^{ex}$  și  $M_y^{ex}$ , se observă că momentele oblice cad valoric în fig.VI.11 exact pe elipsă.

b) A doua serie de patru stâlpi, la care factorul de compresiune  $n = 0,403$ .

S-a procedat similar ca în cazul a, rezultatele fiind prezentate în fig.VI.12.

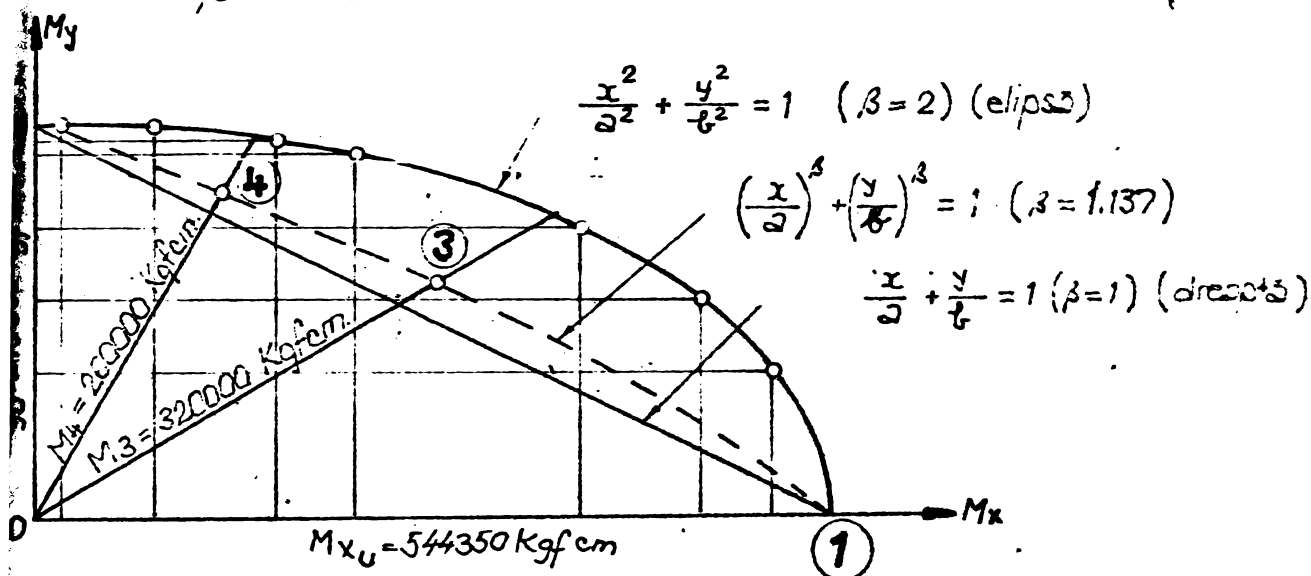


Fig.VI.12. Curba de interacțiune  $M_x - M_y$ , sub forță axială relativă  $n=0,403$  - CONSTANTA ( $N=19500$ ).

Se remarcă în fig.VI.12 că punctele 3 și 4, (obținute experimental) cad undeva între dreapta 1 - 2 și elipsa 1 - 2.

Referitor la legea de variație a momentului încovoierilor oblice sub forță axială constantă, în urma celor două serii de stâlpi încercați, rezultă concluzia că și pentru secțiuni dublu T legea de variație este de la dreaptă la elipsă. Ca și în remarcile altor autori și încercările experimentale de față arată că, cu creșterea forței axiale, legea de variație a momentului încovoierilor oblice se apropie de dreaptă, în timp ce la valori mici ale forței axiale, legea de variație a momentului încovoierilor oblice este elipsă.

Pe lângă valoarea forței axiale, mai sînt și alți parametri care influențează variația momentului încovoierilor oblice cum ar fi modul de distribuție a armăturii pe secțiunea transversală etc.

Referitor la exponentul  $\beta$ , cele două serii de încercări pun în evidență faptul că, în timp ce la prima serie, în care  $n=0,186$ , valoarea lui  $\beta$  este 2 (punctele 3 și 4 situîndu-se pe elipsa teoretică la a doua serie de încercări, punctele 3 și 4 se situează pe curba care are ecuația (II.24), în care  $\beta$  are valoarea 1,37 corespunzătoare forței axiale relative  $n=0,403$ . Puținele încercări experimentale referitoare la exponentul  $\beta$ , confirmă că valorile acestui exponent, prevă

sute în proiectul de standard 10107/0-84, se pot accepta și pentru secțiuni dublu T, fiind acoperitoare. Pentru îmbunătățirea valorilor lui  $\beta$ , sînt necesare încercări experimentale suplimentare, astfel ca prin prelucrarea statistică a datelor experimentale să se obțină confirmarea valorilor lui  $\beta$ , date în Proiectul de standard.

Studiul teoretic întreprins asupra variației exponentului  $\beta$ , în cazul relației lui Nikitin, arată că  $\beta$  are o variație de sens contrar cu variația lui  $\beta$  dată de Proiectul de standard (a se vedea fig.VI.13), concluzie desprinsă și din lucrarea [32], ceea ce înseamnă că relația lui Nikitin este fie prea acoperitoare, fie prea descoperitoare.

Pe domeniul practicii construcțiilor ( $n=0,1-0,4$ ) valorile lui  $\beta$  după Nikitin sînt mai mari ca valorile lui  $\beta$  prevăzute în Proiectul de standard, ceea ce face ca relația II.24 să nu fie respectată, deci că pe domeniul de mai sus relația lui Nikitin este descoperitoare.

În ceea ce privește deformația celei mai comprimate fibre de beton, în cazul stîlpilor solicitați excentric oblic, pentru

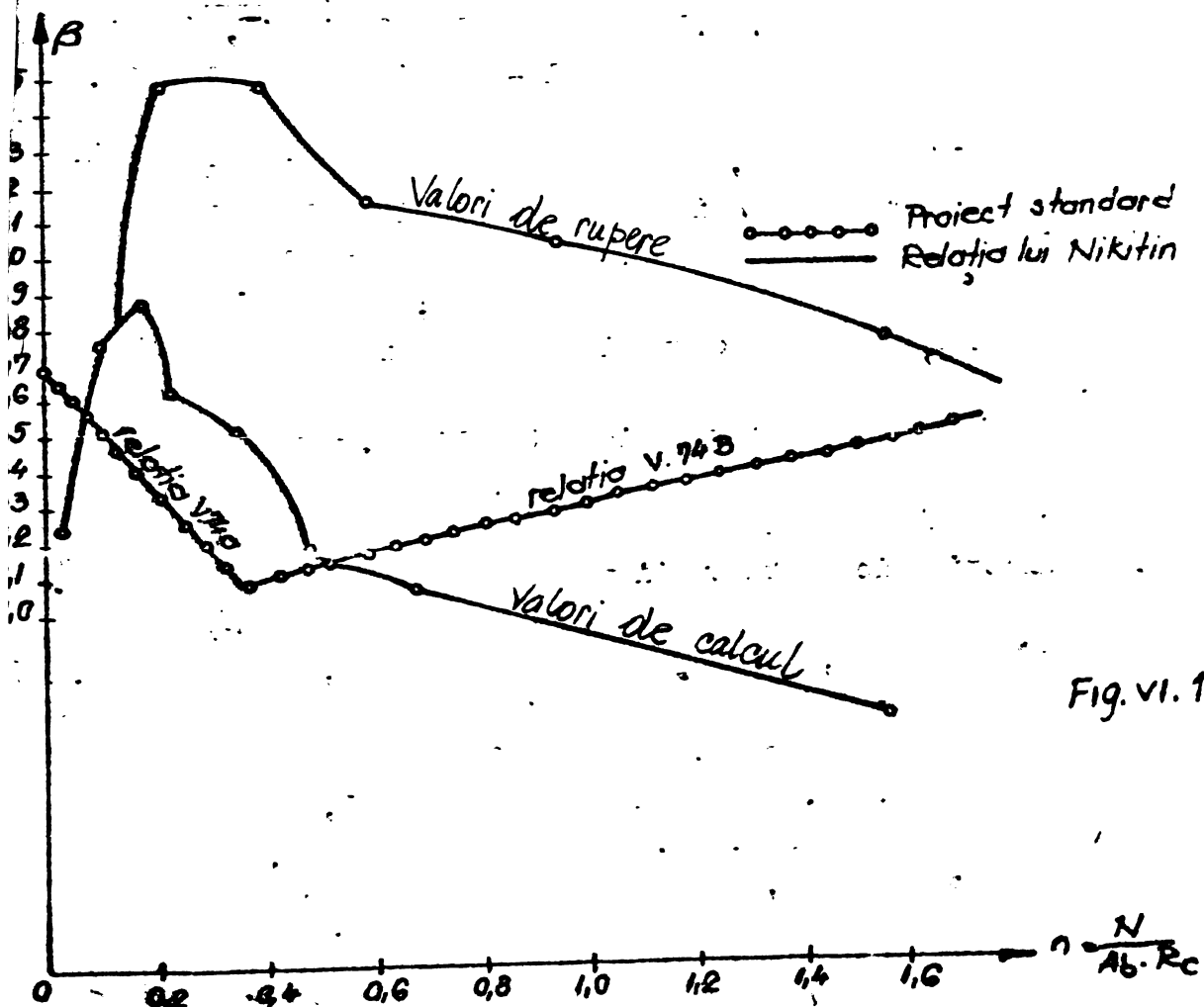


Fig. VI. 13.

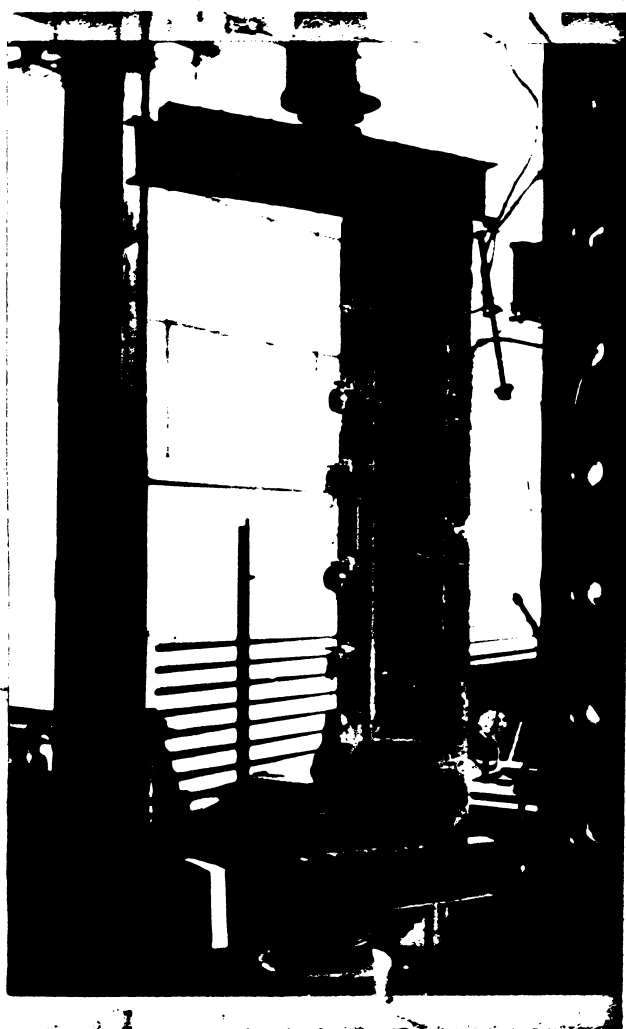


Fig.VI.14.

măsurarea acesteia, stâlpii au fost prevăzuți cu microcompara-toare, cu precizia de 1/100 mm, amplasate ca în fig.VI.14.

Rezultatele măsurătorilor sînt prezentate în tabelul VI.9.

După cum rezultă din tabe-lul VI.9, deformațiile măsurate depășesc cu mult deformațiile de calcul. Deformațiile cresc cu creșterea mărcii betonului, precum și în funcție de înclina-ția planului de acțiune a forței, (fiind maximă pentru înclinația în jur de 45°).

De asemenea procentul de ar-mare transversal ( $p_e$ ), influen-țează puternic deformația celei mai comprimate fibre de beton. Acest parametru însă, nu a fost variat în cadrul încercărilor experimentale.

Incercările efectuate, fiind puține ca număr, nu se poate tra-ge, numai pe baza acestora, o

concluzie riguroasă. O asemenea concluzie ar rezulta în urma unui nu-măr suficient de mare de măsurători, printr-o prelucrare statistică.

Tabelul VI.9.

Indicativ stîlp	Seria	$\epsilon_b$	$R_b$ kgf/cm <sup>2</sup>	$p\%$	$p_t\%$	Obs.
S3	I	2 ‰	307	1,5169	0,389	30° de axa maximă
S4		8,7 ‰	400			60° "
S3	II	5 ‰	240			30° "
S4		9 ‰	307			60° "

6.4. Studiu comparativ, între relația lui Nikitin și relația propusă în Proiectul de standard 10107/0-84  
Pentru acest studiu s-a ales stîlpul 11-4/1, armat simetric.

s-au trasat diagramele  $M_0-N$ , pentru înclinația planului de acțiune al momentului încovoietor oblic la  $45^\circ$ , față de o axă principală, în cazul celor două procedee de calcul.

În cazul relației lui Nikitin, un punct al curbei  $M_0-N$ , s-a obținut, alegând o valoare a excentricității oblice, ( $e_0$ ) determinând componentele ei pe axele principale ( $e_x$  și  $e_y$ ), forțele axiale  $N_x$  și  $N_y$ , pe care secțiunea le poate suporta pe axele principale, cu excentricitățile  $e_x$  și  $e_y$ , precum și forța  $N_c$ , corespunzătoare excentricității adiționale pe direcția laturii lungi. Cu relația lui Nikitin s-a calculat apoi forța excentrică oblică  $N$ , iar momentul încovoietor oblic  $M_0 = N \cdot e_0$ .

În cazul relației de calcul propusă de Proiectul de standard, în punct al curbei  $M_0-N$ , s-a obținut determinând momentele capabile ale secțiunii, pe direcțiile principale  $x$  și  $y$ , corespunzătoare forțelor axiale oblice  $N$ , stabilite cu relația lui Nikitin. Momentele de calcul  $M_x$  și  $M_y$  s-au calculat conform relației II.24, în care valoarea lui  $\beta$  s-a calculat cu relațiile V.74.a și V.74.b, în funcție de valoarea factorului de compresiune  $n = N/A_b R_c$ . Cu momentele de calcul  $M_x$  și  $M_y$  astfel determinate, s-a calculat momentul încovoietor oblic  $M_0$ , sub înclinația de  $45^\circ$  față de o axă principală.

Rezultatele calculului sînt redată în tabelele VI.10.a și VI.10.b, pe baza cărora s-au întocmit diagramele din fig.VI.15.

Din analiza celor două curbe  $M_0-N$  trasate pentru valorile limită ale rezistențelor betonului ( $R_c$ ) și armăturii ( $R_a$ ) rezultă că folosirea procedurii propusă de Proiectul de standard duce la valori mai acoperitoare decît folosirea relației lui Nikitin, mai ales pe domeniul  $n = \frac{N}{A_b R_c} = 0,15-0,50$ , domeniul uzual întîlnit în practică.

În raport cu valorile obținute experimental, relația lui Nikitin dă valori de calcul foarte apropiate de valorile experimentale ale momentului încovoietor oblic, în timp ce relația propusă de Proiectul de standard dă valori acoperitoare (cu circa 20%).

Dacă curbele  $M_0-N$  se trasează, utilizînd valorile de calcul ale rezistențelor betonului ( $R_c$ ) și ale armăturii ( $R_a$ ), se remarcă o abatere a valorilor pe domeniul  $N$  cuprins între 10000 kgf-30000 kgf, (corespunzînd factorului de compresiune  $n=0,13 - 0,40$ ). Dacă se corelează acest lucru cu variația lui  $\beta$  în funcție de  $n$ , din fig.VI.13 se remarcă pe același domeniu ( $n=0,1-0,4$ ) valorile lui  $\beta$  după relația lui Nikitin, sînt mai mari ca valorile prevăzute în Proiectul de standard, ceea ce este descoperitor; intrucît relația

Tabloul V.10.a

Calculul după metoda la supra

X <sub>0000</sub> Punct cotei [cm]	Stabilită în timp			Punctul standard 10107/0-84		
	X <sub>z</sub>	Y <sub>y</sub>	H <sub>g</sub> [kg]	X <sub>0</sub>	Y <sub>0</sub>	H <sub>0</sub> [kg]
5.00	136557.57	137375.21	152159.77	136497.64	137375.21	152159.77
10.00	137771.48	138316.197	152152.77	137692.64	138316.197	152152.77
15.00	139047.417	139272.002	152150.77	138968.58	139272.002	152150.77
20.00	140385.357	140241.735	152149.79	140256.517	140241.735	152149.79
25.00	141785.27	141224.744	152149.77	141556.431	141224.744	152149.77
30.00	143247.166	142221.332	152149.77	142867.344	142221.332	152149.77
35.00	144771.053	143232.002	152149.77	144189.257	143232.002	152149.77
40.00	146356.939	144256.43	152149.77	145522.170	144256.43	152149.77
45.00	147993.826	145294.28	152149.77	146866.083	145294.28	152149.77
50.00	149681.713	146345.27	152149.77	148220.996	146345.27	152149.77
55.00	151420.600	147409.28	152149.77	149586.909	147409.28	152149.77
60.00	153210.487	148486.29	152149.77	150963.822	148486.29	152149.77
65.00	155051.374	149576.30	152149.77	152351.735	149576.30	152149.77
70.00	156943.261	150679.31	152149.77	153750.648	150679.31	152149.77
75.00	158886.148	151795.32	152149.77	155160.561	151795.32	152149.77
80.00	160889.035	152924.33	152149.77	156581.474	152924.33	152149.77
85.00	162951.922	154066.34	152149.77	158013.387	154066.34	152149.77
90.00	165074.809	155221.35	152149.77	159456.300	155221.35	152149.77
95.00	167257.696	156389.36	152149.77	160910.213	156389.36	152149.77
100.00	169499.583	157569.37	152149.77	162375.126	157569.37	152149.77

Tabloul V.10.b

Calculul cu vârstă de calcul

X <sub>0000</sub> Punct cotei [cm]	Stabilită în timp			Punctul standard 10107/0-84		
	X <sub>z</sub>	Y <sub>y</sub>	H <sub>g</sub> [kg]	X <sub>0</sub>	Y <sub>0</sub>	H <sub>0</sub> [kg]
5.00	136557.57	137375.21	152159.77	136497.64	137375.21	152159.77
10.00	137771.48	138316.197	152152.77	137692.64	138316.197	152152.77
15.00	139047.417	139272.002	152150.77	138968.58	139272.002	152150.77
20.00	140385.357	140241.735	152149.79	140256.517	140241.735	152149.79
25.00	141785.27	141224.744	152149.77	141556.431	141224.744	152149.77
30.00	143247.166	142221.332	152149.77	142867.344	142221.332	152149.77
35.00	144771.053	143232.002	152149.77	144189.257	143232.002	152149.77
40.00	146356.939	144256.43	152149.77	145522.170	144256.43	152149.77
45.00	147993.826	145294.28	152149.77	146866.083	145294.28	152149.77
50.00	149681.713	146345.27	152149.77	148220.996	146345.27	152149.77
55.00	151420.600	147409.28	152149.77	149586.909	147409.28	152149.77
60.00	153210.487	148486.29	152149.77	150963.822	148486.29	152149.77
65.00	155051.374	149576.30	152149.77	152351.735	149576.30	152149.77
70.00	156943.261	150679.31	152149.77	153750.648	150679.31	152149.77
75.00	158886.148	151795.32	152149.77	155160.561	151795.32	152149.77
80.00	160889.035	152924.33	152149.77	156581.474	152924.33	152149.77
85.00	162951.922	154066.34	152149.77	158013.387	154066.34	152149.77
90.00	165074.809	155221.35	152149.77	159456.300	155221.35	152149.77
95.00	167257.696	156389.36	152149.77	160910.213	156389.36	152149.77
100.00	169499.583	157569.37	152149.77	162375.126	157569.37	152149.77



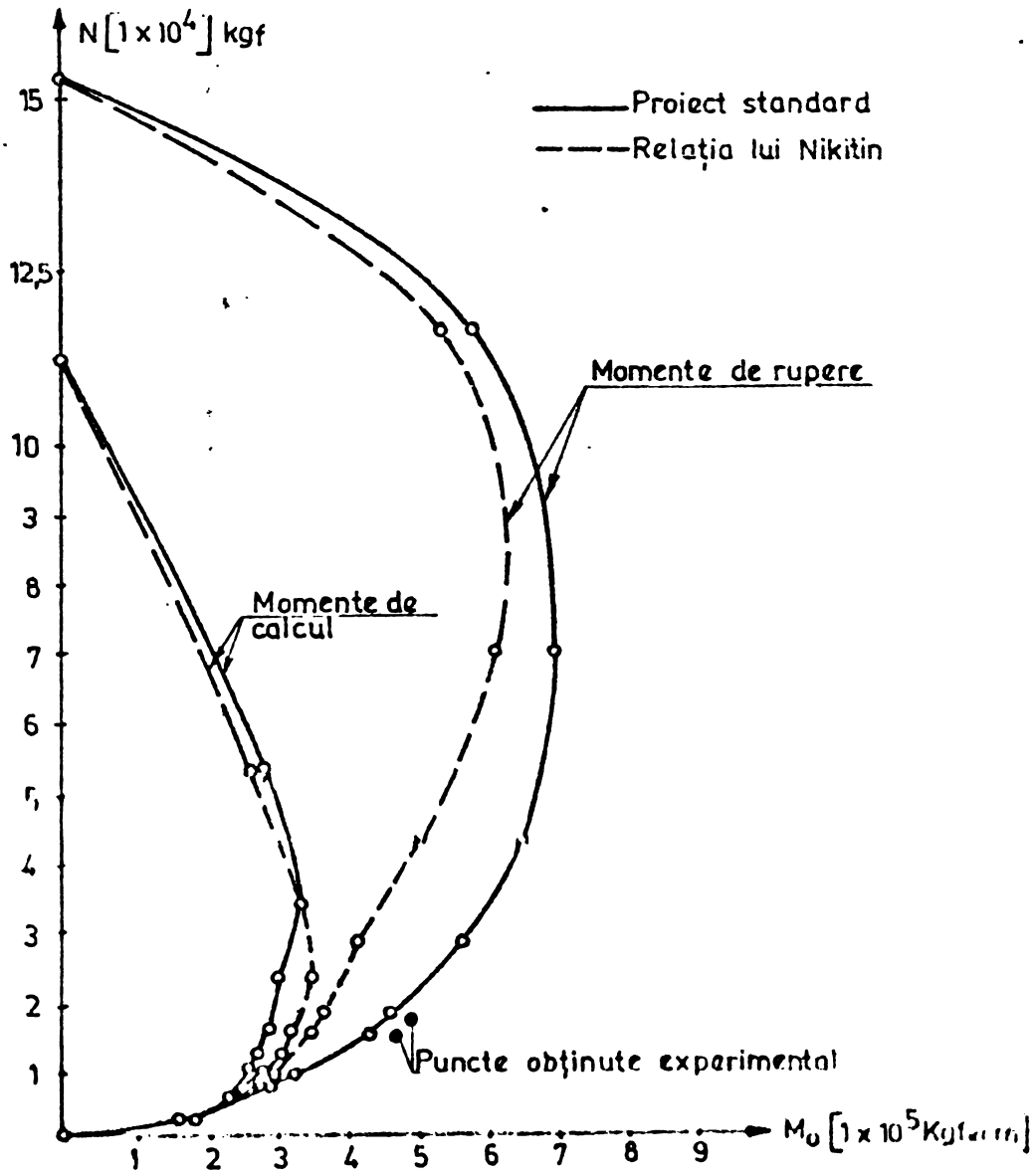


Fig.VI.15.

II.24 nu mai este îndeplinită. Se trage de aici concluzia că, pe acest domeniu ( $n=0,1-0,4$ ), care este de mare importanță pentru practică, întrucât majoritatea forțelor axiale se află în acest domeniu, relația lui Nikitin nu dă rezultate satisfăcătoare.

CAP. VII. STAREA LIMITA DE DEFORMATIE

7.1. Aspecte generale

Calculul deformațiilor la elementele din beton armat se face conform regulilor obișnuite ale Staticii construcțiilor ; specific este însă, față de alte materiale, modul de determinare a modului de rigiditate K.

În marea majoritate a cazurilor, problema deformațiilor se referă la săgețile elementelor încovoiate. În cazul acestor elemente, modulul de rigiditate se determină în stadiul II, cu luarea în considerare a fisurării zonei întinse de beton și a efectelor de creștere a deformațiilor în timp, pornind de la relația :

$$(E.1) \quad \frac{d^2 y}{dx^2} = \frac{|M|}{K} = \frac{|\epsilon_a| + |\epsilon_b|}{h_0} \quad (VII.1)$$

ținând seama de ipoteza secțiunilor plane, care se exprimă sub forma :

$$(E.2) \quad \frac{|\epsilon_a| + |\epsilon_b|}{h_0} = \frac{|\epsilon_a|}{h_0 - x_2} \quad (VII.2)$$

și de relația :  $M = E_a \epsilon_a A_a z_2$  (VII.3)

Rezultă :  $K = E_a A_a \beta h_0^2$  (VII.4)

în care  $\beta = \xi_2(1 - \xi_2)$  (VII.5), iar  $\xi_2 = \frac{x_2}{h_0}$  este înălțimea relativă a zonei comprimate de beton în stadiul II și  $\xi_2 = \frac{z_2}{h_0}$  este brațul de pîrghie relativ în stadiul II.

Pentru a se ține seama, de aportul betonului întins dintre fisuri, la micșorarea alungirii medii a armăturilor, se introduce coeficientul subunitar  $\psi$ , relația modului de rigiditate (VII.3) devenind:

$$K = \frac{E_a}{\psi} A_a \beta h_0^2 \quad (VII.6)$$

care este relația prevăzută în STAS-ul 10107/0-76. Față de unele norme străine, diferențele constau în modul de estimare a coeficienților  $\beta$  și  $\psi$  și în modul de exprimare a relațiilor efective de calcul.

Coeficientul  $\beta$  se stabilește calculînd pe  $\xi_2$ , respectiv pe  $\xi_2$ , în stadiul II, pe baza următoarelor ipoteze :

- secțiunile plane rămîn plane și după deformare ;
- zonele întinse ale secțiunii de beton nu se iau în considerare în calcul la preluarea solicitărilor ;

corelarea dintre deformațiile specifice și eforturile unitare se face prin luarea în considerare a unui coeficient de echivalență

$$\sigma_a = \frac{E_a}{E_b} \left(1 + \frac{\mu R_a}{40}\right) (1 - \sqrt{\psi}) \leq 5 \frac{E_a}{E_b} \quad (\text{VII.7})$$

modulul de deformație al betonului este constant pe întreaga zonă comprimată.

Pentru stabilirea coeficientului  $\psi$ , pornind de la ipoteza egalizării în calcul a unei variații liniare a lui  $\sigma_a$ , pe distanța între fisuri, se poate scrie :

$$\psi = \frac{\sigma_a + \sigma_{am}}{2 \sigma_a} = 1 - \frac{\Delta \sigma_a}{\sigma_a} \quad (\text{VII.8})$$

$$\text{care } \Delta \sigma_a = \sigma_a - \sigma_{am} = \frac{\sigma_a - \sigma_{a \text{ min}}}{2} \quad (\text{VII.9})$$

exprimînd diferența de efort  $A_a \Delta \sigma_a$ , ca o parte din forța care provoacă apariția fisurii, rezultă, pentru încovoiere :

$$\psi = 1 - \bar{\beta} \frac{A_{bt} R_t^n}{A_a \sigma_a} \quad (\text{VII.10}),$$

în care  $\bar{\beta}$  este un coeficient subunitar, funcție de tipul oțelului și durata încărcării, iar  $A_{bt}$ , aria de beton întinsă, în momentul apariției fisurilor.

În normele sovietice și recomandările pentru standardizare AER, se estimează diferit  $\gamma_2$  și  $\gamma_2'$ , (cu o repartiție uniformă a eforturilor unitare din betonul comprimat, cu introducerea unor corecții în calcul), iar în relația pentru determinarea lui  $K$  se ține seama, atât de un coeficient subunitar  $\psi_a$  în zona întinsă, cât și de un coeficient  $\psi_b = 0,9$ , pentru zona comprimată; exprimînd variația eforturilor unitare de compresie în lungul grinzii:

$$K = \frac{h_0^2 \gamma_2}{\frac{\psi_a}{E_a A_a} + \frac{\psi_b}{(\gamma_2' + \gamma_2) b h_0^2 \gamma_2}} \quad (\text{VII.11})$$

în care  $\gamma_2' = \frac{b-b_0}{b} \cdot \frac{h_0^2}{h_0^2}$ , pentru secțiuni în T cu talpa în zona comprimată, iar  $\gamma_2 = 0,1 \dots 0,5$  exprimă influența încărcărilor de lungă durată.

Pentru a ține seama de faptul că, în decursul procesului de creștere a solicitării, elementele trec mai întâi prin stadiul I-

în care lucrează cu o rigiditate sporită - și numai peste un anumit nivel de solicitare intră în stadiul II, unele prescripții exprimă modulul de rigiditate, pentru cazul curent când solicitarea de exploatare depășește solicitarea de fisurare, fie cu valori diferite în cele două stadii, cum sînt recomandările CEB-FIP :

$$f = \frac{SM_I l^2}{E_b I_b} + \frac{SM_{II} \cdot l^2}{0,75 E_a A_a h_o^2 (1-\omega) \left(1 - \frac{\omega}{3}\right)} \quad (\text{VII.12}),$$

Me ca o valoare medie ponderată, cum procedează normele americane ACI 318-71 :

$$K = E_b I_{ef} \quad (\text{VII.13})$$

În care  $I_{ef}$ , momentul de inerție efectiv (în realitate convențional), se stabilește cu relația

$$I_{ef} = \left(\frac{M_I}{M}\right)^2 I_b + \left[1 - \left(\frac{M_I}{M}\right)^3\right] I_{II} \quad (\text{VII.14})$$

În relațiile (VII.12) și (VII.14) :

-  $S$  este un coeficient în funcție de schema de încărcare și modul de rezemare ;

-  $M_I$  este momentul de apariție a fisurilor ;

-  $M_{II} = M - M_I$  ;

-  $\omega = \frac{A_a}{bh_o} \frac{R_a^n}{R_c^n}$  ;

-  $I_b$  este momentul de inerție al întregii secțiuni de beton ;

-  $I_{II}$  este momentul de inerție ideal al secțiunii fisurate

(stadiul II).

## 7.2. Rigiditatea stîlpilor din beton armat, cu secțiunea dublu T, solicitată excentric oblic

### 7.2.1. Rigiditatea în planul x

În cazul general, în stadiul de exploatare (stadiul II), axa neutră cade în inimă. Se prezintă în continuare, modul de stabilire a rigidității în această situație (a se vedea fig. VII.1).

Pe baza ipotezei lui Bernoulli, deformațiile specifice longitudinale ale diferitelor fibre sînt proporționale cu distanța lor la fibra neutră. Două secțiuni situate la distanța egală cu unitatea, se rotesc între ele cu un unghi  $\omega$ , denumit încovoiere specifică, dat de relația :

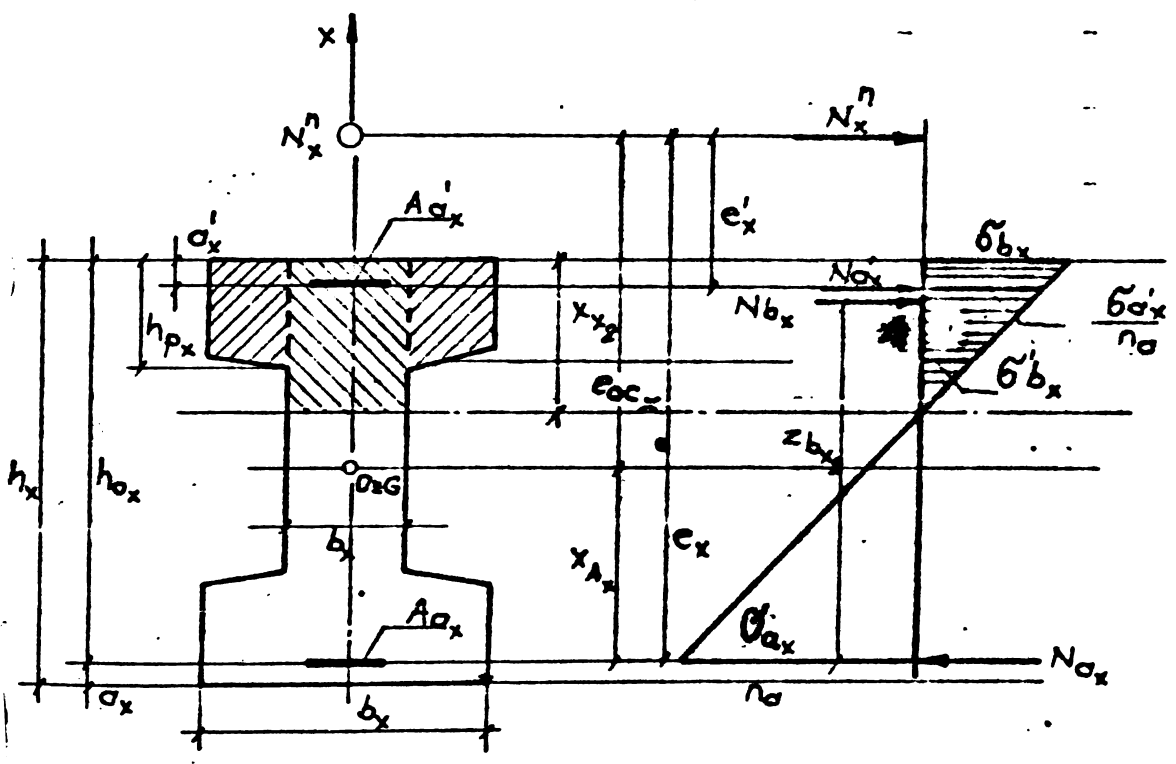
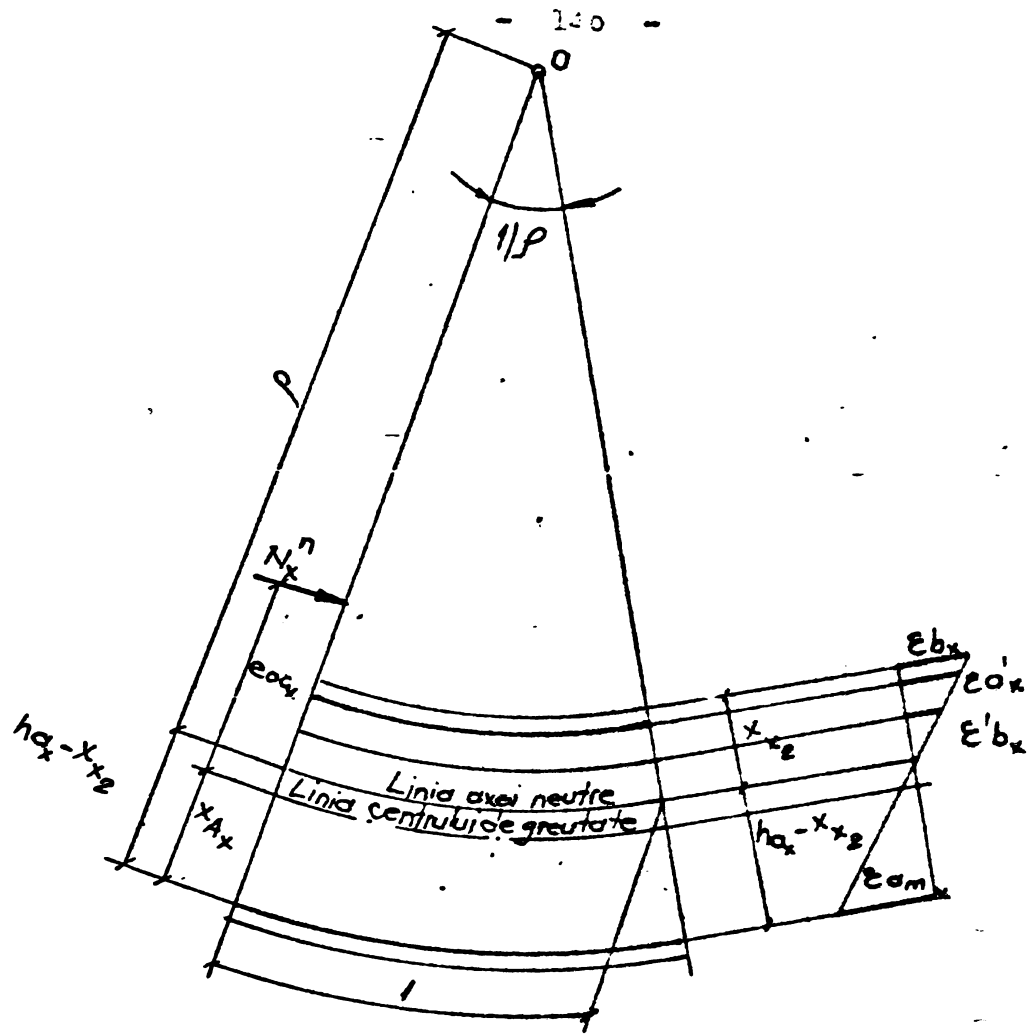


FIG. VII.1

$\omega = \frac{1}{\rho}$  (VII.15), în care  $\rho$  este raza de curbură a liniei elastice în secțiunea considerată. Alungirea unei fibre situată la distanța  $y$  de axa neutră este  $\epsilon_y = y/\rho = \omega y$  (VII.16)

Admițînd valabilitatea legii lui Hooke :

$$\sigma_x = E \epsilon_y = E \frac{y}{\rho} \quad (\text{VII.17}), \text{ sau } \frac{\sigma_x}{y} = \frac{E}{\rho} \quad (\text{VII.17.a})$$

Din ecuația de echivalență dintre  $M$  și  $\sigma_x$  rezultă

$$M_x = \int_A \sigma_x \cdot y dA = \int_A E \frac{1}{\rho} y^2 dA = \frac{E}{\rho} \int_A y^2 dA = \frac{E}{\rho} I_x \quad (\text{VII.18})$$

Din (VII.18) se poate scrie :

$$\frac{1}{\rho} = \frac{M}{EI} \quad (\text{VII.18.a})$$

Pe de altă parte, din asemănarea triunghiurilor din fig. (VII.1) se poate scrie :

$$\frac{1}{\rho} = \frac{\epsilon_{a_{m_{x_2}}}}{(h_{o_x} - x_{x_2})} \quad (\text{VII.19}),$$

în care  $\epsilon_{a_{m_{x_2}}}$  reprezintă deformația medie a armăturii întinse  $A_a$ .

Raportul dintre alungirea specifică medie a armăturii între două fisuri  $\epsilon_{a_{m_{x_2}}}$  și alungirea specifică a armăturii din dreptul fisurii  $\epsilon_{a_2}$  se notează cu  $\psi$ .

Deci se poate scrie :

$$\epsilon_{a_{m_{x_2}}} = \psi \epsilon_{a_{x_2}} = \frac{\sigma_{a_{x_2}}}{E_a} = \frac{\sigma_{a_{x_2}}}{E_a \psi} \quad (\text{VII.20})$$

Tot din asemănarea triunghiurilor din fig. (VII.1) se poate scrie :

$$\frac{\frac{\sigma'_{a_{x_2}}}{n_a}}{x_{x_2} - a'_x} = \frac{\frac{\sigma_{a_{x_2}}}{n_a}}{h_{o_x} - x_{x_2}} \quad (\text{VII.21}),$$

din care se scrie valoarea lui  $\sigma'_{a_{x_2}}$  în funcție de  $\sigma_{a_{x_2}}$

$$\sigma'_{a_{x_2}} = \sigma_{a_{x_2}} \frac{(x_{x_2} - a'_x)}{(h_{o_x} - x_{x_2})} \quad (\text{VII.21.a})$$

Pentru determinarea punctului de aplicație al rezultantei compresiunilor din beton, se scrie o ecuație de momente față de linia superioară, a secțiunii, a rezultatelor compresiunilor din beton de pe ariile hașurate din fig.VII.1. Va rezulta :

$$\bar{x}_{N_{b_{x_2}}} = \frac{\sum M_{N_{b_{x_2}}}}{\sum N_{b_{x_2}}} \quad (\text{VII.22})$$

$$\begin{aligned} M_{N_{b_{x_2}}} &= (b_{p_x} - b_x)h_{p_x} \bar{\sigma}_{b_{x_2}}' \cdot \frac{1}{2} h_{p_x} + \frac{1}{2}(b_{p_x} - b_x)h_{p_x} (\bar{\sigma}_{b_{x_2}} - \bar{\sigma}_{b_{x_2}}') \frac{1}{3} h_{p_x} + \\ &+ \frac{1}{2} b_x x_{x_2} \bar{\sigma}_{b_{x_2}} \cdot \frac{1}{3} x_{x_2} = \frac{1}{2}(b_{p_x} - b_x)h_{p_x}^2 \bar{\sigma}_{b_{x_2}}' + \\ &+ \frac{1}{6} (b_{p_x} - b_x)h_{p_x}^2 (\bar{\sigma}_{b_{x_2}} - \bar{\sigma}_{b_{x_2}}') + \frac{1}{6} b_x x_{x_2}^2 \bar{\sigma}_{b_{x_2}} \end{aligned} \quad (\text{VII.23})$$

Din asemănarea triunghiurilor, din fig.(VII.1) se poate scrie :

$$\bar{\sigma}_{b_{x_2}}' = \bar{\sigma}_{b_{x_2}} \left( \frac{x_{x_2} - h_{p_x}}{x_{x_2}} \right) \quad (\text{VII.24})$$

$$\bar{\sigma}_{b_{x_2}} - \bar{\sigma}_{b_{x_2}}' = \bar{\sigma}_{b_{x_2}} \left( 1 - \frac{h_{p_x}}{x_{x_2}} \right) = \bar{\sigma}_{b_{x_2}} \cdot \frac{h_{p_x}}{x_{x_2}} \quad (\text{VII.25})$$

Înlocuind relațiile (VII.24) și (VII.25) în (VII.23) se obține :

$$\begin{aligned} \sum M_{N_{b_{x_2}}} &= \frac{1}{2}(b_{p_x} - b_x)h_{p_x}^2 \bar{\sigma}_{b_{x_2}} \left( 1 - \frac{h_{p_x}}{x_{x_2}} \right) + \frac{1}{6} (b_{p_x} - b_x) \frac{h_{p_x}^3}{x_{x_2}} \bar{\sigma}_{b_{x_2}} + \\ &+ \frac{1}{6} b_x x_{x_2}^2 \bar{\sigma}_{b_{x_2}} = \frac{1}{2}(b_{p_x} - b_x)h_{p_x}^2 \bar{\sigma}_{b_{x_2}} - \frac{1}{2}(b_{p_x} - b_x) \frac{h_{p_x}^3}{x_{x_2}} \bar{\sigma}_{b_{x_2}} + \\ &+ \frac{1}{6} (b_{p_x} - b_x) \frac{h_{p_x}^3}{x_{x_2}} \bar{\sigma}_{b_{x_2}} + \frac{1}{6} b_x x_{x_2}^2 \bar{\sigma}_{b_{x_2}} = \\ &= \left[ \frac{1}{6} b_x x_{x_2}^3 + \frac{1}{2}(b_{p_x} - b_x)h_{p_x}^2 x_{x_2} - \frac{1}{3}(b_{p_x} - b_x)h_{p_x}^3 \right] \frac{\bar{\sigma}_{b_{x_2}}}{x_{x_2}} = \\ &= \frac{1}{6} \frac{\bar{\sigma}_{b_{x_2}}}{x_{x_2}} \left[ b_x x_{x_2}^3 + (b_{p_x} - b_x)h_{p_x}^2 (3x_{x_2} - 2h_{p_x}) \right] \end{aligned} \quad (\text{VII.23.a})$$

$$\begin{aligned}
 N_{b_{x_2}} &= (b_{p_x} - b_x) h_{p_x} \sigma'_{b_{x_2}} + \frac{1}{2} (b_{p_x} - b_x) h_{p_x} (\sigma_{b_{x_2}} - \sigma'_{b_{x_2}}) + \frac{1}{2} b_x x_{x_2} \sigma_{b_{x_2}} = \\
 &= (b_{p_x} - b_x) h_{p_x} \sigma_{b_{x_2}} - (b_{p_x} - b_x) \frac{h_{p_x}^2}{x_{x_2}} \sigma_{b_{x_2}} + \frac{1}{2} (b_{p_x} - b_x) \frac{h_{p_x}^2}{x_{x_2}} \sigma_{b_{x_2}} + \\
 &+ \frac{1}{2} b_x x_{x_2} \sigma_{b_{x_2}} = \\
 &= \left[ \frac{1}{2} b_x x_{x_2} + (b_{p_x} - b_x) h_{p_x} - \frac{1}{2} (b_{p_x} - b_x) \frac{h_{p_x}^2}{x_{x_2}} \right] \sigma_{b_{x_2}} = \\
 &= \frac{\sigma_{b_{x_2}}}{2} \frac{b_x x_{x_2}}{x_{x_2}} \left[ b_x x_{x_2}^2 + 2(b_{p_x} - b_x) h_{p_x} x_{x_2} - (b_{p_x} - b_x) h_{p_x}^2 \right] = \\
 &= \frac{\sigma_{b_{x_2}}}{2} \frac{b_x x_{x_2}}{x_{x_2}} \left[ b_x x_{x_2}^2 + (b_{p_x} - b_x) h_{p_x} (2x_{x_2} - h_{p_x}) \right] \quad \text{(VII.26)}
 \end{aligned}$$

Cu relațiile (VII.23.a) și (VII.26), ordonata punctului de aplicație a rezultantei compresiunilor din beton are valoarea (față de limita superioară a secțiunii) :

$$\begin{aligned}
 x_{N_{b_{x_2}}} &= \frac{\frac{1}{6} \frac{\sigma_{b_{x_2}}}{x_{x_2}} \left[ b_x x_{x_2}^3 + (b_{p_x} - b_x) h_{p_x}^2 (3x_{x_2} - 2h_{p_x}) \right]}{\frac{1}{6} \frac{\sigma_{b_{x_2}}}{x_{x_2}} \left[ b_x x_{x_2}^2 + (b_{p_x} - b_x) h_{p_x} (2x_{x_2} - h_{p_x}) \right]} = \\
 &= \frac{b_x x_{x_2}^3 + (b_{p_x} - b_x) h_{p_x}^2 (3x_{x_2} - 2h_{p_x})}{b_x x_{x_2}^2 + (b_{p_x} - b_x) h_{p_x} (2x_{x_2} - h_{p_x})} \quad \text{(VII.22.a)}
 \end{aligned}$$

În continuare, se scrie ecuația de momente a eforturilor interioare, în raport cu punctul de aplicație al rezultantei compresiunilor din beton :

$$N_x^n \left[ e_{oc_x} - (z_{b_{x_2}} - x_{A_x}) \right] = \sigma_{a_{x_2}} A_{a_x} z_{b_{x_2}} + \sigma'_{a_{x_2}} A'_{a_x} (x_{N_{b_{x_2}}} - a'_x) \quad \text{(VII.27)}$$

Înlocuind valoarea lui  $\sigma'_{a_{x_2}}$  cu valoarea sa din (VII.21.a) se obține :



$$1 \left[ e_{oc_x} - (z_{b_{x_2}} - x_{A_x}) \right] = \tilde{G}_{a_{x_2}} A_{a_x} z_{b_{x_2}} + \tilde{G}_{a_{x_2}} A'_{a_x} \frac{(x_{x_2} - a'_x)}{(h_{o_x} - x_{x_2})} (x_{N_{b_{x_2}}} - a'_x)$$

rezultă :

$$\tilde{G}_{a_{x_2}} = \frac{N_x^n \left[ e_{oc_x} - (z_{b_{x_2}} - x_{A_x}) \right]}{(x_{x_2} - a_x)(x_{N_{b_{x_2}}} - a'_x)} \quad (VII.27.a)$$

$$A_{a_x} z_{b_{x_2}} + A'_{a_x} \frac{x_{x_2} - a'_x}{(h_{o_x} - x_{x_2})}$$

Relația (VII.19) devine :

$$\frac{1}{\rho} = \frac{\tilde{G}_{a_{x_2}}}{\frac{E_a}{\psi} (h_{o_x} - x_{x_2})} = \frac{N_x^n \left[ e_{oc_x} - (z_{b_{x_2}} - x_{A_x}) \right]}{\frac{E_a}{\psi} (h_{o_x} - x_{x_2}) A_{a_x} z_{b_{x_2}} + \frac{E_a}{\psi} A'_{a_x} (x_{x_2} - a'_x)(x_{N_{b_{x_2}}} - a'_x)} \quad (VII.19a)$$

Se introduc notațiile :

$$\frac{x_{x_2}}{h_{o_x}} = \xi_{x_2} ; \frac{z_{b_{x_2}}}{h_{o_x}} = \zeta_{x_2} ; \frac{x_{A_x}}{h_{o_x}} = \bar{x}_{A_x} ; \frac{e_{oc_x}}{h_{o_x}} = \bar{e}_{oc_x} ; \frac{a'_x}{h_{o_x}} = \bar{a}'_x$$

(VII.28.a la e)

Cu aceste notații, relația (VII.19.a) devine :

$$\frac{1}{\rho} = \frac{N_x^n \cdot \bar{e}_{oc_x}}{\frac{E_a}{\psi} A_{a_x} (1 - \xi_{x_2}) \zeta_{x_2}^2 h_{o_x}^2 + \frac{E_a}{\psi} A'_{a_x} (\xi_{x_2} - \bar{a}'_x)(x_{N_{b_{x_2}}} - a'_x) \cdot h_{o_x}^2} \cdot \frac{N_x^n}{(1 - \frac{\xi_{x_2} - \bar{x}_{A_x}}{\bar{e}_{oc_x}})} \quad (VII.19.b)$$

de unde rezultă valoarea rigidității  $K_x$  :

$$= \frac{\left[ \frac{E_a}{\psi} \cdot A_{a_x} (1 - \xi_{x_2}) \xi_{x_2} + \frac{E_a}{\psi} A'_{a_x} (\xi_{x_2} - \xi'_x) (x_{Nb_x} - a'_x) h_{o_x}^2 \right]}{\left( 1 - \frac{\xi_{x_2} - \bar{x}_{A_x}}{e_{oc_x}} \right)} \quad (\text{VII.28})$$

Dacă se notează :

$$\beta_{1_x} = \frac{1}{\psi} (1 - \xi_{x_2}) \xi_{x_2} \quad (\text{VII.29}) ; \alpha_x = \frac{A_{a_x}}{A_x} \quad (\text{VII.30})$$

$$\beta_{2_x} = \frac{1}{\psi} (\xi_{x_2} - \xi'_x) (x_{Nb_x} - a'_x) = \frac{1}{\psi} (\xi_{x_2} - \xi'_x) \left[ \frac{1}{3} \frac{b_x x_{x_2}^3 + (b_{p_x} - b_x) h_{p_x}^2 (3x_{x_2} - 2h_{p_x})}{b_x x_{x_2}^2 + (b_{p_x} - b_x) h_{p_x} (2x_{x_2} - h_{p_x})} - a'_x \right] \quad (\text{VII.31})$$

relația lui  $K_x$  devine :

$$K_x = \frac{E_a A_{a_x} \beta_{1_x} h_{o_x}^2 + E_a x_{a_x} A_{a_x} \beta_{2_x} h_{o_x}^2}{1 - \frac{\xi_{x_2} - \bar{x}_{A_x}}{e_{oc_x}}} \quad (\text{VII.28.a})$$

$$\text{Notîndu-se : } \beta_x = \beta_{1_x} + \alpha_x \beta_{2_x} , \quad (\text{VII.32})$$

$$K_x = \frac{E_a A_{a_x} \beta_x h_{o_x}^2}{1 - \frac{\xi_{x_2} - \bar{x}_{A_x}}{e_{oc_x}}} \quad (\text{VII.28.b})$$

Pentru calculul rigidității  $K_x$  este necesară cunoașterea poziției axei neutre  $x_{x_2}$ . Această poziție se obține scriind o ecuație de momente în raport  $x_{x_2}$  cu punctul de aplicație al forței excentrice  $H_x$ . Din scrierea acestei ecuații de momente rezultă o ecuație de gradul III în  $x_{x_2}$ , din a cărei rezolvare se obține poziția axei neutre  $x_{x_2}$ , în stadiul de exploatare (stadiul II). Această deducere este prezentată pe larg în lucrarea /35/.

### 7.2.2. Rigiditatea în planul y

În cazul general, în planul y, în stadiul de exploatare (stadiul II), axa neutră cade în placă (fig.VII.2).

Determinarea rigidității în planul y se face în modul următor:

- se pleacă de la relațiile (VII.18.a), (VII.19) și (VII.20)

rezultînd și în planul y :

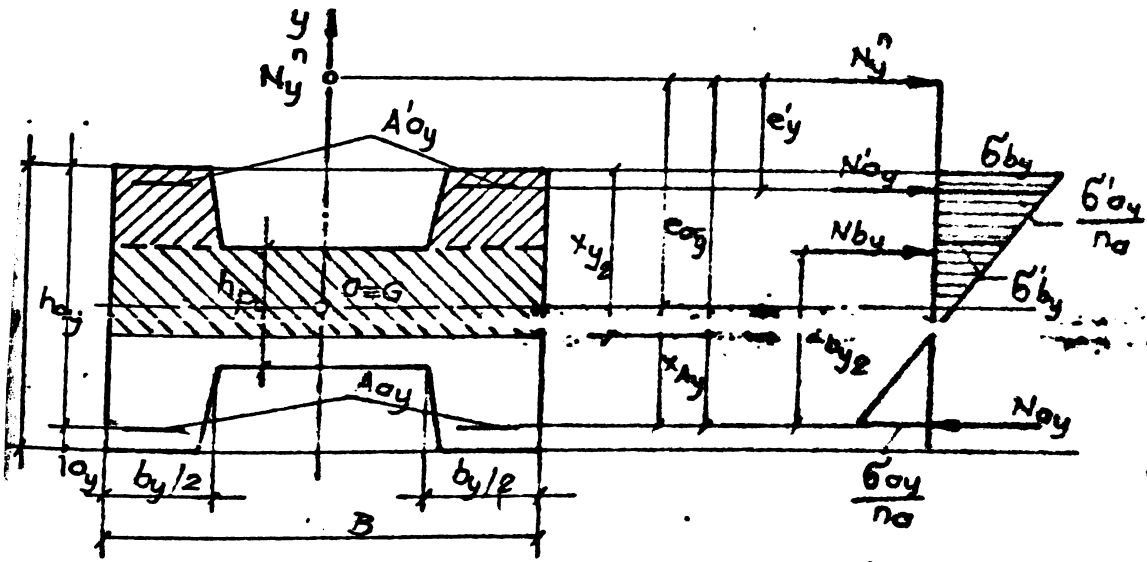
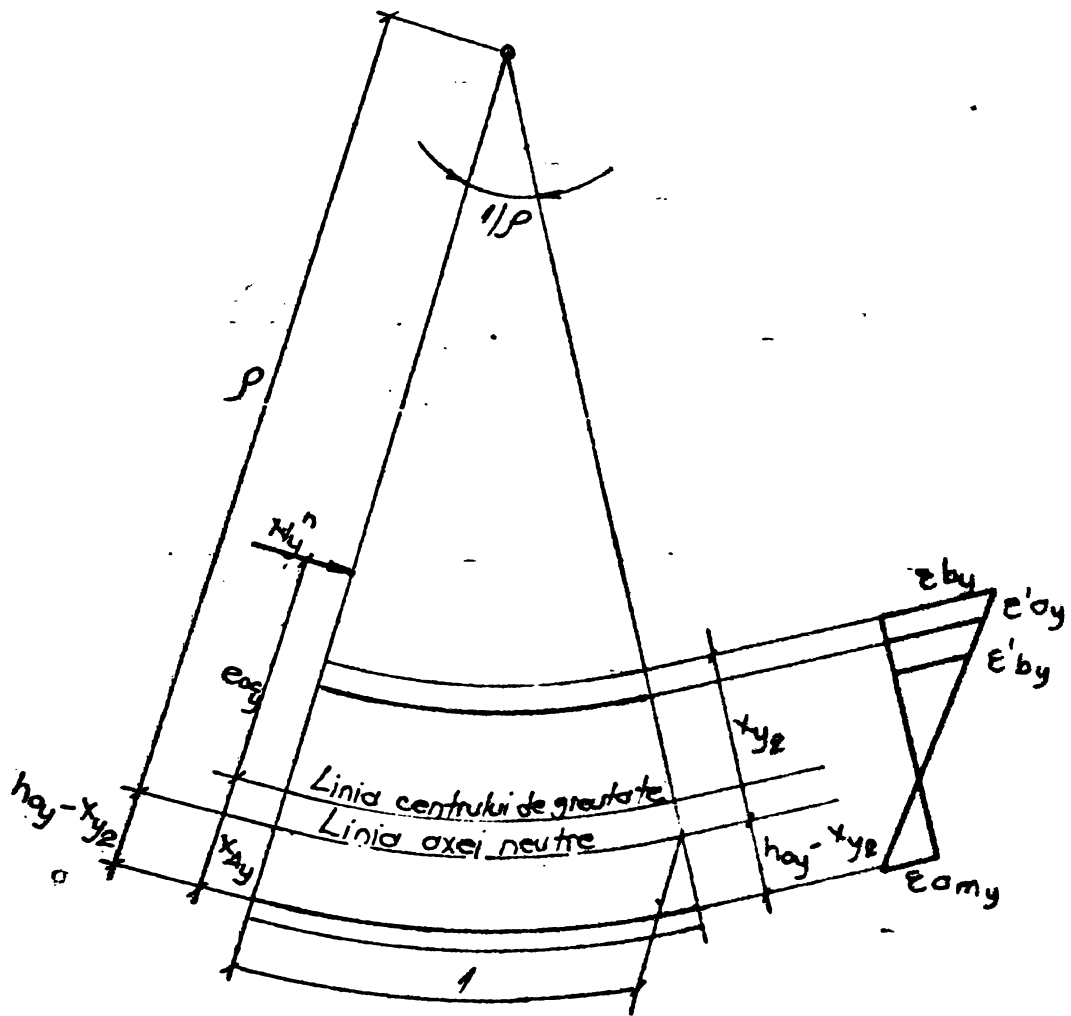


Fig. VII. 2

$$\frac{1}{\rho} = \frac{M_y}{K_y} = \frac{\varepsilon_{a_{my_2}}}{(h_{0y} - x_{y_2})} = \frac{\sigma_{a_{y_2}}}{\frac{E_a}{\psi} (h_{0y} - x_{y_2})} \quad (\text{VII.33})$$

- din asemănări de triunghiuri conform fig.VII.2 se poate scrie :

$$\sigma'_{c_{y_2}} = \sigma_{c_{y_2}} \frac{(x_{y_2} - a'_y)}{(h_{0y} - x_{y_2})} \quad (\text{VII.34})$$

$$\sigma'_{b_{y_2}} = \sigma_{b_{y_2}} \frac{[x_{y_2} - 0,5(h_y - h_{py})]}{x_{y_2}} \quad (\text{VII.35}),$$

- se determină punctul de aplicație al rezultantei compresiunilor din beton, prin scrierea ecuației de momente față de limita superioară a secțiunii (fig.VII.2), a rezultatelor de compresiune din beton (zonele hașurate ale fig.VII.2) :

$$y_{N_{b_{y_2}}} = \frac{\sum M_{N_{b_{y_2}}}}{\sum N_{b_{y_2}}} \quad (\text{VII.36})$$

$$\begin{aligned} \sum M_{N_{b_{y_2}}} &= \frac{1}{2} (B-b_y) [x_{y_2} - 0,5 (h_y - h_{py})] \sigma'_{b_{y_2}} \cdot \left\{ \frac{1}{3} [x_{y_2} - 0,5 (h_y - h_{py})] + \right. \\ &+ \left. 0,5 (h_y - h_{py}) \right\} + \frac{1}{2} b_y x_{y_2} \sigma_{b_{y_2}} \cdot \frac{1}{3} x_{y_2} = \\ &= \frac{1}{6} (B-b_y) [x_{y_2} - 0,5(h_y - h_{py})] \cdot [x_{y_2} + (h_y - h_{py})] \cdot [x_{y_2} - 0,5(h_y - h_{py})] \\ &\cdot \frac{\sigma_{b_{y_2}}}{x_{y_2}} + \frac{1}{6} b_y x_{y_2}^2 \sigma_{b_{y_2}} = \\ &= \frac{1}{6} \frac{\sigma_{b_{y_2}}}{x_{y_2}} \left[ Bx_{y_2}^3 - 0,75(h_y - h_{py})(B-b_y)x_{y_2} + 0,25(B-b_y)(h_y - h_{py})^3 \right] \end{aligned}$$

$$\sum N_{b_{y_2}} = \frac{1}{2} (B-b_y) [x_{y_2} - 0,5(h_y - h_{py})] \sigma'_{b_{y_2}} + \frac{1}{2} b_y x_{y_2} \sigma_{b_{y_2}} =$$

$$\begin{aligned}
 &= \frac{1}{2}(B-b_y) \left[ x_{y_2} - 0,5(h_y - h_{p_y}) \right] \frac{\left[ x_{y_2} - 0,5(h_y - h_{p_y}) \right]}{x_{y_2}} \sigma_{b_{y_2}} + \\
 &+ \frac{1}{2} b_y x_{y_2} \sigma_{b_{y_2}} = \frac{1}{2} \frac{\sigma_{b_{y_2}}}{x_{y_2}} \left\{ b_y x_{y_2}^2 + (B-b_y) \left[ x_{y_2}^2 - (h_y - h_{p_y}) x_{y_2} + \right. \right. \\
 &\left. \left. + 0,25(h_y - h_{p_y})^2 \right] \right\} = \frac{1}{2} \frac{\sigma_{b_{y_2}}}{x_{y_2}} \left[ Bx_{y_2}^2 - (B-b_y)(h_y - h_{p_y}) x_{y_2} + \right. \\
 &\left. + 0,25(B-b_y)(h_y - h_{p_y})^2 \right]
 \end{aligned}$$

$$y_{N_{b_{y_2}}} = \frac{1}{3} \frac{Bx_{y_2}^3 - 0,75(B-b_y)(h_y - h_{p_y}) x_{y_2} + 0,25(B-b_y)(h_y - h_{p_y})^3}{Bx_{y_2}^2 - (B-b_y)(h_y - h_{p_y}) x_{y_2} + 0,25(B-b_y)(h_y - h_{p_y})^2} \quad (\text{VII.36a})$$

- se scrie ecuația de momente a eforturilor interioare și a forței  $N_y$ , în raport cu rezultanta compresiunilor din beton :

$$N_y^n \left[ e_{oc_y} - (z_{b_{y_2}} - x_{A_y}) \right] = \sigma_{a_{y_2}} A_{a_y} z_{b_{y_2}} + \sigma_{a_{y_2}} A'_{a_y} (y_{N_{b_{y_2}}} - a'_y) \quad (\text{VII.37})$$

$$\begin{aligned}
 N_y^n \left[ e_{oc_y} - (z_{b_{y_2}} - x_{A_y}) \right] &= \\
 &= \sigma_{a_{y_2}} A_{a_y} z_{b_{y_2}} + A'_{a_y} \sigma_{a_{y_2}} \frac{(x_{y_2} - a'_y)}{(h_{o_y} - x_{y_2})} (y_{N_{b_{y_2}}} - a'_y) =
 \end{aligned}$$

$$= \sigma_{a_{y_2}} \left[ A_{a_y} z_{b_{y_2}} + A'_{a_y} \frac{(x_{y_2} - a'_y)}{(h_{o_y} - x_{y_2})} (y_{N_{b_{y_2}}} - a'_y) \right]$$

$$\sigma_{a_{y_2}} = \frac{N_y^n \left[ e_{oc_y} - (z_{b_{y_2}} - x_{A_y}) \right]}{A_{a_y} z_{b_{y_2}} + A'_{a_y} \frac{(x_{y_2} - a'_y)}{(h_{o_y} - x_{y_2})} (y_{N_{b_{y_2}}} - a'_y)} \quad (\text{VII.37a})$$

Relația (VII.33) devine :

$$\frac{1}{\rho} = \frac{M_y}{K_y} = \frac{G_{a_y2}}{\psi \frac{E}{a} (h_{o_y} - x_{y2})} = \frac{N_y^n \left[ e_{oc_y} - (z_{b_y2} - x_{A_y}) \right]}{\psi \left[ A_{a_y} z_{b_y2} (h_{o_y} - \bar{x}_{A_y}) + A'_{a_y} (x_{y2} - a'_y) (y_{N_{b_y2}} - a'_y) \right]}$$

Se introduc notațiile :

$$\frac{x_{y2}}{h_{o_y}} = \xi_{y2}; \quad \frac{z_{b_y2}}{h_{o_y}} = \zeta_{y2}; \quad \frac{x_{A_y}}{h_{o_y}} = \bar{x}_{A_y}; \quad \frac{e_{oc_y}}{h_{o_y}} = \bar{e}_{oc_y}; \quad \frac{a'_y}{h_{o_y}} = \delta'_y \quad (\text{VII.38a la e})$$

Cu aceste notații, relația (VII.33.a) devine :

$$\frac{M_y}{K_y} = \frac{N_y^n \cdot e_{oc_y}}{\frac{E}{\psi} A_{a_y} (1 - \xi_{y2}) \zeta_{y2} h_{o_y}^2 + \frac{E}{\psi} A'_{a_y} (\xi_{y2} - \delta'_y) (y_{N_{b_y2}} - a'_y) h_{o_y}^2} \cdot \frac{1}{1 - \frac{\zeta_{y2} - \bar{x}_{A_y}}{\bar{e}_{oc_y}}}$$

De unde :

$$K_y = \frac{\frac{E}{\psi} A_{a_y} (1 - \xi_{y2}) \zeta_{y2} h_{o_y}^2 + \frac{E}{\psi} A'_{a_y} (\xi_{y2} - \delta'_y) (y_{N_{b_y2}} - a'_y) h_{o_y}^2}{1 - \frac{\zeta_{y2} - \bar{x}_{A_y}}{\bar{e}_{oc_y}}} \quad (\text{VII.39})$$

Dacă se notează :

$$\beta_{1y} = \frac{1}{\psi} (1 - \xi_{y2}) \zeta_{y2} \quad (\text{VII.40}); \quad \alpha_y = \frac{A'_{a_y}}{A_{a_y}} \quad (\text{VII.41})$$

$$\beta_{2y} = \frac{1}{\psi} (\xi_{y2} - \delta'_y) (y_{N_{b_y2}} - a'_y) =$$

$$= \frac{1}{\psi} (\xi_{y2} - \delta'_y) \left[ \frac{1}{3} \frac{Bx_{y2}^3 - 0,75(B-b_y)(h_y - h_{p_y})x_{y2} + 0,25(B-b_y)(h_y - h_{p_y})^3}{Bx_{y2}^2 - (B-b_y)(h_y - h_{p_y})x_{y2} + 0,25(B-b_y)(h_y - h_{p_y})^2} - a'_y \right]$$

relația lui  $K_y$  devine :

$$K_y = \frac{E_a A_a \beta_1 h_{o_y}^2 + E_a \alpha_y A_a \beta_2 h_{o_y}^2}{1 - \frac{S_{y_2} - A_y}{e_{o_c y}}} \quad (\text{VII.39.a})$$

Ind :  $\beta_y = \beta_{1y} + \alpha \beta_{2y}$  (VII.42)

$$K_y = \frac{E_a A_a \beta_y h_{o_y}^2}{1 - \frac{S_{y_2} - A_y}{e_{o_c y}}} \quad (\text{VII.39.b})$$

Pentru calculul rigidității  $K_y$  este necesară cunoașterea poziției axei neutre  $x_{y_2}$ . Această poziție a axei neutre se obține scriindu-se ecuația de momente în raport cu punctul de aplicație al forței excentrice  $H_y$ . Va rezulta o ecuație de gradul III în  $x_{y_2}$ , din care rezolvare se obține poziția căutată a axei neutre  $x_{y_2}$  (în stadiul II).

După determinarea modului de rigiditate  $K_x$  (respectiv  $K_y$ ) se poate calcula săgeata după direcția  $x$  (respectiv  $y$ ). Săgeata oblică (rezultantă)  $f_o = \sqrt{f_x^2 + f_y^2} \leq f_{ad}$  (săgeata admisă de norme).

Pentru verificarea relațiilor teoretice ale modulelor de rigiditate, s-a făcut calculul teoretic al săgeții unui stîlp încercat experimental, în final comparînd săgeata calculată teoretic cu săgeata măsurată experimental, în stadiu de exploatare.

Exemplificarea menționată se referă la stîlpul ST2-2/B, din cadrul contractului 871/1981 - etapă 1981, intitulat : "Scripi montate la compresiune excentrică oblică, de secțiune dublu T și dreptunghiulară, cu și fără acțiunea forței tîitoare.

Datele de control sînt prezentate mai jos :

Indicativ stîlp : ST2-2/B.

Forța axială :  $N = 7400$  kgf.

Forța transversală ( $P^{\perp}$ ) : 2833,33 kgf.

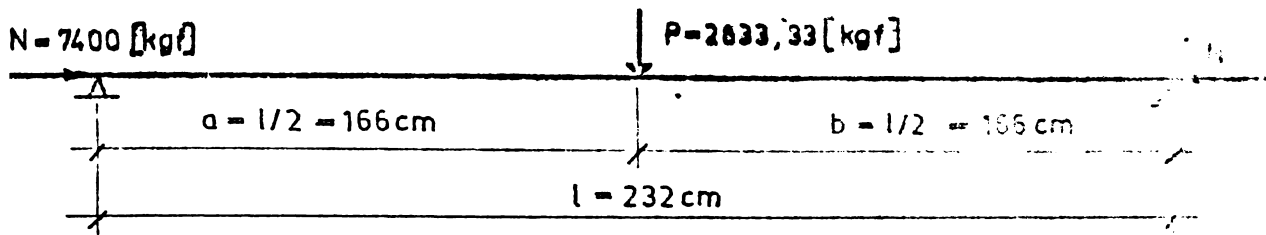
$R_e$  : 93,75 kgf/cm<sup>2</sup>

$R_t$  : 14,62 kgf/cm<sup>2</sup>

$E_b$  : 252500 kgf/cm<sup>2</sup>.

Schema de încărcare și secțiunea stîlpului, în fig.VII.3.

SCHEMA DE ÎNCĂRCARE



SECȚIUNEA STÎLPULUI

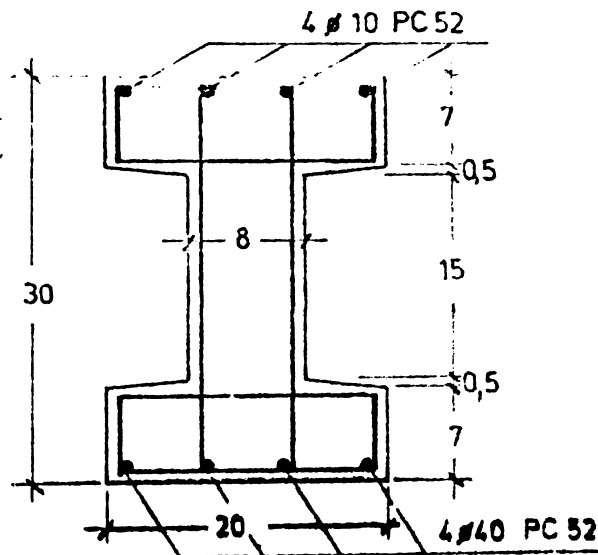


Fig.VII.3.

$EI_x = K_x$  calculat cu relația VII.28b :  $1,6467055 \cdot 10^{10}$  kgf.cm<sup>2</sup>.

$EI_y = K_y$  calculat cu relația VII.39b :  $1,4698423 \cdot 10^9$  kgf.cm<sup>2</sup>.

Calculul săgeții în planul x, respectiv y, s-a făcut la mijlocul deschiderii (l/2), cu relația :

$$v = \frac{Pl^3}{EI(2\mu)^3} \left[ \frac{\sin kb \sin kx}{\sin 2\mu} - \frac{kb kx}{2\mu} \right]$$

în care :  $k = \sqrt{\frac{N}{EI}}$

$$\mu = \frac{K \cdot l}{2}$$

În urma calculelor a rezultat :

$$v_x = 0,04499386 \text{ cm}$$

$$v_y = 0,51543907 \text{ cm}$$



$$f_0 = \sqrt{v_x^2 + v_y^2} = 0,51739915 \text{ cm}$$

Săgeata măsurată experimental :  $f_0^{\text{exp}} = 0,44 \text{ cm}$ .

Concluzia ce rezultă este că relațiile de calcul (VII.28.b) VII.39.b) conduc la rezultate teoretice corecte, avînd valabilitate.

CAP. VIII. CONCLUZII SI MOD DE VALORIFICARE  
A REZULTATELOR CERCETARII

1. Calculul la starea limită de rezistență, pentru stâlpii din beton armat, de secțiune dublu T, solicitați excentric oblic, se poate conduce în două moduri :

- primul, care s-ar numi "metoda exactă", sau metoda axei neutre înclinate ;

- al doilea, care constă în utilizarea metodelor aproximative, [relația lui Nikitin, apoi relația (II.24) propusă în Proiectul de standard 10107/0-84 și, în fine, aplicarea ipotezelor generale de la compresiunea excentrică pe o direcție, cu luarea în considerare a următoarei condiții suplimentare : punctele de aplicație, a forței  $N$ , a rezultantei eforturilor din zona comprimată a secțiunii și a rezultantei eforturilor de întindere din armătura  $A_g$ , trebuie să fie coliniare].

2. Referitor la "metoda exactă", se subliniază că fenomenul este prins în calcul în mod rațional, ipotezele de lucru considerate, (în stadiul III), apropiind cel mai mult calculul, de comportarea reală a elementului.

Capitolul IV al prezentei lucrări, intitulat : "Contribuții cu privire la calculul la starea limită de rezistență, a elementelor din beton armat, solicitate la compresiune excentrică oblică, utilizând metoda axei neutre înclinate", rezolvă "metoda exactă" de calcul pentru secțiunea dreptunghiulară, iar pentru secțiuni în formă de dublu T, expune o metodă practică de rezolvare, utilizând, datorită complicațiilor pe care secțiunea dublu-T le aduce, și unele ipoteze suplimentare, întrucât la ora actuală, pentru secțiuni de formă oarecare, metoda axei neutre înclinate este tratată numai la nivel de principiu.

Din studiile prezentate în lucrare, rezultă că, "metoda exactă", aplicată la secțiuni dublu T, este laborioasă. De aceea, în proiectare se recomandă utilizarea unor metode aproximative.

3. Metodele aproximative, pe care lucrarea le analizează în detaliu sînt :

- relația lui Nikitin ;
- relația (II.24) propusă de Proiectul standard 10107/0-84.

Analizînd comparativ aceste două metode aproximative, rezultă următoarele :

- combinațiile  $N_u, M_{xu}, M_{yu}$ , care produc cedarea secțiunii, reprezintă puncte notate cu  $B^u$ , situate pe suprafața de interacțiune din fig.VIII.1 :

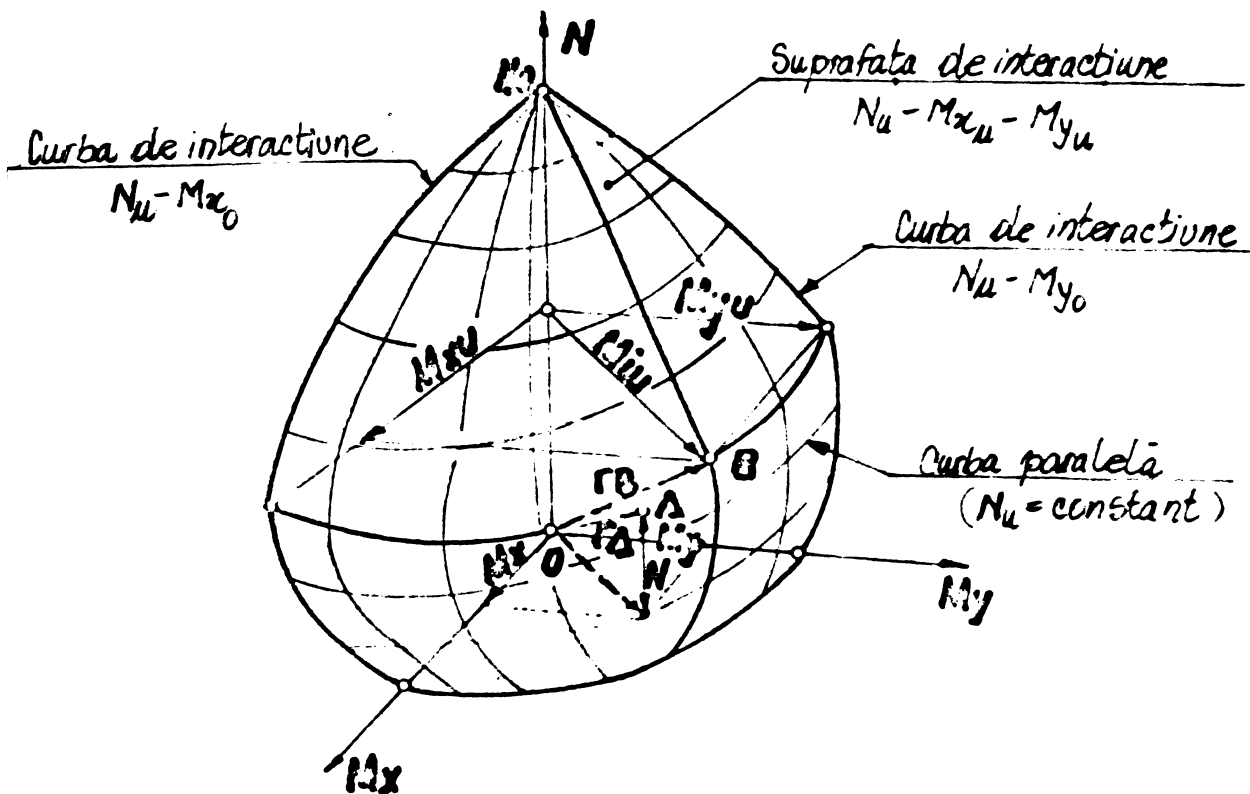


Fig.VIII.1

Secțiunea de beton armat poate suporta orice combinație de eforturi  $N, M_x, M_y$ , care corespund unui punct A situat fie pe suprafața de interacțiune (în care caz punctul A coincide cu punctul B), fie în interiorul acestei suprafețe (în cazul în care capacitatea portantă este mai mare decât solicitarea exterioară). Această condiție se exprimă analitic astfel :

$$|\vec{r}_A| = \sqrt{N^2 + M_x^2 + M_y^2} \leq |\vec{r}_B| = \sqrt{N_u^2 + M_{xu}^2 + M_{yu}^2}$$

- relația lui Nikitin consideră o creștere proporțională a eforturilor  $N$ ,  $M_x$  și  $M_y$ . punctul B reprezintă intersecția dreptei OA cu suprafața de interacțiune (fig.VIII.2).

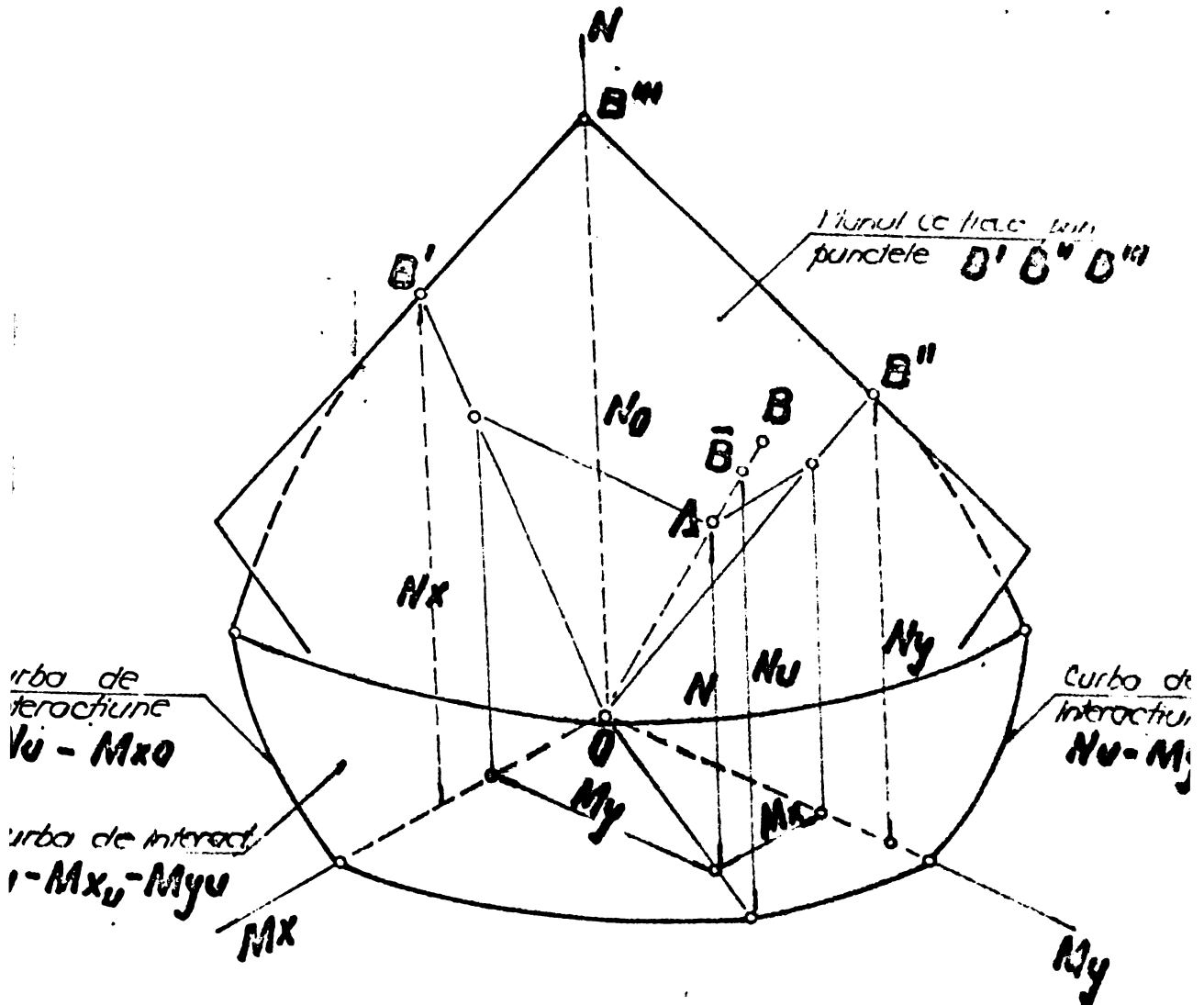


Fig.VIII.2.

Relația lui Nikitin este acoperitoare numai dacă punctul B este în interiorul suprafeței de interacțiune, deci atunci când dreapta OA intersecționează planul  $B'B''B'''$  înainte de a intersecționa suprafața de interacțiune. Ori de câte ori acest lucru nu este respectat, relația este descoperitoare :

După cum rezultă din diagrama variației exponentului  $\beta$  în funcție de variația factorului de compresiune  $n$  (fig.V.19), relația lui Nikitin este descoperitoare pentru valori ale factorului de compresiune  $n$ , cuprinse între 0,2 și 0,5, care sînt tocmai valorile frecvente din practica construcțiilor.

Totuși, practica proiectării a arătat însă o rezervă a capacității portante, neapărînd situații critice la construcțiile executate.

Observațiile făcute asupra comportării stîlpilor, în timpul seismului din 4 martie 1977, cît și observații similare asupra cutremurelor din alte țări, au concluzionat că, stîlpii trebuie să fie puternici în raport cu riglele, că ordinea de apariție a articulațiilor plastice trebuie să înceapă cu riglele. Acest lucru se poate obține, asigurînd stîlpilor, prin calculul la starea limită de rezistență o oarecare rezervă de rezistență și, împreună cu o armare transversală corespunzătoare, ductilitatea necesară.

Din compararea valorilor teoretice calculate cu formula lui Nikitin și valorile obținute experimental, pentru stîlpii încercați, rezultă (tab.VI.7) :

- la stîlpii solicitați la compresiune excentrică oblică cu mică excentricitate, diferența dintre valoarea forței de rupere obținută experimental și valoarea forței calculate teoretic, este descoperitoare, media diferențelor fiind - 10%, iar în cazul compresiunii excentrice oblice cu mare excentricitate diferența dintre valoarea forței de rupere obținută experimental și valoarea forței calculate teoretic este acoperitoare, media diferențelor fiind +9%.

Se reliefează că, concluziile desprinse din analiza rezultatelor experimentale, în cazul compresiunii excentrice oblice, cu mare excentricitate, nu confirmă studiile teoretice efectuate de unii autori [32], [38], [94], fapt ce ar explica comportarea stîlpilor proiectați cu relația lui Nikitin și executați pînă în prezent. Din aceste considerente, lucrarea de doctorat abordează în cap.III, calculul secțiunilor dublu T, pe baza relației lui Nikitin, la compresiune excentrică oblică, purtînd în final la determinarea coeficienților, relații și posibilități practice, (tabele ori abace de calcul, obținute cu ajutorul calculatorului electronic), de verificare a unor secțiuni alese/impuse.

În plus, la ora actuală, relația lui Nikitin, exceptînd metoda exactă, permite stabilirea cu ușurință a forței teoretice de rupere, care, în urma încercărilor de laborator, se poate compara cu forța de rupere obținută experimental.

Din cele prezentate, precum și din analiza discuțiilor purtate pe această temă în literatura de specialitate, rezultă că nu există o unanimitate de păreri, privind modul de calcul al stîlpilor din beton armat, de formă oarecare, solicitați la compresiune

centrică oblică, exceptând secțiunea de formă dreptunghiulară", pentru care, "metoda exactă" (a axei neutre înclinate), permite efectuarea unui calcul exact.

Pentru a găsi o metodă generală de calcul, care să permită verificarea secțiunilor de formă oarecare, unele norme naționale [31], [35], [10] cât și Proiectul de standard 10107/0-84, introduc ca metodă de calcul, curba de interacțiune  $N, M_x, M_y$ .

- al doilea procedeu, prevăzut în Proiectul de standard 10107/84, care face obiectul cap.V al prezentei lucrări, consideră că efecturile  $M_x$  și  $M_y$  pot crește în timp ce forța axială rămâne constantă (situație care apare în cazul cînd se luă în considerare efectele seismului). În această situație, punctul B se deplasează pe curba de interacțiune  $N=constant$  a suprafeței de interacțiune fig.VIII.3.

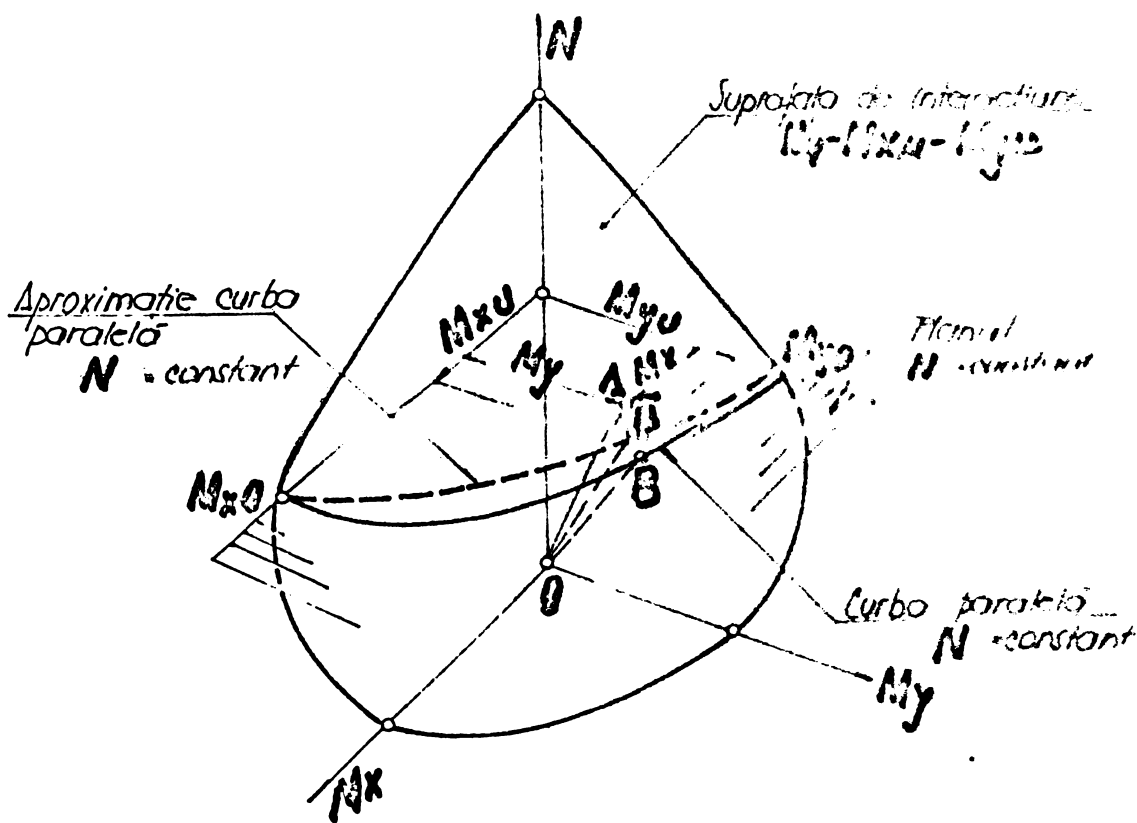


Fig.VIII.3.

Dacă se aproximează curba paralelă  $N_u=N$  a suprafeței de interacțiune prin curba :

$$\left(\frac{M_x}{M_{x0}}\right)^\beta + \left(\frac{M_y}{M_{y0}}\right)^\beta = 1 \quad (VIII.1)$$

în care  $M_x$  și  $M_y$  reprezintă momentele încovoietoare capabile ale secțiunii, comprimate excentric cu forța axială  $N$ , după direcțiile principale  $x$ , respectiv  $y$ , se remarcă că relația VIII.1 poate lua în considerare orice variație a eforturilor  $M_x$  și  $M_y$ , sau, altfel spus, a oricărui punct  $\bar{B}$  de pe curba VIII.1 și că relația VIII.1 este acoperitoare atît timp cît punctul  $\bar{B}$  este în interiorul curbei paralele a suprafeței de interacțiune.

Dacă valoarea lui  $\beta$  este astfel aleasă încît curba VIII.1 este totdeauna în interiorul curbei paralele, relația este totdeauna acoperitoare.

Lucrarea, în cap.V, rezolvă în detaliu, calculul la C.E.O. al stîlpilor cu secțiunea dublu T, stabilind ecuațiile curbelor de interacțiune, în funcție de poziția axei neutre.

Rezolvînd ecuațiile curbelor de interacțiune, cu ajutorul calculatorului electronic, pentru valorile întîlnite curent, în practica proiectării ale parametrilor, proiectanții beneficiază de tabele ori abace de calcul, cu care se poate face expeditiv, verificarea secțiunilor dublu T, alese/impuse inițial.

Aspectele comune ale celor două procedee aproximative analizate în lucrare sînt următoarele :

a. Ambele metode reprezintă metode nu de dimensionare a secțiunilor, ci de verificare a unei secțiuni aleasă inițial de către proiectanți.

Pentru ușurința verificărilor, în literatura de specialitate se află numeroase tabele, abace și programe de calcul automat, din care rezultă rapid eforturile capabile ale unor secțiuni dreunghiulare date, urmînd ca proiectantul să aleagă secțiunea în funcție de combinațiile  $N$ ,  $M_x$  și  $M_y$ , rezultate din calculul static al structurii. Astfel sînt, de exemplu tabelele din [17], [103], [106], bazate pe relația lui Nikitin, iar tabelele din [96] și anexa A la [95] bazate pe relația VIII.1 ;

b. Precizia ambelor metode de proiectare este dată de gradul de aproximare a punctului B prin punctul  $\bar{B}$  (vezi fig.VIII.1 la 3) ;

c. Ambele metode se bazează pe eforturile capabile ale secțiunii comprimate excentric după direcțiile principale ;

d. Neglijarea armăturilor intermediare la evaluarea acestor eforturi capabile pe direcțiile principale, conduce, în ambele procedee, la subevaluări ale capacității portante.

Cît privește diferențierea existență dintre cele două procedee, aceasta se pune în evidență prin :

a. Precizia relației lui Nikitin, depinde de coordonatele punctului A și de forma curbelor de interacțiune N-M la compresiune excentrică după fiecare din direcțiile principale ale secțiunii (fig. VIII.2). Din studiile *teoretice* rezultă că dacă dreapta OA intersectează planul B' B'' B''' după ce a intersectat suprafața de interacțiune  $N_{cap} = M_x - M_y$ , relația este descoperitoare. Neglijarea armăturii intermediare la evaluarea lui  $M_x$  și  $M_y$  poate să nu elimine întotdeauna această situație.

Precizia formulei de proiectare VIII.1, depinde de valoarea exponentului  $\beta$ . Această valoare poate fi aleasă astfel încît relația VIII.1 să fie totdeauna acoperitoare, indiferent de distribuția armăturii pe secțiune. Neglijarea armăturii intermediare la evaluarea lui  $M_x$  și  $M_y$  sporește gradul de acoperire al relației VIII.1 ;

b. Din maniera în care se consideră că pot crește eforturile pe secțiune, sau cu alte cuvinte, din maniera în care se alege poziția punctului A față de punctul B din fig. VIII.1, rezultă că relația lui Nikitin este adecvată unor supraîncărcări de tip gravitațional, în timp ce formula de proiectare VIII.1 este mai adecvată supraîncărcărilor de tip seismic ;

c. În timp ce precizia calculului cu relația lui Nikitin, nu poate fi îmbunătățită, calculul cu relația VIII.1 poate fi în continuare îmbunătățit, prin valori tot mai adecvate ale exponentului  $\beta$ , obținute atît în urma studiilor teoretice, cît și a confirmării acestora prin programe experimentale, care la această dată lipsesc.

Din aceste considerente, normele noastre, prin Proiectul de standard 10107/0-87, înlocuiesc relația lui Nikitin, prin utilizarea curbelor de interacțiune.

4. În urma discuțiilor avute la Institutul de Construcții București, pe tema compresiunii excentrice oblice, s-au făcut următoarele propuneri, care pe baza relației VIII.1, să permită și dimensionarea secțiunilor, eliminîndu-se astfel acest neajuns al metodei utilizării curbei de interacțiune  $N-M_x-M_y$  :

a. În cazul în care armătura se determină dintr-un calcul la compresiune excentrică oblică, varianta optimă rezultă dintr-un calcul de optimizare.



Dacă se notează  $\frac{M_x}{M_{x\text{cap}}} = K_x$  și  $\frac{M_y}{M_{y\text{cap}}} = K_y$ , relația VIII.1 devine  $(K_x)^\beta + (K_y)^\beta = 1$  (VIII.1.a). Soluția optimă ar fi fiind  $(K_x)^\beta = 0,5 = (K_y)^\beta$  ( $0,5+0,5=1$ );

b. În cazul în care  $A_{ax}$  este dat, se poate calcula  $M_{x\text{cap}}$ , iar din calculul static se cunoaște  $M_x$ . Rezultă deci cunoscut  $K_x$ . Valoarea lui  $K_y$  se poate scoate dintr-un tabel în care în funcție de  $\beta$  și de  $K_x$  să fie date valorile lui  $K_y$  (și chiar valorile optime);

c. La oblicitate mică după o direcție, armătura după laturile perpendiculare pe acea direcție va fi mică, (dar nu cea corespunzătoare procentului minim). În această situație această armătură se cunoaște, rezultând din considerente constructive de exemplu, situația reducându-se în acest caz la situația prezentată la cazul b ;

5. Pentru secțiuni de formă oarecare, normele noastre [94] prevăd un procedeu general, tratat însă numai la nivel de principiu, care se bazează pe ipotezele generale de la compresiune excentrică pe o direcție, cu respectarea condiției de coliniaritate între punctul de aplicație a forței  $N$ , a rezultantei eforturilor din zona comprimată a secțiunii și a rezultantei eforturilor de întindere din armătura  $A_a$ . Acest procedeu aproximativ, ca și "metoda exactă" are dezavantajul de a fi laborios și în proiectare nu se utilizează.

6. Calculul cu metoda axei neutre inclinate așa numita "metoda exactă", este superioară metodelor aproximative, atât prin conducerea calculului în stadiul III, de rupere, cu ipotezele admise în concordanță cu stadiul III, cât și prin prinderea în calcule, în mod rațional, a fenomenului analizat.

Însă nici "metoda exactă" nu permite dimensionarea secțiunii, ci permite numai verificarea unor secțiuni alese sau impuse inițial de proiectant.

La ora actuală, metoda este laborioasă, aplicată secțiunilor dublu T, proiectarea utilizând relația lui Nikitin.

7. O altă problemă studiată în lucrare, în cap.VII, este starea limită de deformație.

În urma studiilor teoretice întreprinse, se pun la îndemîna proiectanților, relațiile de calcul al modulului de rigiditate, atât în planul  $x$ , cît și în planul  $y$ , pentru secțiuni dublu T, solicitate excentric cu mare excentricitate.

Modulii de rigiditate, permit calculul săgeților din cele două planuri, săgeata rezultantă fiind dată apoi de relația :  $f_0 = \sqrt{f_x^2 + f_y^2}$

Studiile teoretice au fost verificate de studii experimentale întreprinse, rezultînd concluzia valabilității studiilor teoretice.

8. Lucrarea are un bogat și variat program experimental, tratat în cap.VI, în care unele probleme studiate experimental au caracter de noutate, cum ar fi, stabilirea legii de variație a momentului încovoietor oblic, sub forța axială constantă, în funcție de înclinarea planului său de acțiune, variația exponentului  $\beta$  în funcție de factorul de compresiune  $n$ , determinarea deformației maxime, a celei mai comprimate fibre de beton, pentru secțiuni în formă de dublu T.

9. Lucrarea reprezintă sinteza studiilor teoretice, bazate pe o vastă bibliografie și a celor experimentale, existente pe plan mondial și în țară, precum și o serie de studii teoretice și experimentale proprii, referitoare la comportarea elementelor din beton armat, de secțiune dublu T, solicitate la compresiune excentrică oblică, care în prezent sînt aproape inexistente.

10. Cele de mai sus sînt în evidență caracterul de nouitate al tezei, constituind un început în domeniul studiat și o bază de plecare pentru alte noi studii și cercetări.

11. Studiile teoretice și experimentale întreprinse s-au desfășurat pe o perioadă de 7 ani, pe baza a trei contracte de cercetare științifică, încheiate cu INCERC-București și cu ICCPDC-București și au fost valorificate prin utilizarea lor la revizuirea normelor de calcul din țară, precum și prin diferite publicații de specialitate [18], [19], [34], [45], [46], [47], [48], [49], [109], prin care se pun la dispoziția proiectanților, formule, programe și abace de calcul pentru secțiuni dublu T, solicitate la compresiune excentrică oblică.

B I B L I O G R A F I E

1. Aas-Jakobsen, A., Biaxial eccentricities in ultimate load design, Journal of the American Concrete Institute, March, 1964.
2. Abdel-Sayed, S., I., Gardner, N., J., Design of symmetric square slender reinforced concrete columns under biaxially eccentric loads, Reinforced concrete columns, SP-50, American Concrete Institute, Detroit, 1975.
3. Abolitz, Lev Arich, Short and long columns under uniaxial and biaxial flexure, Journal of the American Concrete Institute, June, 1968.
4. A.C.I. - Standard Building Code Requirements for Reinforced Concrete (ACI 318-71). American Concrete Institute, Detroit, 1971.
5. Agent, R., Asupra calculului stîlpilor de beton armat la compresiune excentrică, Revista Construcții nr.2, 1971.
6. Agent, R., Propuneri privind îmbunătățirea prescripțiilor referitoare la calculul stîlpilor din beton armat flexibili, supuși la compresiune excentrică, A V-a Conferință de betoane, Timișoara, 1972, vol.II, pg. 355-365.
7. Agent, R., Bănuț, V., Calculul structurilor din beton armat cu stîlpi zvelți, Editura Tehnică, 1979.
8. Agent, R., Crainic, L., Bănuț, U., Indrumător pentru calculul structurilor de bază industriale ale stîlpilor zvelți din beton armat, Colecția de normative nr.155/1977, București, 1977.
9. Agent, R., Calculul simplificat al deformațiilor de încovoiere ale grinzilor din beton armat, Revista Construcții, nr.2, 1973.
10. Avram, C., Aplicarea principiilor de calcul probabilist și semi-probabilist la proiectarea elementelor din beton, beton armat și precomprimat, Raport general, A V-a Conferință de betoane, Timișoara, 1972, vol.V, pg.1-55.

11. Avram, C., Betonul armat. Proiectarea și dimensionarea secțiunilor, Editura Tehnică, București, 1952.
12. Avram, C., Curs de beton armat, cap.VIII, IX, Timișoara, 1971.
13. Avram, C., Pop, A., Dimensionarea economică a betonului armat. Compresiune excentrică oblică, Revista Construcții, nr.2, 1975.
14. Avram, C., Filimon, I., Curs de beton armat, vol.II, Litografia I.P.T., Timișoara, 1976.
15. Avram, C., Filimon, I., Manual pentru calculul construcțiilor, vol.II, secțiunea XV, București, Editura Tehnică, 1980.
16. Avram, C., Făcăoaru, I., Filimon, I., Mîrșu, O., Terteza, I., Rezistențele și deformațiile betonului, București, Editura Tehnică, 1971.
17. Avram, C., Deutsch I., Pop, A., Weiss, B., Proiectarea economică a elementelor de construcții din beton armat, Editura Facla, Timișoara 1979.
18. Avram, C., Deutsch, I., Irhașiu, A., Calculul la starea limită de rezistență a stîlpilor din beton armat, de secțiune dublu T, solicitați la compresiune excentrică oblică, Conferința a XI-a de betoane, Timișoara, 1982.
19. Avram, C., Filimon, I., Deutsch, I., Irhașiu, A., Optimizarea calculului și dimensionării armăturilor la elementele de beton armat, solicitate la compresiune excentrică oblică, Simpozionul Structuri economice de construcții, Hunedoara. 1979, vol.I, pg.67-76.
20. Baikov, V., Sigalav, E., Jelezobetonie konstrukții, Moskova, Stroizozdat, 1978.
21. Borobia, R., Castellon, J., Steiner, A., Un Estudio Analítico de los Diagramas de Interaccion para los Miembros de Concreto Armado Sometidos a Flexocompresion, Universidad de Venezuela, Caracas, 1967.
22. Bresler, B., Design criteria for reinforced concrete columns under axial load and biaxial bending, Journal of the American Concrete Institute, nov., 1960.

23. Cabré, M., F., Cálculo de secciones de hormigón armado, sometidas a solicitaciones normales, en el estado límite último, Monografías del Instituto Eduardo Torroja, Madrid, 1972.
24. CAER, Recomandări de standardizare. Norme de proiectare pentru elementele de construcții din beton și beton armat (R.S119-64), București, Buletinul CSCAS nr.10-11, 1967.
25. CEB-FIP. Recomandations internationales pour le calcul et l'exécution des ouvrages en béton. Principes et recommandations. Ed.II, Cement and Concrete Association, Londra, iunie, 1970.
26. CEB-Manual, Design of sections under axial action effects at the ultimate limit state, Buletin d'information, nr.135, april, 1980.
27. Centre Scientifique et Technique du Batiment, Regles pour le calcul et l'exécution des constructions en béton armé, Paris, 1960.
28. Cistiakov, E., A., Nesuşciaia sposobnosti ghibkih vnetentrenno sjatih jelezobetonnih koloh, Beton i jelezobeton, nr.2 1960.
29. Cistiakov, E., A., Belikov, V., A., Izghib i vnetentrennoe sjatie karotkih i ghibkih elémentov, Beton i jelezobeton, nr.7, 1970.
30. Cismigiu, A., Forțe.Materiale.Structuri, Revista Arhitectura, nr.(3+4), 1972.
31. Code-Modele CEB-FIP pour les structures en beton, CEB-FIP, 1978.
32. Constantinescu, D., Rosentic, V., Neacşu, M., Aspecte privind proiectarea secțiunilor dreptunghiulare de beton armat la compresiune excentrică oblică, Revista Construcții, nr.1, 1984.
33. Deutsch, I., Optimizarea calculului și dimensionării armăturilor la elementele de beton armat solicitate la compresiune excentrică oblică, Buletinul științific și tehnic al IPT, Fascicola 2, 1978.

34. Deutsch, I., Irhaşiu, A., Studiu teoretic și experimental al rigidității elementelor de beton armat sollicitate la încovoiere dreaptă, Buletinul științific și tehnic al I.P.T., Fascicola 2, 1977.
35. Deutsch, I., Izvercianu, Monica, Studiu teoretic privind calculul la starea limită de deschidere a fisurilor la elementele de beton armat de secțiune dublu T, sollicitate la compresiune excentrică oblică, Buletinul științific și tehnic al IPT, Fascicola 1, 1981.
36. DIN 1045 Beton und Stahlbetonbau. Bemessung und Ausführung, Beuth-Vertrieb, GmbH, Berlin, 1972.
37. DIN 4224 Bemessung im Beton und Stahlbetonbau. Entwurf, Fassung März, 1968, Beuth-Vertrieb GmbH, Berlin, 1968.
38. Dumitrescu, D., Agent, R., Nicula, I., Găină, N., Popăescu, A., Weissenberg, M., Lissai, F., Stănescu, A., Indrumător pentru proiectarea și calculul construcțiilor din beton, beton armat și beton precomprimat, București, Editura Tehnică, 1978.
39. Dumitrescu, D., Nicula, I., Wintze, A., Beton armat, Litografia I.C. București, 1974.
40. Duțulescu, E., Dimensionarea secțiunilor din beton armat la încovoiere cu forță axială, București, Revista construcției, nr.2, 1976.
41. Ferry-Borges, J., Castanheta, M., Siguranța structurilor, București, Editura Tehnică, 1974.
42. Filimon, I., Aspecte privind calculul elementelor de beton armat, Buletinul științific și tehnic al IPT, Fascicola 1-2, 1983.
43. Filimon, I., Curs de beton armat, vol.I, Litografia Institutului Politehnic, Timișoara, 1971.
44. Filimon, I., Deutsch, I., Curs de beton armat, vol.II, Litografia Institutului Politehnic, Timișoara, 1979.
45. Filimon, I., Deutsch, I., Irhaşiu, A., Calculul elementelor de beton armat de secțiune I sollicitate la compresiune excentrică oblică, pe baza formulei lui Nikitin, Buletinul științific și tehnic al I.P.T., Fascicola 2, 1979.

46. Filimon, I., Deutsch, I., Irhaşiu, A., Aspecte ale dimensionării elementelor de beton armat, solicitate la compresiune excentrică cu mică excentricitate, Buletinul ştiinţific şi tehnic al I.P.T., Fascicola 2, 1977.
47. Filimon, I., Deutsch I., Irhaşiu, A., Procedee de verificare şi dimensionare a stâlpilor de beton armat de secţiune dublu T, comprimaţi excentric, utilizând abace de calcul, Buletinul ştiinţific şi tehnic al IPT, Fascicola 1, 1981.
48. Filimon, I., Deutsch, I., Irhaşiu, A., Izvercianu, Monica, Studii experimentale privind comportarea elementelor de beton armat de secţiune dublu T solicitate la compresiune excentrică oblică, Buletinul ştiinţific şi tehnic al IPT, Fascicola 2, 1980.
49. Filimon, I., Deutsch, I., Irhaşiu, A., Izvercianu, Monica, Calculul capacităţii portante a elementelor din beton armat, solicitate la compresiune excentrică oblică, cu metoda axei neutre înclinate, Sesiunea ştiinţifică a I.P.Cluj-Napoca, 1978, Construcţii I, pg.158-164.
50. Filimon, I., Deutsch, I., Irhaşiu, A., Izvercianu, Monica, Studiu teoretic privind capacitatea portantă a elementelor din beton armat solicitate la compresiune excentrică oblică, cu metoda axei neutre înclinate, Buletinul ştiinţific şi tehnic al I.P.T., Fascicola 1, 1979.
51. Friedrich, R., Diagrame de interacţiune m-n pentru secţiuni drept unghiulare, Buletinul ştiinţific şi tehnic al IPT, Fascicola 2, 1981.
52. Friedrich, R., Exemple de diagrame de interacţiune m-n, Buletinul ştiinţific şi tehnic al IPT, Fascicola 1-2, 1983.
53. Gouwens, A., J., Biaxial bending simplified, Reinforced concrete columns, publication SP-50, American Concrete Institute, Detroit, 1975.
54. Grasser, E., Linse, D., Deurartige Diagramme für die Bemessung von Stahlbeton-Rechteckquerschnitten bei uniaxialer Biegung auf der Grundlage von DIN 1045 E, Beton und Stahlbetonbau, nr.4, 1970.

5. Grasser, E., Linse, D., Bemessungstabellen für Stahlbetonquerschnitte auf der Grundlage der neuen DIN 1045, Werner-Verlag, Düsseldorf, 1972.
6. Heimdahl, P., D., Bianchi, A., G., Ultimate strength of biaxially eccentrically loaded concrete columns reinforced with high strength steel, Reinforced concrete columns, publications SP-50, American Concrete Institute, Detroit, 1975.
7. Iosub, I., C., Dimensionarea optimă folosind calculatorul electronic al secțiunilor de beton armat solicitate la compresiune excentrică oblică, Conferința a V-a de betoane, Timișoara, 1972.
8. Jalil, W., Morisset, A., Perchat, J., Calcul de beton armé a l'état-limite ultime, Editions Eyrolles, Paris, 1976.
9. Keintzel, E., Dimensionarea secțiunilor dreptunghiulare de beton armat, cu armătură simetrică, solicitate la compresiune excentrică oblică, Revista Construcției, nr.2, 1964.
10. Keintzel, E., Calculul static de ordinul II al cadrelor etajate, prin metoda Kani, Revista Construcției, nr.2, 1976.
11. Kessler, G., Diagrame de interacțiune pentru calculul secțiunilor dreptunghiulare din beton armat, Revista Construcției, nr.2, 1976.
12. Kordina, K., Rafla, K., Hjorth, O., Traglast von Stahlbetondruckgliedern unter schiefer Biegung mit Achsdruk, Deutscher Ausschuss für Stahlbeton, Heft 256, 1976.
13. Langendonck, T., V., Flexão composta obliqua no concreto armado, Associação Brasileira de Cimento Portland, Sao Paulo, Brasil, 1977.
14. Manual pentru calculul construcțiilor, Editura Tehnică, 1977.
15. Manuel de calcul "Flexion-compression", Paris, CEB, Bul.d'Inf., nr.75-76, 1971.
16. Martin, I., Olivieri, E., Tests of slender reinforced concrete columns bent in double curvature, symposium on reinforced concrete columns, S.P.-13, American Concrete Institute, Detroit, 1966.



67. Mihul, A., Construcții de beton armat, Editura didactică și pedagogică, București, 1969.
68. Miu, I., Metode noi pentru calculul secțiunilor solicitate excentric, București, Editura Tehnică, 1956.
69. Mirșu, O., Structuri din beton armat, Litografia I.P.T., 1966.
70. Mirșu, O., Friedrich, R., Construcții din beton armat, Editura didactică și pedagogică, București, 1980.
71. Mirșu, O., ș.a., Construcții din beton armat. Elemente de proiectare a halelor industriale parter prefabricate, Litografia I.P.Timisoara, 1982.
72. Munteanu, E., Precizări necesare în legătură cu capacitatea portantă a elementelor de beton armat solicitate la compresiune excentrică oblică, Buletinul științific și tehnic al I.P.T., Fascicola 2, 1972.
73. Mylonas, G., Working stress column design using interaction diagrams, Journal of the American Concrete Institute, August, 1967.
74. Nicolau, V., Betonul armat, București, Editura tehnică, 1962.
75. Nicula, I., ș.a., Ghid practic pentru calculul elementelor de beton, beton armat și beton precomprimat, Editura tehnică, București, 1971.
76. Normativ pentru proiectarea antiseismică a construcțiilor de locuințe social-culturale, agrozootehnice și industriale P 100-81.
77. Pannel, F., N., Failure surfaces for members in compression and biaxial bending, Journal of the American Concrete Institute, Januare, 1963.
78. Pannel, F., N., The design of biaxially loaded column by ultimate load methods, Magazine of Concrete, Research, Julie, 1960.
79. Park, R., Paulay, T., Reinforced concrete structures, John Wiley and Sons, 1975.
80. Parme, A., Rectangular columns subjected to biaxial bending, ACI Journal, Proceedings, sept., 1966.

81. Pescaru, I., Le calcul des éléments en béton armé la flexion oblique-biaxiale-et á la compression excentrique oblique - dans deux directions - par la methode des états limites, Bucureşti, Buletinul ISPE, nr.2, 1971.
82. Ping, Chun Wang, Ultimate strength design tables and curves for reinforced concrete members, Journal of the American Concrete Institute, ianuarie, 1962.
83. Pop, A., Dimensionarea economică a betonului armat. Elemente solicitate la compresiune excentrică dreaptă, Revista Construcţii, nr.11, 1973.
84. Pop, A., Criterii tehnico-economice în proiectarea betonului armat, Teză de doctorat, Timişoara, Inst.Politehnic, 1974.
85. Popescu, H., Elenbogen, M., Parametrii de proiectare pentru betonul armat, Editura didactică și pedagogică, Bucureşti, 1979.
86. Popescu, H., Probleme ale structurilor de beton armat, Editura Academiei R.S.R., 1977.
87. P-58-70, Normativ de calcul al elementelor de beton armat prin metoda la rupere.
88. Rafla, K., Metodă practică pentru calculul stîlpilor zvelţi, cu secţiune dreptunghiulară, la compresiune excentrică oblică, Der Bauingenieur, nr.11, 1974.
89. Rüsch, H., Researches toward a general flexural theory for structural concrete, journal of the American Concrete Institute, 1966.
90. SNIP II-21-75, Stroitelnie norai i pravila. Normi proektirovaniia. Betonnie i zhelezobetonnie Konstrukcii, Moskova, 1976.
91. STAS 8000-67, Calculul elementelor din beton, beton armat și beton precomprimat. Metoda la stări limită, Bucureşti, 1969.
92. STAS 10100/0-75 Principii generale de verificare a siguranței construcțiilor.

93. STAS 10102-75, Calculul elementelor din beton, beton armat și beton precomprimat - Prevederi fundamentale pentru calculul și alcătuirea elementelor, București, 1975.
94. STAS 10107/0-76. Construcții civile și industriale. Calculul și alcătuirea elementelor din beton, beton armat și beton precomprimat, București, 1976.
95. STAS 10107/0-84 Proiect de standard, Construcții civile și industriale. Calculul și alcătuirea elementelor din beton, beton armat și beton precomprimat.
96. Stoicovici, D., Gerb, I., Tabele, abace și exemple pentru calculul elementelor din beton armat la compresiune excentrică oblică, Editura Tehnică, București, 1979.
97. Tannenbaum, M., Viespescu, D., ș.a., Incercarea construcțiilor, Editura tehnică, 1965.
98. Tannenbaum, M., Despre calculul la compresiune excentrică a elementelor de beton armat, A V-a Conferință de betoane, Timișoara, 1972.
99. Terteza, I., Onet, Tr., Beuraș, Marieta, Păcurar, V., Proiectarea betonului armat, Editura didactică și pedagogică, București, 1975.
100. Torianik, M., ș.a., Calculul construcțiilor din beton armat pe baza deformațiilor complexe, Moscova, 1974.
101. Torianik, M., Kosoe vnetentrennoe shtatie i kosoi izghib v jelezobetonnie, Gosstroizdat, USSR, Kiev, 1961.
102. Wolovits, F., Proiectarea stâlpilor de beton armat solicitați la compresiune excentrică oblică, București, CSCAS - Redacția publicațiilor pentru construcții, 1972.
103. Wolovits, F., Tabele, abace și exemple pentru calculul elementelor din beton armat la compresiune excentrică oblică, Editura Tehnică, 1979.
104. Zaccopceanu, A., Exemple de calcul pentru dimensionarea secțiunilor de beton armat, Editura tehnică, 1952.
105. Ziaedin, I., Compresiunea excentrică oblică - coeficienți de calcul pentru dimensionarea secțiunilor dreptunghiulare de beton armat, Revista Construcții, 1970.

106. Ziaedin, I., Tabele, abace și exemple pentru calculul elementelor din beton armat la compresiune excentrică oblică, Editura Tehnică, București, 1979.
107. Experimentări pe elemente de secțiune dreptunghiulară solicitate la compresiune excentrică oblică. Referat cu concluzii. Faza 2, INCERC București, noiembrie, 1977.
108. Studiu teoretic, cu precizarea programului experimental de ansamblu. Faza I, Referat I.P.T. și ICCPDC-Filiala Timișoara, Timișoara 1977.
109. Experimentări pe elemente de secțiune dublu I, solicitate la compresiune excentrică oblică. Faza II. Referat IPT și ICCPDC-Filiala Timișoara, Timișoara, 1978.
110. CP-110, Code of practice for the structural use of concrete. British Standard Institution, Londra, 1970.